



- ۱ کنترل خسارت سازه‌ها به سکمک التکور دینم ژئوتک - عصیانی عباس کرم الدین - سید خواجه کرم الدین
- ۱۷ بررسی اثر اندازه خوده لاستیک بر رفتار مکانیکی مخلوط ماسه و خوده لاستیک با دستگاه پرش مستقیم عیرضا رضابور - سید احسان سیمی حسینی نایاب
- ۲۷ حذف هیدروکربن‌های نفتی از آب‌های آلوده با فوآیند فتوکاتالیستی خودشیدی فتاح سروش - حسین گنجی دوست - بینا آبی
- ۴۹ تحلیل عددی استاتیکی عملکرد زکش جتری در توفل بدون بوشن دایری و عمیق تحت تراوش پایدار علی حسینی بالام - محمود هاشمی
- ۶۹ بررسی اثر زنولیت و سیمان بر تراکم خاک ماسه‌ای بالبلس عیسی شوش بشاش - مجتبی عباسی - حسین ملاعاسی
- ۷۹ کاربرد مدل‌های SVR و GRNN در تخمین حداقل عمق فرسایش در شرایط پیش‌محاذک در تلاقی رودخانه‌ها بهنام بلوجی - محمد رضا نیکو - محمود شفاعی بختیان - مریم هدقاتی
- ۹۳ بررسی تأثیر الایاف تقویتی پلیمری کربنی CFRP در میزان باربری دال‌های بتون سلحشور طوفانی شکل دارای بازشو در لبه کناری و گوشة دال (یادداشت پژوهشی) مجتبی نیززاده
- ۱۰۹ تحلیل قابلیت اعتماد سازه‌ها براساس روش ترکیبی کوچک ترین مربیات دستگاه برآردی‌های پشتیبان و شبیه‌سازی مونت کارلوی پیش‌فته (یادداشت پژوهشی) محمد‌محمدی مجاهد - بهروز احمدی ندوشن

## نشریه مهندسی عمران فردوسی

(نشریه دانشکده مهندسی)

فصلنامه (علمی - پژوهشی)

شماره پیاپی ۱۷



# نشریه مهندسی عمران فردوسی

ISSN : 2008-7454

علمی-پژوهشی

سردییر : محمدرضا اصفهانی

مدیر مسؤول: فریدون ایرانی

صاحب امتیاز : دانشگاه فردوسی مشهد

## هیأت تحریریه :

دکتر مجتبی ازهري

دکتر محمدرضا اصفهانی

دکتر فریدون ایرانی

دکتر جعفر بلوری بازار

دکتر سید محمود حسینی

دکتر علی خیرالدین

دکتر عباس سروش

دکتر فرزاد شهابیان مقدم

دکتر رضا عطار نژاد

دکتر محمد غفوری

دکتر محمود فغور مغربی

دکتر غلامرضا قدرتی امیری

دکتر داود مستوفی نژاد

استاد، دانشگاه صنعتی اصفهان، دانشکده مهندسی عمران

استاد، دانشگاه فردوسی مشهد، گروه مهندسی عمران

استاد، دانشگاه فردوسی مشهد، گروه مهندسی عمران

دانشیار، دانشگاه فردوسی مشهد، گروه مهندسی عمران

استاد، دانشگاه فردوسی مشهد، گروه مهندسی عمران

استاد، دانشگاه سمنان، دانشکده مهندسی عمران

دانشیار، دانشگاه امیرکبیر، دانشکده مهندسی عمران

استاد، دانشگاه فردوسی مشهد، گروه مهندسی عمران

استاد، دانشگاه تهران، دانشکده فنی دانشکده مهندسی عمران

استاد، دانشگاه فردوسی مشهد، گروه مهندسی عمران

استاد، دانشگاه فردوسی مشهد، گروه مهندسی عمران

استاد، دانشگاه علم و صنعت ایران، دانشکده مهندسی عمران

استاد، دانشگاه صنعتی اصفهان، دانشکده مهندسی عمران

ویراستار ادبی : الهام دهقان

ویرایش و صفحه آرایی : سید عاطفه نوعی باغبان

این نشریه در کتابخانه منطقه‌ای علوم و تکنولوژی شیراز (ISC) نمایه می‌شود.

نشانی: مشهد - دانشگاه فردوسی مشهد - دانشکده مهندسی - دفتر نشریه - صندوق پستی: ۹۱۷۷۵-۱۱۱۱

تلفاکس: ۰۵۱-۳۸۸۰۶۰۲۴ پست الکترونیکی: ejour@um.ac.ir وب سایت:

چاپ: مؤسسه چاپ و انتشارات دانشگاه فردوسی مشهد

## فهرست مطالب

- ۱ عباس کرم‌الدین - سعید خواجه کرم‌الدین **کنترل خسارت سازه‌ها به کمک الگوریتم ژنتیک- عصبی**
- ۱۷ علیرضا رضاپور - سید احسان سیدی حسینی نیا **بررسی اثر اندازه خردل استیک بر رفتار مکانیکی مخلوط ماسه و خردل استیک با دستگاه برش مستقیم**
- ۳۷ فتاح سروش - حسین گنجی‌دوست - بیتا آیتی **حذف هیدروکربن‌های نفتی از آب‌های آلوده با فرآیند فتوکاتالیستی خورشیدی**
- ۴۹ علی حسین‌بالام - محمود هاشمی **تحلیل عددی استاتیکی عملکرد ذکش چتری در توفل بدون پوشش دایروی عمیق تحت تراویش پایدار**
- ۶۹ عیسی شوش پاشا - مجتبی عباسی - حسین ملاعباسی **بررسی اثر زئولیت و سیمان بر تراکم خاک ماسه‌ای با بلسر**
- ۷۹ بهنام بلوچی - محمدرضا نیکو - محمود شفاعی یجستان مریم دهقانی **کاربرد مدل‌های SVR و GRNN در تخمین حداکثر عمق فرسایش در شرایط بستر متحرک در تلاقی رودخانه‌ها**
- ۹۳ مجتبی لیب‌زاده **بررسی تأثیر الیاف تقویتی پلیمری کربنی CFRP در میزان باربری دال‌های بتن مسلح دوطرفه مربعی‌شکل دارای بازشو در لبه کناری و گوشۀ دال**  
(یادداشت پژوهشی)
- ۱۰۹ محمد‌مهدی مجاهد - بهروز احمدی ندوشن **تحلیل قابلیت اعتماد سازه‌ها براساس روش ترکیبی کوچک‌ترین مربعات دستگاه بردارهای پشتیبان و شبیه‌سازی مونت کارلوی پیشرفته**  
(یادداشت پژوهشی)



## کنترل خسارت سازه‌ها به کمک الگوریتم ژنتیک- عصبی\*

عباس کرم‌الدین<sup>(۱)</sup>

سعید خواجه کرم‌الدین<sup>(۲)</sup>

**چکیده** در این مقاله، کنترل خسارت سازه‌ها در برابر زلزله به صورت نیمه‌فعال با استفاده از میراگر مایع قابل کنترل مغناطیسی (MR) و شبکه‌های عصبی مصنوعی مطالعه شده است. هدف از طراحی این سیستم کنترل، کاهش خسارت سازه می‌باشد. در این سیستم کنترل، از یک شبکه عصبی پیش‌خور چندلایه استفاده شده است. ورودی شبکه عصبی جایه‌جایی نسبی طبقات و خروجی آن ولتاژ میراگر MR است. آموزش شبکه عصبی برای تعیین ولتاژ میراگر MR برای کمینه کردن خسارت سازه انجام شده است. برای آموزش شبکه عصبی از الگوریتم ژنتیک استفاده گردیده است. معیار شایستگی این الگوریتم کمینه نمودن شاخص خسارت پارک و انگ سازه انتخاب شده است. پس از آموزش شبکه عصبی، سیستم کنترل در سازه سه‌طبقه محک غیرخطی قرار داده شده و عملکرد آن مورد ارزیابی قرار گرفته است. نتایج نشان می‌دهند این کنترولر توانسته است شاخص خسارت پارک و انگ را به طور چشم‌گیری کاهش دهد.

**واژه‌های کلیدی** سازه، زلزله، خسارت، کنترل، نیمه‌فعال، شبکه‌های عصبی، الگوریتم ژنتیک.

## Structural Damage Control Using Neuro-Ga Algorithm

A. Karamodin

S. Khajekaramodin

**Abstract** In this paper a semi-active structural damage control strategy using MR dampers and Neural Networks is presented. A multilayer feed-forward neural network has been designed. The input layer is relative displacement of stories and the output layer is the voltage needed for MR damper. The neural network is learned to predict the voltage needed for MR damper that can minimize the Park & Ang damage index of structure. Genetic algorithm has been used to learn the neural network. The Park & Ang damage index of the structure has been used as the fitness function of the genetic algorithm. To evaluate the structural control system a nonlinear 3 story benchmark building has been selected. The results show the proposed structural control system can effectively reduce the Park & Ang damage index of the structure.

**Key Words** Structure, Earthquake, Damage, Control, Semi-Active, Neural Network, Genetic Algorithm.

\* تاریخ دریافت مقاله ۹۳/۲/۱ و تاریخ پذیرش آن ۹۵/۸/۲۶ می‌باشد.

(۱) نویسنده مسئول: استادیار، دانشکده مهندسی، دانشگاه فردوسی، مشهد.

(۲) کارشناس ارشد سازه، دانشکده مهندسی، دانشگاه فردوسی، مشهد.

فعالیت داشته است. نیکزاد و قابوسی [11] رفتار دینامیکی محرک ها را توسط شبکه های عصبی مدل سازی نمودند. استفاده از شبیه ساز برای آموزش شبکه های عصبی در کنترولر عصبی برای کنترل خطی سازه توسط قابوسی و جغتاوی [12] و بنی هانی [13] صورت گرفته است. روش مشابهی نیز توسط چن [14] مورد تحقیق قرار گرفت. استفاده از شبکه های عصبی برای بهبود پاسخ های الگوریتم ژنتیک در مسائل بهینه سازی توسط برخی از محققان مورد بررسی قرار گرفته است [15]. مایتی و ساهو [16] از ترکیب شبکه عصبی و الگوریتم ژنتیک برای پیش بینی خسارت سازه ها استفاده کردند. سیستم کنترل فعال در یک سازه سه بعدی با استفاده از الگوریتم ژنتیک - عصبی توسط عادلی و جیانگ [17] مورد استفاده قرار گرفت.

در گذشته اکثر محققان در کنترولر های عصبی از دو شبکه عصبی استفاده می نمودند. یک شبکه به عنوان شبکه عصبی شبیه ساز برای پیش بینی پاسخ های سازه و شبکه عصبی دیگر برای تعیین نیروی کنترل بهینه مورد استفاده قرار می گرفته است. آموزش این دو شبکه فرآیندی طولانی و زمان گیر می باشد، لذا این روش برای سازه های کوچک مناسب است. برای رفع این مشکل سعی شده است شبکه عصبی شبیه ساز از سیستم کنترل حذف گردد. در این راستا کیم و همکاران [18] روشی را ارائه نمودند که در آن به جای استفاده از شبکه عصبی شبیه ساز برای آموزش شبکه عصبی از یک تابع ارزش به عنوان معیار آموزش استفاده گردید.

از آنجا که خسارت سازه و نیروهای کنترل هر دو وابسته به یکدیگر هستند و رابطه مستقیمی بین آنها نمی توان برقرار نمود، برای آموزش کنترولر عصبی، برخلاف روش های قبل، باید از روش های آموزش بدون ناظر استفاده نمود. هم چنین سازه های بلند در برابر زلزله های سنگین حتی در حالت کنترل شده جاری شده و رفتار غیر خطی دارند. لذا سیستم های کنترلی که رفتار سازه را بعد از کنترل، خطی فرض می نمایند مانند

## مقدمه

سازه ها به عنوان یکی اجزای اساسی جوامع بشری به شمار می آیند به گونه ای که تأمین اینمی و شرایط بهره برداری آنها در برابر بلایای طبیعی از مهم ترین اهداف طراحی آنها به حساب می آید. به موازات پیشرفت هایی که در تکنولوژی مصالح و ساخت سازه ها صورت گرفته است روش های تحلیل و طراحی نیز باید با این پیشرفت ها تغییر و تحول نماید. از این رو پژوهش گران و محققان علم مهندسی سازه به دنبال روش های نوین برای تأمین اهداف طراحی بوده اند و همین امر موجب پیشرفت های چشمگیری در این مهمند شده است چرا که آسیب دیدن سازه علاوه بر وارد آوردن خسارات مالی و هدر رفت سرمایه های ملی، برای جان انسان ها نیز تهدیدی بزرگ به شمار می رود. پژوهش گران روش های مختلفی را برای کنترل خسارت سازه ها مورد آزمایش قرار داده اند. اندیشه استفاده از کنترل اتوماتیک در مهندسی سازه در حدود ۶۰ سال قبل توسط مینای و کوبوری [1, 2, 3] مطرح گردید. در سال های بعد آبدل روحمن [4, 5, 6]، زوک [7]، سونگ [8] و سوردل [9] روش هایی را برای کنترل خسارت سازه ارائه کردند ولی به دلیل نبود تکنولوژی اجرای این روش ها در آن موقع به صورت طرح های تئوری باقی ماند. در سال ۱۹۷۲ یائو [10] سیستم سازه ای را پیشنهاد نمود که در آن با تغییر رفتار سازه در برابر بارهای غیر قابل پیش بینی پاسخ های سازه به حد مطلوب می رسید. با معرفی روش های هوشمند مانند شبکه های عصبی، سیستم های فازی و الگوریتم ژنتیک، سیستم های کنترل کاراتر و مؤثر تری توسط پژوهش گران ارائه شده است. این سیستم ها به دلیل عدم نیاز به مدل سازی دقیق ریاضی، امکان در نظر گرفتن رفتار غیر خطی و عدم قطعیت ها و همچنین دارا بودن قابلیت آموزش در مقایسه با روش های کنترل کلاسیک امکانات پیشرفتی را در اختیار محققان قرار می دهند. قابوسی [11, 12] از اولین محققانی است که در این زمینه

خسارت پارک و انگ از آنجا که علاوه بر جابه‌جایی نسبی طبقات انرژی جذب شده توسط سازه را در ارزیابی خسارت سازه در نظر می‌گیرد نسبت به سایر پاسخ‌های سازه معیار مناسب‌تری برای کنترل خسارت می‌باشد. نیروهای کنترل توسط میراگرهای مایع قابل کنترل مغناطیسی (MR) بر سازه اعمال گردیده است. عملکرد کنترولر در یک سازه سه طبقه محک با رفتار غیرخطی مورد بررسی قرار گرفته است.

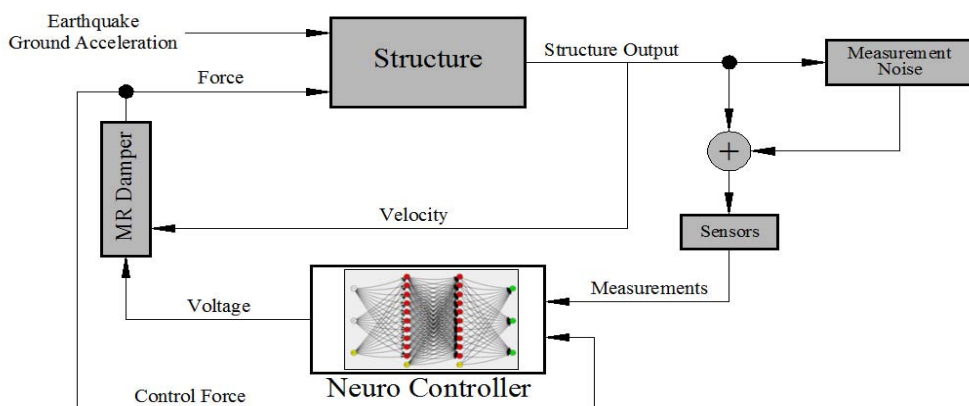
### سیستم کنترل

سیستم کنترل استفاده شده در این پژوهش در شکل (۱) مشاهده می‌گردد. در این سیستم، سازه غیرخطی تحت زلزله قرار می‌گیرد و پاسخ‌های آن توسط سنسورها اندازه‌گیری می‌گردد. سپس این پاسخ‌ها همراه با نیروهای کنترل گام قبلی در اختیار شبکه عصبی پیش‌خور قرار می‌گیرد. شبکه عصبی به گونه‌ای آموختش داده شده است که بر مبنای پاسخ‌های سازه و نیروهای کنترل در گام قبلی، ولتاژ میراگرها را پیش‌بینی نماید به شکلی که شاخص خسارت پارک و انگ سازه کمینه گردد. ولتاژ پیش‌بینی شده همراه با سرعت وارد به میراگرها به عنوان ورودی به میراگر اعمال می‌گردد تا نیروی کنترل بهینه در هر لحظه توسط میراگر به سازه اعمال گردد.

روش گوسی درجه دوم خطی (LQG) مناسب نیستند و برای مدل‌سازی دقیق باید در سیستم کنترل رفتار غیرخطی سازه لحاظ گردد.

در سیستم‌های کنترل ارائه شده توسط اکثر محققان کاهش خسارت سازه‌ها از طریق کاهش جابه‌جایی نسبی طبقات صورت گرفته است ولی تنها بخشی از خسارت سازه به جابه‌جایی نسبی طبقه وابسته می‌باشد و پارامترهای دیگری از جمله انرژی جذب شده توسط سازه نیز در خسارت آن تأثیرگذار است. از این‌رو برای کنترل بهینه خسارت سازه بهتر است از معیاری استفاده نمود که پارامترهای مختلف مؤثر در خسارت سازه را شامل شود.

در این مقاله روشی نیمه‌فعال برای کنترل سازه‌ها ارائه گردیده که در آن از ترکیب شبکه‌های عصبی و الگوریتم ژنتیک استفاده شده است. در این روش از یک شبکه عصبی پیش‌خور چندلایه در سیستم کنترل استفاده شده است. این شبکه عصبی به گونه‌ای آموختش می‌بیند تا با دریافت پاسخ‌های سازه بر مبنای کمینه نمودن شاخص خسارت پارک و انگ، ولتاژ بهینه میراگرها را طوری تعیین نماید که سازه کنترل گردد. برای آموختش این شبکه عصبی یعنی تعیین وزن‌های کانال‌های ارتباطی آن، از الگوریتم ژنتیک که یک روش آموختش بدون ناظر می‌باشد، استفاده شده است. شاخص



شکل ۱ سیستم کنترل

معادلات حاکم برای این مدل را می توان به صورت

روابط زیرنوشت:

$$f = C_0 \dot{q} + \alpha z \quad (1)$$

$$\dot{Z} = \gamma |\dot{q}| |z|^{n-1} - \beta \dot{q} |z|^n + A \dot{q} \quad (2)$$

$$\alpha = \alpha(u) = \alpha_a + \alpha_b u \quad (3)$$

$$C_0 = C_0(u) = C_{0a} + C_{0b} u \quad (4)$$

در این روابط،  $q$  جابجایی نسبی دو سرمهیراگر و  $z$  یک متغیر تکاملی است که وابستگی پاسخ به تاریخچه آن را نشان می دهد. باتنظیم پارامترهای  $\alpha$ ,  $\beta$ ,  $A$ ,  $n$ ,  $\alpha_a$  و  $\alpha_b$  می توان شبیه رفتار خطی و انحنای قسمت گذر از رفتار خطی به تسلیم رامشخص نمود. پارامترهای  $C_0$  و  $\alpha$  نیز متغیر بوده و توسط یک کنترولر قابل تنظیم هستند. در این روابط  $u$  خروجی جریان مدار الکتریکی میراگر است که توسط رابطه دینامیکی (۵) بر حسب ولتاژورودی مدار مشخص می شود.

$$\dot{u} = -\eta(u - v) \quad (5)$$

در این مطالعه پارامترهای میراگر طوری انتخاب شده اند تا به ازای حد اکثر ولتاژ  $V_{max} = 10$  V ظرفیتی معادل ۱۰۰۰ کیلو نیوتون داشته باشد. این پارامترها عبارتند از:

$$\alpha_a = 1.0872 \times 10^5 \text{ N/cm}$$

$$\alpha_b = 4.9616 \times 10^5 \text{ N/(cm.v)}$$

$$C_{0a} = 4.4 \text{ N.sec/cm}$$

$$C_{0b} = 44 \text{ N.sec/(cm.v)}$$

$$\gamma = 3 \text{ cm}^{-1}$$

$$\beta = 3 \text{ cm}^{-1}, \quad n = 1$$

$$A = 1.2, \quad \eta = 50 \text{ sec}^{-1}$$

### شاخص خسارت پارک و انگ

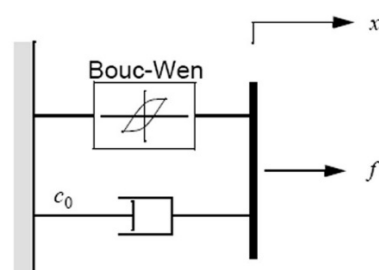
برای بیان میزان خسارت در سازه ها باید معیارهای کمی

### مدل غیرخطی سازه

مدل ریاضی سازه به صورت مدل اجزای محدود قابصفحه ای، متشكل از اعضای قاب دو بعدی در نظر گرفته شده است. هر گره از قاب دارای سه درجه آزادی و هر عضو دارای دو گره و شش درجه آزادی می باشد. با توجه به صلب بودن افقی سقف ها در ساختمان ها، تغییر مکان های افقی گره های واقع در هر سقف یکسان در نظر گرفته شده است. برای لحاظ کردن این موضوع در هر طبقه درجه آزادی افقی یک گره به عنوان درجه آزادی مرجع در نظر گرفته شده و درجات آزادی افقی سایر گره های واقع در آن سقف به آن وابسته شده اند. اثر رفتار غیرخطی سازه در زلزله های قوی به صورت رفتار خمیری متمرکز در انتهای عضوها در نظر گرفته شده است. در این مدل کل عضو به صورت ارتقای باقی می ماند و رفتار خمیری فقط در مفصل های پلاستیک دو انتهای عضو متمرکز می باشد. رفتار چرخه ای این مفصل ها به صورت رفتار دو خطی در نظر گرفته شده است. این مدل برای سازه های محک غیرخطی توسط اوتو ری و همکاران [۱۹] ارائه گردیده است.

### مدل میراگر MR

مدل مکانیکی میراگر MR استفاده شده در شکل (۲) دیده می شود. این مدل برای یک نمونه میراگر MR کوچک ارائه شده و در مطالعات انجام شده انتباط خوبی را با نتایج آزمایشگاهی نشان داده است [۲۰, ۲۱].



شکل ۲ مدل میراگر MR [۲۲]

وزن دار خسارت عضوهای طبقه به شکل رابطه (۹) محسوب می‌شود:

$$D_{\text{story}} = \frac{\sum E_e D_e}{\sum E_e} \quad (9)$$

در این رابطه  $E_e$  انرژی جذب شده در هر عضو است که برابر مجموع انرژی جذب شده دو انتهای عضو می‌باشد.

برای محسوبه اندیس خسارت کل سازه یا اندیس خسارت چند طبقه از سازه از میانگین وزن دار خسارت طبقات مربوط استفاده می‌شود:

$$D_{\text{total}} = \frac{\sum E_{\text{story}} D_{\text{story}}}{\sum E_{\text{story}}} \quad (10)$$

در این رابطه  $E_{\text{story}}$  مجموع انرژی جذب شده توسط عضوهای طبقه است.

### کترول کننده ژنتیک - عصبی

کترولر ژنتیک - عصبی یک کترولر عصبی است که توسط الگوریتم ژنتیک آموزش دیده است. پارامترهای مختلف شبکه عصبی از جمله تعداد لایه‌ها، تعداد سلول‌های هر لایه و وزن‌های کانال‌های ارتباطی قابل انتخاب می‌باشند. در این مطالعه نوع شبکه، تعداد لایه‌ها و سلول‌های آن با سعی و خطای انتخاب گردیده است و برای آموزش شبکه عصبی یعنی تعیین وزن کانال‌های ارتباطی، از الگوریتم ژنتیک استفاده شده است. استفاده از روش‌های معمول برای آموزش شبکه‌های عصبی مانند الگوریتم پس انتشار در این پژوهش امکان‌پذیر نیست؛ زیرا در روش کترول استفاده شده قرار است شبکه عصبی با دریافت پاسخ‌های سازه، نیروی کترول را بر مبنای کمینه نمودن شاخص خسارت پارک و انگ پیش‌بینی نماید. از آنجایی که شاخص خسارت پارک و انگ با پاسخ‌های مستقیم سازه قابل محسوبه نیست و رابطه ریاضی مستقیمی بین بارهای وارد بر سازه و

وجود داشته باشد تا بتوان خسارت سازه را ارزیابی نمود. یکی از شاخص‌های خسارت معرفی شده توسط پژوهش‌گران شاخص خسارت پارک و انگ است [22]. آنها یک شاخص خسارت محلی را ارائه کردند که از ترکیب حداکثر تغییر‌شکل نرمال شده و انرژی جذب شده به صورت رابطه (۶) حاصل می‌شود:

$$D_{\text{P.A.}} = \frac{U_{\max}}{U_u} + \frac{\beta}{F_y U_u} \int dE \quad (6)$$

این شاخص یکی از معروف‌ترین و رایج‌ترین شاخص‌های خسارت است. در این رابطه  $U_{\max}$  حداکثر تغییر‌شکل در مدت بارگذاری،  $U_u$  تغییر‌شکل گسیختگی در بارگذاری استاتیکی،  $F_y$  مقاومت جاری شدن،  $dE$  انرژی جذب شده جزئی در مدت بارگذاری و  $\beta$  یک ضریب مثبت است که اثرات کاهنده‌ی مقاومت و سختی را در بارگذاری دوره‌ای درنظر می‌گیرد. از امتیازات این شاخص سادگی و کالیبره شدن آن براساس خسارت‌های مشاهده شده در سازه‌ها می‌باشد.

برای محسوبه شاخص خسارت پارک و انگ، ابتدا شاخص خسارت انتهای هر عضو محسوبه می‌گردد. برای این منظور با استفاده از حداکثر انحنای ایجاد شده در انتهای عضو و انرژی جذب شده در مفصل خمیری از رابطه (۷) استفاده می‌شود.

$$D_{ei} = \frac{\Phi_{\max}}{\Phi_u} + \frac{\beta \int dE}{M_y \Phi_u} \quad (7)$$

اندیس خسارت هر عضو از میانگین وزن دار خسارت دو انتهای عضو از رابطه (۸) محسوبه می‌شود:

$$D_e = \frac{(E_i D_{ei} + E_j D_{ej})}{(E_i + E_j)} \quad (8)$$

در این رابطه  $E_i$  و  $E_j$  انرژی جذب شده در دو انتهای  $i$  و  $j$  عضو هستند. پس از محسوبه اندیس خسارت هر عضو اندیس خسارت هر طبقه از میانگین

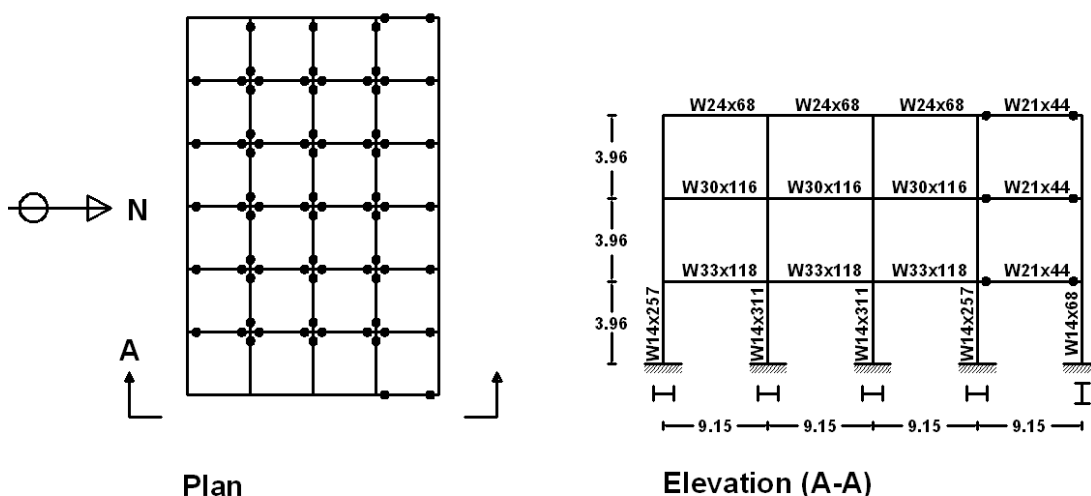
است.

### نمونه عددی

سازه سه طبقه محک. سازه سه طبقه محک که در شکل (۳) نشان داده شده است، ساختمانی به ابعاد  $36/58$  متر در  $54/87$  متر و به ارتفاع  $11/89$  متر می باشد. این سازه دارای چهار دهانه  $9/15$  متری در جهت شمال-جنوب و شش دهانه  $9/15$  متری درجهت شرقی-غربی می باشد و براساس ضوابط منطقه لوس آنجلس آمریکا طراحی شده و توسط اوتوری و همکاران [19] معرفی گردیده است. برای بررسی سیستم کنترل دو زلزله میدان نزدیک و دو زلزله میدان دور درنظر گرفته شده است که به ترتیب زلزله های الستترو (1940)، هاچینو (1968)، تورتریج (1994) و کوبه (1995) می باشد. در هر طبقه سازه یک شتاب سنج قرار گرفته است تا پاسخ های شتاب سازه را اندازه گیری کند و در اختیار قرار دهد. هم چنین باتوجه به انتخاب میراگرهایی با ظرفیت حداقل  $1000$  کیلو نیوتن، در طبقه اول  $3$  و در سایر طبقات  $2$  میراگر درنظر گرفته شده است تا نیروی کنترل مورد نظر را اعمال نمایند.

خسارت ایجاد شده نمی توان برقرار کرد، به همین دلیل امکان استفاده از این روش ها میسر نمی باشد. لذا در این مطالعه نیاز به روش آموزش بدون ناظر می باشد، چرا که متناظر با پاسخ های مختلف سازه، مقدار مطلوب خسارت در اختیار نمی باشد. درنتیجه برای آموزش بهینه شبکه عصبی از الگوریتمی استفاده شده است که نیاز به رابطه نویسی مستقیم نداشته باشد. این روش الگوریتم ژنتیک می باشد که با جستجو در فضای مسئله پاسخ های بهینه را می یابد.

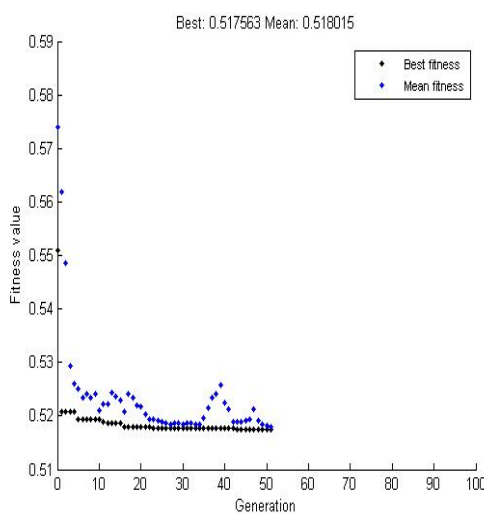
معیارهای مختلفی را می توان برای تعیین وزن ها در شبکه عصبی انتخاب نمود. این معیارها می تواند براساس کمینه نمودن شتاب طبقات سازه و یا کمینه نمودن جایه جایی نسبی طبقات و یا کمینه کردن خسارت طبقه ای خاص از سازه و یا خسارت کل سازه انتخاب گردد. هر کدام از این کنترولرها می توانند ویژگی هایی خاص خود را دارا باشد و با توجه به نوع سیستم کنترل توسط طراح انتخاب می گردد. در این پژوهش از معیار کمینه نمودن خسارت کل سازه بر مبنای شاخص خسارت پارک و انگ استفاده شده



شکل ۳ پلان و نمای سازه محک غیر خطی سه طبقه [22]

کترولی را به سازه اعمال می‌کند. در پایان هر گام میزان شاخص خسارت سازه محاسبه می‌گردد و نسبت آن با شاخص خسارت در حالت کنترل‌نشده به عنوان معیار شایستگی در الگوریتم رنتیک به کار می‌رود. در هر گام الگوریتم رنتیک با توجه به معیار شایستگی وزن‌های شبکه عصبی را اصلاح می‌کند تا وزن‌های بهینه به دست آیند. برای آموزش کترولرها، زلزله استترو باشدت ۲ برابر مورد استفاده قرار گرفته است. مدت زمان آموزش کترولرها ۳۰ ثانیه در نظر گرفته شده است.

شکل (۴) فرآیند طراحی کترولر عصبی را توسط الگوریتم رنتیک نشان می‌دهد. در این نمودار که محور قائم آن معیار شایستگی و محور افقی آن هر نسل را نشان می‌دهد، بهترین پاسخ پس از تولید ۵۰ نسل به دست آمده است و معیار شایستگی آن یعنی نسبت خسارت کل سازه در حالت کنترل شده به حالت کنترل‌نشده برابر  $0.517$  حاصل شده است. به عبارت دیگر این کترولر توانسته است خسارت کل سازه را  $48/3$  درصد کاهش دهد.



شکل ۳ فرآیند آموزش کترولر رنتیک- عصبی

**کترولر رنتیک- عصبی.** شبکه عصبی انتخاب شده در این مطالعه از نوع پیش‌خور با یک لایه ورودی، دو لایه پنهان و یک لایه خروجی می‌باشد. ورودی‌های شبکه عصبی جایه‌جایی نسبی طبقات در همان گام و دو گام پیشین و هم‌چنین نیروهای کنترل گام قبل گزینش شده است. لایه‌های پنهان در شبکه عصبی ۲۰ سلول دارند. خروجی‌های شبکه عصبی مورد استفاده نیز ولتاژ میراگرها می‌باشد. تابع فعال‌سازی برای سلول‌های شبکه عصبی از نوع تانژانت سیگموئید استفاده شده است.

**الگوریتم رنتیک.** تعداد جمعیت الگوریتم رنتیک در هر گام ۲۰ عضو انتخاب شده است. جمعیت اولیه به صورت تصادفی انتخاب شده‌اند. برای تولید جمعیت جدید ابتدا یکی از اعضای جمعیت موجود که دارای بالاترین شایستگی (نخبه) است بدون هیچ‌گونه تغییری به نسل جدید منتقل می‌شود. سایر اعضای نسل جدید با عملگرهای پیوند و جهش تولید می‌شوند. برای انتخاب والدین، از روش انتخاب احتمالاتی یکنواخت استفاده شده است. عملگر پیوند از نوع Scattered انتخاب شده است. هم‌چنین برای عملگر جهش از روش Adaptive Feasible جمعیت اولیه با تعداد ۷۸۳ عضو به صورت تصادفی انتخاب می‌گردد. این جمعیت به عنوان وزن‌های کانال‌های ارتباطی در شبکه قرار می‌گیرند. سازه تحت شتاب زلزله قرار می‌گیرد و پاسخ‌های آن توسط برنامه تحلیل غیرخطی محاسبه می‌گردد. جایه‌جایی‌های به دست آمده از تحلیل سازه به جایه‌جایی نسبی تبدیل می‌شود و به همراه نیروهای کنترل گام قبل وارد کترولر می‌گردد. کترولر عصبی با وزن‌های اولیه، ولتاژ میراگرها را پیش‌بینی می‌نماید. این ولتاژ به میراگرها اعمال می‌شود و میراگر نیز متناظر با آن ولتاژ، نیروی

محاسبه و نشان داده شده اند. این زلزله ها، الستترو و هاچینو با شدت ۱/۵ برابر و زلزله های نورتربیج و کوبه با شدت یک هستند. با مشاهده این شکل در می یابیم این کنترولر توانسته است خسارت سازه را به صورت قابل قبولی کاهش دهد. همان گونه که اشاره گردید این کنترولر تنها برای زلزله الستترو آموزش دیده است ولی توانسته خسارت سازه را در سایر زلزله هایی که برای آن آموزش ندیده است کاهش دهد. این کاهش خسارت در زلزله های کوبه و نورتربیج کمتر می باشد و دلیل آن را می توان به ماهیت این زلزله ها مربوط دانست. زیرا این کنترولر برای زلزله الستترو که از نوع دور از گسل می باشد و حرکت زمین در آن با سرعت کمتر و نوسانی است آموزش دیده است، لذا در زلزله های نزدیک به گسل مانند کوبه و نورتربیج که حرکت زمین سریع و ضربه ای است عملکرد کنترولر کاهش یافته است.

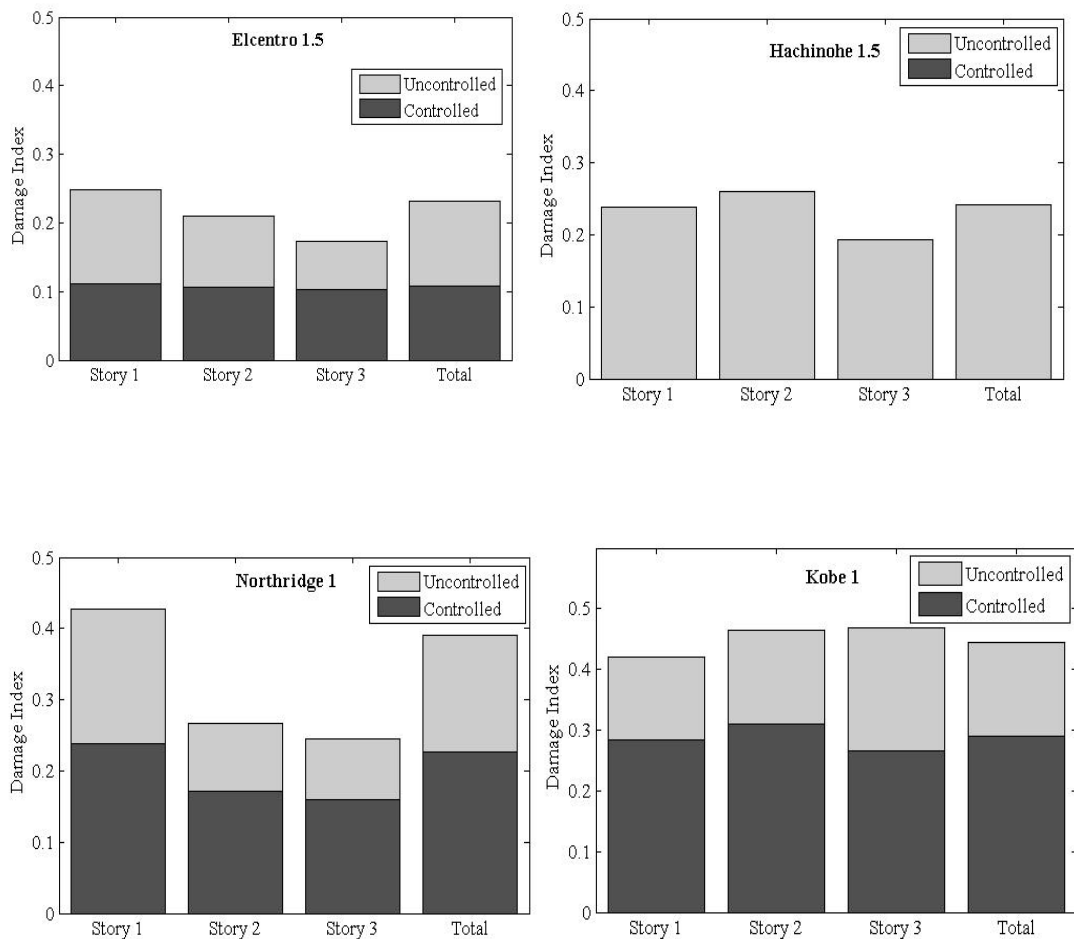
## ارزیابی و مقایسه نتایج

در این قسمت نتایج به دست آمده از کاربرد کنترولر ژنتیک - عصیانی مورد ارزیابی و مقایسه قرار خواهد گرفت. برای این منظور ابتدا نتایج حاصل از این کنترولر در سازه سه طبقه مورد بحث قرار می گیرد و سپس معیارهای ارزیابی معرفی شده در جدول (۱) برای این سازه محاسبه می گردد تا ارزیابی کمی از عملکرد این سیستم به دست آید.

شکل (۵) شاخص خسارت هر یک از طبقات و خسارت کلی سازه سه طبقه را در دو حالت کنترل شده و کنترل نشده و شکل (۶) تاریخچه جایه جایی نسبی طبقه اول سازه را در مقابل این چهار زلزله در دو حالت کنترل شده و کنترل نشده نشان می دهد. همچنین شکل (۷) ولتاژ میراگر MR طبقه اول را در زلزله الستترو نشان می دهد. این شاخص ها برای چهار زلزله مختلف نشان می دهد. این شاخص ها برای چهار زلزله مختلف

جدول ۱ معیارهای ارزیابی [24]

Interstory Drift Ratio	Level Acceleration	Base Shear
$J_1 = \text{mean} \left\{ \frac{\max_{t,i} \frac{ d_i(t) }{h_i}}{\delta^{\max}} \right\}$ Elcentro Hachinohe Northridge Kobe	$J_2 = \text{mean} \left\{ \frac{\max_{t,i}  \ddot{x}_{ai}(t) }{\dot{x}_{ai}^{\max}} \right\}$ Elcentro Hachinohe Northridge Kobe	$J_3 = \text{mean} \left\{ \frac{\max_i \left  \sum m_i \ddot{x}_{ai}(t) \right }{F_b^{\max}} \right\}$ Elcentro Hachinohe Northridge Kobe
Normed Interstory Drift	Normed Level Acceleration	Normed Base Shear
$J_4 = \text{mean} \left\{ \frac{\max_{t,i} \frac{\ d_i(t)\ }{h_i}}{\delta^{\max}} \right\}$ Elcentro Hachinohe Northridge Kobe	$J_5 = \text{mean} \left\{ \frac{\max_{t,i} \ \ddot{x}_{ai}(t)\ }{\dot{x}_{ai}^{\max}} \right\}$ Elcentro Hachinohe Northridge Kobe	$J_6 = \text{mean} \left\{ \frac{\max_i \left\  \sum m_i \ddot{x}_{ai}(t) \right\ }{\ F_b^{\max}\ } \right\}$ Elcentro Hachinohe Northridge Kobe
Ductility	Dissipated Energy	Plastic connections
$J_7 = \text{mean} \left\{ \frac{\max_{t,i} \frac{ \phi_i(t) }{\phi_{yi}}}{\phi^{\max}} \right\}$ Elcentro Hachinohe Northridge Kobe	$J_8 = \text{mean} \left\{ \frac{\max_{t,i} \frac{\int dE_j}{F_{yi} \cdot \phi_{yi}}}{E^{\max}} \right\}$ Elcentro Hachinohe Northridge Kobe	$J_9 = \text{mean} \left\{ \frac{N_d^c}{N_d} \right\}$ Elcentro Hachinohe Northridge Kobe
Normed Ductility		Damage Index
$J_{10} = \text{mean} \left\{ \frac{\max_{t,i} \frac{\ \phi_i(t)\ }{\phi_{yi}}}{\ \phi^{\max}\ } \right\}$ Elcentro Hachinohe Northridge Kobe		$J_{11} = \text{mean} \frac{D}{D_0}$ Elcentro Hachinohe Northridge Kobe

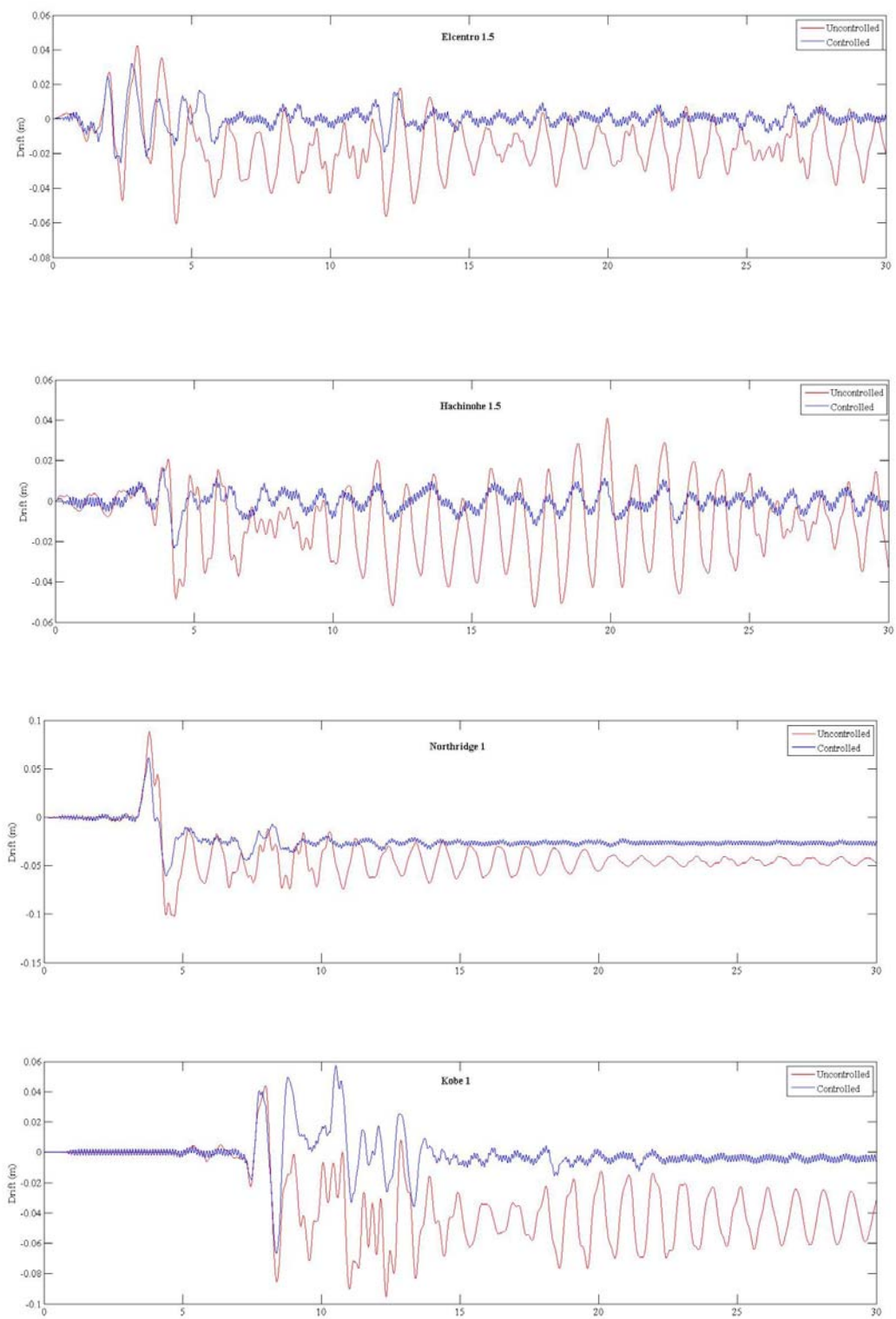


شکل ۵ خسارت کلی و طبقات سازه سه‌طبقه تحت اثر چهار زلزله مختلف و کنترولر ژنتیک- عصبی

حالت کنترل شده به کنترل نشده را نشان می‌دهد. مقدار این شاخص برای کنترولرهای مختلف و برای چهار زلزله مختلف با شدت‌های متفاوت محاسبه شده و در شکل (۶) آمده است. براساس این نتایج مقدار متوسط معیار J11 در زلزله‌های مختلف به ازای هم‌چنین برای کنترولرهای LQG، GFML و GFSL به ترتیب  $0.238$ ،  $0.238$ ،  $0.261$  و  $0.261$  به دست آمده‌اند. این نتایج نشان می‌دهند که عملکرد کنترولر ژنتیک- عصبی از دیگر کنترولرهای بهتر بوده است.

معیارهای ارزیابی J1 تا J11 برای سیستم کنترولر ژنتیک- عصبی محاسبه گردیده است. هم‌چنین عملکرد این کنترولر با کنترولر فعال LQG و دو کنترولر ژنتیک- فازی GFML و GFSL معرفی شده توسط کرم‌الدین و همکاران [۲۳] مقایسه شده است. در این کنترولرهای به جای شبکه عصبی از سیستم فازی استفاده شده است و پارامترهای آن سیستم توسط الگوریتم ژنتیک بهینه‌یابی شده‌اند.

برای ارزیابی عملکرد کنترولرهای در کاهش خسارت بر مبنای شاخص خسارت پارک و انگ، معیار J11 معرفی شده است. این معیار نسبت این شاخص در



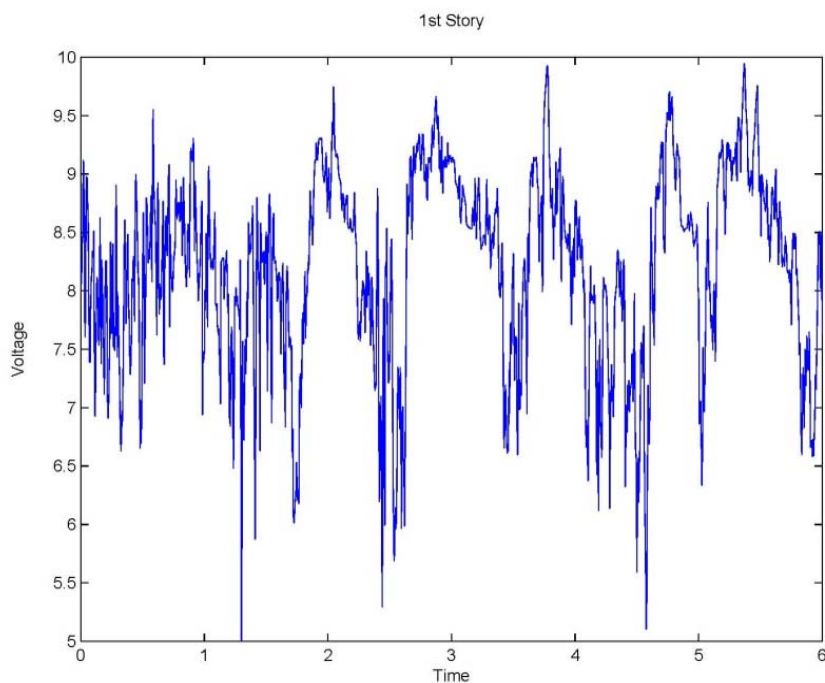
شکل ۶ تاریخچه جابه جایی نسبی (m) طبقه اول سازه سه طبقه تحت اثر چهار زلزله مختلف و کنترولر ژنتیک-عصیانی

کنترولر GFSL از سایر کنترولرها در این معیار بهتر می‌باشد. برای ارزیابی عملکرد کنترولر در کاهش نرم شتاب طبقات از معیار J5 استفاده شده است. مقدار متوسط این معیار در زلزله‌های مختلف برای هر کدام از کنترولرهای Neuro-GA ، LQG ، GFMRL و GFSL به ترتیب ۰/۵۶۸ ، ۰/۲۰۲ ، ۰/۶۳۰ و ۰/۸۴۹ به دست آمده است. این نتیجه بیانگر آن است که کنترولر Neuro-GA عملکرد نامناسبی در کاهش نرم شتاب طبقات داشته است. معیار J6 برای نشان دادن اثر کاهش نرم برش پایه زلزله به کار گرفته شده است. مقدار این معیار برای کنترولر Neuro-GA در مقایسه با سایر کنترولرها با وجود کاهش مناسب در بیشینه برش پایه، بیشتر بوده است. معیار J7 نشان‌دهنده کاهش در بیشینه میزان کاهش خسارت در عضوی که بیشترین خسارت را دارد می‌پردازد. مقدار متوسط این معیار برای کنترولر Neuro-GA ، LQG و برای کنترولرهای GFSL و GFMRL به ترتیب ۰/۴۴۲ ، ۰/۴۸۵ و ۰/۴۶۸ به دست آمده‌اند. مشاهده می‌شود که کنترولر ژنتیک-عصبی توانایی بیشتری از دیگر کنترولرها برای کاهش بیشینه شکل‌پذیری عضوهای سازه داشته است. معیار دیگری که به نوعی توانایی کنترولرها در کاهش خسارت را نشان می‌دهد، معیار J8 می‌باشد. این معیار نسبت مقدار انرژی جذب شده در حالت کترنل شده به کترنل نشده است. مقدار متوسط این نسبت برای کنترولر ژنتیک-عصبی، ۰/۰۰۷ و برای کنترولرهای دیگر به ترتیب ۰/۳۵۷ ، ۰/۱۳۵ و ۰/۱۲۵ به دست آمده‌اند. نتایج به دست آمده حاکی از آن است که کنترولر ژنتیک-عصبی با اختلاف زیادی در این معیار از سایر کنترولرها بهتر عمل نموده است. معیار J9 نشان‌دهنده کاهش در تعداد مفصل‌های پلاستیک سازه است که خود نشان دیگری از کاهش خسارت در سازه می‌باشد. مقدار این

برای بررسی پاسخ‌های دیگر سازه از معیارهای J1 تا J10 استفاده شده است. مقدار این معیارها برای کنترولرها و زلزله‌های مختلف محاسبه شده و در جدول (۳) نشان داده شده‌اند. معیار J1 نشان‌دهنده مقدار کاهش در بیشینه جابه‌جایی نسبی طبقات است. مقدار متوسط این معیار در زلزله‌های مختلف برای کنترولر ژنتیک-عصبی برابر ۰/۵۱۶ به دست آمده است که از مقدار به دست آمده برای کنترولرهای دیگر کمتر است. این مطلب نشان‌دهنده آن است که عملکرد این کنترولرها از نظر کاهش جابه‌جایی نسبی طبقات از دیگر کنترولرها بهتر بوده است. معیار J2 میزان کاهش در بیشینه شتاب طبقات را نشان می‌دهد. مقدار متوسط این معیار برای کنترولر LQG ۰/۸۰۶ می‌باشد که از مقدار مربوط به کنترولرهای دیگر کمتر است. این مقدار برای کنترولر ژنتیک-عصبی برابر ۱/۲۶۵ به دست آمده است. این معیار نشان می‌دهد گرچه کنترولر در کاهش شاخص خسارت و جابه‌جایی نسبی طبقات عملکرد مناسبی داشته است ولی نتوانسته شتاب طبقات را کاهش دهد و در بیشتر موارد افزایش شتاب به وجود آمده است. برای نشان دادن عملکرد کنترولر در کاهش بیشینه برش پایه زلزله از معیار J3 استفاده شده است. متوسط این معیار برای کنترولر ژنتیک-عصبی برابر ۰/۴۳۶ به دست آمده است که این معیار برای کنترولرهای LQG ، GFSL و GFMRL به ترتیب برای با سایر کنترولرها، کنترولر ژنتیک-عصبی عملکرد مؤثرتری داشته است. عملکرد کنترولرها در کاهش نرم جابه‌جایی نسبی طبقات با معیار J4 سنجیده می‌شود. مقدار متوسط این معیار در زلزله‌های مختلف برای کنترولر ژنتیک-عصبی برابر ۰/۵۹۱ می‌باشد. این مقدار در کنترولرهای LQG و GFSL به ترتیب ۰/۶۰۸ و ۰/۴۱۱ می‌باشد. مشاهده می‌شود عملکرد

مقدار محاسبه شده این معیار برای کنترولرهای مختلف به ترتیب  $0/498$ ,  $0/633$ ,  $0/418$ ,  $0/362$  و  $0/360$  می باشد. در این مورد عملکرد کنترولر ژنتیک-عصبی نسبتاً مناسب می باشد ولی کنترولرهای GFMRL و GFSL عملکرد بهتری داشته اند.

معیار برای کنترولرهای مورد بررسی به ترتیب  $0/289$ ,  $0/605$ ,  $0/315$  و  $0/318$  محاسبه شده است که نشان دهنده عملکرد مناسب تر کنترولر ژنتیک-عصبی است. آخرین معیار بررسی شده J10 می باشد که بیانگر کاهش نرم شکل پذیری اعضای سازه می باشد. متوسط



شکل ۷ ولتاژ میراگر MR طبقه اول در زلزله الستترو

جدول ۲ معیار ارزیابی J1 برای سازه سه طبقه

Average	Kobe 1.0	Kobe 0.5	Northridge 1.0	Northridge 0.5	Hachinohe 1.5	Hachinohe 1.0	Hachinohe 0.5	Elcentro 1.5	Elcentro 1.0	Elcentro 0.5	Controller	Index
۰/۲۳۸	۰/۶۷۵	۰/۶۳۷	۰/۶۰۸	۰/۰۰۰	۰/۰۰۰	۰/۰۰۰	۰/۰۰۰	۰/۴۶۱	۰/۰۰۰	۰/۰۰۰	Neuro-GA	$\beta = 0/1$
۰/۶۱۴	۰/۸۷۸	۰/۸۱۵	۰/۹۷۳	۰/۷۹۷	۰/۶۲۱	۰/۶۲۵	۰/۰۰۰	۰/۷۱۵	۰/۷۱۲	۰/۰۰۰	Active	
۰/۲۳۸	۰/۶۴۴	۰/۸۵۴	۰/۶۷۵	۰/۰۰۰	۰/۰۰۰	۰/۰۰۰	۰/۰۰۰	۰/۵۱۲	۰/۰۰۰	۰/۰۰۰	GFMRL	
۰/۲۶۱	۰/۶۶۹	۰/۷۳۴	۰/۶۹۵	۰/۰۰۰	۰/۰۰۰	۰/۰۰۰	۰/۰۰۰	۰/۵۱۲	۰/۰۰۰	۰/۰۰۰	GFSL	

جدول ۳ معیارهای ارزیابی برای سازه سه‌طبقه

Average	Kobe 1.0	Kobe 0.5	Northridge 1.0	Northridge 0.5	Hachinohe 1.5	Hachinohe 1.0	Hachinohe 0.5	Elcentro 1.5	Elcentro 1.0	Elcentro 0.5	Controller	Index
۰/۰۱۶	۰/۷۴۸	۰/۷۳۶	۰/۷۸۸	۰/۴۴۱	۰/۲۷۸	۰/۲۳۲	۰/۲۷۹	۰/۶۹۸	۰/۴۰۱	۰/۳۰۸	Neuro-GA	J <sub>1</sub>
۰/۷۸۹	۰/۷۹۶	۰/۸۰۹	۱/۰۷۹	۰/۸۰۸	۰/۷۸۲	۰/۷۹۸	۰/۶۳۶	۰/۸۴۵	۰/۷۴۰	۰/۵۴۴	LQG	
۰/۰۷۱	۰/۰۹۷	۱/۰۷۱	۰/۸۰۰	۰/۰۳۶	۰/۴۴۶	۰/۲۵۷	۰/۱۷۸	۰/۷۷۹	۰/۰۵۷	۰/۳۹۲	GFMRL	
۰/۰۳۳	۰/۰۹۸	۰/۸۷۳	۰/۸۳۱	۰/۳۷۰	۰/۴۴۱	۰/۲۹۹	۰/۱۷۰	۰/۷۳۷	۰/۰۵۷	۰/۳۲۷	GFSL	
۱/۲۶۵	۰/۷۵۸	۱/۱۰۹	۱/۰۲۲	۱/۱۹۷	۱/۱۷۰	۱/۲۶۱	۱/۹۰۱	۱/۱۱۸	۱/۲۳۳	۱/۸۲۸	Neuro-GA	J <sub>2</sub>
۰/۸۰۶	۰/۸۱۴	۰/۸۳۲	۰/۸۷۸	۰/۸۳۲	۰/۸۳۲	۰/۸۲۵	۰/۷۰۸	۰/۹۷۵	۰/۸۰۸	۰/۶۰۱	LQG	
۰/۸۸۲	۰/۷۰۶	۱/۰۲۵	۱/۰۴۷	۰/۹۸۷	۰/۸۵۶	۰/۷۰۳	۰/۴۹۲	۱/۱۷۱	۰/۹۵۵	۰/۹۷۸	GFMRL	
۰/۸۲۰	۰/۷۴۶	۱/۰۴۵	۱/۰۱۷	۰/۸۴۲	۰/۸۴۸	۰/۴۴۸	۰/۵۸۵	۱/۱۴۸	۰/۹۰۸	۰/۶۱۰	GFSL	
۰/۴۳۶	۰/۰۲۵	۰/۰۷۸	۰/۴۸۸	۰/۳۹۳	۰/۴۱۲	۰/۳۴۵	۰/۳۹۴	۰/۵۴۶	۰/۳۹۷	۰/۲۹۰	Neuro-GA	J <sub>3</sub>
۰/۸۱۴	۰/۹۴۱	۰/۸۶۷	۰/۸۴۴	۰/۸۳۳	۰/۹۳۵	۰/۸۱۲	۰/۵۵۳	۰/۹۲۷	۰/۹۱۵	۰/۵۱۰	LQG	
۰/۸۷۷	۱/۰۶۹	۱/۱۴۰	۱/۰۴۳	۰/۷۶۱	۱/۰۲۷	۰/۷۶۴	۰/۴۶۰	۱/۰۸۱	۰/۷۵۳	۰/۸۷۴	GFMRL	
۰/۸۵۱	۱/۰۲۸	۱/۱۱۶	۱/۰۴۹	۰/۷۵۰	۰/۸۵۱	۰/۶۳۴	۰/۵۴۹	۱/۰۷۹	۰/۸۳۵	۰/۶۲۲	GFSL	
۰/۸۰۳	۰/۹۴۷	۰/۸۷۴	۰/۹۳۹	۰/۲۸۵	۰/۵۷۹	۰/۵۷۹	۰/۷۱۲	۰/۹۹۷	۰/۹۹۲	۱/۱۳۹	Neuro-GA	J <sub>4</sub>
۰/۶۰۸	۰/۶۸۰	۰/۵۳۵	۰/۶۹۷	۰/۷۲۵	۰/۷۸۷	۰/۵۰۳	۰/۴۱۷	۰/۵۵۱	۰/۶۱۵	۰/۵۷۰	LQG	
۰/۴۱۱	۰/۴۴۵	۱/۲۶۸	۰/۸۵۷	۰/۱۱۶	۰/۲۰۰	۰/۱۵۸	۰/۱۲۱	۰/۳۷۱	۰/۳۱۸	۰/۲۵۴	GFMRL	
۰/۳۴۲	۰/۲۷۸	۰/۸۴۶	۰/۹۵۰	۰/۱۱۰	۰/۱۷۰	۰/۱۲۴	۰/۱۰۲	۰/۲۶۹	۰/۲۸۸	۰/۱۸۷	GFSL	
۷/۴۳۷	۵/۰۷۸	۷/۶۴۶	۷/۶۰۳	۱/۲۶۱	۴/۴۱۰	۵/۰۸۱	۱/۰۶۹	۴/۰۳۹	۷/۸۱۰	۱/۰۹۱	Neuro-GA	J <sub>5</sub>
۰/۵۸۶	۰/۶۶۳	۰/۵۸۷	۰/۶۴۸	۰/۶۲۰	۰/۵۸۵	۰/۴۹۶	۰/۳۹۷	۰/۶۵۸	۰/۶۶۱	۰/۵۴۴	LQG	
۰/۶۳۰	۰/۷۸۳	۰/۶۱۳	۱/۱۲۳	۰/۶۶۷	۰/۴۰۲	۰/۲۶۳	۰/۴۰۵	۰/۶۶۶	۰/۶۲۸	۰/۸۴۵	GFMRL	
۰/۸۹۴	۰/۶۹۹	۰/۷۳۹	۰/۸۰۴	۱/۳۳۴	۰/۵۲۷	۰/۶۲۴	۱/۱۶۵	۰/۸۷۲	۰/۸۵۰	۱/۰۲۰	GFSL	
۱/۳۰۴	۱/۰۴۶	۱/۴۲۴	۱/۲۶۹	۱/۱۲۹	۰/۷۵۷	۰/۸۵۰	۱/۳۲۷	۱/۱۶۵	۱/۱۲۷	۱/۱۹۸	Neuro-GA	J <sub>6</sub>
۰/۵۸۳	۰/۶۵۳	۰/۵۵۹	۰/۶۶۴	۰/۶۷۲	۰/۵۸۵	۰/۴۹۳	۰/۳۹۴	۰/۶۳۴	۰/۶۴۶	۰/۵۲۸	LQG	
۰/۶۰۷	۰/۷۷۶	۰/۶۱۱	۰/۷۵۱	۰/۶۷۳	۰/۴۳۵	۰/۳۹۳	۰/۴۰۵	۰/۷۰۰	۰/۶۶۴	۰/۶۶۲	GFMRL	
۰/۶۳۶	۰/۷۵۹	۰/۶۱۸	۰/۷۲۲	۰/۷۴۶	۰/۴۶۶	۰/۴۳۲	۰/۴۵۴	۰/۷۲۳	۰/۷۱۸	۰/۷۱۲	GFSL	
۰/۴۴۲	۰/۸۱۱	۰/۷۹۶	۰/۰۹۹	۰/۲۶۶	۰/۲۳۰	۰/۲۶۷	۰/۳۳۹	۰/۵۰۵	۰/۳۴۶	۰/۲۶۰	Neuro-GA	J <sub>7</sub>
۰/۷۶۷	۱/۰۳۰	۰/۱۸۰	۰/۹۷۷	۰/۸۰۰	۰/۷۷۰	۰/۶۲۴	۰/۵۹۳	۰/۸۰۳	۰/۷۴۵	۰/۴۸۶	LQG	
۰/۴۸۵	۰/۷۳۶	۰/۶۳۹	۰/۶۷۹	۰/۲۹۷	۰/۴۱۹	۰/۲۹۷	۰/۱۸۴	۰/۵۶۲	۰/۴۲۳	۰/۳۱۶	GFMRL	
۰/۴۶۸	۰/۷۸۵	۰/۸۴۳	۰/۷۰۱	۰/۲۶۲	۰/۳۸۱	۰/۲۵۱	۰/۱۷۹	۰/۵۶۰	۰/۴۲۴	۰/۲۹۵	GFSL	
۰/۰۰۷	۰/۰۳۵	۰/۰۰۶	۰/۰۲۱	۰/۰۰۰	۰/۰۰۰	۰/۰۰۰	۰/۰۰۰	۰/۰۰۱	۰/۰۰۰	۰/۰۰۷	Neuro-GA	J <sub>8</sub>
۰/۳۵۷	۰/۷۷۳	۰/۶۲۰	۰/۸۳۴	۰/۶۳۶	۰/۰۸۸	۰/۰۰۸	۰/۰۰۰	۰/۳۹۹	۰/۲۰۸	۰/۰۰۱	LQG	
۰/۱۳۵	۰/۵۵۹	۰/۲۳۸	۰/۴۷۰	۰/۰۰۰	۰/۰۰۰	۰/۰۰۰	۰/۰۰۰	۰/۰۰۰	۰/۰۰۰	۰/۰۰۰	GFMRL	
۰/۱۲۵	۰/۵۵۷	۰/۱۷۴	۰/۴۲۳	۰/۰۰۰	۰/۰۰۰	۰/۰۰۰	۰/۰۰۰	۰/۰۰۰	۰/۰۰۰	۰/۰۰۱	GFSL	
۰/۲۸۹	۰/۸۱۳	۰/۸۳۳	۰/۷۸۸	۰/۰۰۰	۰/۰۰۰	۰/۰۰۰	۰/۰۰۰	۰/۴۰۰	۰/۰۰۰	۰/۰۰۰	Neuro-GA	J <sub>9</sub>
۰/۶۰۵	۰/۷۸۸	۱/۰۰۰	۰/۸۷۹	۰/۹۱۷	۰/۹۱۷	۰/۰۹۱	۰/۰۰۰	۱/۰۰۰	۰/۴۵۵	۰/۰۰۰	LQG	
۰/۳۱۵	۰/۷۸۸	۰/۹۰۹	۰/۷۲۷	۰/۰۰۰	۰/۰۰۰	۰/۰۰۰	۰/۰۰۰	۰/۷۲۷	۰/۰۰۰	۰/۰۰۰	GFMRL	
۰/۳۱۸	۰/۷۲۷	۰/۹۰۹	۰/۷۲۷	۰/۰۰۰	۰/۰۰۰	۰/۰۰۰	۰/۰۰۰	۰/۸۱۸	۰/۰۰۰	۰/۰۰۰	GFSL	
۰/۴۹۸	۰/۶۵۴	۰/۰۷۱	۰/۷۱۳	۰/۰۹۸	۰/۲۸۵	۰/۳۱۷	۰/۵۶۱	۰/۴۰۰	۰/۴۱۸	۰/۷۸۵	Neuro-GA	J <sub>1</sub> <sub>0</sub>
۰/۶۳۳	۰/۸۲۸	۰/۰۴۴	۰/۷۲۹	۰/۷۹۵	۰/۹۳۲	۰/۴۶۱	۰/۴۲۰	۰/۵۳۸	۰/۵۱۵	۰/۵۶۵	LQG	
۰/۴۱۸	۰/۰۳۰	۱/۲۸۶	۰/۹۲۲	۰/۰۶۴	۰/۱۸۲	۰/۱۵۰	۰/۱۲۵	۰/۳۲۱	۰/۲۴۱	۰/۲۵۹	GFMRL	
۰/۳۶۲	۰/۴۰۰	۱/۰۴۱	۱/۰۰۱	۰/۰۶۱	۰/۱۵۷	۰/۱۱۷	۰/۰۹۷	۰/۲۲۸	۰/۲۲۶	۰/۱۸۹	GFSL	

چشمگیری کاهش دهد (به طور متوسط ۷۶ درصد) و عملکرد بهتری نسبت به سایر کنترولرهای داشته است.

۲. بررسی سایر معیارهای ارزیابی برای سازه سه طبقه نشان می‌دهد این کنترولر در معیارهای بیشینه جابه‌جایی نسبی طبقات ( $J_1$ ، بیشینه برش پایه ( $J_3$ )، بیشینه شکل‌پذیری اعضا ( $J_7$ )، انرژی جذب شده ( $J_8$ ) و تعداد مفصل‌های پلاستیک ( $J_9$ ) نیز عملکرد مناسبی داشته است؛ به عنوان مثال بیشینه جابه‌جایی نسبی طبقات را به میزان ۴۸ درصد و بیشینه برش پایه را ۵۶ درصد کاهش داده است ولی این کنترولر در معیار شتاب طبقات و نرم شتاب به خوبی عمل نکرده و شتاب سازه را افزایش داده است.

۳. نتایج گویای آن است که در کنترولر طراحی شده بر مبنای کمینه نمودن شاخص خسارت پارک و انگ، کاهش در بیشینه جابه‌جایی نسبی طبقات در سازه سه طبقه ۴۸ درصد بوده است در حالی که خسارت سازه ۷۶٪ کاهش داشته است. از این مطلب می‌توان نتیجه گرفت که استفاده از جابه‌جایی نسبی طبقات به عنوان شاخص خسارت کافی نبوده است و باید از شاخص‌های مناسب‌تری مانند شاخص خسارت پارک و انگ استفاده نمود.

## نتیجه‌گیری

در این تحقیق برای کنترل خسارت سازه از یک شبکه عصبی پیش‌خور دولایه استفاده شده است که وزن‌های آن توسط الگوریتم ژنتیک بر مبنای کمینه نمودن شاخص خسارت پارک و انگ بهینه شده‌اند. این شبکه که در هر لایه پنهان آن ۲۰ سلول دارد، در سازه سه طبقه غیرخطی محک مورد ارزیابی قرار گرفته است. ورودی‌های این شبکه جابه‌جایی نسبی تمام طبقات همراه با دو گام قبلی آنها و نیروی کنترل طبقات و خروجی آن ولتاژ میراگرهای طبقات است. این کنترولر برای زلزله‌السترو با شدت ۲ برابر آموزش داده شده است و سپس عملکرد آن در زلزله‌های السترو، هاچینو، نورتریج و کوبه بررسی گردیده است. برای مقایسه عملکرد این کنترولر از سه کنترولر دیگر نیز استفاده شده است. کنترولرهای انتخاب شده، یک کنترولر فعال و دو کنترولر ژنتیک-فازی هستند.

باتوجه به مطالعات انجام شده و نتایج بدست آمده از عملکرد کنترولر و مقایسه آن با کنترولرهای دیگر نتایج زیر حاصل گردیده است:

۱. با بررسی نتایج حاصل از محاسبه معیار شاخص خسارت ( $J_{11}$ ) برای کنترولر ژنتیک-عصیانی در سازه سه طبقه مشاهده می‌گردد این کنترولر توانسته است شاخص خسارت پارک و انگ را به طور

## مراجع

1. Kobori, T., and Minai, R., "Analysis of structural control systems: study on response-controlled structure 1", Trans. AIJ 66, pp. 257-260, (1960).
2. Kobori, T., "Quake resistant and nonlinear problems of structural vibration to violent earthquake", J. Kyoto University Disaster Prevention Laboratory, 5th Anniversary Edition, pp. 116-124, (1956).
3. Kobori, T., and Minai, R., "Analysis of structural control systems: study on response-controlled structures 2", Trans. AIJ 66, pp. 253-256, (1960).
4. Abdel-Rohman, M., and Leipholz, H. H., "General approach to active strucrural control", Journal of the Engineering Mechanics Division, Vol. 105, pp. 1007-1023, (1979).

5. Abdel-Rohman, M., and Leipholtz, H. H., "Automatic active Control of structures", *Journal of the Structural Division*, Vol. 106, pp. 663-677, (1980).
6. Abdel-Rohman, M., and Leipholtz, H. H., "Stochastic control of structures", *Journal of the Structural Division*, Vol. 107, pp. 1313-1325, (1981).
7. Zuk, W., "The past and future of structural control systems", *Structural Control*, pp. 779-794, (1980).
8. Soong, T. T., "Active structural control: Theory and Practice", John Wiley and Sons, (1990).
9. Nordel, W. J., "Active systems for elastic-resistant structures", Naval Civil engineering Laboratory, (1969).
10. Yao, J. T. P., "Concept of structural Control", *Journal of Structural Division*, Vol. 98, pp. 1567-1574, (1972).
11. Nikzad, K., Ghaboussi, J., and Stanley, L. P., "Actuator Dynamics and delay compensation using neurocontrollers", *Journal of Engineering Mechanics*, Vol. 122, pp. 966-975, (1996).
12. Ghaboussi , J., and Joghataie, A., "Active Control of structures using Neural networks", *Journal of Engineering Mechanics*, Vol. 121, No. 4, pp. 555-567, (1995).
13. Bani-Hani, K., and Ghaboussi, J., "Neural Networks for Structural Control of a Benchmark Problem, Active Tendon System", *Earthquake Engineering and Structural Dynamics*, Vol. 27, pp. 1225-1245, (1998).
14. Chen, H. M., Tsai, K. H., Qi, G. Z., Yang, J. C. S., and Amini, F., "Neural Network For Structure Control", *Journal of Computing in Civil Engineering*, Vol. 9, No. 2, pp. 168-176, (1995).
15. Adeli, H., "Neural Networks in Civil Engineering: 1989-2000", *Computer-Aided Civil and Infrastructure Engineering*, Vol. 16, pp. 126-142, (2001).
16. Sahoo, B., and Maity, D., "Damage Assesment of structure using hybrid neuro-genetic algorithm", *Applied Soft Computing*, Vol. 7, pp. 89-104, (2007).
17. Jiang, X., and Adeli, H., "Neuro-Genetic Algorithm for nonlinear active control of structures", *International Journal for Numerical Methods in Engineering*, Vol. 75, pp. 770-786, (2008).
18. Kim, D.H., Seo, S. N., Lee, I. W., "Optimal Neurocontroller for nonlinear Benchmark Structure", *Journal Of Engineering Mechanics*, Vol. 130, No. 4, pp. 424-429, (2004).
19. Ohtori, Y., Christenson, R. E., Spencer, B. F. J., and Dyke, S. J., "Benchmark Control problem for seismically excited nonlinear building", *Journal of Eng. Mech.*, Vol. 130, No. 4, pp. 366-385, (2004).
20. Dyke, S. J., Yi, F., and Carlson, J. D., "Application of magnetorheological dampers to seismically excited structures", in Proc., *Int. Modal Anal. Conf.*, Bethel, Conn, (1999).
21. Spencer, B. F., Dyke, S. J., Sain, M. K., and Carlson, J. D., "Phenomenological model of magnetorheological damper", *Journal of Engineering Mechanics*, ASCE, Vol. 123, No. 3, pp. 230-238, (1997).

22. Park, Y. J., and Ang, A. H.-S., "Mechanistic seismic Damage Model for reinforced Concrete", *ASCE Journal of Structure Engineering*, Vol. 111, No. 4, pp. 722-739, 1985.

۲۳. کرم الدین، عباس، "کنترل خسارت سازه ها به کمک الگوریتم ژنتیک- فازی" ، دانشگاه فردوسی، مشهد، (۱۳۸۸).

## بررسی اثر اندازه خردلاستیک بر رفتار مکانیکی مخلوط ماسه و خردلاستیک با دستگاه برش مستقیم\*

علیرضا رضایپور<sup>(۱)</sup>سید احسان سیدی حسینی نیا<sup>(۲)</sup>

**چکیده** در این مقاله، رفتار مکانیکی مخلوط ماسه و خردلاستیک به صورت آزمایشگاهی مطالعه شده است. در این مطالعه، از آزمون برش مستقیم استفاده شده و مصالح مورد نظر به صورت زهکشی شده بارگذاری شده‌اند. هدف از این پژوهش، تأثیر اندازه دانه‌های خردلاستیک بر رفتار ترکیب ماسه و خردلاستیک بوده است. بدین منظور، از یک نوع ماسه و سه اندازه مختلف خردلاستیک با دانه‌بنایی تقریباً یکنواخت استفاده شده است. شیوه پژوهش بدین صورت بوده است که ابتدا رفتار مکانیکی ماسه و خردلاستیک‌ها به تنها برسی شده و سپس این مطالعه، بر روی درصد‌های اختلاط مختلف ماسه و خردلاستیک انجام شده است. این پژوهش در دو بخش شامل مطالعه رفتار نشست پذیری توده‌ها در حالت فقط سربار قائم و سپس مطالعه رفتار مکانیکی تحت بارگذاری برشی انجام شده است. بررسی نتایج حاصل از بخش اول نشان می‌دهد که توده خردلاستیک‌ها نشست پذیری خیلی بیشتری نسبت به ماسه دارد. هرچه اندازه دانه‌های خردلاستیک بزرگ‌تر باشد، توده نشست پذیری کمتری دارد. بررسی آزمون‌های برشی حاصل از بخش دوم پژوهش، نشان می‌دهد که به طور کلی، افزایش درصد اختلاط خردلاستیک همواره موجب کاهش زاویه اصطکاک داخلی خاک و درنتیجه افت مقاومت برشی توده می‌شود. زاویه اصطکاک داخلی توده با افزایش اندازه دانه خردلاستیک افزایش می‌یابد. تراکم‌پذیری توده حین بارگذاری برشی با افزایش سهم خردلاستیک تا ۲۰٪ روند کاهشی دارد و پس از آن اثر ناچیزی دارد. در پایان، مدل‌تغییرشکل محدودشده نمونه‌ها به دست آمد. نتایج نشان می‌دهد که اندازه خردلاستیک بر مدل‌تغییرشکل نقش مستقیم داشته است. همچنین، مدل‌تغییرشکل توده مخلوط با افزایش سهم خردلاستیک، کاهش می‌یابد.

**واژه‌های کلیدی** مخلوط ماسه و خردلاستیک، اندازه خردلاستیک، آزمون برش مستقیم، رفتار مکانیکی.

## A Study on the Effect of Shredded Tire Size on the Mechanical Behavior of Sand and Shredded Tire Mixtures Using Direct Shear Test

A. Rezapour

E. Seyed Hosseiniinia

**Abstract** In this study, the mechanical behavior of the sand and shredded tire mixtures is studied by using direct shear box test. The aim of this research is to understand the effect of size effect of shredded tire particles on the mechanical behavior of the mixtures. Three different sizes of shredded tires are used in this study. First, the compressibility of the mixtures under consolidation pressure is studied and then, the mechanical behavior is investigated during the shear load. Under the compression stage, it is seen that the compressibility of shredded tires are much bigger than the sand alone. Also, it is seen that the compressibility is reduced as the size increases. During the shear loading stage, it is found out that the internal friction angle of the mixtures reduces as the percentage of the shredded tire increases. In addition, the friction angle is obtained larger as the size increases. As obvious, the compressibility of the mixtures increases with the increase in the percentage of shredded tire content. This is more effective until 20% content of shredded tire. The size of the shredded tire is not so effective on the compressibility, since the volumetric variation of medium to coarse shredded tire was almost equal. It is noted that in this paper, the variation of the friction angle and volumetric behavior of mixtures were investigated for different levels of specimen deformations.

**Key Words** Sand and Shredded Tire Mixture, Size Effect, Direct Shear Test, Mechanical Behavior.

\* تاریخ دریافت مقاله ۹۳/۹/۴ و تاریخ پذیرش آن ۹۴/۸/۱۰ می‌باشد.

(۱) دانش‌آموخته کارشناسی ارشد، گروه مهندسی عمران، دانشکده مهندسی، دانشگاه فردوسی مشهد.

(۲) نویسنده مسئول: دانشیار، گروه مهندسی عمران، دانشکده مهندسی، دانشگاه فردوسی مشهد.

بریده شده (tire chips) و یا به صورت پودر (در حد میلی متر و در بازه دانه های ماسه) به نام خردلایستیک (shredded tire) مورد استفاده قرار گرفته اند.

از میان تحقیقاتی که با دستگاه سه محوری انجام شده، می توان به تحقیقی که Gotteland et al. [6] انجام داد، اشاره کرد. آنها اثر چیدمان قرار گیری نوارهای لاستیکی بریده شده بر خواص مکانیکی مخلوط ماسه با لاستیک های بریده شده را مطالعه کردند. در کار دیگری توسط Bałachowski and Gotteland [7]، دستگاه سه محوری برای مطالعه رفتار مخلوط ماسه و لاستیک خردشده / بریده شده مورد استفاده قرار گرفت. آنها مشاهده کردند که مقدار زاویه اصطکاک داخلی مخلوط با افزایش درصد لاستیک، کاهش پیدا می کند. در تحقیقات دیگری توسط Zorenberg et al. [8] و [9]، از لاستیک های بریده شده به صورت نواری Lee et al. در ترکیب با خاک ماسه ای استفاده شده و پارامترهای مقاومت برشی مخلوطها به دست آمده است.

علاوه بر دستگاه سه محوری، دستگاه برش مستقیم نیز برای مطالعه مخلوط خاک و قطعات لاستیکی استفاده شده که به خاطر سهولت در نحوه انجام آزمایش، از محبوبیت بیشتری برخوردار است. شایان ذکر است اکثر تحقیقات انجام شده بر روی مخلوط ماسه و خردلایستیک، با دستگاه برش مستقیم بوده است. Attom [10] آزمایش های برش مستقیمی بر روی سه نوع ماسه با دانه بندی متفاوت و چهار درصد مختلف خردلایستیک انجام داد. بر طبق نتایج او، زاویه اصطکاک داخلی با افزایش درصد لاستیک افزایش پیدا می کند. در پژوهش دیگری، Cabalar [11] چندین آزمایش برش مستقیم بر روی دو ماسه ریز Ceyhan و ماسه ریزتر Leighton Buzzard انجام داد. ماسه Leighton Buzzard تیز گوش و ماسه Ceyhan گردگوش است. او مشاهده کرد که در ماسه Ceyhan با افزایش درصد خردلایستیک، زاویه اصطکاک داخلی کاهش یافت ولی در ماسه Leighton Buzzard با

## مقدمه

بر طبق سرشماری انجمن تولید لاستیک آمریکا (RMA: Rubber Manufacturer Association) ۲۹۹ میلیون حلقه لاستیک زاید در سال ۲۰۰۵ در آمریکا تولید شده است. هم چنین، تقریباً ۲۶۰۰۰۰۰ تن لاستیک زاید در سال ۲۰۰۳ در اتحادیه اروپا [1] ۱۰۶ میلیون حلقه لاستیک زاید در سال ۲۰۰۶ در ژاپن [2] و تقریباً حدود ۱۱۲ میلیون حلقه لاستیک هم در هندوستان [3] تولید شده است. در ایران تولید لاستیک از ۳۴ هزار تن در اول انقلاب به ۲۴۰ هزار تن در سال ۱۳۸۶ رسید که پیش بینی می شود در برنامه هفتم توسعه به ۹۳۰ هزار تن در سال ۱۴۰۴ برسد [۴]. انباسته کردن این لاستیک ها می تواند یک سری مسائل و مشکلات اجتماعی را مانند به خطر انداختن سلامتی جامعه به دنبال داشته باشد. بر همین اساس تلاش های مستمر و پیوسته ای انجام گرفته تا یک راه حل مفید و مناسب برای استفاده از این لاستیک های زاید ارائه شود. هم اکنون، حدود ۴۵ درصد از لاستیک های زاید تولید شده، به عنوان سوخت در کوره های تولید سیمان مورد استفاده قرار می گیرد. از کاربردهای دیگر ضایعات لاستیک می توان به ساخت کف پوش ها، لرزه گیر و عایق های صوتی و حرارتی اشاره کرد. در مهندسی عمران و به خصوص در مهندسی ژئوتکنیک، سعی شده است تا این مصالح به شکل ریز شده و یا خردشده استفاده شود. این مواد به عنوان مصالح پرکننده خاکریز برای پشت دیوارهای حائل [5] و لایه زهکش استفاده می شوند که معمولاً به همراه ماسه برای کاهش تراکم پذیری آن لایه استفاده می شود.

## مرواری بر تحقیقات گذشته

در مهندسی ژئوتکنیک، پژوهش های متعددی بر روی تأثیر وجود قطعات خردشده و بریده شده لاستیکی بر رفتار مکانیکی مخلوط آن با خاک انجام شده است. به طور کلی، قطعات لاستیکی استفاده شده در تحقیقات، به صورت تکه های چند سانتی متری به نام لاستیک

خرده‌لاستیک استفاده شود و تأثیر اندازه دانه‌ها بر مقاومت پرشی و تراکم‌پذیری مخلوط با خاک ماسه‌ای در درصدهای اختلاط مختلف مطالعه گردد.

### فعالیت‌های آزمایشگاهی

تمامی آزمایش‌های این پژوهش در آزمایشگاه مکانیک خاک دانشکده مهندسی دانشگاه فردوسی مشهد انجام شده است. در این پژوهش، از یک نوع ماسه و سه دسته خرده‌لاستیک با اندازه‌های متفاوت استفاده شده است. برای بررسی تأثیر محتوای خرده‌لاستیک، نمونه‌هایی با درصدهای وزنی صفر، ۲۰، ۴۰، ۷۰ و ۱۰۰ درصد برای هر یک از سه اندازه خرده‌لاستیک ساخته شده‌اند. رفتار مکانیکی مخلوط ماسه و خرده‌لاستیک با دستگاه برش مستقیم انجام شده است.

### مصالح مورد استفاده در پژوهش

مصالح مورد استفاده در این پژوهش شامل یک نوع ماسه و سه اندازه متفاوت لاستیک خردشده بوده است. از ماسه موجود در آزمایشگاه مکانیک خاک استفاده شده است. شکل ذرات ماسه تیزگوش است. خرده‌لاستیک‌ها از کارگاهی در منطقه خین‌عرب مشهد که در آن، لاستیک‌ها توسط یک رنده مکانیکی به اندازه‌های مختلف تبدیل می‌شوند، تهیه شده‌اند. در انتخاب اندازه خرده‌لاستیک‌ها طوری عمل شده است که محدودیت و شرایط استاندارد انجام آزمون برش مستقیم برای حداکثر اندازه دانه‌ها ارضا شود. در این پژوهش، خرده‌لاستیک‌ها با نام‌های خرده‌لاستیک ریز، خرده‌لاستیک متوسط و خرده‌لاستیک درشت نام‌گذاری شده‌اند. شکل (۱) شکل و اندازه دانه‌های ماسه و خرده‌لاستیک‌های مورد آزمایش را نشان می‌دهد. هم‌چنین، در این پژوهش از آزمایش‌های دانه‌بندی و تعیین دانستیئه کمینه و بیشینه توسط میز لرزان طبق استاندارد استفاده شده است که در ادامه به شرح آنها

افزودن ۱۰ تا ۲۰ درصد لاستیک خردشده، زاویه اصطکاک داخلی حداکثر به حدود ۳۷ درجه رسید. Humphrey et al. [12] مجموعه‌ای از آزمون‌های برش مستقیم را بر روی سه اندازه مختلف از لاستیک‌های بریده شده و با استفاده از جعبه برش مستقیم انجام دادند. آنها مشاهده کردند با افزایش اندازه قطعات لاستیک، مقادیر پارامترهای مقاومت پرشی افزایش یافته است. هم‌چنین، آنان مشاهده کردند که با افزایش اندازه قطعات لاستیک نمونه‌های بدون چسبندگی، دارای چسبندگی ظاهری شده‌اند. Yang et al. [13] با انجام چسبندگی آزمایش‌های برش مستقیمی بر روی لاستیک‌های خردشده، دریافتند که تنش برشی تمامی نمونه‌ها روند صعودی داشته و به مقدار حداکثری نرسیده است. در تحقیقی که توسط Ghazavi [14] انجام شد، آزمایش‌های برش مستقیمی بر روی مواد لاستیکی خردشده با ماسه در دو تراکم متفاوت انجام گرفت که نشان از تأثیر پذیرتر بودن وجود خرده‌لاستیک در نمونه‌های سست‌تر بوده است. Moo-Young et al. [15] آزمایش‌های برش مستقیمی بر روی لاستیک‌های دور انداخته شده در اندازه‌های مختلف انجام دادند. آنان بیان کردند که افزایش اندازه دانه‌ها و تراکم باعث افزایش مقاومت برشی لاستیک‌های دور ریخته شده می‌شود. هم‌چنین اگر اندازه دانه‌های لاستیک‌ها در محدوده ۵۰ تا ۱۰۰ میلی‌متر باشد، بیشترین مقدار مقاومت برشی به دست می‌آید.

باتوجه به مرور ادبیات فنی گذشته، با این که تأثیر اندازه لاستیک بریده شده در مخلوط برسی شده، ولی تاکنون اثر اندازه لاستیک خردشده (نزدیک به اندازه دانه‌های ماسه) بر رفتار مکانیکی برسی نشده است. از طرف دیگر، در ادبیات فنی به سختی یک کار پژوهشی یافت می‌شود که در آن، هر دو مقوله مقاومت برشی و تغییر‌شکل مطالعه شده باشند. از این‌رو، در این پژوهش سعی شده است تا با درنظر گرفتن مشخصات ثابتی برای یک خاک ماسه‌ای، از سه اندازه مختلف

### تعیین چگالی و تراکم نسبی

برای به دست آوردن چگالی دانه های جامد ( $G_s$ ) طبق استاندارد ASTM D854-02 عمل شده است. آزمایش فوق با دو پیکنومتر ۲۵۰ و ۱۰۰۰ میلی لیتری تکرار شده و مقادیر حاصل از این آزمایش در جدول (۱) آورده شده است. مشاهده می شود که چگالی دانه های جامد ماسه، تقریباً  $\frac{2}{5}$  برابر خردلاستیک است.

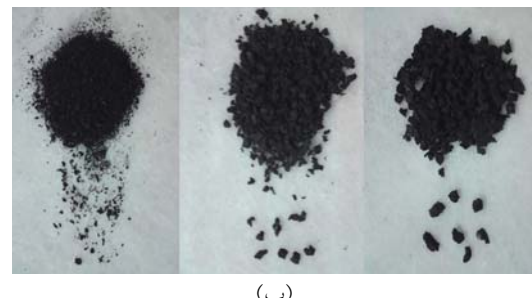
پرداخته می شود.



(الف)

جدول ۱ مقادیر چگالی دانه های جامد (گرم بر سانتی متر مکعب) برای دو حجم مختلف پیکنومتر

ماده \ پیکنومتر	۲۵۰ میلی لیتر	۱۰۰۰ میلی لیتر
خردلاستیک	۱/۱۳ - ۱/۱۴	۱/۱۴ - ۱/۱۵
ماسه	۲/۶۵ - ۲/۶۷	۲/۶۵ - ۲/۶۷



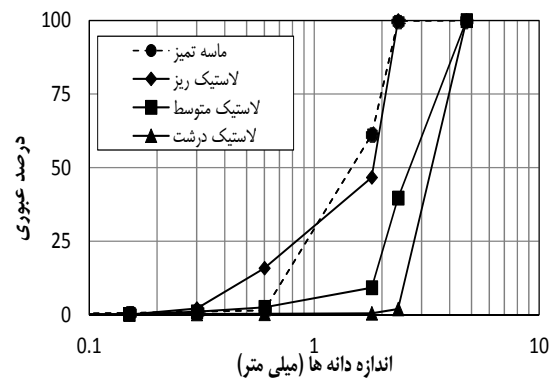
(ب)

در این پژوهش، تمامی نمونه های مخلوط ماسه و خردلاستیک در یک تراکم نسبی برابر با  $D_r = 75\% \pm 5\%$  تهیه شده اند. به منظور تعیین تراکم نسبی نمونه ها، برای هریک از نسبت های اختلاط، آزمون تعیین دانسیتی بیشینه براساس ASTM D4253- ۹۳ و آزمون تعیین دانسیتی کمینه براساس ASTM D4254-۹۳ انجام گردید که نتایج آن مطابق با جدول (۲) است. شکل (۳) مقادیر وزن مخصوص به دست آمده را برای درصد اختلاط های مختلف و خردلاستیک های ریز، متوسط و درشت با تراکم نسبی ۷۵٪ را نشان می دهد. همان طور که مشاهده می شود، با افزایش درصد لاستیک در مخلوط، وزن مخصوص کاهش یافته است. ضمناً با درشت تر شدن اندازه خردلاستیک ها وزن مخصوص بیشتر شده است، به طوری که این مقادیر بین  $۰/۵$  تا  $۱/۵$  گرم بر سانتی متر مکعب به دست آمده اند.

شکل ۱ نمایش (الف) ماسه تیزگوش و (ب) خردلاستیک های مورد آزمایش (از راست به چپ ریزتر می شود)

### دانه بندی مصالح

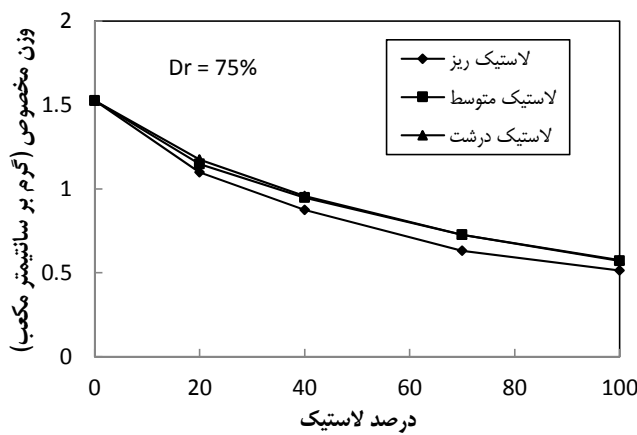
شکل (۲) منحنی دانه بندی ماسه تمیز و انواع خردلاستیک ها را نشان می دهد. مشاهده می شود که منحنی دانه بندی مربوط به خردلاستیک درشت در طرف راست نمودار قرار گرفته است.



شکل ۲ منحنی دانه بندی مصالح استفاده شده

جدول ۲ مقادیر وزن مخصوص بیشینه و کمینه مخلوط ماسه و خردلاستیک (گرم بر سانتی‌متر مکعب)

لاستیک درشت		لاستیک متوسط		لاستیک ریز		درصد محتوای وزنی لاستیک
مقدار بیشینه	مقدار کمینه	مقدار بیشینه	مقدار کمینه	مقدار بیشینه	مقدار کمینه	صفر
۱.۵۷	۱.۴۱	۱.۵۷	۱.۴۱	۱.۵۷	۱.۴۱	۰
۱.۲۱	۱.۰۸	۱.۱۸	۱.۰۶	۱.۱۴	۰.۹۹	۲۰
۰.۹۹	۰.۸۷	۰.۹۸	۰.۸۶	۰.۹۳	۰.۷۴	۴۰
۰.۷۶	۰.۶۴	۰.۷۶	۰.۶۴	۰.۶۸	۰.۵۲	۷۰
۰.۶۱	۰.۴۹	۰.۶۱	۰.۴۸	۰.۵۶	۰.۴۱	۱۰۰



شکل ۳ وزن مخصوص با درصد محتوای لاستیک برای درجه تراکم ۷۵٪

ضروری است که در ادبیات فنی، پژوهش‌هایی یافت می‌شود که در آن به تأثیر اندازه دانه‌ها توجه کرده و اعلام کرده‌اند که حداقل بعد جعبه باید بین ۵۰ تا ۳۰۰ برابر قطر دانه باشد [16].

مراحل مختلف این آزمون عبارتست از قرار دادن نمونه ساخته شده در ابزار برش مستقیم، اعمال تنش عمودی از پیش تعیین شده، تحکیم نمونه تحت تنش عمودی، بازکردن قاب‌های نگهدارنده نمونه آزمایش، جابه‌جایی افقی یک فک نسبت به فک دیگری با نرخ ثابت تغییرمکان برشی و اندازه‌گیری نیروی برشی و تغییرمکان‌های افقی نمونه تحت برش.

### شرح مختصر روش انجام آزمایش

ابتدا ماسه و خردلاستیک با درصد های وزنی از پیش

### مشخصات دستگاه برش

برای بررسی رفتار مکانیکی مخلوط ماسه و خردلاستیک از دستگاه برش مستقیم مربعی  $10 \times 10$  سانتی‌متر استفاده شده است. این دستگاه محصول سال ۱۹۹۱ میلادی شرکت ELE است و قابلیت اعمال نرخ جابه‌جایی ۰/۰۰۰۵ تا ۲ میلی‌متر بر دقیقه را دارد. گیچ‌های نصب شده روی دستگاه، حساسیتی معادل ۰/۰۰۲ میلی‌متر را دارند. این آزمون طبق استاندارد ASTM D3080 انجام شده است. طبق این استاندارد، ابعاد جعبه و ضخامت آن حداقل باید ۱۰ و شش برابر بزرگترین قطر دانه‌ها باشد که با توجه به منحنی دانه‌بندی درشت‌ترین خردلاستیک (شکل ۲)، این نسبت به حدود ۳۰ می‌رسد و درنتیجه، نگرانی بابت اندازه جعبه آزمایش وجود ندارد. البته ذکر این نکته

نیروی برشی به نمونه وارد می‌شود. این عمل به کمک موتور الکتریکی با سرعت کرنش یک میلی‌متر بر دقیقه انجام گرفته است. شایان ذکر است برای بررسی تأثیر سرعت بارگذاری، نمونه ماسه و نمونه‌های خردلایستیک به تنهایی تحت سرعت‌های جابه‌جایی ۰/۲، یک و دو میلی‌متر بر دقیقه بارگذاری شدند. با مقایسه نمودارهای تنش-کرنش آن‌ها و یکسان بودن مسیر تنش‌ها، مشاهده شد که سرعت بارگذاری نقشی بر رفتار مکانیکی ندارد. به منظور رسم پوش گسینختگی و تعیین پارامترهای مقاومت برشی، نمونه‌ها در سه سربار عمودی (قائم) ۲۵ و ۵۰ و ۱۰۰ کیلوپاسکال تحت برش قرار گرفته‌اند. با توجه به سه نوع خردلایستیک و سه سربار و پنج مقدار اختلاط قید شده، در مجموع ۴۵ آزمایش برش مستقیم انجام گرفته است. جزئیات بیشتر در مرجع [۱۷] ارائه شده است.

## نتایج

در مرحله قبل از بارگذاری برشی، نمونه‌ها فقط تحت بارگذاری قائم قرار گرفتند و درنتیجه، نشست‌پذیری نمونه‌ها بررسی شده‌اند، درحالی‌که، در مرحله دوم که بارگذاری به صورت برشی بوده است، علاوه بر بحث تراکم‌پذیری، مقاومت برشی نمونه‌ها هم مطالعه شده‌اند. نتایج درادامه تشریح شده‌اند.

### تراکم‌پذیری نمونه‌ها قبل از اعمال برش

شکل (۵) نمودار نشست بر حسب زمان نمونه‌های حاوی ماسه تمیز و خردلایستیک را نشان می‌دهد. نمونه ماسه‌ای تحت بیشترین سربار حدود ۰/۵ میلی‌متر نشست داشته است، در صورتی که نمونه خردلایستیک‌ها در حد ۱۰ میلی‌متر نشست داشته‌اند. به عبارت دیگر، اگر در خاکریزی، به جای ماسه، از خردلایستیک به عنوان مصالح پرکننده استفاده شود، مقدار نشست آن، حدود ۲۰ برابر بیشتر می‌شود. از میان خردلایستیک‌ها، همان‌طور که مشاهده می‌شود، هرچه خردلایستیک‌ها

تعیین شده باهم مخلوط می‌شوند. سپس، با درنظر گرفتن تراکم ۷۵ درصد برای نمونه‌ها و محاسبه وزن مخصوص نمونه (شکل ۳)، وزن لازم برای پرکردن قالب برش به دست می‌آید. باید نمونه را طوری متراکم نمود تا با گذاشتن صفحه برش بالایی، این صفحه با سطح بالایی قالب هم‌سطح شود. برای بررسی نشست نمونه با زمان قبل از برش، نمونه را در دستگاه قرار داده و با قرار دادن سربارها در زمان‌های مختلف مقدار گیج قائم ثبت می‌شود. نحوه بارگذاری به صورت تدریجی بوده است، بدین صورت که تا رسیدن به تنش سربار مورد نظر، سربار در چند مرحله وارد شده است. برای ثبت اولیه مقدار نشست (تحت سربار کوچک)، به جای قرار دادن اهرم بار، از یک لوله سبک و دو گیج در طرفین آن استفاده شده است. دلیل استفاده از دو گیج، سرشکن کردن نشست‌های غیر متقاضی بوده است. قرائت نشست تا زمانی طول می‌کشد که تغییرات نشست ناچیز شود. پس از ثابت شدن مقدار نشست، سربار بعدی قرار داده می‌شود. این کار تا قراردادن سربار ۱۰۰ کیلوپاسکال ادامه یافته است. شکل ۴ نمونه را تحت بارگذاری مرحله آخر (۱۰۰ کیلوپاسکال) نشان می‌دهد.



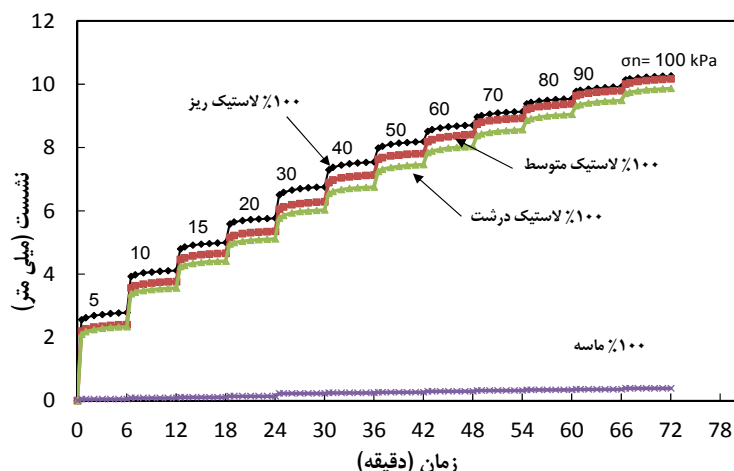
شکل ۴ نمونه تحت بارگذاری ۱۰۰ کیلوپاسکال

پس از نشست کامل نمونه در سربار مورد نظر،

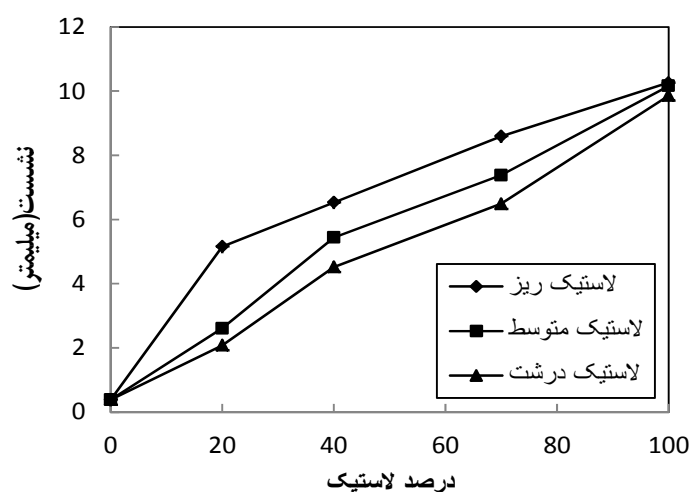
خرده‌لاستیک باعث کاهش نشست‌پذیری توده مخلوط شده است. تغییرات نشست با درصد خرده‌لاستیک از نوع متوسط و درشت تقریباً خطی است، درصورتی که نشست مخلوط با خرده‌لاستیک با دانه بزرگ‌تر، بیشتر شده است. در این نمودار، هم‌چنان مشاهده می‌شود که اندازه دانه‌های خرده‌لاستیک نقش مهمی در مقدار نشست‌پذیری دارد. هرچه دانه‌های خرده‌لاستیک درشت‌تر باشد، نشست کمتر می‌شود. البته این قاعده برای درصد اختلاط‌های ۸۰-۲۰ بیشتر بروز می‌کند.

ریزتر باشند، نشست بیشتر شده است. هم‌چنان، مقدار اختلاف نشست‌ها در میان خرده‌لاستیک‌ها، در سربارهای کم، کوچک بوده است، ولی با افزایش سربار، این مقدار اختلاف کاهش می‌یابد.

باتوجه به تراکم‌پذیری بالای مصالح خرده‌لاستیک، می‌توان این خاصیت را با افروden ماسه به آن اصلاح نمود. شکل (۶) مقدار نشست نمونه‌های مخلوط ماسه و خرده‌لاستیک تحت سربار ۱۰۰ کیلوپاسکال را بر حسب محتوای خرده‌لاستیک نشان می‌دهد. به‌طور کلی، مشاهده می‌شود که افزودن ماسه در کنار



شکل ۵ تغییرات نشست نمونه حاوی فقط ماسه و خرده‌لاستیک بر حسب زمان تحت سربارهای مختلف

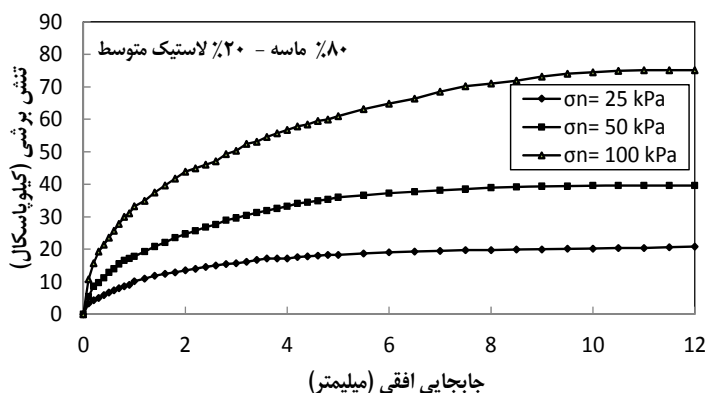
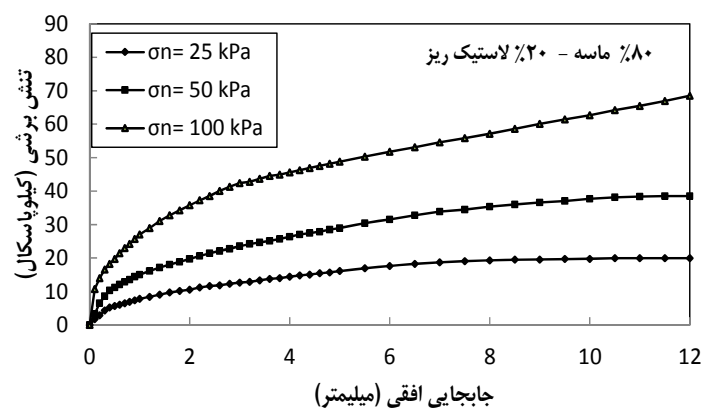
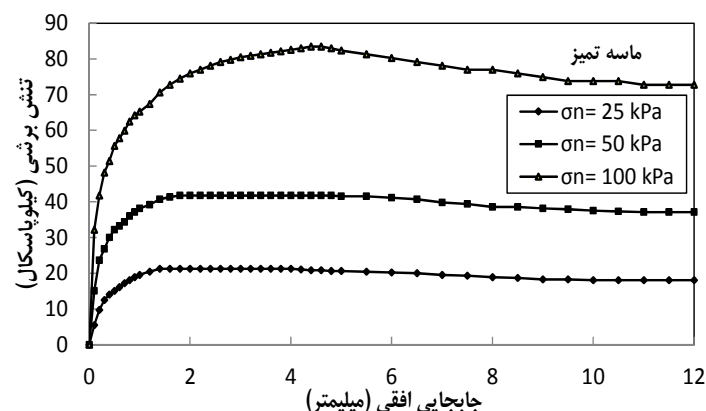


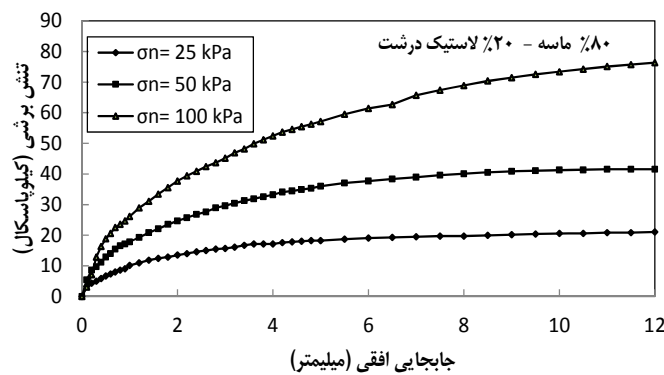
شکل ۶ نمودار حداقل نشست بر حسب محتوای خرده‌لاستیک زیر اعمال سربار ۱۰۰ کیلوپاسکال

در صورتی که با افزودن ۲۰٪ خردہ لاستیک، نقطه قله در نمودار مقاومت برشی از بین می‌رود و تنش برشی مرتباً در حال افزایش است. به عبارت دیگر، رفتار نمونه از حالت ترد (افت مقاومت پس از کرنش حدود ۴٪)، به حالت شکل‌پذیر درآمده است. در بقیه نسبت‌های اختلاط نیز چنین روند مشاهده می‌شود.

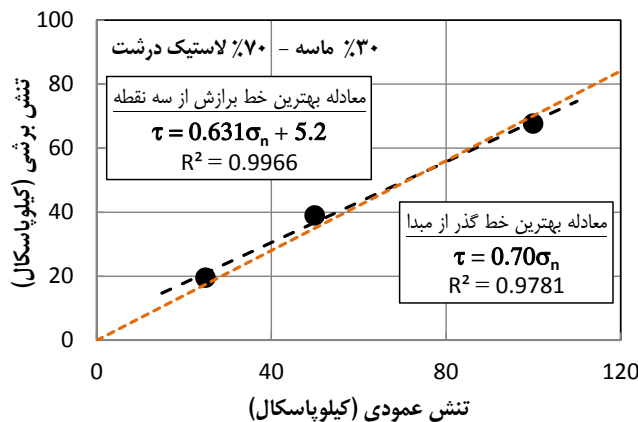
### روند تغییرات مقاومت برشی

شکل (۷) نمودارهای تغییرات تنش برشی را بر حسب جابه‌جایی افقی از نمونه ماسه تمیز و نمونه‌های حاوی ۲۰٪ خردہ لاستیک (به عنوان نمونه) از اندازه‌های مختلف نشان می‌دهد. مشاهده می‌شود که نمونه حاوی ماسه تمیز، رفتاری سخت‌شونده- نرم‌شونده دارد،





شکل ۷ تغییرات تنش برشی با جابجایی افقی تحت تنش‌های عمودی مختلف برای ماسه تمیز و مخلوط‌های ۸۰٪ ماسه- ۲۰٪ خردل‌استیک



شکل ۸ نمایش پوش‌های گسیختگی برای مخلوط ۳۰٪ ماسه- ۷۰٪ خردل‌استیک درشت

از یک پارامتر دیگر به نام زاویه اصطکاک داخلی معادل استفاده می‌شود. در واقع، این پارامتر از روی شیب بهترین خط برآش شده و گذرنده از مبدأ مختصات بدست می‌آید. مزیت استفاده از این پارامتر، سادگی در مطالعه مقاومت برشی (استفاده از یک پارامتر به جای دو پارامتر) است که در ادامه و براساس نتایج بدست آمده شرح داده می‌شوند.

در این پژوهش، معیار (پوش) گسیختگی برای تمام مخلوط‌ها با کمک برآش رسم بهترین خط مستقیم از میان سه نقطه مربوط به تنش‌های عمودی  $\sigma_n = 25, 50, 100$  kPa حاصل شده است. به عنوان نمونه، پوش‌های گسیختگی مربوط به مقادیر بیشینه تنش برشی

### پارامترهای مقاومت برشی مخلوط

مطالعه و تعیین مقاومت برشی مصالح دانه‌ای با کمک معیار کولمب انجام می‌شود که با رابطه  $\tau_f = \sigma_n \tan \phi + c$  تعریف می‌گردد. در این معیار، رابطه میان مقاومت برشی ( $\tau$ ) با تنش عمودی وارد بر سطح ( $\sigma_n$ ) توسط دو معیار زاویه اصطکاک داخلی ( $\phi$ ) و چسبندگی ( $c$ ) تعریف می‌شود. این دو پارامتر با کمک برآش دادن بهترین خط گذرنده از میان سه نقطه در فضای مختصات تنش برشی- تنش عمودی وارد بر سطح برش به دست می‌آید.

برای مصالح دانه‌ای که میان ذرات آن چسبندگی کمی و یا ناچیزی وجود دارد، به جای دو پارامتر مذکور،

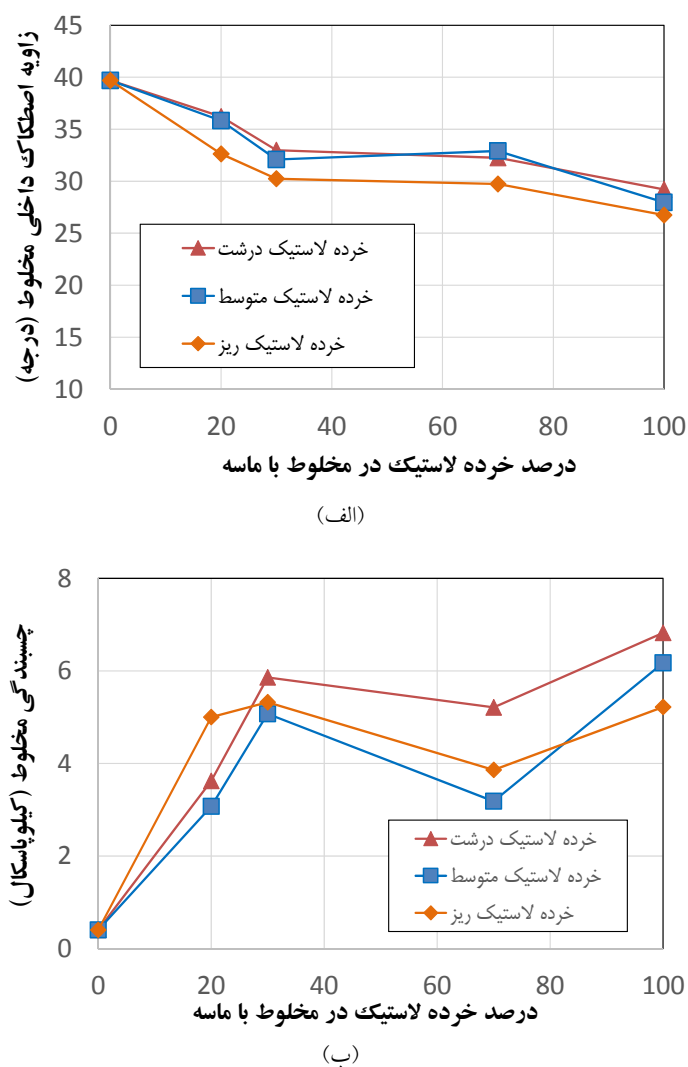
ادامه این پژوهش، مقدار زاویه اصطکاک داخلی معادل مخلوط ماسه و خردلایستیک به عنوان فقط یک پارامتر دخیل در تعریف مقاومت برشی در سطوح مختلف تغییر شکلی محاسبه و مقایسه می‌شود.

در شکل (۱۰) تغییرات زاویه اصطکاک داخلی معادل برای مخلوطهای با خردلایستیک‌های ریز، متوسط و درشت در سطوح تغییر شکل‌های مختلف و با درصدهای اختلاط مختلف نمایش داده شده است. با دقیقت در این مقادیر ملاحظه می‌شود که در تمامی نمونه‌ها با افزایش درصد محتوای لاستیک، مقدار زاویه اصطکاک داخلی کاهش می‌یابد، با این تفاوت که نمونه‌های ساخته شده از خردلایستیک درشت، کاهش کمتری را نشان می‌دهند. اگر به نمودارهای رسم شده برای جایه‌جایی سه میلی‌متر دقیقت شود، ملاحظه می‌شود که مقادیر زاویه اصطکاک داخلی از ۳۹ درجه، برای نمونه ماسه تماز تا ۱۸ درجه برای نمونه لاستیک ریز ۱۰۰ درصد کاهش پیدا می‌کند، این در حالی است که در جایه‌جایی ۹ میلی‌متر این مقادیر از ۳۷ درجه به ۲۹ درجه کاهش پیدا می‌کند. نکته دیگر آن که در نمودارهای جایه‌جایی ۹ میلی‌متر برای لاستیک درشت فقط دو درجه به ازای افزودن ۴۰ درصد لاستیک کاهش زاویه اصطکاک مشاهده می‌شود؛ یعنی حدس زده می‌شود که اگر از خردلایستیک‌هایی با اندازه‌های درشت‌تر استفاده شود، می‌توان امیدوار بود که زاویه اصطکاک داخلی ثابت باقی بماند و حتی این که بیشتر شود. البته در این صورت، دیگر به موارد مورد نظر خردلایستیک گفته نمی‌شود، بلکه در طبقه‌بندی لاستیک بریده شده قرار می‌گیرد. افزایش زاویه اصطکاک توده در مخلوط ماسه و لاستیک بریده شده توسط محققان دیگری که در بخش دو مقاله اشاره شده، گزارش شده است. در صورتی که مقدار زاویه اصطکاک برای حداکثر برش محاسبه شود، روندی مشابه با معیار جایه‌جایی ۹ میلی‌متر دیده می‌شود.

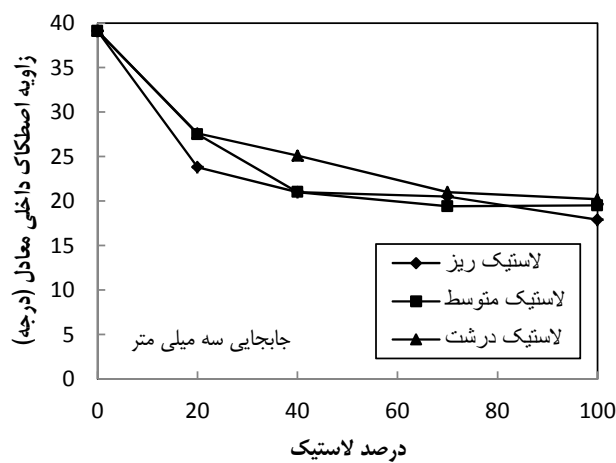
برای مخلوط ۳۰٪/ماسه - ۷۰٪/خردلایستیک درشت در شکل (۸) نشان داده شده است. منظور از  $R^2$  در این شکل، ضریب رگرسیون خطی است. معادله‌های بهترین خط‌های گذرنده از میان سه نقطه و نیز سه نقطه به همراه مبدأ مختصات نشان داده شده‌اند. عرض از مبدأ نشان‌دهنده چسبندگی است و شب خلط برابر با تأثیرات زاویه اصطکاک داخلی خاک است.

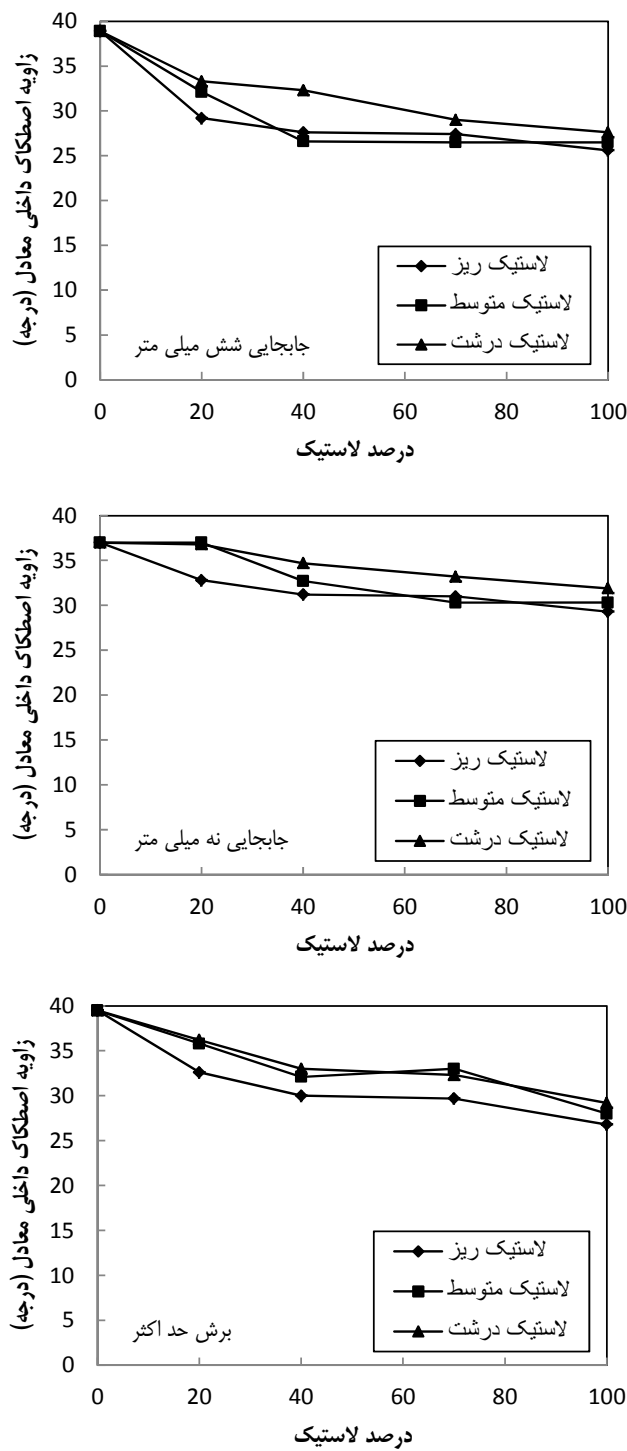
شکل (۹) روند تغییرات زاویه اصطکاک داخلی خاک (متناظر با تنفس برشی بیشینه) و چسبندگی مخلوط‌ها با درصدهای مختلف ماسه و خردلایستیک را نشان می‌دهد. در شکل (۹-الف) مشاهده می‌شود که با افزایش سهم خردلایستیک، زاویه اصطکاک داخلی مخلوط همواره کاهش می‌یابد. زاویه اصطکاک داخلی برای مخلوط‌های درشت و متوسط تقریباً مثل هم است و از مقادیر متناظر با خردلایستیک ریز بزرگ‌تر می‌باشد. شایان ذکر است که نتایج این پژوهش با نتایج قبلی [۸, ۱۱] تطابق دارد. در شکل (۹-ب) مشاهده می‌شود که در تمام آزمایش‌ها، با افزایش درصد خردلایستیک از صفر تا ۳۰ درصد، چسبندگی توده افزایش می‌یابد. ولی پس از آن در نسبت ۷۰٪/افت دارد و درنهایت، توده حاوی فقط خردلایستیک، بیشترین چسبندگی است. در ضمن، اثر مستقیم اندازه خردلایستیک‌ها به وضوح قابل مشاهده است. نتایج کارهای دیگران [۸, ۷] نیز مؤید این موضوع است که صرف نظر از اندازه دانه‌ها و در سهم‌های کوچک خردلایستیک، مخلوط حاوی ۳۰٪/خردلایستیک، بیشترین چسبندگی را داشته است.

در مکانیک خاک کلاسیک، مرسوم است که زاویه اصطکاک داخلی و چسبندگی متناظر با حداکثر تنفس برشی تحمل شده در نظر گرفته شود. این امر نشان‌دهنده حدنهایی مقاومت است. در صورتی که در دیدگاه سطوح عملکرد که هم‌اکنون در طراحی‌های رئوتکنیکی مورد توجه قرار می‌گیرد، به تغییر شکل‌های قابل تحمل خاک و سازه روی آن نیز توجه می‌شود. از این‌رو، در



شکل ۹ روند تغییرات (الف) زاویه اصطکاک داخلی، (ب) چسبندگی مخلوط ماسه با خرد لاستیک متناظر با تنش برشی بیشینه





شکل ۱۰ تغییرات زاویه اصطکاک داخنی معادل برای لاستیک‌های ریز، متوسط و درشت

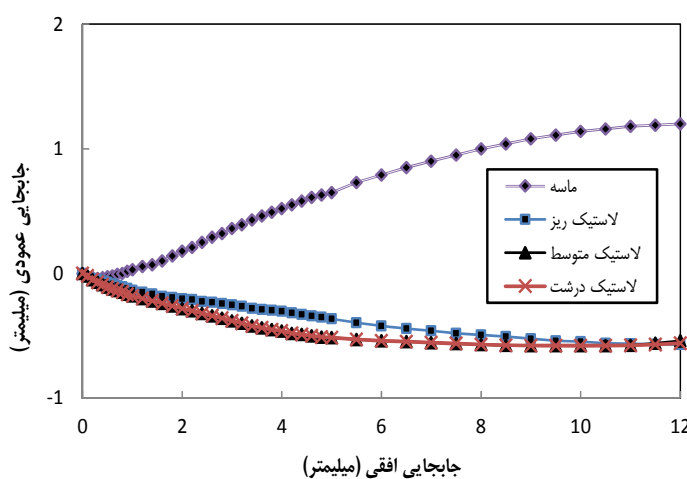
خردل‌لاستیک، تغییرات حجمی نمونه حین برش هم از اهمیت ویژه‌ای برخوردار است. زیرا تغییرشکل‌های

بررسی تغییرات حجمی نمونه‌ها حین برش علاوه بر تغییرات مقاومت برشی مخلوط ماسه و

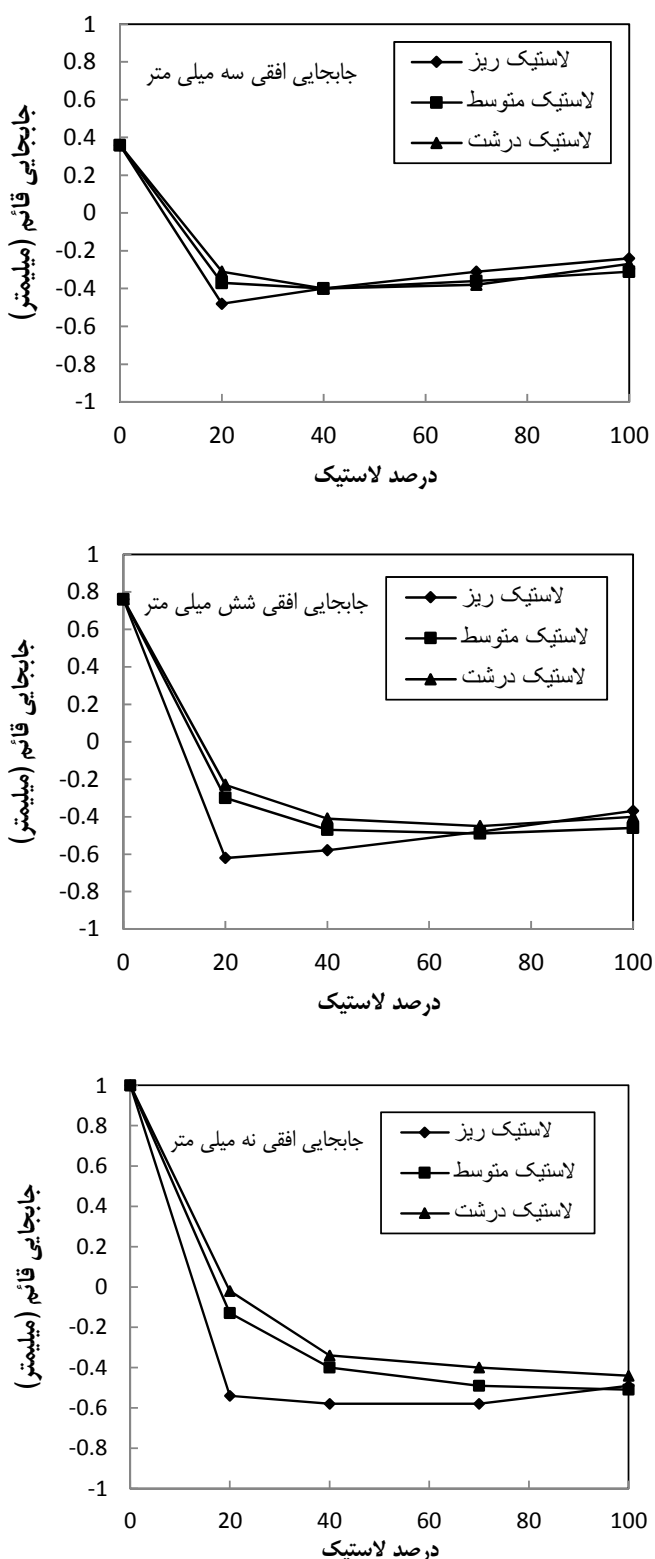
است. با این حال، باید گفت که مقدار تغییر حجم هر سه نمونه خردلاستیک، در پایان آزمایش یکسان به دست آمده است.

به منظور بررسی تأثیر درصد اختلاط ماسه و خردلاستیک، تغییرشکل‌های تمام نمونه‌ها برداشت شده است و مشابه تعریف زاویه اصطکاک داخلی در تغییرشکل‌های افقی مختلف، مقدار تغییرشکل‌های قائم در مراحل مختلف در شکل (۱۲) ارائه شده است. نمودارها همگی برای آزمایش‌های با سربار ۲۵ کیلوپاسکال نشان داده شده‌اند. مقدار مثبت محور قائم نشانگر تورم نمونه (افزایش حجم) و مقدار منفی نشانگر انقباض نمونه است. یادآوری می‌شود که رفتار ماسه بهشدت اتساعی است، ولی همان‌طور که در نمودارها مشاهده می‌شود، با افزودن ۲۰٪ خردلاستیک به ماسه، رفتار آن بهشدت تحت تأثیر قرار می‌گیرد و مقدار تورم در آن کاهش می‌باید. مقدار کاهش تورم در مخلوط با خردلاستیک بیشتر بوده است. همچنین، مشاهده می‌شود که افزودن بیش از ۲۰٪ خردلاستیک، تأثیر بسزایی در تغییر روند تغییرشکل‌ها نداشته است.

توده خاک عمدتاً تحت اعمال بارگذاری برشی رخ می‌دهند. برای بررسی تغییرات حجمی نمونه حین برش در آزمون برش مستقیم، از جایه‌جایی قائم نمونه استفاده می‌شود. به منظور مقایسه رفتار حجمی ماسه و خردلاستیک‌ها، تغییرات جایه‌جایی افقی و قائم در آزمون برش مستقیم تحت تنش عمودی ۲۵ کیلوپاسکال در شکل (۱۱) نمایش داده شده است. همان‌طور که ملاحظه می‌شود، نمونه ماسه‌ای ابتدا رفتار تراکمی دارد (در جایه‌جایی کمتر از  $0/5$  میلی‌متر معادل نیم درصد) و سپس رفتار اتساعی آن شروع می‌شود و تا انتهای آزمایش، افزایش حجم دارد؛ در صوتی که در نمونه‌های با ۱۰۰٪ خردلاستیک، رفتار تغییرشکلی فرق دارد و همگی رفتار تراکمی از خود نشان می‌دهند. دلیل تفاوت رفتار، در شکل‌پذیری دانه‌های لاستیک نیز در روند تغییرشکل‌پذیری نقش دارد، بدین صورت که خردلاستیک ریز رفتار تراکمی کمتری از خود نشان داده است. از طرفی، رفتار خردلاستیک‌های متوسط و درشت تقریباً مشابه هم بوده‌اند. به عبارت دیگر، برخلاف نشست پذیری نمونه‌ها تحت فقط سربار قائم که متأثر از اندازه دانه‌ها بود (شکل ۵)، با افزایش اندازه دانه‌ها، رفتار تغییرشکل حین برش فرقی نکرده



شکل ۱۱ تغییرات جایه‌جایی قائم نسبت به تغییرشکل افقی نمونه‌های حاوی ماسه تمیز و خردلاستیک تحت تنش عمودی ۲۵ کیلوپاسکال



شکل ۱۲ تغییرات جابجایی قائم در نسبت اختلاط‌های مختلف خردل‌لاستیک تحت تنش عمودی ۲۵ کیلوپاسکال

$$\begin{cases} \epsilon_1 = \frac{\sigma_1}{E} - \frac{v}{E}(\sigma_2 + \sigma_3) \\ \epsilon_2 = \frac{\sigma_2}{E} - \frac{v}{E}(\sigma_3 + \sigma_1) \\ \epsilon_3 = \frac{\sigma_3}{E} - \frac{v}{E}(\sigma_1 + \sigma_2) \end{cases} \quad (1)$$

که در آن، منظور از  $\epsilon_i$  و  $\sigma_i$  مؤلفه‌های کرنش و تنش در راستاهای مختلف ( $i = 1, 2, 3$ ) است. شرایط مرزی این المان در دستگاه برش مستقیم بدین صورت است که کرنش‌های جانبی صفر هستند. به عبارت دیگر:  $\epsilon_3 = \epsilon_2 = 0$ . با داشتن این شرط و تعیین تنش‌های جانبی و درنهایت، ساده کردن رابطه بر حسب تنش و کرنش در راستای ۱ داریم:

$$\sigma_1 = \frac{(1-v)E}{(1+v)(1-2v)} \epsilon_1 = M\epsilon_1 \quad (2)$$

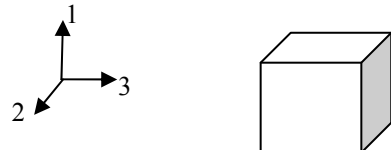
در این رابطه،  $M = \frac{(1-v)}{(1+v)(1-2v)} E$  است و در مکانیک خاک کلاسیک به «مدول تغییرشکل محدودشده» شناخته می‌شود. این مدول همان پارامتری است که در آزمون تحکیم نیز به دست می‌آید و برابر با عکس ضریب تراکم پذیری ( $m_v$ ) است. یادآوری می‌شود که در آزمون تحکیم هم، بارگذاری به صورت یک‌بعدی انجام می‌شود.

با رجوع به شکل (۵) و یادآوری این که بارگذاری قبل از اعمال برش در آزمون برش مستقیم، در ۱۲ گام مختلف انجام شده است، می‌توان روند میان تنش و کرنش ایجاد شده در نمونه‌های مختلف را بررسی کرد. در شکل (۱۴) رابطه میان تنش - کرنش محوری در راستای ۱ (راستای بارگذاری) به تفکیک برای نمونه‌های مخلوط با خرده‌لاستیک‌ها با اندازه‌های مختلف نشان داده شده است. در این نمودارها، نمودار ماسه تمیز نیز برای مقایسه نشان داده شده است.

### تعیین مدول تغییرشکل

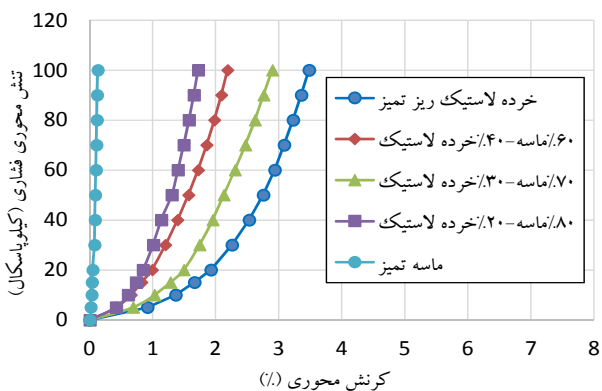
در طراحی سازه‌های ژئوتکنیکی، علاوه بر مقوله مقاومت بر شی و تعیین پارامترهای آن، باید به مقوله تغییرشکل‌ها نیز پرداخت. زیرا در خیلی مواقع نظری طراحی شالوده‌های سطحی، مقاومت بر شی خاک حاکم نیست، بلکه تغییرشکل‌ها باید از حد مجاز و سطح بهره‌برداری تجاوز کند. از این‌رو، در این بخش سعی شده است تا با کمک روابط الاستیسیتی، بتوان مدول تغییرشکل مخلوط‌ها را به دست آورد و با هم مقایسه کرد.

با فرض این که خاک ماسه‌ای و مخلوط ماسه و خرده‌لاستیک در حین بارگذاری قائم (حین متراکم کردن)، رفتار کشسان (الاستیک) داشته باشند، می‌توان پارامترهایی نظری تغییرشکل پذیری را به دست آورد.

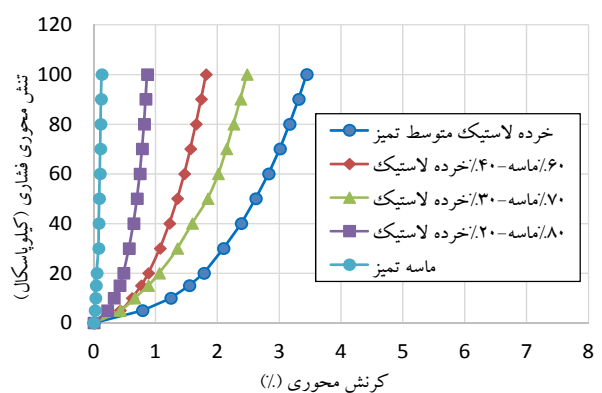


شکل ۱۳ نمایش یک المان در دستگاه مختصات دکارتی

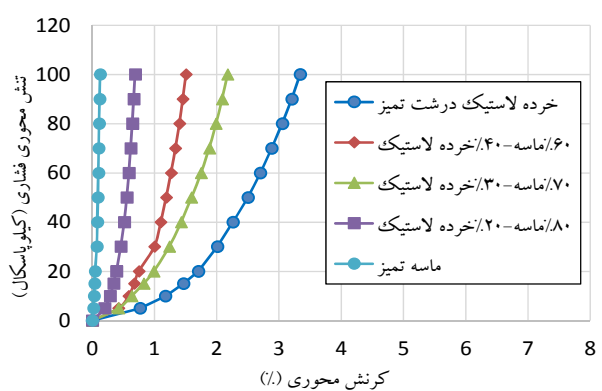
براساس نظریه کشسانی، پارامترهای تغییرشکل یک جسم بر حسب دو پارامتر مدول تغییرشکل ( $E$ ) و نسبت پواسون ( $v$ ) تعریف می‌شود. یک المان از جسمی الاستیک مطابق شکل (۱۳) در دستگاه دکارتی ۳-۲-۱ درنظر گرفته می‌شود که در راستاهای ۲ و ۳ تغییرشکل ندارد و فقط در راستای ۱ در اثر بارگذاری می‌تواند تغییرشکل دهد. این شرایط مشابه با آنچه حین بارگذاری فشاری در آزمایش برش مستقیم و قبل از مرحله اعمال برش است، اتفاق می‌افتد. رابطه کلی میان تنش و کرنش برای چنین المانی به صورت زیر است:



(الف) مخلوط با خردہ لاستیک ریز



(ب) مخلوط با خردہ لاستیک متوسط



(ب) مخلوط با خردہ لاستیک درشت

شکل ۱۴ نمایش نمودار تنش - کرنش یک بعدی برای انواع مخلوطهای ماسه و خردہ لاستیک

می دهد. مطابق شکل (۱۴)، نمودار نمونه ماسه تمیز دارای شب تندی است و نمونه های با درصد های مختلف خردہ لاستیک، شب کمتری دارند. خاطرنشان می شود که براساس آنچه که در رابطه (۲) به دست آمد

همان طور که انتظار می رود، ماسه تمیز رفتار سختی از خود نشان می دهد و با افزودن خردہ لاستیک به ماسه، رفتار این مخلوط نرم تر می شود و تحت یک سربار ثابت، کرنش های بزرگ تری از خود نشان

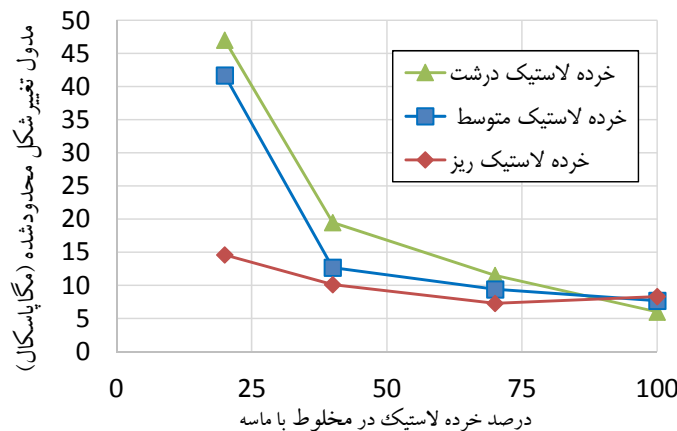
برای بررسی بهتر تأثیر نسبت اختلاط خردلاستیک بر پارامتر تغییرشکل پذیری، تغییرات  $M$  با درصد خردلاستیک برای سه اندازه ریز، متوسط و درشت در شکل (۱۵) نمایش داده شده است. مشاهده می‌شود که به طور کلی، افزودن خردلاستیک منجر به نرم‌تر شدن مخلوط می‌شود. همچنین مشاهده می‌شود که وجود اندازه درشت‌تر خردلاستیک، موجب سخت‌تر شدن نمونه می‌شود. با این حال، تغییرات سختی برای مخلوط خردلاستیک نرم، نسبت به دو نوع دیگر کمتر است.

در شکل (۱۶) روند تغییرات مدول  $M$  با اندازه خردلاستیک در درصدهای اختلاط ثابت نمایش داده است. مشاهده می‌شود که در درصدهای مختلف اختلاط خردلاستیک با ماسه، اندازه خردلاستیک در افزایش سختی مؤثر است. بدین معنی که هرچه اندازه خردلاستیک بزرگ‌تر باشد، نمونه نیز رفتار سخت‌تری از خود نشان می‌دهد. البته ذکر این نکته ضروری است که با افزایش سهم خردلاستیک، افزایش سختی نیز کاهش می‌یابد به طوری که، در حالت وجود٪ ۱۰۰ خردلاستیک، اندازه خردلاستیک نقشی در افزایش سختی نمونه ندارد.

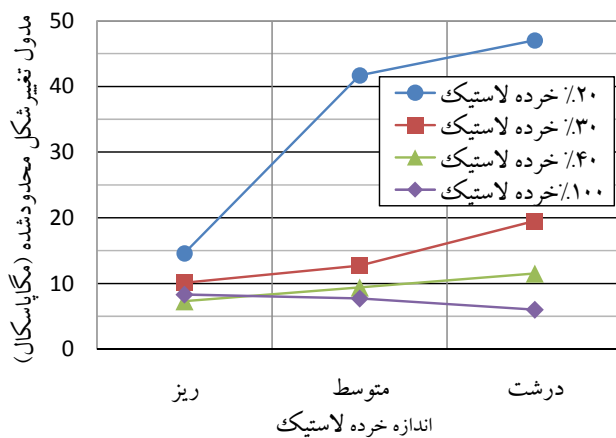
شبی این نمودارها برابر با همان مدول تغییرشکل محقدودشده است. از طرفی، مشاهده می‌شود که این نمودارها در کل، شبی ثابتی ندارند و شبی در همگی آنها ابتدا کم بوده است و با ادامه بارگذاری، افزایش یافته است. با این حال، مشاهده می‌شود که این شبی، در سطح تنش بیشتر از حدود ۴۰ کیلوپاسکال، ثابت شده است. به نظر می‌رسد دلیل این تغییرشبی در تنش‌های کمتر از ۴۰ کیلوپاسکال، مربوط به تراکم نمونه‌ها می‌باشد. در جدول (۳) مقدار مدول تغییرشکل محقدودشده مخلوط‌ها در انتهای بارگذاری (تنش عمودی ۱۰۰ کیلوپاسکال) برای درصدهای اختلاط مختلف ارائه شده است. مشاهده می‌شود که مدول ماسه در برابر مخلوط‌های مختلف با خردلاستیک به مراتب (حتی تا ۱۷ برابر) بزرگ‌تر است.

جدول ۳ مقدار مدول تغییرشکل محقدودشده مخلوط‌ها با تراکم (%/مگاپاسکال)

درصد خردلاستیک					
اندازه خردلاستیک	صفر	۲۰	۴۰	۷۰	۱۰۰
ریز	۱۵	۱۰	۷.۳	۸.۳	
متوسط	۴۲	۱۳	۹.۴	۷.۷	
درشت	۴۷	۲۰	۱۲	۶	



شکل ۱۵ تغییرات مدول تغییرشکل محقدودشده با درصد اختلاط‌های مختلف



شکل ۱۶ تغییرات مدول تغییرشکل محدود شده با اندازه خردلایستیک

در پایان، به این نکته اشاره می‌شود که دلیل اصلی در اختلاف رفتار مکانیکی (از نظر مقاومت برشی و تغییرشکلی) مخلوطهای ماسه و خردلایستیک را می‌توان در تغییر بافت و ماهیت مخلوط دانست. اگر به منحنی دانه‌بندی هر یک از مصالح (شکل ۲) توجه شود، مشاهده می‌شود که ماسه و خردلایستیک ریز تقریباً دانه‌بندی یکسانی دارند، درصورتی که دانه‌بندی خردلایستیک‌های متوسط و درشت بزرگ‌تر از دانه‌بندی ماسه تمیز است. این بدان معنی است که در مخلوط ماسه- خردلایستیک ریز می‌توان گفت که دانه‌بندی تقریباً فرفی نکرده و فقط زبری و تراکم‌پذیری مصالح متفاوت شده است. به عبارت دیگر، سهم دخالت هر دو ذره ماسه و خردلایستیک با هم برابرند. درصورتی که در مخلوطهای ماسه با خردلایستیک‌های متوسط و درشت چنین نیست. به خاطر ریزتر بودن دانه‌های ماسه، به نظر می‌رسد که مخصوصاً در درصدهای بیشتر خردلایستیک، دانه‌های ماسه نقش پرکننده را دارند و خردلایستیک‌ها رفتار غالب مخلوطها را تشکیل می‌دهند. به همین دلیل، مشاهده می‌شود که تفاوت رفتاری (هم از نظر مقاومت برشی و هم از نظر تغییرشکلی) میان مخلوطهای با خردلایستیک متوسط و درشت کم است و در عوض، رفتار این مخلوطها با نتایج رفتار مخلوط با خردلایستیک ریز فاصله دارد.

## خلاصه و جمع‌بندی

در این مقاله، رفتار مکانیکی مخلوط ماسه و خردلایستیک شامل مقاومت برشی و تغییرشکل‌پذیری بررسی شد، بدین صورت که یک نوع ماسه با سه اندازه مختلف خردلایستیک در دستگاه برش مستقیم و تحت سریار مختلف بارگذاری شدند. در مرحله اول بارگذاری و قبل از اعمال برش، قابلیت تراکم‌پذیری نمونه‌ها مطالعه شد و سپس در مرحله اعمال برش، تغییرات پارامترهای مقاومت برشی (زاویه اصطکاک معادل) و قابلیت تغییرشکل‌پذیری نمونه‌ها براساس درصد اختلاط و اندازه دانه‌ها مورد مطالعه قرار گرفت. در مرحله دوم، پارامترها براساس سطوح‌های مختلف تغییرشکل‌ها بررسی شدند. به طور خلاصه، می‌توان به نتایج زیر به عنوان دستاوردهای این پژوهش اشاره کرد:

۱. سرعت بارگذاری در دامنه مورد آزمایش در این مطالعه تأثیری بر روی رفتار مکانیکی (مقاومت برشی و تغییر حجم) نمونه‌های مخلوط نداشته است.
۲. نشست‌پذیری خردلایستیک نسبت به ماسه خیلی بیشتر است (حدود ۲۰ برابر). هم‌چنین، اندازه خردلایستیک در مقدار نشست‌پذیری نقش دارد، به طوری که با افزایش اندازه دانه‌ها، نشست نمونه‌ها کمتر شده است.

- تغییرشکل نخواهد داشت.
۸. با افزایش درصد محتوای لاستیک، نمونه‌ها افزایش حجم کمتری از خود نشان می‌دهند و بیشتر تمایل به متراکم شدن دارند.
۹. در این مقاله، به محاسبه مدول تغییرشکل محدود شده پرداخته شد و مشاهده گردید که در میان نمونه‌های مخلوط ماسه و خردل‌لاستیک، سخت‌ترین نمونه مربوط به درصد اختلاط ۲۰٪ خردل‌لاستیک است.
۱۰. رفتار تغییرشکلی (سختی) نمونه با درصد اختلاط ۳۰٪ شبیه به نمونه با ۱۰۰٪ خردل‌لاستیک است. در صورتی که نمونه‌های با درصد اختلاط بیشتر و یا کمتر، سختی بیشتری از خود نشان می‌دهند.
۱۱. اندازه خردل‌لاستیک‌ها در افزایش سختی نمونه‌های مخلوط با ماسه نقش مثبت دارند. اما، با افزایش سهم خردل‌لاستیک‌ها، تأثیر اندازه خردل‌لاستیک‌ها کم می‌شود، به طوری که سختی نمونه‌های با ۱۰۰٪ خردل‌لاستیک، باهم برابر است.
۳. نشت پذیری نمونه‌ها تحت بارگذاری قائم با افزایش درصد محتوای لاستیک، افزایش می‌یابد.
۴. وزن مخصوص نمونه‌ها با افزایش درصد محتوای لاستیک، کاهش می‌یابد. در حالی که با افزایش اندازه دانه‌های لاستیک‌های خرد شده و همچنین افزایش سربار، وزن مخصوص افزایش پیدا می‌کند.
۵. زاویه اصطکاک داخلی معادل، با افزایش درصد محتوای لاستیک، کاهش می‌یابد. از طرف دیگر، نمونه‌های ساخته شده با خردل‌لاستیک‌های درشت‌تر، زاویه اصطکاک داخلی بیشتری را نشان می‌دهند.
۶. در بررسی زاویه اصطکاک داخلی معادل، در جایه‌جایی نه میلی‌متر از جایه‌جایی سه و شش میلی‌متر، زاویه اصطکاک داخلی بزرگ‌تری مشاهده می‌شود.
۷. با این‌که مasse تحت برش به سرعت از خود رفتار اتساعی نشان می‌دهد، نمونه‌های حاوی فقط خردل‌لاستیک، فقط حالت تراکم پذیری دارند. اگر از حدی، اندازه دانه‌ها بزرگ‌تر شود، دیگر نقشی در

## مراجع

- Shulman, V.L., "Tire recycling", European Tyre Recycling Association (ETRA) 15, (2004).
- JATA, "Tyre recycling handbook", Tokyo: Japan Automobile Tire Manufacturers Association, (2007).
- Rao, G. and R.K. Dutta, "Compressibility and strength behaviour of sand-tyre chip mixtures", *Geotechnical and Geological Engineering*. Vol. 24, pp. 711-724,(2006).
- زارع، م. ز.، "تحلیل استراتژیک صنعت تایر ایران"، نشریه صنعت لاستیک ایران، صص ۱۷-۵، ج. ۶۲. (۱۳۹۰).
- Khan, R.A. and A. Shalaby., "Performance of a road base constructed with shredded rubber tires", in *Proceeding of Annual Conference of the Canadian Society for Civil Engineering. Montreal, Quebec, Canada*, (2002).
- Gotteland P., L.S., Bałachowski L., "Strength characteristics of tyre chips – sand mixtures", *Studia Geotechnica et Mechanica*, Vol. 27(1-2), pp. 55-66, (2005).
- Bałachowski and P. L. Gotteland, "Characteristics of Tyre Chips-Sand Mixtures from Triaxial Tests", *Hydro-Engineering and Environmental Mechanics*. Vol. 54(1), pp. 25-36, (2007).
- Zornberg, J.G., Y.D. Costa, and B. Vollenweider. "Mechanical performance of a prototype

- embankment backfill built with tire shreds and cohesive soil", in Proceedings of the 83<sup>rd</sup> Annual Meeting, Washigton D.C.: Transportation Research Board, (2004).
9. Lee, J.H., R. Salgado, A. Bernal., and C.W. Lovell., "Shredded tires and rubbersand as lightweight backfill", *Journal of Geotechnical and Geoenvironmental Engineering*, Vol. 125(2), pp. 132-141, (1999).
  10. Attom, M., F., "The Use of Shredded Waste Tires To improve The Geotechnical Engineering Properties of Sands", *Environmebtal Geology*. Vol. 49, pp. 497-503, (2005).
  11. Cabalar, A.F., "Direct Shear Tests on Waste Tires–Sand Mixtures", *Geotechnical and Geological Engineering*, Vol. 29, pp. 411-418, (2010).
  12. Humphery, D.N., Sandford, T.C., Cribbs, M. M., and Manion, W. P., "Shear Strength and Compressibility Of Tire Chips For Use As Retaining Wall Backfill", *Transportation Research Record*. Vol. 1422, pp. 29-35, (1993).
  13. Yang, S., Lohnes, R.A., and Kjartanson, B.H., "Mechanical properties of shredded tires", *Geotechnical Testing Journal*. Vol. 25(2), pp. 44-52, (2002).
  14. Ghazavi, M., "Shear Strength Characteristics Of Sand-mixed With Granular Rubber", *Geotechnical and Geological Engineering*. Vol. 22, pp. 401-416, (2004).
  15. Moo-Young, H., K. Sellasie, D. Zeroka, and S. G., "Physical and Chemical Properties of Recycled Tire Shreds for Use in Construction", *Journal of Environmental Engineering*. Vol. 129(10), pp. 921-929, (2003).
  16. Jewell, R.A. and C.P. Wroth, "Direct shear tests on reinforced sand", *Géotechnique*. Vol. 37(1), pp. 53-68, (1987).
  ۱۷. رضاپور، ع. "بررسی اثر اندازه خردلایستیک بر رفتار مکانیکی مخلوط ماسه و لاستیک به کمک آزمون DST", پایان نامه کارشناسی ارشد، دانشگاه فردوسی مشهد، (۱۳۹۲).

## حذف هیدروکربن‌های نفتی از آب‌های آلوده با فرآیند فتوکاتالیستی خورشیدی \*

فتح سروش<sup>(۱)</sup> حسین گنجی‌دوست<sup>(۲)</sup> بیتا آبی<sup>(۳)</sup>

**چکیده** حذف هیدروکربن‌های نفتی از آب‌آلوده به صورت سنتزی در یک فتوکاتور خورشیدی در حضور نانو ذرات  $TiO_2$  پوشش یافته بر صفحات بتنه انجام گردید. فتوکاتور مورد استفاده شامل یک مخزن ذخیره به حجم ۷ لیتر همراه با پمپ شناور، سیستم پاکانی با ۵ عدد پله تشییت شده با نانو  $TiO_2$ ، یک سریز به حجم ۵ لیتر در بالای پلاکان و شاسی فلزی با ملحقات آن بود. در این راکتور بخش ماوراء بخش (UV) نور خورشید به عنوان منبع تأمین انرژی به جای لامپ UV استفاده شد. پارامترهای بهینه pH برابر ۵، بارگذاری جرمی ۶۰ گرم بر متر مربع، مدت زمان تابش UV معادل ۲۰۰ دقیقه، غلظت اولیه ۱۰۰ میلی‌گرم بر لیتر و غلظت  $H_2O_2$  برابر ۲۰۰۰ میلی‌گرم بر لیتر بودند. نتایج نشان داد که در شرایط بهینه COD، مجموع هیدروکربن‌های نفتی (TPH) و هیدروکربن‌های چند-حلقوی (PAHs) به ترتیب برابر با ۷۰/۴۸، ۶۷/۶۳ و ۸۴/۷۵ درصد می‌باشد. همچنین نتایج آزمایش GC-FID در شرایط بهینه نشان داد که بیشتر هیدروکربن‌های حذف شده از نوع پلی‌آروماتیک بودند و آن‌چه باقی‌ماند از نوع هیدروکربن‌های بدون خطر آلیفاتیک بود.

**واژه‌های کلیدی** فتوکاتور خورشیدی،  $TiO_2$ ، بتن سبک، COD، PAH، TPH.

## Removal of Petroleum Hydrocarbons from Contaminated Waters Using a Solar Photocatalytic Process

F. Soroush H. Ganjidoust B. Ayati

**Abstract** Removal of petroleum hydrocarbons from synthetic contaminated water using with photocatalytic process was conducted in the presence of nano  $TiO_2$  immobilized on the concrete plates. The solar photoreactor was consisted of storage tank of 60 L with floating pump, cascade system with 5 concrete steps, a 5 L weir on the top of the stairs and metallic chassis. The UV-A radiation of the sunlight was used instead of UV-A lamps as the irradiation source. The optimum parameters were pH of 5,  $TiO_2$  mass loading of 60 grm<sup>-2</sup>, UV equivalent irradiation time of 200 min, initial concentration of 100 mgL<sup>-1</sup> and  $H_2O_2$  concentration of 2000 mgL<sup>-1</sup>. The results demonstrated that under optimal conditions removal efficiency of chemical oxygen demand (COD), total petroleum hydrocarbons (TPH) and poly aromatic hydrocarbons (PAHs) were 70.48%, 67.63 % and 84.75% respectively. Also the results of GC-FID analysis indicated that most of PAHs were eliminated and only non-toxic aliphatic hydrocarbons were remained.

**Key Words** Solar Photoreactor,  $TiO_2$ , Light-Weighted Concrete, TPH, PAH, COD.

\* تاریخ دریافت مقاله ۹۳/۱۰/۳ و تاریخ پذیرش آن ۹۵/۲/۲۸ می‌باشد.

(۱) دانشجوی کارشناسی ارشد، مهندسی عمران (محیط‌زیست)، دانشگاه تربیت مدرس، تهران.

(۲) نویسنده مسئول: استاد، دانشکده مهندسی عمران و محیط زیست، دانشگاه تربیت مدرس، تهران.

Email: h-ganji@modares.ac.ir (۳) دانشیار، دانشکده مهندسی عمران و محیط زیست، دانشگاه تربیت مدرس، تهران.

زمین UV است که ۹۸ درصد آن UV-A می‌باشد و شدت تابش آن نزدیک سطح زمین در یک روز آفتابی حدود ۲۰–۳۰ وات بر مترمربع می‌باشد، که می‌توان از آن بهره جست [18]. از سیستم فتوکاتالیستی خورشیدی تاکنون برای تصفیه پساب‌های مختلف استفاده شده است به عنوان مثال Ghaly و همکاران برای تصفیه پساب صنایع کاغذ، در حضور نور خورشید و  $TiO_2$  به غلظت  $0.75 \text{ gr/L}$  در مدت زمان ۱۸۰ دقیقه به راندمان حذف COD برابر  $70/5$  درصد رسیدند [16]. Monteagudo و همکاران با  $TiO_2$  به غلظت  $0.8 \text{ gr/L}$  در حضور  $H_2O_2$  به غلظت  $13 \text{ gr/L}$  در مدت زمان ۸۰ دقیقه به حذف کامل سیانید و فرمات از پساب نیروگاه برق رسیدند [17]. Zayani و همکاران برای حذف  $TiO_2$  رنگ‌های آزو از پساب صنایع نساجی با  $TiO_2$  ثبیت شده برابر  $10 \text{ gr/m}^2$  درصد رسیدند [18]. Roa و همکاران، برای تصفیه پساب رنگی با  $0.79 \text{ g/m}^2$  در حدود  $83 \text{ mg/L}$  درصد TOC (Total Organic Carbon) حذف نمودند [18]. در این تحقیق بتن سبک با سنگدانه پامیس ساخته شد و نانوذرات  $TiO_2$  با استفاده از چسب بتن اپوکسی به بستر ثبیت شد. به طور کلی هدف استفاده از بخش ماورای بنفش نور خورشید به جای لامپ UV در فرآیند فتوکاتالیستی در حذف هیدروکربن‌های نفتی با هدف صرفه‌جویی در مصرف انرژی و استفاده از انرژی پاک بود.

## مواد و روش‌ها

### مشخصات فتورآکتور

طراحی هیدرولیکی سازهٔ پلکانی فتورآکتور از طریق معادله مانینگ [20] انجام گرفت که به ازای ضخامت جریان  $1/5$  میلی‌متر، بیشترین نرخ جریان عبوری برای حالت جریان ورقه‌ای  $3 \text{ لیتر بر دقیقه}$  در نظر گرفته شد. فتورآکتور ساخته شده با رژیم جریان ناپیوسته چرخشی

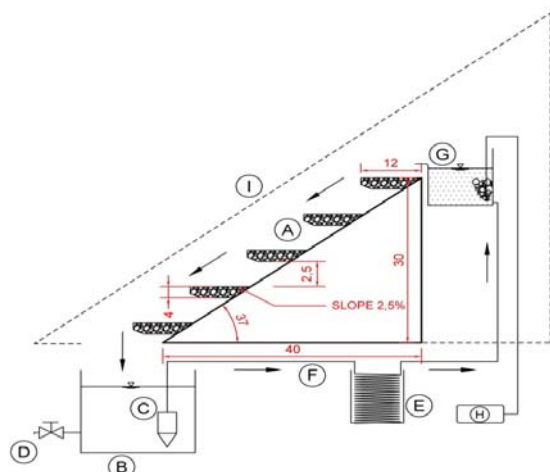
## مقدمه

ترکیبات نفتی مجموعه‌ای از هیدروکربن‌های آلیفاتیک و آروماتیک هستند. آروماتیک‌ها جزء ترکیبات پایدار، سخت تجزیه‌پذیر، سمی و سرطانزا برای انسان می‌باشند [1]. منابع ایجاد آلودگی‌های نفتی در محیط آبی شامل ریزش نفتی [2]، پساب پالایشگاه [3]، آب تولیدی در میادین نفتی، نشت از مخازن ذخیره یا لوله‌های انتقال سوخت [4]، آب توازن نفتکش [5]، و رواناب حاصل از بارش در پمپ بنزین‌ها [6] می‌باشد. ایران با دارا بودن ۱۰ درصد از منابع نفتی جهان، تأسیسات ذخیره‌سازی به ظرفیت  $8/8 \text{ میلیارد لیتر}$ ، بیش از  $2300$  جایگاه سوخت‌گیری، بیش از  $8000$  تانکر حمل نفت و فرآورده‌های نفتی،  $82$  انبار نفت و توزیع روزانه بیش از  $233$  میلیون لیتر فرآورده‌های نفتی [7]، پتانسیل بالای آلودگی منابع آبی به مواد نفتی را دارد. از میان روش‌هایی چون جذب [8]، فیلتراسیون [9]، غشا [10]، انعقاد [11]، اکسیداسیون پیشرفت [12]، برکه ثبیت [13] و تصفیه بی‌هوایی [14] را نام برد. روش‌های فیزیکی مانند جذب تنها آلودگی را از فازی به فاز دیگر منتقل می‌کنند. راندمان فرآیند بیولوژیکی پایین اما ارزان است در حالی که راندمان روش‌های شیمیایی بالا اما هزینه‌بر است. امروزه یکی از روش‌های اکسیداسیون پیشرفت (Advanced Oxidation Process (AOP)) به نام روش فتوکاتالیستی ناهمگن (Heterogeneous Photocatalysis Process) کاربرد گسترده‌ای یافته است [15]. در این فرآیند ترکیبات آلی پیچیده در حضور  $TiO_2$  به صورت ثبیت شده تحت تابش نور UV با تولید رادیکال‌های هیدروکسیل به ترکیبات ساده‌تر تجزیه می‌شوند [16]. با توجه به فعل ابدون  $TiO_2$  در ناحیهٔ ماورای بنفش نزدیک (طول موج  $400-300$  نانومتر)، این فرآیند به طور متداول با لامپ‌های UV-A انجام می‌گیرد که استفاده از آنها هزینه‌بر است [17]. از طرفی  $5$  درصد تابش خورشید رسیده به سطح

پلکان هدایت می‌کرد. برای محافظت رآکتور در برابر باد و باران و جلوگیری از تبخیر، پیرامون رآکتور با صفحات شیشه ۳ میلی‌متری پوشانیده شد. مخزن ذخیره به حجم ۶۰ لیتر به همراه پمپ شناور، پساب را با نرخ ۲۰۰ لیتر در ساعت به گردش در می‌آورد. یک عدد پمپ هواده برای جبران اکسیژن محلول با نرخ هواده‌ی ۲۷۰ لیتر بر ساعت در سرریز مستقر گردید. مشخصات فتورآکتور در جدول (۱) آمده است.

(Recycling Batch) شامل سه قسمت مخزن ذخیره آلینده، هسته فتوکاتالیستی رآکتور و شاسی و ملحقات آن بود (شکل ۱ و ۲).

هسته فتوآکتور شامل پنج عدد پله به ابعاد  $24 \times 12 \times 4\text{ cm}$  با شیب  $2/5$  درصد از جنس بتن سبک با سنگدانه پامیس (pumice) بود که با نانو  $\text{TiO}_2$  تثبیت گردید. فواصل قائم پله‌ها  $2/5\text{ cm}$  درنظر گرفته شد. سرریز به حجم پنج لیتر از جنس ورق گالوانیزه در بالای پلکان بتنی جریان را به صورت یکنواخت بر سطح



شکل ۱ طرح شماتیک فتوآکتور خورشیدی مورد استفاده A: پلکان بتنی، B: مخزن تغذیه، C: پمپ، D: شیر نمونه‌گیری، E: حمام ترمومتریک، F: لوله رابط، G: سرریز، H: هواده، I: صفحات شیشه‌ای ۳ میلی‌متر



شکل ۲ تصاویر واقعی از فتوآکتور خورشیدی

جدول ۱ مشخصات راکتور طراحی شده

مقدار	پارامتر
۱/۱۲	سطح کل نورگیر ( $m^2$ )
۰/۱۱۴	سطح کل ثبیت شده ( $m^2$ )
۰/۳۸۵	حجم ناحیه فتوکاتالیستی (L)
۵	حجم سرریز (L)
۶۴	حجم مخزن تغذیه (L)
۳۷	زاویه راکتور با سطح افق ( $^\circ$ )
۰/۲۴×۰/۱۲×۰/۰۴	ابعاد هر پله (m)
۲/۵	شیب افقی پله (%)

جدول ۲ مقادیر نسبت های اختلاط مصالح در یک مترمکعب بتن سبک

وزن مخصوص ( $Kg/m^3$ )	تخلخل (%)	آب (L)	ماسه (Kg)	پوکه معدنی (Kg)	سیمان (Kg)	مصالح
۸۰۰	۲۰	۲۵۰	۱۰۰۰	۱۰۰۰	۵۰۰	طرح نهایی

محلول آب مقطر- اتانول (با نسبت حجمی ۲۰٪) به مدت ۱۰ دقیقه هم زده شد و به منظور جدا شدن نانوذرات فلوکو شده در حمام التراسونیک مدل E-6SFD Fungilab ۲۰ دقیقه قرار گرفت. سپس سوسپانسیون بر سطح بتن پخش گردید تا در دمای محیط، آب موجود تبخیر شود و نانوذرات به صورت یکنواخت ثبیت گردد. در ادامه، صفحات برای ثبیت بهتر در کوره به مدت ۲ ساعت در دمای ۴۵۰ درجه سلسیوس قرار گرفت و پس از خنک شدن در دمای محیط، چندین بار با آب مقطر شستشو داده شد تا ذراتی که اتصال کافی ندارند، جدا شوند [21].

جدول ۳ مشخصات نانوذرات  $TiO_2$  مورد استفاده

مقدار	پارامتر
۷۸/۸۰	میزان فاز آناتاز (٪)
۲۱/۲	میزان فاز روتایل (٪)
۱۰-۱۵	متوجه اندازه ذرات (nm)
۱۰۰-۱۵۰	سطح مخصوص ( $m^2/gr$ )
۱۲۰/۲۵۳۴	سطح مخصوص BET ( $m^2/gr$ )
۳/۸۴	چگالی ( $gr/cm^3$ )

### ساخت بستر بتنی و پوشش دهی نانوذرات

پنج عدد قالب چوبی به ابعاد  $24 \times 12 \times 5\text{cm}$  برای ساخت صفحات بتنی به روش ساخت پیش آکنده (Preplaced Aggregate Concrete) استفاده گردید. در این روش قالب با پامیس پر و دوغاب ماسه سیمان با نسبت ۱:۱ به آن تزریق شد. برای ساخت بتن از سیمان تیپ ۲، آب شرب، پامیس با دانه بندی  $10-25$  میلی متر و ماسه دو بار شور با دانه بندی  $5-10$  میلی متر استفاده شد. با توجه به اهمیت تخلخل پلکان بتنی طرح اختلاط جدول (۲) با تخلخل  $20$  درصد بر مبنای استاندارد ASTM D ۷۰۶۳ [20] انتخاب شد.

نانوذرات  $TiO_2$  با خلوص ۹۹/۹۸۶ درصد متشکل از دو فاز آناتاز به میزان ۷۸/۸ درصد و روتایل به میزان ۲۱/۲ درصد از شرکت Tecnan اسپانیا تهیه گردید که مشخصات آن در جدول (۳) آمده است. برای ثبیت نانوذرات از روش دوغابی استفاده گردید. برای این منظور ابتدا  $100$  میلی لیتر چسب بتن دو جزئی Nitobond EP شرکت Fosroc با  $1000$  میلی لیتر آب مقطر مخلوط شد و پس از ۵ دقیقه هم زدن با برس نقاشی بر سطح بتن مالیده شد. سپس  $12$  گرم  $TiO_2$  در

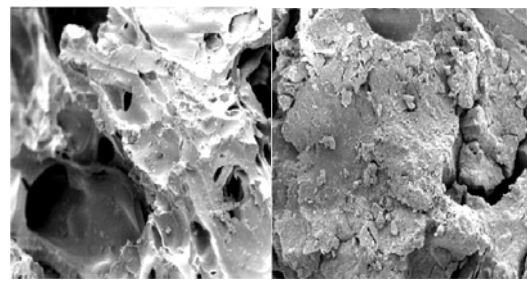
استقرار E ۵۱° ۲۲' ۹۵" و N ۳۵° ۴۳' ۱۲" دریا ۱۷۷۶ m بود. فتورآکتور تحت زاویه ۳۷° [19] متمایل به جنوب همراه با یک رادیومتر UV- ۳۶۵A مدل Lutron برای اندازه‌گیری شدت تابش خورشید در ناحیه A قرار گرفت و اطلاعات در بازه زمانی ۳۰ دقیقه‌ای از ساعت ۹ صبح تا ۵ بعدازظهر به مدت ۶ ماه ثبت شد (شکل ۴).

برای آنالیز نمونه‌ها از TPH & TOG Analyzer برای آنالیز نمونه‌ها از Wilks TPH مدل Wilks طبق استاندارد ASTM D7066-04 [22] استفاده شد. دستگاه GC-FID مدل ۵۸۹۰ HP II برای سنجش PAHs براساس استاندارد [23] EPA 8100 به کار برده شد. COD رآکتور مدل Hach برای سنجش COD براساس استاندارد متند B-5220 [24] استفاده گردید. همچنین از پرکسید هیدروژن ۳۰ درصد Merck به عنوان اکسنده کمکی، سود سوزآور و HCl شرکت Merck برای تنظیم pH استفاده شد.

## نتایج آزمایش‌های شاهد

نتایج راهاندازی اولیه سیستم در شرایط شاهد با صفحات بتنی تنها (ثبت نشده) و صفحات بتنی ثبیت شده با  $\text{TiO}_2$  در تاریکی، با صفحات بتنی تنها تحت نور خورشید (فتولیز) و ترکیب فتوولیز با هوادهی تحت عنوان نمونه‌های شاهد در شکل (۵) ارائه شده است.

به منظور اطمینان از پوشش دهی مناسب نانوذرات  $\text{TiO}_2$  بر روی سطوح بتنی، تصاویر SEM بر روی بتن اولیه و ثبیت شده انجام گرفت. مطابق شکل (۳) در نمونه بتنی پوشش دهی شده به میزان ۶۰ گرم بر مترمربع یک لایه نسبتاً یکنواخت بر روی سطح بتن تشکیل شده است.



شکل ۳ تصویر SEM (بزرگنمایی ۵۰۰ برابر) (الف) بتن سبک اولیه، (ب) بتن سبک ثبیت شده با  $\text{TiO}_2$

## پساب مورد بررسی

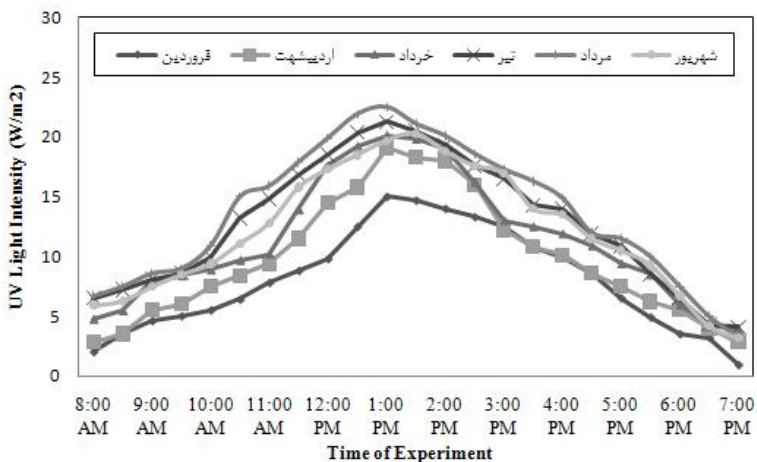
پساب مورد بررسی به صورت ستزی از ترکیب آب مقطر و گازوئیل پالایشگاه اصفهان با ترکیبی از ۷۵ درصد هیدروکربن‌های اثبات و ۲۵ درصد هیدروکربن‌های آروماتیک در غلظت‌هایی با مشخصات مندرج در جدول (۴) تهیه گردید.

## راهاندازی و آنالیز

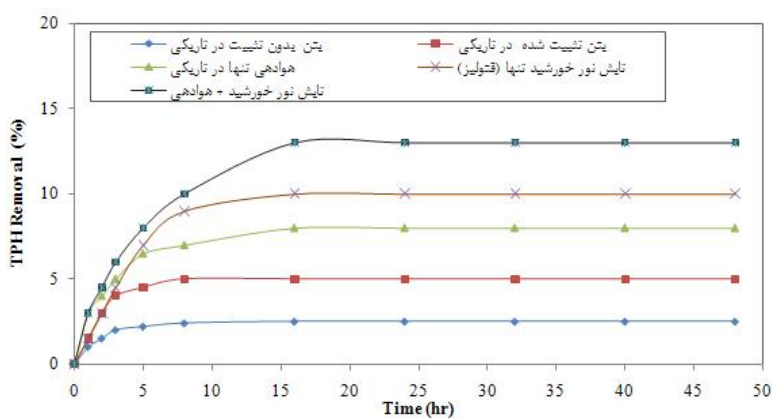
فتورآکتور خورشیدی در پشت‌بام دانشکده مهندسی دانشگاه تربیت مدرس مستقر شد. مختصات محل

جدول ۴ غلظت‌های مورد بررسی پساب نفتی ستزی

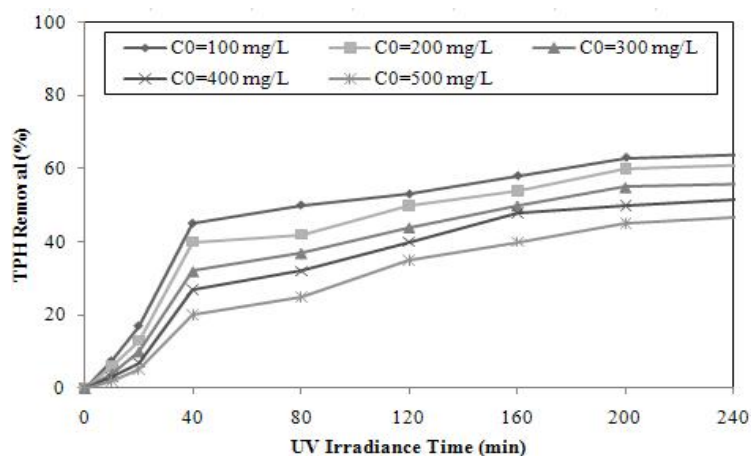
(ppm) PAHs معادل	(ppm) TPH معادل	(ppm) COD معادل	غلظت (mg/L)
۳۸	۳۳	۱۷۳	۱۰۰
۷۵	۸۶	۲۶۸	۲۰۰
۱۲۹	۱۴۷	۳۷۴	۳۰۰
۱۷۷	۱۸۹	۴۸۵	۴۰۰
۲۱۰	۲۷۱	۵۹۸	۵۰۰



شکل ۴ نمودار شدت تابش UV در ماه‌های مختلف



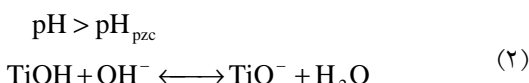
شکل ۵ راندمان حذف TPH بدون حضور تمامی عوامل فتوکاتالیستی



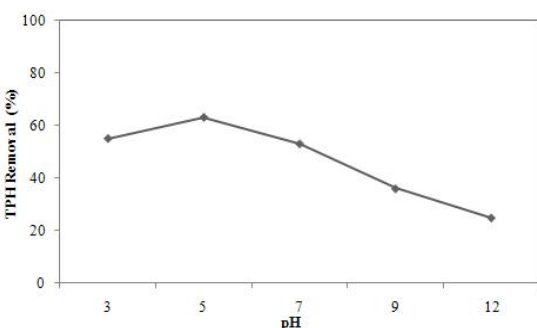
شکل ۶ تأثیر غلاظت بر راندمان حذف سیستم

**تعیین شرایط بهینه سیستم  
غلاظت ورودی آلاینده. با بررسی غلاظت ورودی**  
آلاینده از ۱۰۰ تا ۵۰۰ میلی گرم بر لیتر، مطابق شکل (۶)  
بیشترین راندمان حذف برای کمترین غلاظت ورودی

شد. Nejati و Saien [25] و Shahrezaie و همکاران [26] pH بهینه فرآیند فتوکاتالیستی برای تصفیه پساب نفتی را به ترتیب ۳ و ۴ به دست آوردند. pH بهینه فرآیند فتوکاتالیستی به نقطه‌ی باری الکتریکی ( $pH_{zpc}$ ) آلاینده بستگی دارد که طبق تعریف، سطح مواد در pH های پایین‌تر از نقطه‌ی باری الکتریکی، دارای بار الکتریکی مثبت (رابطه ۱) و در pH بالاتر دارای بار الکتریکی منفی (رابطه ۲) هستند. بیشترین راندمان حذف در pH بین  $pH_{zpc}$  آلاینده و فتوکاتالیست (حدود ۶) اتفاق می‌افتد [15].



باتوجه به این‌که تنها ترکیبات قطبی مانند الکل، اسیدهای آلی و فنل که دارای گروه OH هستند یونیزه و دارای بار منفی می‌شوند، در شرایط اسیدی جذب  $\text{TiO}_2$  می‌شوند و منجر به افزایش نرخ راندمان می‌گردند [15].



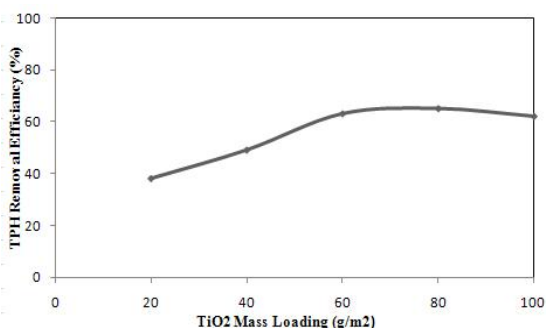
شکل ۸ تأثیر pH سیستم بر راندمان حذف

**زمان و نوع تابش.** باتوجه به این‌که شدت تابش خورشید برخلاف شدت تابش لامپ، در طول ساعات مختلف روز تغییر می‌کند، لذا برای نرمال کردن تغییرات شدت تابش در طول زمان راهاندازی از زمان معادل

پس از ۲۰۰ دقیقه تابش معادل UV برابر ۶۵ درصد حاصل شد.

با افزایش غلظت اولیه آلاینده ابتدا راندمان کمی افزایش می‌یابد زیرا سطح تماس آلاینده با فتوکاتالیست بیشتر می‌گردد؛ اما مشاهده شد با افزایش غلظت، راندمان سیستم کاهش می‌یابد. دلایل کاهش راندمان با افزایش غلظت اولیه، کاهش جذب فوتون‌های نوری، اشباع شدن سطح فتوکاتالیست به خاطر جذب آلاینده و ممانعت از واکنش بین مولکول‌های آلاینده و رادیکال‌های هیدروکسیل بود [15].

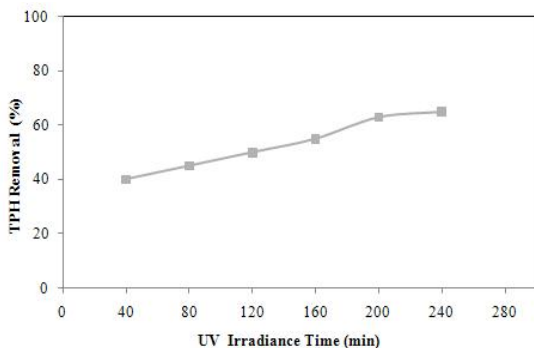
**میزان  $\text{TiO}_2$ .** از میان صفحات بتنی با بارگذاری جرمی در واحد سطح بهمیزان ۲۰، ۴۰، ۶۰، ۸۰ و ۱۰۰ گرم بر مترمربع بیشترین راندمان حذف (۶۴ درصد) مربوط به بارگذاری جرمی ۶۰ گرم بر مترمربع بود (شکل ۷) که به عنوان مقدار بهینه انتخاب شد. با افزایش نرخ بارگذاری، راندمان حذف به صورت تقریباً خطی افزایش یافت تا در حد مذکور به بیشترین مقدار خود رسید. با افزایش بیشتر مقدار فتوکاتالیست تغییر چندانی در راندمان مشاهده نگردید. به نظر می‌رسد افزایش مقدار فتوکاتالیست از حد بهینه، منجر به چسیدگی نانوذرات  $\text{TiO}_2$  به یکدیگر و کاهش تعداد مکان‌های فعال در دسترس می‌گردد [21].



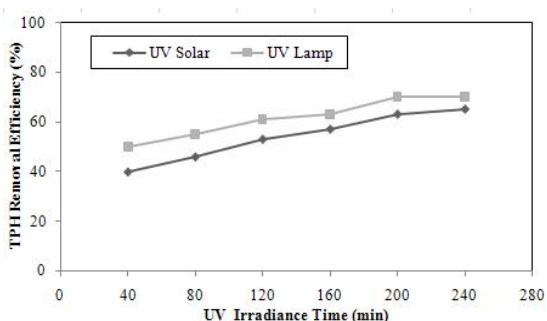
شکل ۷ تأثیر میزان  $\text{TiO}_2$  بر راندمان حذف سیستم

**pH** مطابق شکل (۸)، بیشترین راندمان حذف در pH اسیدی حدود ۵، معادل ۶۳ درصد حذف TPH مشاهده

سانتری متري خود مقایسه گردید (شکل ۱۰). راندمان حذف سیستم با لامپ UV-A در زمان معادل تابش برابر ۲۰۰ دقیقه حدود ۱۰ درصد بیشتر از سیستم با نور UV خورشید بود که این مقدار اختلاف استفاده از نور خورشید را توجیه اقتصادی می‌کند.



شکل ۹ راندمان حذف در زمان‌های مختلف تابش UV



شکل ۱۰ مقایسه راندمان تابش UV خورشید و لامپ UV

غاظت اکسنده  $H_2O_2$  با بررسی تأثیر پرکسید  $H_2O_2$  هیدروژن بر راندمان سیستم مشخص گردید که در شرایط اسیدی در pH ۵ حدود ۵ در راندمان حذف تأثیرگذار بوده است. در شرایط بهینه، بیشترین راندمان حذف حدود ۷۰ درصد در غلظت  $H_2O_2$  برابر ۲۰۰۰ میلی‌گرم بر لیتر بود (شکل ۱۱).

### راهاندازی سیستم تحت شرایط بهینه

در پایان اقدام گردید به راهاندازی مجدد رآکتور در شرایط بهینه به دست آمده یعنی pH برابر ۵، بارگذاری

تابش استفاده گردید. سطح زیر نمودار شدت تابش-زمان، میزان انرژی دریافتی در واحد سطح را نشان می-دهد. مقدار متوسط انرژی UV-A خورشید در فصل تابستان برابر ۱۵۰ ژول بر مترمربع اندازه‌گیری گردید که مطابق رابطه (۳) با تقسیم بر شدت تابش UV-A پایه در جهان به میزان ۳۰ وات بر مترمربع زمان معادل تابش، ۵ ساعت به دست آمد که بدین معناست که ۸ ساعت تابش خورشید در تابستان معادل ۵ ساعت تابش لامپ UV-A با شدت ۳۰ وات بر مترمربع است. با توجه به این‌که تنها ۷۰ درصد نور UV-A از شیشه عبور نمود و این‌که حدود ۲۰ درصد از پساب در معرض نور خورشید است، مطابق رابطه (۴) زمان معادل تابش UV-A اصلاح شده [۱۶] در طول ۸ ساعت راهاندازی سیستم برابر ۴۰ دقیقه به دست آمد.

$$t_{eq\ UV-A} = \frac{\int_0^t I_{UV-A}(t) dt}{I_{UV-A\ 30W}} \quad (3)$$

$$t_{modified} = t_{eq} \times T \times \frac{V_I}{V_T} \quad (4)$$

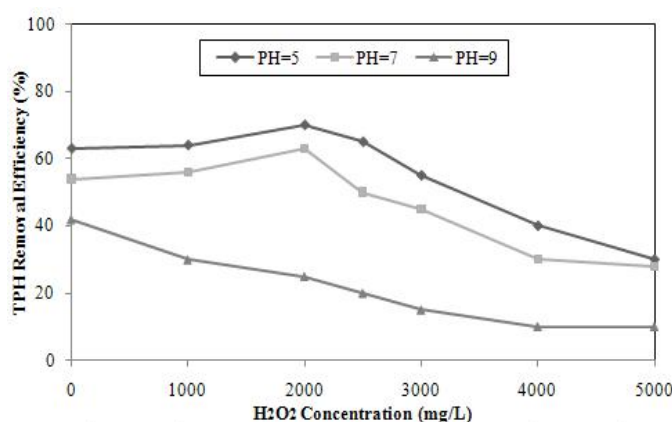
در این روابط VT حجم کل رآکتور و VI حجم تحت تابش بر حسب مترمکعب، T درصد عبور نور UV-A و IUV شدت تابش متعارف جهانی UV برابر ۳۰ وات بر مترمربع،  $t_{eqUV-A}$  مدت زمان معادل تابش ۳۰ وات بر مترمربع و  $t_{modified}$  زمان اصلاح شده تابش UV-A بر حسب دقیقه است.

مطابق شکل (۹) روند تغییرات راندمان حذف TPH به صورتی است که با افزایش زمان تابش افزایش می‌یابد. راندمان حذف TPH در شرایط بهینه با استفاده از UV خورشید و لامپ UV-A با توان ۴ وات با شدت UV-A برابر ۳۰ وات بر مترمربع در فاصله ۱۰

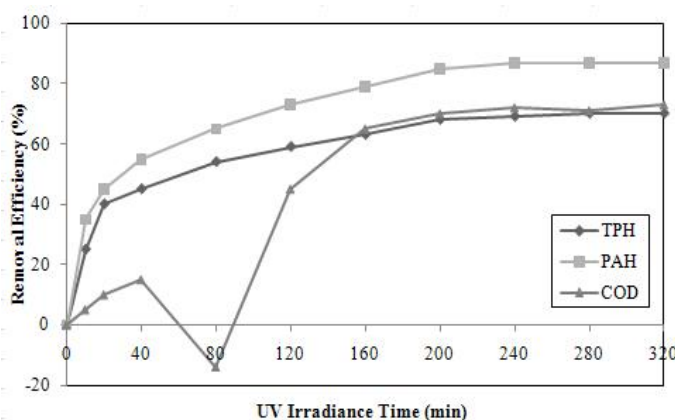
### بررسی نوع محصولات تولیدی

به منظور تعیین مکانیسم تجزیه هیدروکربن‌های نفتی موجود در پساب آلووده، آزمایش GC-FID در شرایط بهینه آزمایش بر روی نمونه پساب اولیه و تصفیه شده انجام گرفت. نتایج آنالیز نشان داد که غالب ترکیبات آروماتیک حذف شدند و آنچه باقی ماند ترکیبات آلفاتیک هستند که دارای سمیت و خطرات زیست‌محیطی کمتری هستند [26]. مقایسه دو کرومatoگرام (شکل ۱۳) بین نمونه اولیه و تصفیه شده در شرایط بهینه نشان داد که سطح زیر پیک‌های مربوط به هیدروکربن‌های آروماتیک که معرف غلاظت آنها در نمونه پساب اولیه است به شدت کاهش یافته‌اند.

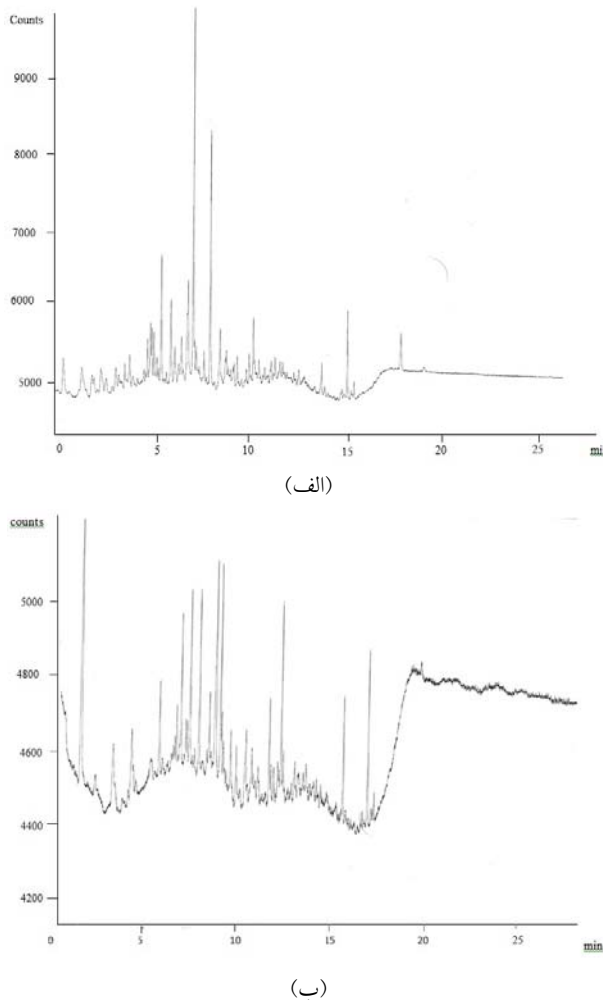
جرمی  $TiO_2$  برابر  $60 \text{ gr/m}_2$ ، غلاظت ورودی  $L H_2O_2$  برابر  $2000 \text{ mg/L}$ ، راندمان حذف TPH در زمان‌های تابش معادل مختلفی (شکل ۱۲). بیشترین راندمان حذف همان‌طور که انتظار می‌رفت در زمان تابش معادل ۲۰۰ دقیقه برابر  $67/63$  درصد به دست آمد. میزان حذف PAHs حدود  $84/75$  درصد به دست آمد. اما راندمان حذف COD در زمان تابش ۴۰ تا ۱۰۰ دقیقه نه تنها کاهش نپیدا نکرد بلکه در مقطعی نیز COD زیاد گردید که دلیل عدمه آن شکسته شدن هیدروکربن‌های حلقوی به ترکیبات واسطه در اوایل فرآیند بود که با گذشت زمان این ترکیبات واسطه به ترکیبات ساده‌تر و در نهایت به ترکیبات معدنی تبدیل شدند [25].



شکل ۱۱ تأثیر میزان غلاظت  $H_2O_2$  بر راندمان حذف سیستم



شکل ۱۲ راهاندازی سیستم در شرایط بهینه



شکل ۱۳ طیف کروماتوگرام GC-FID: (الف) نمونه اولیه، (ب) نمونه تصفیه شده در شرایط بهینه

پالایشگاهها و میادین نفتی که بیشتر در مناطق جنوبی قرار گرفته‌اند و از شدت تابش کافی نور خورشید در بیشتر روزهای سال برخوردارند، در مقیاس صنعتی، عملی و اقتصادی باشد. هم‌چنین تثبیت فتوکاتالیست بر سطح بتون، که یک عنصر مهم در سازه‌های تصفیه‌خانه آب و فاضلاب است، کارآمدی این روش در مقیاس صنعتی را دو چندان می‌کند.

### جمع‌بندی

با توجه به مطالعات صورت گرفته در مقیاس پایلوت مشخص شد که با استفاده از بخش UV نور خورشید به جای لامپ UV-A می‌توان به حذف قابل توجهی از هیدروکربن‌های سمی و خطرناک نفتی از آب و پساب آلووده پرداخت. نتایج نشان داد که در غلظت‌های پایین در مدت زمان تابش UV برابر ۲۰۰ دقیقه (۵ روز راهاندازی راکتور خورشیدی) می‌توان به استانداردهای مجاز تخلیه پساب تصفیه شده به محیط پذیرنده آبی دست یافت. بنابراین می‌توان انتظار داشت که استفاده از سیستم فتوکاتالیستی خورشیدی برای تصفیه پساب

### قدرتانی

بدین‌وسیله از ستاد ویژه توسعه فناوری نانو بهجهت حمایت مالی تشکر و قدردانی می‌گردد.

## مراجع

1. Stepnowski, P., Siedlecka, E. M., Behrend, P., Jastorff, B, "Enhanced photo-degradation of contaminants in petroleum refinery wastewater", *Water Research*, Vol. 36, pp. 288-294, (2002).
2. Diya Uddeen, B., Wan Daud, W., Abdul Aziz, A., "Treatment technologies for petroleum refinery effluents: A review", *Process Safety and Environmental Protection*, Vol. 89, pp. 95-105, (2011).
3. Sun, Y., Zhang, Y., Quan, X., "Treatment of petroleum refinery wastewater by microwave-assisted catalytic wet air oxidation under low temperature and low pressure", *Separation and Purification Technology*, Vol. 62, pp. 565-570, (2008).
4. Ahmadun, F-R., Pendashteh, A. R., Abdullah, L. C., Madan, S. S i., and Abidin, Z. Z., "Review of technologies for oil and gas produced water treatment", *Journal of Hazardous Materials*, Vol. 170, pp. 530-551, (2009).
5. Ghidossi, R., Veyret, D., Scotto., Jalabert, T., Moulin, P., "Ferry oily wastewater treatment", *Separation and Purification Technology*, Vol. 64, pp. 296-303, (2009).
6. Adam, P., Roger, M. R., "Treatment of tunnel wash waters- experiments with organic sorbent materials. Part I: Removal of polycyclic aromatic hydrocarbons and nonpolar oil", *Journal of Environmental Science*, Vol. 20, pp. 964-969, (2008).
7. Azin, R, "Gulf oil pollution", Bushehr University of Medical Sciences and Health Services Publisher (2009).
8. Bastani, D., Safekordi, A. A., Alihosseini, A., Taghikhani, V., "Study of oil sorption by expanded perlite at 298.15 K", *Separation and Purification Technology*, Vol. 52, pp. 295-300, (2006).
9. Cha, Zh., Lin, C. F., Cheng, Ch., Hong, P., "Removal of oil and oil sheen from produced water by pressure-assisted ozonation and sand filtration", *Chemosphere*, Vol. 78, pp. 583-590, (2010).
10. Rezaei Hosein Abadi, S., Sebzari, M. R., Hemati, M., Rekabdar, F., "Ceramic membrane performance in M.F. of oily wastewater", *Desalination*, Vol. 265, pp. 222-228, (2011).
11. Diya Uddeen, B., Wan Daud, W., Abdul Aziz, A., "Treatment technologies for petroleum refinery effluents", *Process Safety and Environmental Protection*, Vol. 89, pp. 95-105, (2011).
12. Moussavi, Gh., Khosravi, R., Farzadkia, M., "Removal of petroleum hydrocarbons from contaminated groundwater using an electrocoagulation process: Batch and continuous experiments", *Desalination*, Vol. 278, pp. 288-294, (2011).
13. Shpiner, R., Liu, G., Stuckey, D. C., "Treatment of oilfield produced water by waste stabilization ponds: Biodegradation of petroleum-derived materials", *Bioresource Technology*, Vol. 100, pp. 6229-6235, (2009).
14. Rastegar, S. O., Mousavi, S. M., Shojaosadati., Sheibani, S., "Optimization of petroleum refinery effluent treatment in a UASB reactor using response surface methodology", *Journal of Hazardous*

- Materials*, Vol. 197, pp. 26-32, (2011).
15. Malato, S., Fernández-Ibanez, P., Maldonado, M. I., Blanco, J., Gernjak, W., "Decontamination and disinfection of water by solar photocatalysis: Recent overview and trends", *Catalysis Today*, Vol, 147, pp. 1-5 (2009).
  16. Ghaly, M. Y., Jamil, T. S., El-Seesy, I. E., Souaya, E. R., Nasr, R., "Treatment of highly polluted paper mill wastewater by solar photocatalytic oxidation with synthesized nanoTiO<sub>2</sub>", *Chemical Engineering Journal*, Vol. 168, pp. 446-454, (2011).
  17. Monteagudo, J., Duran, A., Guerra, j., Coca, P., "Solar TiO<sub>2</sub> photocatalytic degradation of IGCC power station effluents using a Fresnel lens", *Chemosphere*, Vol. 71, pp. 161-167, (2008).
  18. Zayani, Gh., Bousselmi, L., Mhenni, F., Ghrabi, A., "Solar photocatalytic degradation of commercial textile azo dyes: Performance of pilot plant scale thin film fixed-bed reactor", *Desalination*, Vol. 246, pp. 344-352, (2009).
  19. Neti Rao, N., Chaturvedi, V., Li Puma, G., "Novel pebble bed photocatalytic reactor for solar treatment of textile wastewater", *Chemical Engineering Journal*, Vol. 184, pp. 90-97, (2012).
  20. American Society for Testing and Materials (ASTM) D 7063. Standard test method for effective porosity and effective air voids of compacted bituminous paving mixture samples, Volume 03-04, Philadelphia, USA, (2005).
  21. Delnavaz, M., Ayati, B., Ganjidoust, H., Sanjabi, S., "Optimization of Photo-Catalytic Process by TiO<sub>2</sub> Nano Powder Immobilized on Concrete Surface for Treatment of Phenolic Wastewater", *Environmental Engineering and Management Journal*, Vol. 10, No. 10, pp. 1459- 1466, (2010).
  22. American Society for Testing and Materials (ASTM) D 7066-04. Standard test method for dimer/trimer chlorotrifluoroethylene (S-316) Recoverable Oil and Grease and Nonpolar Material by Infrared Determination, Vol. 03-04, Philadelphia, USA, (2005).
  23. EPA. "Test Method 8100: Polynuclear Aromatic Hydrocarbons", USA.
  24. APHA, "Standard Methods for Examination of Water and Wastewaters", American Public Health Association, Washington DC, (2005).
  25. Saien, J., Nejati, H., "Enhanced photocatalytic degradation of pollutants in petroleum refinery wastewater under mild conditions", *Journal of Hazardous Materials*, Vol. 148, pp. 491- 495, (2007).
  26. Shahrezaei, F., Mansouri, Y., Lorestani, Zinatizadeh, A. A., Akbari, A., "Process modeling and kinetic evaluation of petroleum refinery wastewater treatment in a photocatalytic reactor using TiO<sub>2</sub> nanoparticles", *Powder Technology*, Vol. 221, pp. 203-212, (2012).

## تحلیل عددی استاتیکی عملکرد زهکش چتری در تونل بدون پوشش دایروی عمیق تحت تراوش پایدار\*

علی حسین‌بالام<sup>(۱)</sup>

محمد‌هاشمی<sup>(۲)</sup>

**چکیده** در این تحقیق سیستم زهکش چتری، به عنوان یک سیستم زهکشی در تونل‌های تحت اثر تراوش پایدار معرفی می‌گردد. آرایش این سیستم زهکشی برگرفته از ترکیب زهکش لوله اتصالی و الہام گرفته شده از نگهدارنده چتری فورپولینگ است. در این پژوهش به وسیله نرم‌افزار اجزای محدود آباکوس، عملکرد این سیستم زهکشی به صورت تحلیل استاتیکی عددی در تونل دایروی عمیق تحت تراوش پایدار، مورد بررسی قرار می‌گیرد. در این مقاله با درنظر گرفتن سه پارامتر شاهد (کرنش اصلی مؤثر ماکریم در زمین تونل، توزیع فشار آب حفره‌ای در جداره تونل و گرادیان هیدرولیکی در اطراف زهکش‌ها) و بررسی کلیه مشخصات مؤثر بر عملکرد لوله زهکش، به ارائه یک آرایش بهینه برای این سیستم زهکشی پرداخته شده است.

**واژه‌های کلیدی** زهکش چتری، تونل دایروی عمیق، تراوش پایدار و تحلیل عددی استاتیکی.

## Numerical Statical Analysis of Umbrella Drain Performance in Deep Circular Not-lined Tunnel for Steady-State Seepage

A. Hosseini balam

M. Hashemi

**Abstract** In this article, Umbrella drainage system is presented as a alternative drainage system for the tunnels under steady state-seepage condition. The arrangement of this system is inspired from pin-hole drainage system and forepoling method of support installation. In this study, the performance of this drainage system is investigated through numerical statical analysis for deep circular tunnels subjected to steady-state seepage by using ABAQUS finite element software. In this regard, three monitoring parameters have been investigated: tunnel domain's maximum effective principle strain, pore water pressure distribution of the tunnel walls and hydraulic gradient around the drainages. By taking into account these parameters, an optimum arrangement for the draining system is presented through exploring all of the factors affecting the drainage tube performance.

**Key Words** Umbrella Drainage, Deep Circular Tunnel, Steady-State Seepage and Numerical Statical Analysis.

\* تاریخ دریافت مقاله ۹۳/۱۰/۲۹ و تاریخ پذیرش آن ۹۵/۵/۱۸ می‌باشد.

(۱) کارشناس ارشد مهندسی خاک و پی، گروه عمران، دانشکده فنی و مهندسی، دانشگاه اصفهان.

(۲) نویسنده مسئول، دانشیار، گروه عمران، دانشکده فنی و مهندسی، دانشگاه اصفهان.

Email: M.hashemi@eng.ui.ac.ir

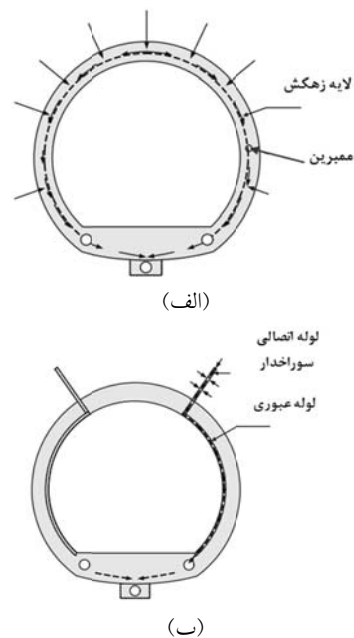
قطر زیاد به علت حجم بالای مصالح مورد نیاز برای زهکشی کلی جداره تونل از لحاظ اقتصادی توجیه پذیر نیست. دیگر، تونل های با سطح مقطع غیردایروی به علت ملاحظات اجرایی دشوار برای زهکشی کامل جداره تونل مقرون به صرفه نیستند. از دیگر موارد، تونل های تک لایه ای هستند که به دلیل لزوم اجرای این نوع سیستم زهکش در بین پوشش موقتی و دائمی، به منزله نگهداری کامل این سیستم زهکش پیرامون دیواره تونل، عمر مفید زهکش فیلتر محیطی در هنگام کاربرد در تونل های تک لایه ای کاهش می یابد [1].

سیستم زهکشی مطرح شده در این تحقیق، سیستم زهکش چتری می باشد. آرایش این نوع سیستم زهکش از ترکیب زهکش لوله اتصالی و نگهدارنده چتری فورپولینگ اقتباس شده است. فورپولینگ (پیش لوله گذاری) یک روش پیش تحکیمی برای سازنده ای ضعیف است. سیستم زهکش چتری شامل نصب لوله های زهکش در جبهه تونل است. در این نوع سیستم زهکش، زهکشی فقط از طریق لوله ها صورت می پذیرد. آب زهکشی شده از طریق لوله های عبوری به لوله آبگیری به منظور تخلیه از تونل انتقال داده می شود. لازم به ذکر است که این سیستم زهکشی هیچ کدام از محدودیت های ذکر شده برای سیستم زهکش فیلتر محیطی را ندارد. در شکل (۲) نمونه ای از سیستم زهکش چتری به همراه اجزای اصلی آن به صورت شماتیک نشان داده شده است.

در مورد پژوهش های انجام گرفته در مورد تونل های تحت تراویش می توان به مطالعات یونگ و همکاران [2]، نام و بوبت [3]، فهیمی فر و زارعی فرد [4]، لی و همکاران [5]، شین و همکاران [6]، لی و نام [7]، لی و وانگ [8]، کالری [9]، شین و همکاران [10]، آجنوی و همکاران [11]، زیانگ و همکاران [12]، بوبت [13]، شین و همکاران [14]، لی و همکاران [15]، لی و نام [16]، کلیمباس و واگنر [17]، بوتر [18]، پارک و همکاران [19] و فرناندز و مون [20]

## مقدمه

از جمله مسائل مطرح در تونل ها، بحث تراویش می باشد. این مسئله از آن جایی که فشار آب حفره ای یک نیروی اضافی را به جداره تونل وارد می کند، از اهمیت ویژه ای برخوردار است. زیرا فشار آب حفره ای باعث زوال سازه ای جداره تونل می شود. لذا نیاز به زهکشی در این تونل ها از جایگاه ویژه ای برخوردار است. سیستم های زهکشی مطرح در تونل ها انواع مختلفی را شامل می شود. از انواع معمول آنها می توان به سیستم زهکش فیلتر محیطی و سیستم زهکش لوله اتصالی اشاره کرد. با این حال تاکنون مطالعات نسبتاً محدودی بر روی این سیستم های زهکشی و عوامل مؤثر در آنها، به خصوص برای سیستم زهکش لوله اتصالی، انجام گردیده است. در شکل (۱) این دو نوع سیستم زهکشی نشان داده شده است.

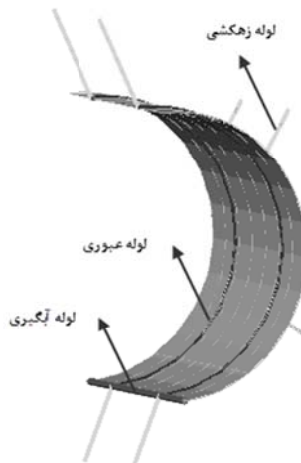


شکل ۱ سیستم های زهکشی معمول در تونل های تحت تراویش  
(الف) سیستم زهکش فیلتر محیطی (ب) سیستم زهکش لوله اتصالی [1]

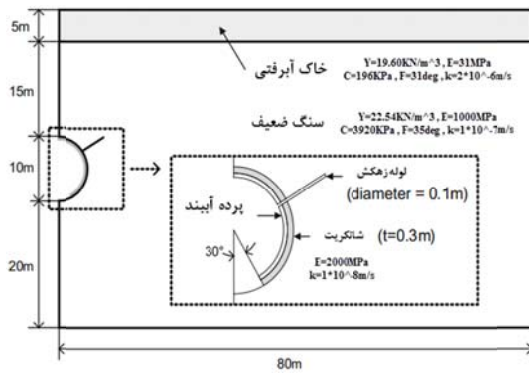
سیستم زهکش فیلتر محیطی در چند مورد قابل استفاده یا مقرون به صرفه نمی باشد. نخست تونل های با

مرزی هد کل صفر برای مرزهای بالا، پایین و سمت راست مدل، اقدام کردند به تحلیل هم زمان مکانیکی-هیدرولیکی تحت تراوosh پایدار مدل. در شکل (۳-ب) اثر موقعیت زاویه محیطی زهکش لوله اتصالی حاصل از نتایج شین و همکاران و مدل سازی در نرم افزار آباکوس نشان داده شده است. براساس این شکل می توان اذعان داشت که صحت سنجی در نرم افزار به طور مطلوبی صورت پذیرفته است.

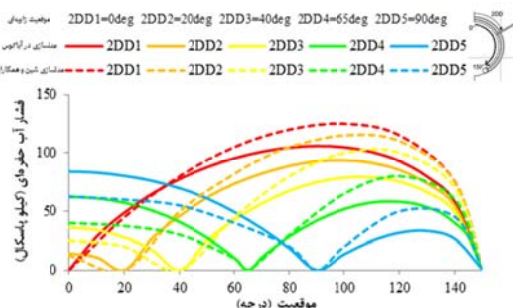
اشاره کرد.



شکل ۲ سیستم زهکش چتری



(الف)



(ب)

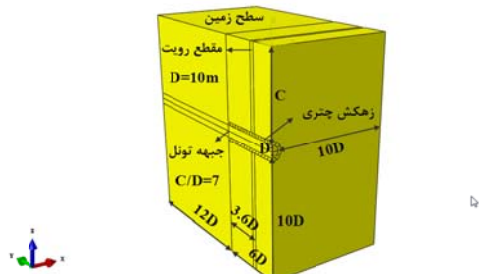
شکل ۳ (الف) مدل شین و همکاران [۱]، (ب) اثر موقعیت زاویه محیطی زهکش لوله اتصالی حاصل از نتایج شین و همکاران [۱] و مدل سازی در نرم افزار

### مدل سازی در نرم افزار

پارامترهای مؤثر بر لوله های زهکش این سیستم زهکش شامل تعداد، طول، فاصله و زاویه می باشند. لذا به منظور معرفی یک آرایش خاص از لوله های زهکش در این

گام اول در هر پژوهش عددی، صحت سنجی نرم افزار مورد استفاده به منظور اعتبارسنجی کد استفاده شده در نرم افزار و قابلیت مدل سازی کاربر استفاده کننده از نرم افزار می باشد. لذا در این تحقیق به منظور صحت سنجی، از پژوهشی که شین و همکاران [۱] در سال ۲۰۰۹ بر روی زهکش لوله اتصالی برای بررسی اثر موقعیت زاویه محیطی لوله زهکش انجام داده اند بهره گرفته شده است. آنها به بررسی کنترل فشار آب حفره ای و رفتار هیدرولیکی در پوشش تونل زیر سطح آب زیرزمینی با استفاده از سیستم زهکش لوله اتصالی به صورت عددی با استفاده از برنامه اجزای محدود MIDAS-GTS پرداختند. در این مطالعه، پارامترهای مختلفی از سیستم زهکش لوله اتصالی مانند تعداد (تک و جفت) در مقطع جانبی تونل، طول، زاویه محیطی از تاج تونل، زوایای تمایل طولی و جانبی از سطح تونل و فواصل طولی در امتداد تونل بررسی شد. آنها مطابق شکل (۳-الف) برای مدل دو بعدی خود ابعاد و مشخصات مصالح را برای مدل رفتاری الاستوپلاستیک متخلخل اشیاع خود در نظر گرفتند. هم چنین آنها با درنظر گرفتن شرط

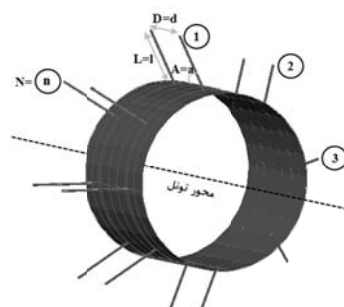
در این پژوهش [۲۱] باستفاده از نرمافزار اجزای محدود آباکوس [۲۲] با انجام تحلیل سه بعدی استاتیکی به ارائه یک آرایش بهینه برای لوله های زهکش سیستم زهکش چتری، در تونل بدون پوشش دایروی عمیق تحت تراویش پایدار پرداخته شده است. یکی از مسائل بسیار مهم در مطالعات عددی رئوتکنیکی، درنظر گرفتن ابعاد صحیح برای مدل در نرمافزار می باشد. اگر ابعاد این مدل کوچک باشد، باعث ایجاد خطا در مدل سازی می گردد و در صورتی که بزرگ باشد، از لحاظ زمان تحلیل و حجم اطلاعات خروجی مفروض به صرفه نمی باشد. با انجام تحلیل هم گرایی، مدلی به ابعاد نشان داده شده در شکل (۶) بر حسب قطر تونل (D) و روباره تونل (C) در نظر گرفته شده است.



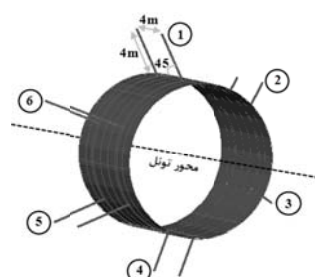
شکل ۶ ابعاد مدل

همان گونه که در شکل (۱) نشان داده شده است، مقطعی به فاصله  $3.6D$  از جبهه تونل در فاصله بین دو زهکش متواالی به عنوان مقطع رؤیت در نظر گرفته شده است. در این تحقیق از این مقطع، برای قرائت خروجی های پایدار شده مورد نیاز در مدل سه بعدی بهره گرفته شده است. در شکل (۷) کرنش ماکزیمم در کف تونل برای مدل پایه، نشان داده شده است. لازم به ذکر است که  $X/D$  بیانگر فاصله بی بعد شده از جبهه تونل نسبت به قطر تونل می باشد. با توجه به شکل (۷) نتیجه می شود که کرنش ماکزیمم در کف تونل، با فاصله گرفتن از زهکش های جبهه تونل کاهش می یابد.

سیستم زهکشی، در ادامه این تحقیق از یک نامگذاری نمادین استفاده شده است. روش نامگذاری نمادین به این صورت است که اگر تعداد لوله های زهکش در مقطع دایروی تونل برابر  $n$  طول لوله ها برابر ۱ متر، فاصله بین لوله ها در طول تونل برابر  $d$  متر و زاویه بین لوله ها و محور طولی تونل برابر  $a$  درجه باشد، نامگذاری نمادین این آرایش از لوله ها به صورت  $NnLIDdAa$  می باشد. در شکل (۴) نحوه نامگذاری نمادین آرایش لوله های زهکش، در سیستم زهکش چتری ارائه شده است.

شکل ۴ مدل  $Aa$ 

هم چنین با توجه به پژوهش شین و همکاران [۱]، یک مدل پایه برای سیستم زهکش چتری به منظور یک مدل اولیه منطقی برای این سیستم زهکشی در نظر گرفته شده است. مدل پایه دارای شش عدد لوله زهکش، به طول ۴ متر، فاصله ۴ متر و زاویه ۴۵ درجه می باشد. در شکل (۵) این مدل پایه، برای سیستم زهکش چتری نشان داده شده است.

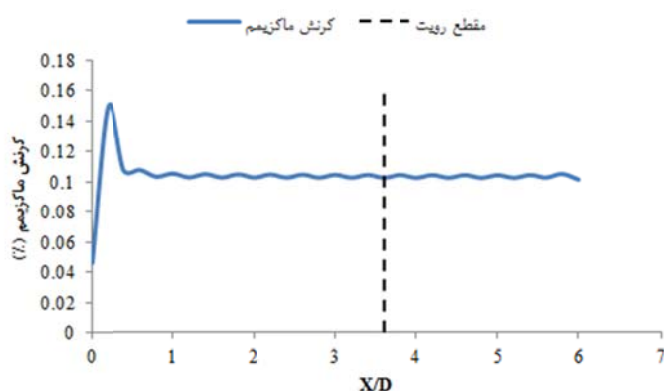


شکل ۵ مدل پایه

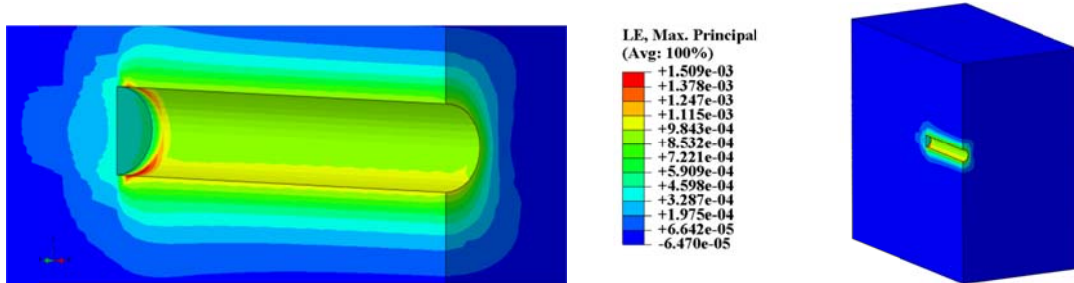
می‌شود که فشار آب حفره‌ای در جداره تونل با فاصله گرفتن از زهکش‌های جبهه تونل کاهش می‌یابد. همچنین فشار آب حفره‌ای در جداره تونل در مقطع رؤیت به مقدار پایدار خود میل کرده است. همچنین در شکل (۱۰) کانتور کرنش ماکریم برای مدل پایه نشان داده شده است.

همچنین کرنش ماکریم در کف تونل، در مقطع رؤیت به مقدار پایدار خود میل کرده است. همچنین در شکل (۸) کانتور کرنش ماکریم برای مدل پایه نشان داده شده است.

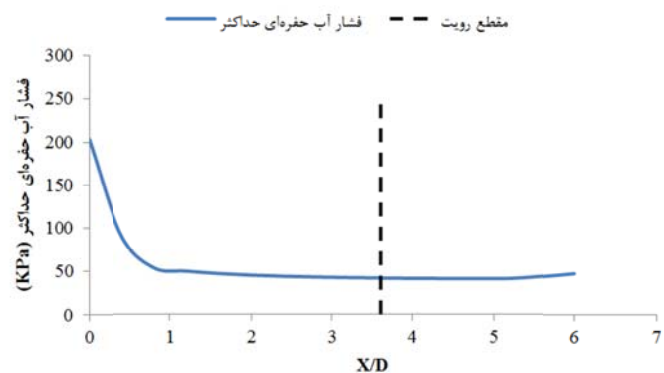
در شکل (۹) فشار آب حفره‌ای در جداره تونل در فاصله بین دو زهکش بالایی تونل برای مدل پایه، نشان داده شده است. با توجه به شکل (۹) نتیجه



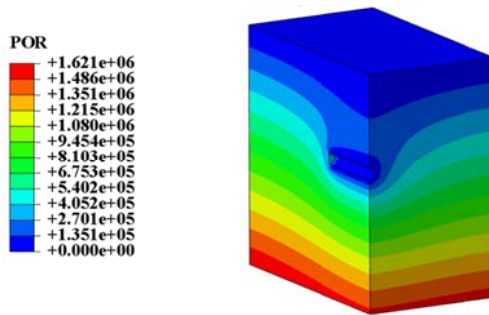
شکل ۷ کرنش ماکریم



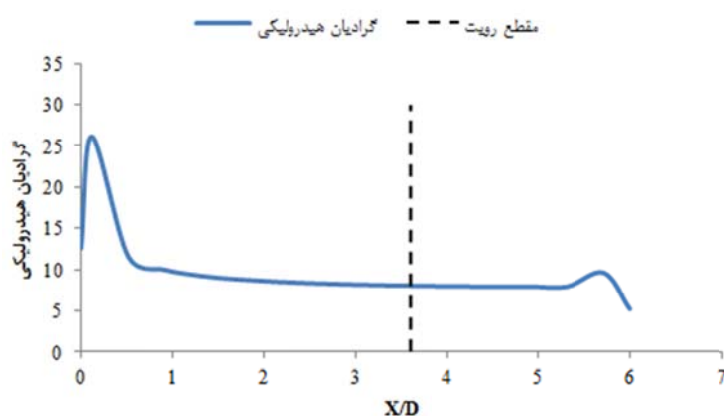
شکل ۸ کانتور کرنش ماکریم برای مدل پایه



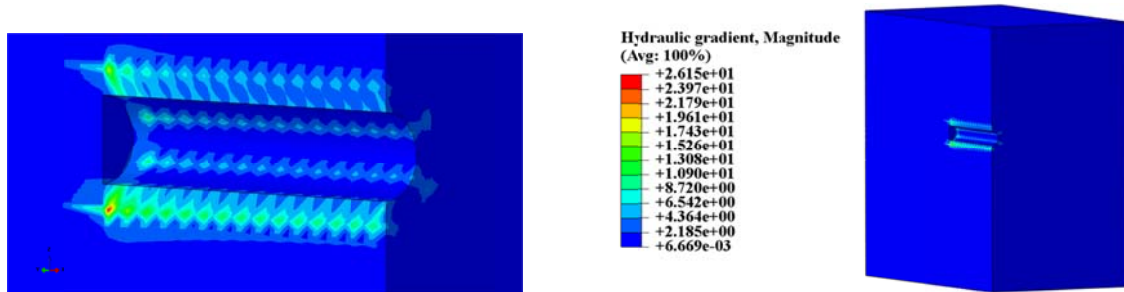
شکل ۹ فشار آب حفره‌ای حداقل



شکل ۱۰ کانتور فشار آب حفره‌ای برای مدل پایه (Pa)



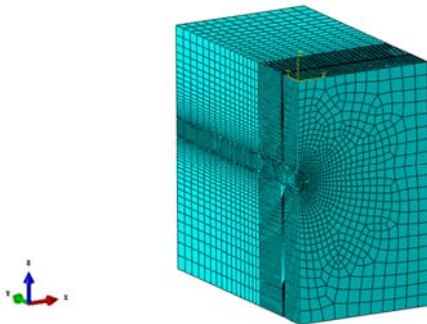
شکل ۱۱ گرادیان هیدرولیکی



شکل ۱۲ کانتور گرادیان هیدرولیکی برای مدل پایه

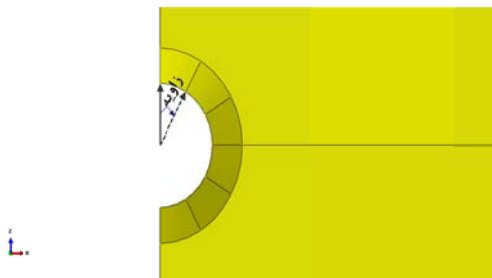
همچنین گرادیان هیدرولیکی در سر زهکش‌های پایینی تونل در مقطع رؤیت به مقدار پایدار خود میل کرده است. همچنین در شکل (۱۲) کانتور گرادیان هیدرولیکی برای مدل پایه نشان داده شده است. ویژگی‌های مصالح در این تحقیق برگرفته از

در شکل (۱۱) گرادیان هیدرولیکی در سر زهکش‌های پایینی تونل برای مدل پایه، نشان داده شده است. با توجه به شکل (۱۱) نتیجه می‌شود که گرادیان هیدرولیکی در سر زهکش‌های پایینی تونل با فاصله گرفتن از زهکش‌های جبهه تونل کاهش می‌یابد.



شکل ۱۴ مدل مشبندی شده

برای بررسی پارامترهای مؤثر در سیستم زهکش چتری بر توزیع فشار آب حفره‌ای در جداره تونل، از ترسیم توزیع این متغیر در محل زهکش‌های مقطع رؤیت بهره گرفته شده است. در شکل (۱۵) زاویه قراردادی برای رسم توزیع فشار آب حفره‌ای در جداره تونل نشان داده شده است.



شکل ۱۵ زاویه قراردادی برای رسم توزیع فشار آب حفره‌ای

### اثر تعداد لوله‌های زهکش

از آن‌جا که در این بخش از بین چهار پارامتر مؤثر بر لوله‌های زهکش، فقط به بررسی اثر تعداد لوله‌های زهکش پرداخته شده است. لذا نیاز به درنظر گرفتن سه مقدار ثابت، برای سه مقدار تعدد همان‌گونه که قبلًا بیان گردید، از مدل پایه گرفته شده است؛ یعنی طول، فاصله و زاویه لوله‌های زهکش به ترتیب ۴ متر، ۴ متر و ۴۵ درجه درنظر گرفته شده است. برای بررسی اثر تعداد لوله‌های زهکش بر کرنش ماکریم، تعداد ۱ تا ۱۴ عدد لوله زهکش در مقطع دایروی تونل درنظر گرفته

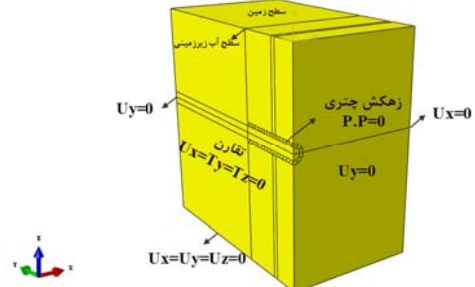
پژوهش شین و همکاران [۱] است. در جدول (۱) مشخصات صالح در مدل‌سازی در نرم‌افزار ارائه شده است.

گام بعدی در مدل‌سازی عددی در نرم‌افزار، انتخاب روش تحلیل برای حل مدل است. روش تحلیلی درنظر گرفته شده، تحلیل هم‌زمان هیدرولیکی-مکانیکی تراوش پایدار می‌باشد. این روش تحلیلی با درنظر گرفتن اثرات توأم هیدرولیکی و مکانیکی از جامعیت ویژه‌ای برخوردار است.

جدول ۱ مشخصات صالح در مدل‌سازی

$E = 1000 \text{ MPa}$	$v = 0.25$
$\gamma_d = 20 \text{ KN/m}^3$	$\gamma_{\text{sat}} = 23 \text{ KN/m}^3$
$k = 10^{-7} \text{ m/s}$	

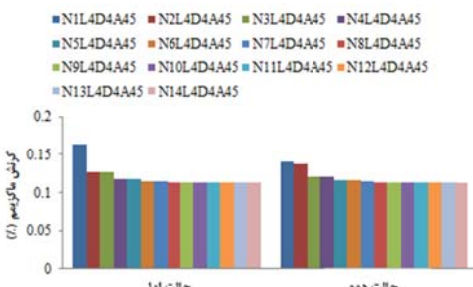
مرحله بعد در مدل‌سازی عددی در نرم‌افزار، اعمال شرایط مرزی است. در شکل (۱۳) شرایط مرزی مکانیکی و هیدرولیکی در مدل‌سازی ارائه شده است.



شکل ۱۳ شرایط مرزی در مدل‌سازی

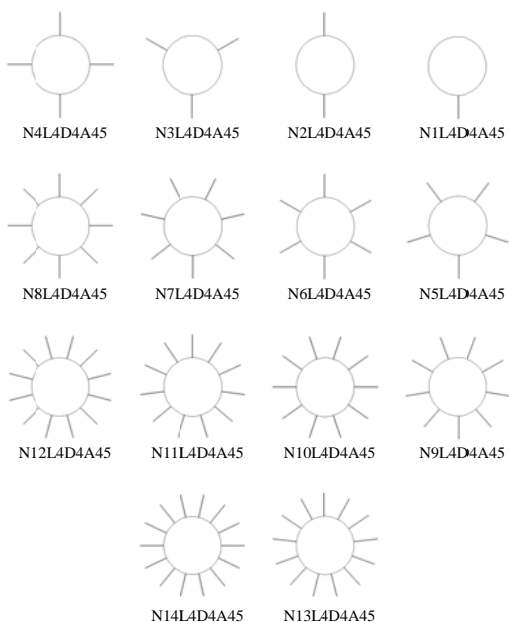
سپس ستاب گراتش به عنوان تنها نیروی خارجی مؤثر بر مدل، در مدل‌سازی اعمال می‌گردد. با انجام این فرآیند، بارگذاری در مدل‌سازی نیز به اتمام می‌رسد. گام بعدی در مدل‌سازی عددی در نرم‌افزار، مشبندی مدل است. المان درنظر گرفته شده برای مشبندی، المان مکعبی هشت‌گره‌ای خطی (استاندارد درجه اول) می‌باشد. در شکل (۱۴) مدل مشبندی شده در مدل‌سازی ارائه شده است.

در شکل (۱۷) مقدار کرنش ماکریم، در هر دو حالت از این آرایش تعدادی لوله‌های زهکش نشان داده شده است.



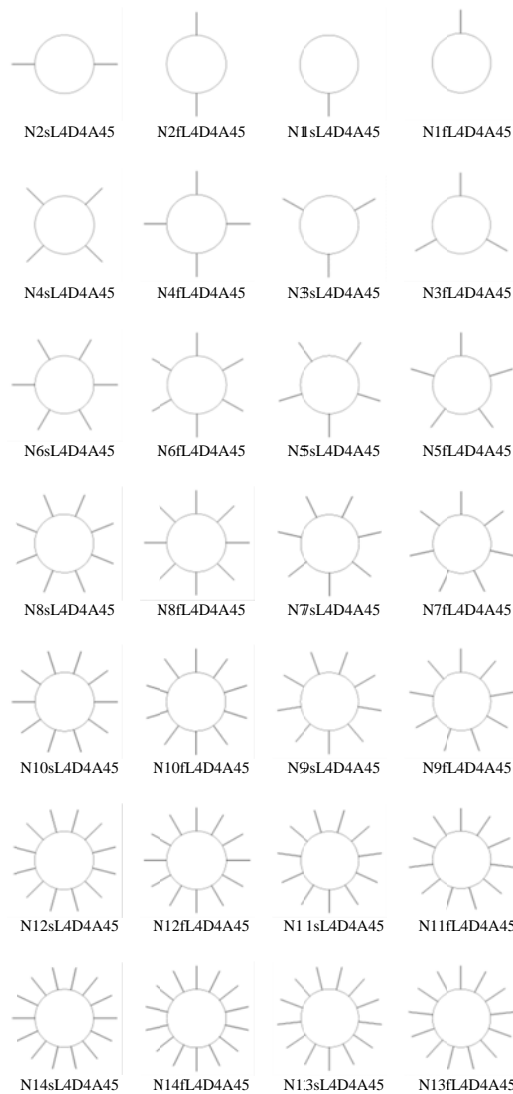
شکل ۱۷ تأثیر آرایش تعدادی لوله‌های زهکش در دو حالت بر کرنش ماکریم

همان‌گونه که در شکل (۱۷) نشان داده شده است نتیجه می‌شود که از بین دو حالت اول و دوم از هر آرایش تعدادی لوله‌های زهکش، فقط یک حالت وجود دارد که به صورت بهینه کرنش ماکریم کمتری را ایجاد می‌کند. در شکل (۱۸) این حالت بهینه از هر آرایش تعدادی لوله‌های زهکش، به همراه نام‌گذاری آنها نشان داده شده است.



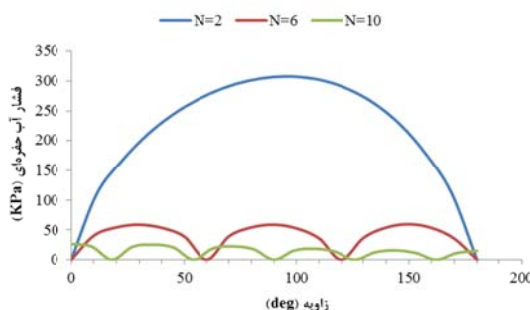
شکل ۱۸ آرایش تعدادی لوله‌های زهکش در حالت بهینه به همراه نام‌گذاری

شده است. از آنجا که آرایش لوله‌های زهکش در این سیستم زهکشی، در دو نیمه راست و چپ تونل نسبت به یکدیگر متقارن است؛ لذا برای هر آرایش تعدادی از این لوله‌های زهکش در مقطع دایروی تونل، دو حالت را می‌توان در نظر گرفت. در شکل (۱۶) این دو حالت از هر آرایش تعدادی لوله‌های زهکش، به همراه نام‌گذاری آنها نشان داده شده است. لازم به ذکر است که در این نام‌گذاری، حرف f بیانگر حالت اول و حرف s بیانگر حالت دوم می‌باشد.



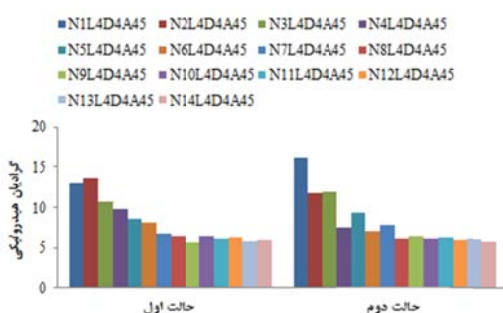
شکل ۱۶ آرایش تعدادی لوله‌های زهکش در دو حالت به همراه نام‌گذاری

قطعه دایروی توبل فشار آب حفره‌ای کاهش می‌یابد.



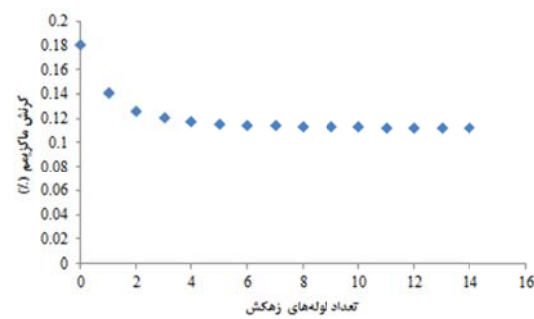
شکل ۲۰ تأثیر آرایش تعدادی لوله‌های زهکش بر توزیع فشار آب حفره‌ای

در شکل (۲۱) مقدار گرادیان هیدرولیکی در هر دو حالت از آرایش تعدادی لوله‌های زهکش نشان داده شده است. همان‌گونه که در شکل (۲۱) نشان داده شده است نتیجه می‌شود که از بین دو حالت از هر آرایش تعدادی لوله‌های زهکش فقط یک حالت وجود دارد که به صورت بهینه حداقل گرادیان هیدرولیکی کمتری را ایجاد می‌کند. البته لازم به ذکر است که این حالت بهینه، الزاماً همان حالت بهینه آرایش تعدادی لوله‌های زهکش بهمنظر ایجاد کرنش ماقزیم کمتر نیست. مثلاً مدل N2L4D4A45 حالت اول، از جمله حالات بهینه آرایش تعدادی لوله‌های زهکش بهمنظر کاهش کرنش ماقزیم است؛ ولی همین مدل، از جمله حالات بهینه آرایش تعدادی لوله‌های زهکش بهمنظر کاهش گرادیان هیدرولیکی نیست.



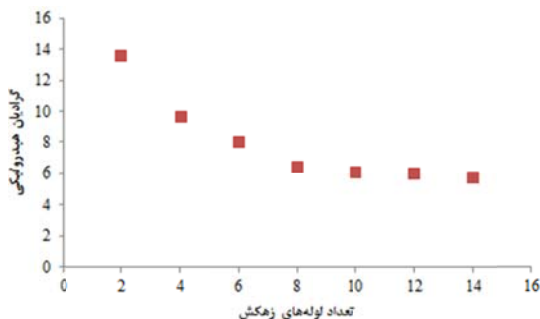
شکل ۲۱ تأثیر آرایش تعدادی لوله‌های زهکش در دو حالت بر گرادیان هیدرولیکی

همان‌گونه که در شکل (۱۸) نشان داده شده است نتیجه می‌شود که وجه مشترک معمول حالت بهینه آرایش تعدادی لوله‌های زهکش، ضرورت زهکشی از کف توبل می‌باشد. این امر به صورت مشهود برای تعداد لوله‌های زهکش ۱ تا ۹ عدد در قطعه دایروی توبل دیده می‌شود. این امر تأیید کننده ضرورت کاربرد همان سیستم زهکشی معکوس در توبل‌های تحت تراوش است. در شکل (۱۹) مقدار کرنش ماقزیم، در حالت بهینه آرایش تعدادی لوله‌های زهکش نشان داده شده است. همان‌گونه که در شکل (۱۹) نشان داده شده است نتیجه می‌شود که با افزایش تعداد لوله‌های زهکش در قطعه دایروی توبل کرنش ماقزیم کاهش می‌یابد. البته این کاهش کرنش ماقزیم، تا تعداد ۸ عدد لوله زهکش در قطعه دایروی توبل مشهود است. لازم به ذکر است که عدد صفر برای تعداد لوله‌های زهکش در قطعه دایروی توبل یانگر کرنش ماقزیم بدون درنظر گرفتن سیستم زهکشی می‌باشد.

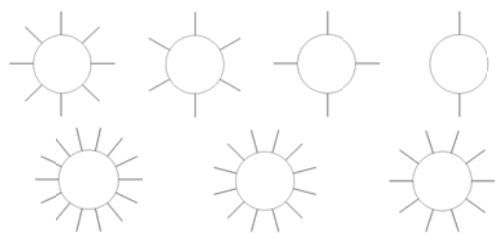


شکل ۱۹ تأثیر آرایش تعدادی لوله‌های زهکش در حالت بهینه بر کرنش ماقزیم

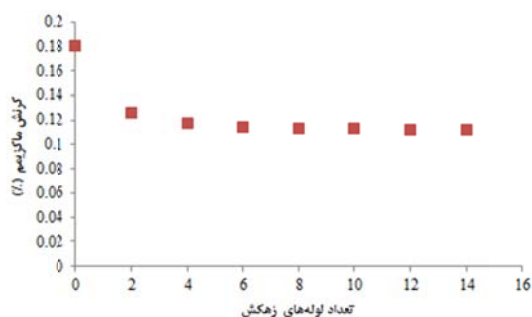
برای بررسی اثر تعداد لوله‌های زهکش بر فشار آب حفره‌ای، فقط تعداد ۳، ۶ و ۱۰ عدد لوله زهکش در قطعه دایروی توبل در قدر گرفته شده است. در شکل (۲۰) توزیع فشار آب حفره‌ای، در این حالت از آرایش تعدادی لوله‌های زهکش نشان داده شده است. همان‌گونه که در شکل (۲۰) نشان داده شده است، نتیجه می‌شود که با افزایش تعداد لوله‌های زهکش در



شکل ۲۳ تأثیر آرایش تعدادی لوله‌های زهکش در حالت زوج بر گرادیان هیدرولیکی



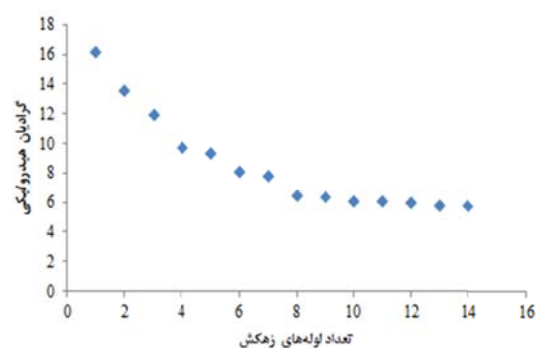
شکل ۲۴ آرایش تعدادی لوله‌های زهکش در حالت زوج



شکل ۲۵ تأثیر آرایش تعدادی لوله‌های زهکش در حالت زوج بر کرنش ماکریم

همان‌گونه که در شکل (۲۳) نشان داده شده است نتیجه می‌شود که این کاهش گرادیان هیدرولیکی تا همان تعداد ۸ عدد لوله زهکش در مقطع دایروی تونل قابل ملاحظه است. این امر دلالت بر حاکمیت عوامل هیدرولیکی نسبت به عوامل مکانیکی بر تونل تحت تراویش دارد. در شکل (۲۴) حالات زوج از آرایش تعدادی لوله‌های زهکش نشان داده است. هم‌چنین

از آنجا که رویکرد اصلی در این تحقیق، بررسی اثر عوامل مؤثر بر لوله‌های زهکش بر مبنای کرنش ماکریم است. لذا از بررسی حالات بهینه آرایش تعدادی لوله‌های زهکش به منظور کاهش گرادیان هیدرولیکی اجتناب گردیده است. در شکل (۲۲) مقدار گرادیان هیدرولیکی در حالت بهینه آرایش تعدادی لوله‌های زهکش نشان داده شده است.

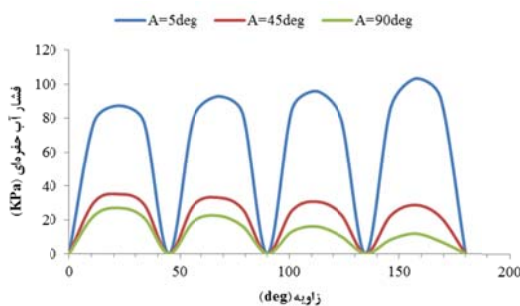


شکل ۲۶ تأثیر آرایش تعدادی لوله‌های زهکش در حالت بهینه بر گرادیان هیدرولیکی

همان‌گونه که در شکل (۲۲) نشان داده شده است نتیجه می‌شود که با افزایش تعداد لوله‌های زهکش در مقطع دایروی تونل، گرادیان هیدرولیکی به‌طور معمول کاهش می‌یابد. هم‌چنین همان‌گونه که مشاهده می‌شود، کاهش گرادیان هیدرولیکی برای تعداد ۵، ۷ و ۹ عدد لوله زهکش در مقطع دایروی تونل، به ترتیب در مقایسه با گرادیان هیدرولیکی برای تعداد ۴، ۶ و ۸ عدد لوله زهکش در مقطع دایروی تونل ناچیز است؛ لذا با درنظر گرفتن تعداد زوج برای لوله‌های زهکش در مقطع دایروی تونل، می‌توان از کاهش مؤثرتر گرادیان هیدرولیکی بهره برد. در شکل (۲۳) مقدار گرادیان هیدرولیکی در حالت زوج آرایش تعدادی لوله‌های زهکش نشان داده شده است.

مذکور، زاویه  $90^\circ$  درجه نسبت به محور طولی تونل است، ولی این کاهش کرنش ماکزیمم تا زاویه  $45^\circ$  درجه برای لوله‌های زهکش نسبت به محور طولی تونل مشهود است. لذا به دلیل ملاحظات اجرایی و تجهیزات کارگاهی، می‌توان لوله‌های زهکش را با زاویه بیشتر از  $45^\circ$  درجه نسبت به محور طولی تونل نصب کرد.

برای بررسی اثر زاویه لوله‌های زهکش بر فشار آب حفره‌ای، فقط زوایای  $5^\circ$ ،  $45^\circ$  و  $90^\circ$  درجه برای لوله‌های زهکش، نسبت به محور طولی تونل درنظر گرفته شده است. در شکل (۲۷) توزیع فشار آب حفره‌ای، به‌ازای این زوایای لوله‌های زهکش نشان داده شده است.



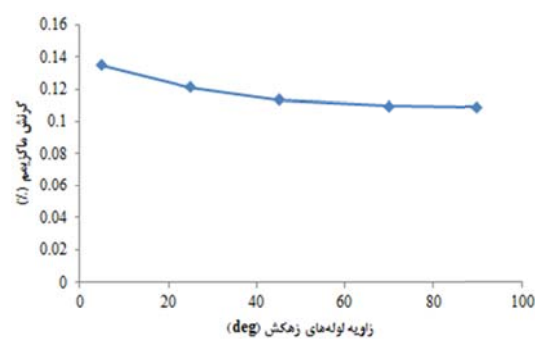
شکل ۲۷ تأثیر زاویه لوله‌های زهکش بر توزیع فشار آب حفره‌ای

همان‌گونه که در شکل (۲۷) نشان داده شده است نتیجه می‌شود که با افزایش زاویه لوله‌های زهکش نسبت به محور طولی تونل، فشار آب حفره‌ای کاهش می‌یابد. در شکل (۲۸) مقدار گرادیان هیدرولیکی، به‌ازای زوایای لوله‌های زهکش نسبت به محور طولی تونل نشان داده شده است. همان‌گونه که در شکل (۲۸) نشان داده شده است نتیجه می‌شود که با افزایش زاویه لوله‌های زهکش نسبت به محور طولی تونل گرادیان هیدرولیکی کاهش می‌یابد. همچنین این کاهش گرادیان هیدرولیکی تا همان زاویه  $45^\circ$  درجه برای لوله‌های زهکش نسبت به محور طولی تونل مشهود است. این امر نیز دلالت بر حاکمیت عوامل هیدرولیکی نسبت به عوامل مکانیکی بر تونل تحت تراویش دارد.

در شکل (۲۵) مقدار کرنش ماکزیمم، در حالت بهینه آرایش تعدادی لوله‌های زهکش برای حالات زوج نشان داده شده است.

### اثر زاویه لوله‌های زهکش

از آنجا که در این بخش از بین چهار پارامتر مؤثر بر لوله‌های زهکش، فقط یه بررسی اثر زاویه لوله‌های زهکش پرداخته شده است. لذا نیاز به درنظر گرفتن سه مقدار ثابت برای سه پارامتر مؤثر دیگر بر لوله‌های زهکش است. در بخش قبل به این نتیجه رسیده شد که بهترین تعداد برای آرایش مذکور، تعداد ۸ عدد لوله زهکش در مقطع دایروی تونل است؛ لذا در این بخش سه مقدار ثابت  $8^\circ$ ،  $4^\circ$  متر و  $4^\circ$  متر به ترتیب برای سه پارامتر تعداد، طول و قاصله لوله‌های زهکش درنظر گرفته شده است. همچنین برای بررسی اثر زاویه لوله‌های زهکش بر کرنش ماکزیمم، زوایای  $5^\circ$ ،  $45^\circ$ ،  $25^\circ$ ،  $70^\circ$  و  $90^\circ$  درجه برای لوله‌های زهکش نسبت به محور طولی تونل درنظر گرفته شده است. در شکل (۲۶) کرنش ماکزیمم، به‌ازای این زوایای لوله‌های زهکش نشان داده شده است.

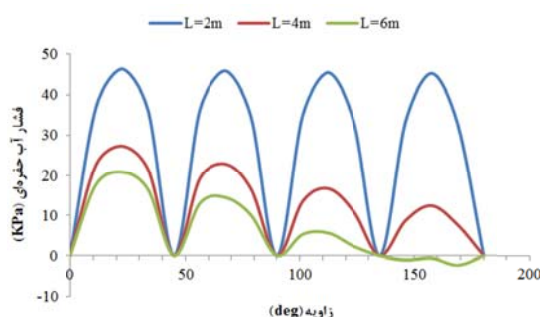


شکل ۲۶ تأثیر زاویه لوله‌های زهکش بر کرنش ماکزیمم

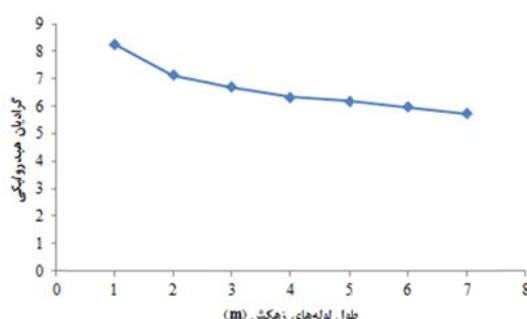
همان‌گونه که در شکل (۲۶) نشان داده شده است نتیجه می‌شود که با افزایش زاویه لوله‌های زهکش نسبت به محور طولی تونل، کرنش ماکزیمم کاهش می‌یابد. هرچند زاویه بهینه برای لوله‌های زهکش در آرایش

کرنش ماقزیم کاهش می‌یابد. همچنین این کاهش کرنش ماقزیم تا طول ۴ متر، برای لوله‌های زهکش مشهود است. لذا به دلیل ملاحظات اجرایی و تجهیزات کارگاهی به خصوص طول بازوی جامبو دریل در حفاری مکانیزه لوله‌های زهکش، می‌توان طول بهینه برای لوله‌های زهکش را همان طول ۴ متر دانست.

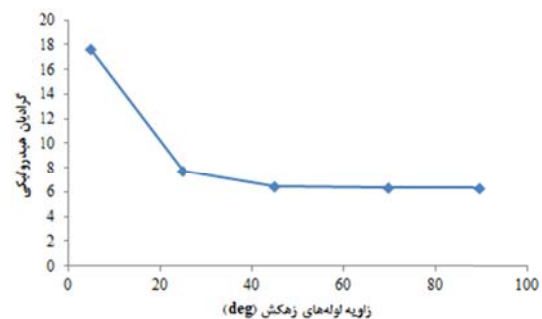
برای بررسی اثر طول لوله‌های زهکش بر فشار آب حفره‌ای فقط طول‌های ۲، ۴ و ۶ متر برای لوله‌های زهکش در نظر گرفته شده است. در شکل (۳۰) توزیع فشار آب حفره‌ای، به ازای این طول‌های لوله‌های زهکش نشان داده شده است. همان‌گونه که در شکل (۳۰) نشان داده شده است نتیجه می‌شود که با افزایش طول لوله‌های زهکش، فشار آب حفره‌ای کاهش می‌یابد. به گونه‌ای که کاربرد طول ۶ متر برای لوله‌های زهکش، باعث ایجاد مکش در کف تونل می‌گردد. این امر دلالت بر غیر توجیه‌پذیر بودن کاربرد این طول برای لوله‌های زهکش دارد.



شکل ۳۰ تأثیر طول لوله‌های زهکش بر توزیع فشار آب حفره‌ای



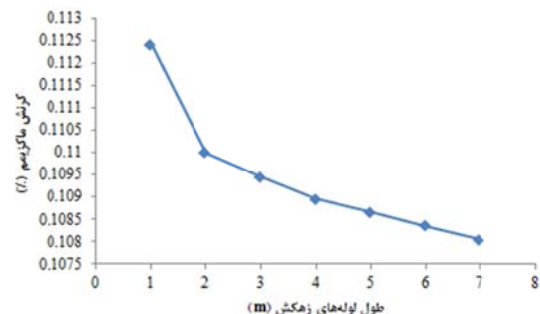
شکل ۳۱ تأثیر طول لوله‌های زهکش بر گرادیان هیدرولیکی



شکل ۲۸ تأثیر زاویه لوله‌های زهکش بر گرادیان هیدرولیکی

### اثر طول لوله‌های زهکش

از آنجا که در این بخش از بین چهار پارامتر مؤثر بر لوله‌های زهکش، فقط یه بررسی اثر طول لوله‌های زهکش پرداخته شده است، لذا نیاز به درنظر گرفتن سه مقدار ثابت، برای سه پارامتر مؤثر دیگر بر لوله‌های زهکش است. در بخش قبل به این نتیجه رسیده شد که زاویه بهینه برای لوله‌های زهکش در آرایش مذکور، زاویه ۹۰ درجه نسبت به محور طولی تونل می‌باشد. لذا در این بخش سه مقدار ثابت ۸، ۴ متر و ۹۰ درجه، به ترتیب برای سه پارامتر تعداد، فاصله و زاویه لوله‌های زهکش درنظر گرفته شده است. همچنین برای بررسی اثر طول لوله‌های زهکش بر کرنش ماقزیم، طول‌های ۱ تا ۷ متر برای لوله‌های زهکش درنظر گرفته شده است. در شکل (۲۹) مقدار کرنش ماقزیم، به ازای این طول‌های لوله‌های زهکش نشان داده شده است.

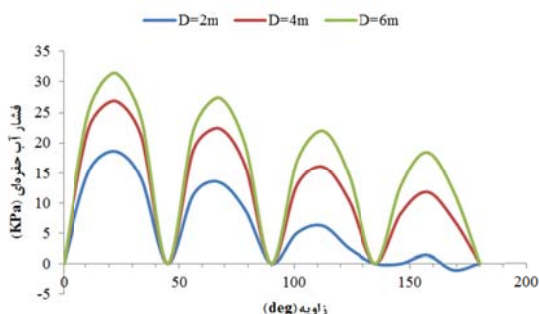


شکل ۲۹ تأثیر طول لوله‌های زهکش بر کرنش ماقزیم

همان‌گونه که در شکل (۲۹) نشان داده شده است نتیجه می‌شود که با افزایش طول لوله‌های زهکش،

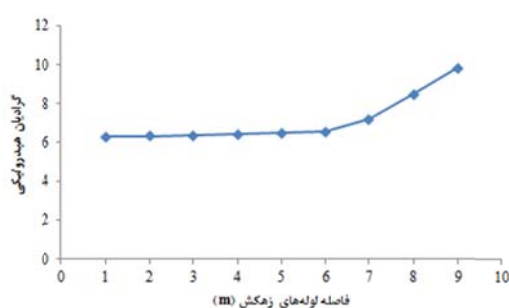
همان‌گونه که در شکل (۳۲) نشان داده شده است نتیجه می‌شود که با افزایش فاصله لوله‌های زهکش، کرنش ماکزیمم افزایش می‌یابد. همچنین این افزایش کرنش ماکزیمم تا فاصله ۶ متر، برای لوله‌های زهکش قابل ملاحظه نیست. لذا به دلیل ملاحظات اقتصادی، می‌توان بهترین فاصله برای لوله‌های زهکش در آرایش مذکور را فاصله ۶ متر دانست.

برای بررسی اثر فاصله لوله‌های زهکش بر فشار آب حفره‌ای، فقط فاصله‌های ۲، ۴ و ۶ متر برای لوله‌های زهکش درنظر گرفته شده است. در شکل (۳۳) توزیع فشار آب حفره‌ای، به‌ازای این فاصله‌های لوله‌های زهکش نشان داده شده است.



شکل ۳۳ تأثیر فاصله لوله‌های زهکش بر توزیع فشار آب حفره‌ای

همان‌گونه که در شکل (۳۳) نشان داده شده است نتیجه می‌شود که با افزایش فاصله لوله‌های زهکش فشار آب حفره‌ای افزایش می‌یابد. در شکل (۳۴) مقدار گرادیان هیدرولیکی، به‌ازای فاصله‌های لوله‌های زهکش گرادیان هیدرولیکی، به‌ازای فاصله‌های لوله‌های زهکش نشان داده شده است.

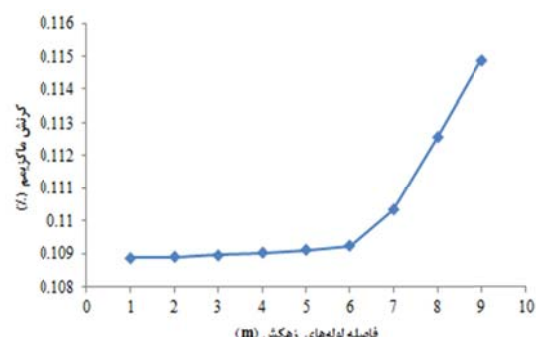


شکل ۳۴ تأثیر فاصله لوله‌های زهکش بر گرادیان هیدرولیکی

در شکل (۳۱) مقدار گرادیان هیدرولیکی به‌ازای طول‌های لوله‌های زهکش نشان داده شده است. همان‌گونه که در شکل (۳۱) نشان داده شده است نتیجه می‌شود که با افزایش طول لوله‌های زهکش، گرادیان هیدرولیکی کاهش می‌یابد. همچنین این کاهش گرادیان هیدرولیکی تا همان طول ۴ متر برای لوله‌های زهکش مشهود است. این امر تیز دلالت بر حاکمیت عوامل هیدرولیکی نسبت به عوامل مکانیکی بر تونل تحت تراوش دارد.

### اثر فاصله لوله‌های زهکش

از آنجا که در این بخش از بین چهار پارامتر مؤثر بر لوله‌های زهکش، فقط به بررسی اثر فاصله لوله‌های زهکش پرداخته شده است، لذا نیاز به درنظر گرفتن سه مقدار ثابت، برای سه پارامتر مؤثر دیگر بر لوله‌های زهکش است. در بخش قبل به این نتیجه رسیده شد که بهترین طول برای لوله‌های زهکش در آرایش مذکور، طول ۴ متر می‌باشد. لذا در این بخش سه مقدار ثابت ۸، ۴ متر و ۹۰ درجه، به ترتیب برای سه پارامتر تعداد، طول و زاویه لوله‌های زهکش درنظر گرفته شده است. همچنین برای بررسی اثر فاصله لوله‌های زهکش بر کرنش ماکزیمم، فاصله‌های ۱ تا ۹ متر برای لوله‌های زهکش درنظر گرفته شده است. در شکل (۳۲) مقدار کرنش ماکزیمم، به‌ازای این فاصله‌های لوله‌های زهکش نشان داده شده است.



شکل ۳۲ تأثیر فاصله لوله‌های زهکش بر کرنش ماکزیمم

متر است. همچنین بهترین فاصله برای لوله‌های زهکش ۶ متر است. البته لازم به ذکر است که این مقادیر بهینه برای عوامل مؤثر بر لوله‌های زهکش، با فرض ثابت بودن سه مقدار ثابت برای سایر عوامل مؤثر بر لوله‌های زهکش بدست آمده است. همچنین از آنجا که با درنظر گرفتن عبارت  $N.L/D$ , پارامترهای تعداد، طول و فاصله لوله‌های زهکش از عوامل اصلی توجیه پذیر کردن مقدار میانه بهینه از لحاظ اقتصادی هستند، لذا برای آرایش بهینه از لحاظ اقتصادی هستند، لذا برای دست‌یابی به مدل مبنا برای سیستم زهکش چتری، از مقادیر میانه بهینه این عوامل مؤثر بر لوله‌های زهکش استفاده شده است. بنابراین، مدل مبنا برای سیستم زهکش چتری به صورت N6L2D3A90 در نظر گرفته شده است. سپس برای تحلیل حساسیت در مدل‌سازی، اقدام به ۳۳ درصد کاهش و افزایش بر ر روی تک‌تک عوامل مؤثر بر لوله‌های زهکش گردیده است.

از آنجا که رویکرد اصلی در این تحقیق، ارائه آرایش بهینه برای لوله‌های زهکش سیستم زهکشی چتری براساس کرنش ماقزیم است. لذا در شکل (۳۵) درصد تغییرات کرنش ماقزیم، به‌ازای ۳۳ درصد کاهش و افزایش در عوامل مؤثر بر لوله‌های زهکش مدل مبنا برای سیستم زهکش چتری نشان داده شده است. همان‌گونه که در شکل (۳۵) نشان داده شده است نتیجه می‌شود که تغییرات در طول، تعداد و فاصله لوله‌های زهکش به ترتیب بیشترین تأثیر را بر کرنش ماقزیم گذاشته است.

در شکل (۳۶) درصد تغییرات گرادیان هیدرولیکی، به‌ازای ۳۳ درصد کاهش و افزایش در عوامل مؤثر بر لوله‌های زهکش مدل مبنا برای سیستم زهکش چتری نشان داده شده است. همان‌گونه که در شکل (۳۶) نشان داده شده است نتیجه می‌شود که تغییرات در تعداد، طول و فاصله لوله‌های زهکش به ترتیب بیشترین تأثیر را بر گرادیان هیدرولیکی گذاشته است.

همان‌گونه که در شکل (۳۴) نشان داده شده است نتیجه می‌شود که با افزایش فاصله لوله‌های زهکش، گرادیان هیدرولیکی افزایش می‌یابد. همچنین این افزایش گرادیان هیدرولیکی تا همان فاصله ۶ متر برای لوله‌های زهکش قابل ملاحظه نیست. این امر نیز دلالت بر حاکمیت عوامل هیدرولیکی نسبت به عوامل مکانیکی بر تونل تحت تراویش دارد.

### آرایش بهینه سیستم زهکش چتری

از آنجا که هدف اصلی این بخش ارائه یک آرایش بهینه برای لوله‌های زهکش سیستم زهکش چتری می‌باشد، لذا لازم است در ابتدا به نوعی تشخیص داده شود که از عوامل مؤثر بر لوله‌های زهکش کدام یک از اولویت بالاتری در طراحی لوله‌های زهکش سیستم زهکش چتری برخوردار است. لذا در این قسمت اقدام به حساسیت‌سنجی در مدل‌سازی شده است. لازم به ذکر است که مطالب ارائه شده در این قسمت، به هیچ عنوان به منزله یک تحلیل آماری بر مدل‌سازی برای عوامل مؤثر بر لوله‌های زهکش نمی‌باشد. فقط به منزله روشی برای دست‌یابی به اولویت‌های طراحی از بین عوامل مؤثر بر لوله‌های زهکش می‌باشد، که در یافتن ساده‌تر یک آرایش بهینه برای لوله‌های زهکش سیستم زهکش چتری کمک کرده است.

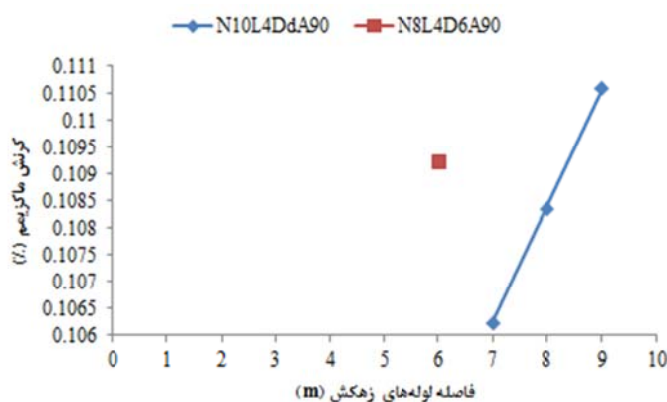
برای تحلیل حساسیت در مدل‌سازی، در ابتدا نیاز به یک مدل مبنا برای سیستم زهکش چتری است. آرایش لوله‌های زهکش در مدل مبنا برای سیستم زهکش چتری، از تحلیل‌های صورت گرفته در بخش‌های قبل بر روی تک‌تک عوامل مؤثر بر لوله‌های زهکش گرفته شده است. در بخش‌های قبل براساس کرنش ماقزیم به این نتایج رسیده شد که بهترین تعداد برای لوله‌های زهکش در مقطع دایروی تونل ۸ عدد است. زاویه بهینه برای لوله‌های زهکش زاویه  $90^\circ$  درجه نسبت به محور طولی تونل است. بهترین طول برای لوله‌های زهکش ۴



شکل ۳۵ درصد تغییرات کرنش ماکریم در تحلیل حساسیت در مدل‌سازی



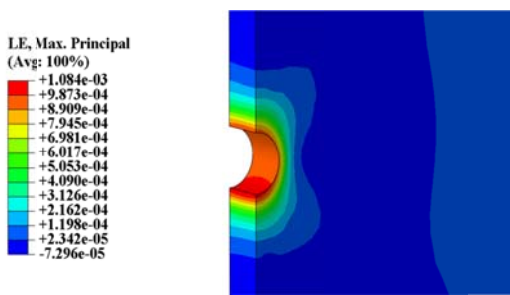
شکل ۳۶ درصد تغییرات گرادیان هیدرولیکی در تحلیل حساسیت در مدل‌سازی



شکل ۳۷ تأثیر فاصله لوله‌های زهکش بر کرنش ماکریم در آرایش بهینه سیستم زهکش چتری

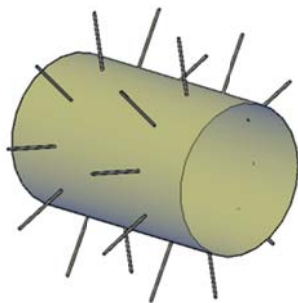
zechesh model based on the requirements of the system is proposed. This model is capable of calculating the required number of pipes, their lengths, and the distances between them.

باز یادآوری می‌گردد که مطالب ارائه شده در این قسمت فقط در بازه ۳۳ درصد عوامل مؤثر بر لوله‌های

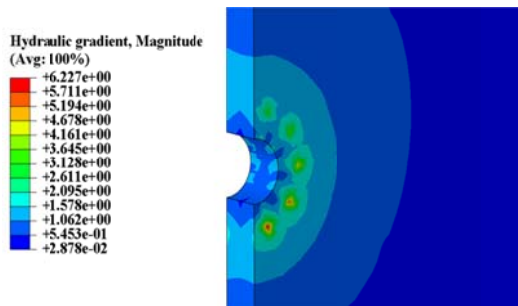


شکل ۳۸ کانتور کرنش ماکزیمم در آرایش بهینه سیستم زهکش چتری

مقدار گرادیان هیدرولیکی در آرایش بهینه سیستم زهکش چتری، در مقایسه با مدل N8L4D6A90 کمتر است، که باز دلالت بر انتخاب درست این آرایش به عنوان آرایش بهینه برای لوله‌های زهکش سیستم زهکش چتری دارد. در شکل (۴۰) کانتور گرادیان هیدرولیکی در آرایش بهینه سیستم زهکش چتری نشان داده شده است.



شکل ۳۹ آرایش بهینه سیستم زهکش چتری



شکل ۴۰ کانتور گرادیان هیدرولیکی در آرایش بهینه سیستم زهکش چتری

۸ عدد در مقطع دایروی تونل، طول لوله‌های زهکش بین ۱/۵ تا ۲/۶۷ متر و فاصله لوله‌های زهکش بین ۲/۲۵ تا ۴ متر می‌باشد.

در قسمت تحلیل حساسیت در مدل‌سازی به این نتیجه رسیده شد که تغییرات در طول، تعداد و فاصله لوله‌های زهکش به ترتیب بیشترین تأثیر را بر روی کرنش ماکزیمم داشتند. لذا طول، تعداد و فاصله لوله‌های زهکش به ترتیب به عنوان اولویت‌های طراحی عوامل مؤثر بر لوله‌های زهکش سیستم زهکش چتری در نظر گرفته شده است. لذا با در نظر گرفتن همان طول ۴ متر برای لوله‌های زهکش و تعداد ۱۰ عدد لوله زهکش در مقطع دایروی تونل، اقدام به افزایش فاصله بین لوله‌های زهکش بین ۷ متر تا ۹ متر شده است. در شکل (۳۷) مقدار کرنش ماکزیمم، به ازای این فاصله‌های لوله‌های زهکش نشان داده شده است. همان‌گونه که در شکل (۳۷) نشان داده شده است نتیجه می‌شود که تا فاصله ۸ متر برای لوله‌های زهکش آرایش مذکور، هم‌چنان کرنش ماکزیمم کمتر از مدل N8L4D6A90 می‌باشد. لذا می‌توان مدل N10L4D8A90 را به عنوان آرایش بهینه، برای لوله‌های زهکش سیستم زهکش چتری دانست. هم‌چنین عبارت N.L/D به ترتیب برای مدل‌های N10L4D8A90 و N8L4D6A90 و ۵/۳۳ می‌باشد، که این امر خود بیانگر اقتصادی‌تر بودن مدل N10L4D8A90 نسبت به مدل N8L4D6A90 می‌باشد. البته لازم به ذکر است که هر گونه تلاشی با در نظر گرفتن تعداد بیشتر یا کمتر از ۸ عدد لوله زهکش در مقطع دایروی تونل و با تغییر فاصله بین آنها منجر به دست‌یابی هیچ مدل بهینه‌تری که از لحاظ اقتصادی هم مفروض به صرفه‌تر باشد نگردید.

در شکل (۳۸) کانتور کرنش ماکزیمم در آرایش بهینه سیستم زهکش چتری نشان داده شده است. هم‌چنین در شکل (۳۹) آرایش بهینه سیستم زهکش چتری نشان داده شده است.

در شکل (۴۲) توزیع فشار آب حفره‌ای، در فاصله بین لوله‌های زهکش برای آرایش بهینه سیستم زهکش چتری نشان داده شده است.

### نتیجه‌گیری

در این تحقیق برای اولین بار با درنظر گرفتن سه خروجی شاهد کرنش مؤثر ماکزیمم، فشار آب حفره‌ای و گرادیان هیدرولیکی به بررسی کلیه پارامترهای مؤثر بر لوله زهکش سیستم زهکش چتری پرداخته شد و یک آرایش بهینه برای آنها ارائه گردید. حال با توجه به مطالب ارائه شده در این تحقیق نتایج زیر را می‌توان بیان کرد:

- از هر آرایش تعدادی لوله‌های زهکش، فقط یک حالت وجود دارد که به صورت بهینه کرنش ماکزیمم کمتری را ایجاد می‌کند، که این حالت، الزاماً همان حالت بهینه بهمنظور کاهش گرادیان هیدرولیکی نمی‌باشد.

- در آرایش تعدادی لوله‌های زهکش در سیستم زهکش چتری، ضرورت کاربرد سیستم زهکشی معکوس در تونل‌های تحت تراویش به اثبات رسید.

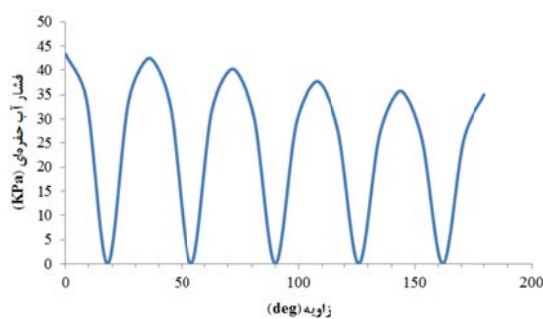
- در سیستم زهکش چتری با درنظر گرفتن تعداد زوج برای لوله‌های زهکش در مقطع دایروی تونل، می‌توان از کاهش مؤثرتر گرادیان هیدرولیکی بهره بردن.

- رفتار کرنش ماکزیمم و گرادیان هیدرولیکی تونل، با تغییر عوامل مؤثر در لوله‌های زهکش سیستم زهکش چتری هر دو مشابه یکدیگر است. این امر بیانگر، حاکمیت عوامل هیدرولیکی نسبت به عوامل مکانیکی بر تونل‌های تحت تراویش است.

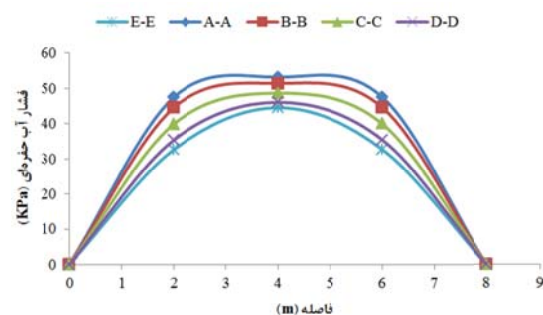
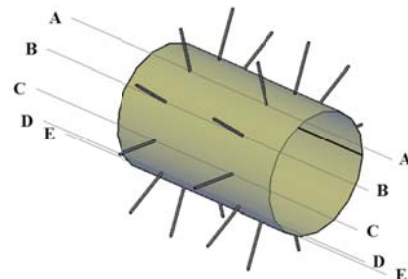
- در سیستم زهکش چتری، افزایش تعداد لوله‌های زهکش در مقطع دایروی تونل، افزایش زاویه لوله‌های زهکش نسبت به محور طولی تونل، افزایش

باید توجه داشت که آرایش بهینه ارائه شده برای سیستم زهکش چتری، منحصر به این تونل با مشخصات هندسی و فیزیکی مصالح گفته شده می‌باشد. درنتیجه از این آرایش بهینه برای سیستم زهکش چتری، می‌توان برای تونل‌هایی با مشخصات هندسی و فیزیکی مصالح نسبتاً مشابه استفاده کرد.

در شکل (۴۱) توزیع فشار آب حفره‌ای برای آرایش بهینه سیستم زهکش چتری نشان داده شده است.



شکل ۴۱ توزیع فشار آب حفره‌ای برای آرایش بهینه سیستم زهکش چتری



شکل ۴۲ توزیع فشار آب حفره‌ای در فاصله بین لوله‌های زهکش آرایش بهینه سیستم زهکش چتری

چتری به صورت، تعداد ۱۰ عدد لوله زهکش در مقطع دایروی تونل، به طول ۴ متر، فاصله ۸ متر و زاویه ۹۰ درجه نسبت به محور طولی تونل می‌باشد. البته لازم به ذکر است که این آرایش بهینه برای سیستم زهکش چتری، برای تونل‌هایی با مشخصات هندسی و فیزیکی مصالح نسبتاً مشابه ذکر شده ارائه گردیده است.

طول لوله‌های زهکش و کاهش فاصله لوله‌های زهکش باعث کاهش کرنش مازکریم، فشار آب حفره‌ای و گرادیان هیدرولیکی می‌گردد.  
 ۶. در طراحی لوله‌های زهکش سیستم زهکش چتری، طول، تعداد و فاصله لوله‌های زهکش به ترتیب بیشترین اهمیت را دارند.  
 ۷. آرایش بهینه برای لوله‌های زهکش سیستم زهکش

## مراجع

1. H-S.Shin., D-J.Youn., S-E.Chae., and J-H.Shin., "Effective Control of Pore Water Pressures on Tunnel Linings Using Pin-Hole Drain Method", *Tunnelling and Underground Space Technology*, Vol. 24, pp. 555-561, (2009).
2. H-S.Jung., Y-S.Han., S-R.Chung., B-S.Chun., and Y-J.Lee., "Evaluation of Advanced Drainage Treatment for Old Tunnel Drainage System in Korea", *Tunnelling and Underground Space Technology*, Vol. 38, pp. 476-486, (2013).
3. S-W.Nam., and A.Bobet., "Liner Stresses in Deep Tunnels Below the Water Table", *Tunnelling and Underground Space Technology*, Vol. 21, pp. 626-635, (2006).
4. A.Fahimifar., and M.Zareifard., "A Theoretical Solution for Analysis of Tunnels Below Groundwater Considering the Hydraulic-Mechanical Coupling", *Tunnelling and Underground Space Technology*, Vol. 24, pp. 634-646, (2009).
5. S-W.Lee., J-W.Jung., S-W.Nam., and I-M.Lee., "The Influence of Seepage Forces on Ground Reaction Curve of Circular Opening", *Tunnelling and Underground Space Technology*, Vol. 22, pp. 28-38, (2006).
6. Y-J.Shin., B-M.Kim., J-H.Shin., and I-M.Lee., "The Ground Reaction Curve of Underwater Tunnels Considering Seepage Forces", *Tunnelling and Underground Space Technology*, Vol. 25, pp. 315-324, (2010).
7. I-M.Lee., and S-W.Nam., "Effect of Tunnel Advance Rate on Seepage Forces Acting on the Underwater Tunnel Face", *Tunnelling and Underground Space Technology*, Vol. 19, pp. 273-281, (2004).
8. S-C.Li., and M-B.Wang., "Elastic Analysis of Stress-Displacement Field for a Lined Circular Tunnel at Great Depth Due to Ground Loads and Internal Pressure", *Tunnelling and Underground Space Technology*, Vol. 23, pp. 609-617, (2008).

9. C.Callari., "Coupled Numerical Analysis of Strain Localization Induced by Shallow Tunnels in Saturated Soils", *Computers and Geotechnics*, Vol. 31, pp. 193-207, (2004).
10. J-H.Shin., S-H.Kim., and Y-S.Shin., "Long-Term Mechanical and Hydraulic Interaction and Leakage Evaluation of Segmented Tunnels", *Soils and Foundations*, Vol. 52, pp. 38-48, (2012).
11. P. Arjnoi., J-H. Jeong., C-Y.Kim., and K-H.Park., "Effect of Drainage Conditions on Porewater Pressure Distributions and Lining Stresses in Drained Tunnels", *Tunnelling and Underground Space Technology*, vol. 24, pp. 376-389, (2009).
12. W. Xiuyinga., T. Zhongsheng., W. Mengshu., Z. Mi., and H. Ming., "Theoretical and Experimental Study of External Water Pressure on Tunnel Lining in Controlled Drainage Under High Water Level", *Tunnelling and Underground Space Technology*, Vol. 23, pp. 552-560, (2008).
13. A. Bobet., "Effect of Pore Water Pressure on Tunnel Support During Static and Seismic Loading", *Tunnelling and Underground Space Technology*, vol. 18, pp. 377-393, (2003).
14. Y-J. Shin., K-I. Song., I-M. Lee., and G-C. Cho., "Interaction Between Tunnel Supports and Ground Convergence-Consideration of Seepage Forces", *International Journal of Rock Mechanics and Mining Sciences*, vol. 48, pp. 394-405, (2011).
15. I-M. Lee., J-S. Lee., and S-W. Nam., "Effect of Seepage Force on Tunnel Face Stability Reinforced with Multi-Step Pipe Grouting", *Tunnelling and Underground Space Technology*, Vol. 19, pp. 551-565, (2004).
16. I-M. Lee., and S-W. Nam., "The Study of Seepage Forces Acting on the Tunnel Lining and Tunnel Face in Shallow Tunnels", *Tunnelling and Underground Space Technology*, Vol. 16, pp. 31-40, (2001).
17. D. Kolymbas., and P. Wagner., "Groundwater Ingress to Tunnels - The Exact Analytical Solution", *Tunnelling and Underground Space Technology*, Vol. 22, pp. 23-27, (2007).
18. C. Butscher., "Steady-State Groundwater Inflow into a Circular Tunnel", *Tunnelling and Underground Space Technology*, Vol. 32, pp. 158-167, (2012).
19. K-H. Park., A. Owatsiriwong., and J-G. Lee., "Analytical Solution for Steady-State Groundwater Inflow into a Drained Circular Tunnel in a Semi-Infinite aQuifer: A Revisit", *Tunnelling and Underground Space Technology*, Vol. 23, pp. 206-209, (2008).
20. G. Fernandez., and J. Moon., "Excavation-Induced Hydraulic Conductivity Reduction Around a Tunnel - Part 1: Guideline for Estimate of Ground Water Inflow Rate", *Tunnelling and Underground Space Technology*, Vol. 25, pp. 560-566, (2010).
۲۱. حسین‌بالام، علی، "تحلیل عددی استاتیکی عملکرد زهکش چتری در تونل دایروی عمیق تحت تراویش پایدار"، پایان‌نامه کارشناسی

ارشد مهندسی عمران (خاک و پی)، گروه عمران، دانشکده فنی و مهندسی، دانشگاه اصفهان، (۱۳۹۳).

22. Simulia, ABAQUS 6-13-1 reference manual, (2014).

## بررسی اثر زئولیت و سیمان بر تراکم خاک ماسه‌ای بالسَر\*

عیسی شوش پاشا<sup>(۱)</sup>مجتبی عباسی<sup>(۲)</sup>حسین ملاعباسی<sup>(۳)</sup>

**چکیده** ماسه‌های سیمانی به عنوان یکی از موضوعات اقتصادی و زیست محیطی در تثبیت خاک شناخته شده است. در برخی موارد ترکیبی از سیمان و ماسه با سایر مواد از جمله فیبر، شیشه، نانوذرات و یا زئولیت می‌تواند به طور مؤثر در تثبیت خاک در جاده‌سازی استفاده شود. در این بررسی زئولیت به عنوان یکی از مواد پوزلان افزودنی به سیمان و اثرات آن بر تراکم مورد ارزیابی قرار گرفته است. در این راستا از زئولیت نوع معانی کلینوپیولیت و سیمان تیپ II کا و ماسه بالسَر به عنوان خاک پایه استفاده شد. آزمایش تراکم استاندارد بر روی طرح اختلاط ۲۴ حالت سیمان و زئولیت شامل درصد سیمان‌های مختلف ۲، ۴، ۶ و ۸ درصد و وزن خشک کل نمونه و درصد‌های جایگزینی ۰، ۱۰، ۳۰، ۵۰، ۷۰ و ۹۰٪ زئولیت با سیمان انجام شد. نتایج حاصل نشان می‌دهد با جایگزینی زئولیت به جای سیمان، وزن مخصوص خشک حد اکثر آن نسبت به نمونه‌های بدون زئولیت به میزان ۲ تا ۲/۵ درصد کاهش می‌یابد و درصد رطوبت بهینه تقریباً ۱۴٪ درصد به دست آمده است. در انتها یکتابع براساس سری ولترا برای ارتباط دادن وزن مخصوص خشک حد اکثر به پارامترهای ماسه زئولیت سیمانی ارائه شده است.

**واژه‌های کلیدی** تثبیت، سیمان، زئولیت، تراکم، رطوبت بهینه.

## Investigation of Zeolite and Cement on Compaction of Babolsar Sand

I. Shooshpasha

M. Abbasi

H. MolaAbasi

**Abstract** It is widely known and well emphasized that the cemented sand is one of economic and environmental topics in soil stabilization. In some instances, a blend of sand, cement and other materials such as fiber, glass, nano particle and zeolite can commercially available and effectively used in soil stabilization in road construction. In this investigation, zeolite and its effect on compaction studied as one of pozolan additive material to cement. Therefore, cclinopiolite kind of zeolite, Neka cement type II and Babolsar sand are used. Compaction poroctor tests were carried out on 24 combination type of cement and zeolite with include different cement percentages 2, 4, 6 and 8 percent of total dry weight of samples and replacement percent's of 0, 10, 30, 50, 70 and 90 cement with zeolite. Results show that by replacement cement material by zeolite, the maximum dry density increased 2 to 2.5% in comparison with cemented samples and 14% optimum water content approximately concluded. At the end, a function fits Based on Voltra series presented to relate maximum dry density and zeolite-cement-soil parameters.

**Key Words** Stabilization, Cement, Zeolite, Compaction, Optimum Water Content.

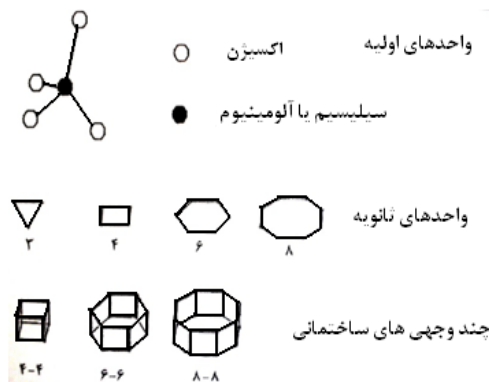
\* تاریخ دریافت مقاله ۹۳/۱۰/۲۹ و تاریخ پذیرش آن ۹۵/۲/۱ می‌باشد.

(۱) نویسنده مسئول: دانشیار، دانشکده مهندسی عمران و خاک و پی، دانشگاه صنعتی نوشیروانی، بابل.

(۲) کارشناس ارشد خاک و پی، مؤسسه آموزش عالی غیرانتفاعی صنعتی، مازندران.

(۳) دانشجوی دکتری، مهندسی خاک و پی، دانشگاه صنعتی نوشیروانی، بابل.

متعددالشکل و به ابعاد ۳ تا ۱۰ انگستروم می‌باشد که ابعاد مزبور در حد اندازه‌های مولکولی است، لذا به زئولیت‌ها غربال‌های مولکولی نیز می‌گویند [۳].



شکل ۱ نمایش واحدهای ساختمانی در ساختار مولکولی زئولیت

سال‌های زیادی از فرآگیر شدن استفاده از زئولیت در جهان بالاخص کشورهای صنعتی و پیشرفته می‌گذرد. لیکن از نظر هزینه و امکان دسترسی، تهیه این کانی‌ها در ایران بسیار ارزان و به راحتی میسر است. به همین دلیل استفاده از آنها علاوه بر کاهش معضلات زیست‌محیطی از نظر اقتصادی نیز بسیار اثراگذار است [۴].

استفاده از زئولیت به عنوان یک ماده معدنی طبیعی و ارزان (در ایران) و جایگزینی آن با درصدی از سیمان می‌تواند برای به سازی ماسه با سیمان مناسب باشد. ارزان بودن زئولیت نسبت به سیمان را با توجه به آنالیز بهای جهانی و وجود معادن بسیار در کشور بهویژه در استان سمنان [۴] می‌توان به عنوان بخشی از دلایل کاربرد زئولیت به جای سیمان نام برد.

این مقاله شامل مطالعات قبلی اثرات سیمان و زئولیت بر تراکم، مواد و روش‌های آزمایش (مشخصات مصالح شامل دانه‌بندی، وزن مخصوص بیشینه و کمینه و تراکم پرکتور) و درانتها بحث و نتایج این بررسی می‌باشد.

## مقدمه

از ویژگی‌های عمدهٔ خاک‌های ماسه‌ای سست، مقاومت ضعیف و ناپایداری حجمی آنها می‌باشد. برای تثبیت این نوع خاک‌ها استفاده از تکنیک افزودن سیمان به عنوان یکی از گزینه‌های پرکاربرد مورد استفاده مهندسان می‌باشد [۱].

سیمان که از یکسو انرژی فراوانی برای تولید آن مصرف می‌شود و از سوی دیگر موجب تولید حدود ۸ درصد گازکربنیک تولیدشده در جهان می‌شود، توجه ویژه‌ای را به خود جلب کرده است. بنابراین بهینه‌سازی ترکیب آن به گونه‌ای که کمترین میزان انرژی برای تولید آن مصرف شود و کمترین لطمہ به منابع طبیعی وارد شود و درنهایت بهترین کارآیی ممکن از آن گرفته شود، به عنوان یک هدف اصلی مطرح می‌گردد [۲].

برخی از مطالعات به استفاده از فیبر، خردل‌استیک، نانو ذرات و شیشه در ماسه سیمانی در راستای افزایش مقاومت و کاهش رفتار ترد ماسه سیمانی اشاره کرده‌اند. در بررسی ادبیات فنی، کمتر به افزودن مادهٔ پوزلانی از جمله زئولیت به ماسه سیمانی پرداخته شده است. استفاده از زئولیت به عنوان جایگزین بخشی از سیمان مصرفی می‌تواند گزینه‌ای در خور توجه برای کاهش مصرف سیمان باشد.

زئولیت یک واژه یونانی می‌باشد که از دو جزء به معنی سنگ و جوشان تشکیل شده است و اولین بار در سال ۱۹۷۶ توسط یک معدن‌شناس سوئدی به نام کرونست، نام زئولیت به کانی استیلیت داده شد که به هنگام حرارت دادن مقدار زیادی آب از آن خارج می‌گردید. از دست دادن آب در زئولیت‌ها، آسان و برگشت‌پذیر است. زئولیت‌ها شامل فلزات قلیایی و قلیایی خاکی هستند و قادرند در واکنش‌های جایگزینی برگشت‌پذیر شرکت نمایند. تجزیه‌های شیمیایی و ساختاری نشان می‌دهند که زئولیت‌ها عمدتاً حاوی سیلیسیم، آلومینیوم و اکسیژن هستند (شکل ۱). زئولیت‌ها جامداتی بلورین و آبدار با روزنده‌هایی

سیمان و نوع روش انتخابی برای انجام آزمایش تراکم را بر دانسته و درصد رطوبت بهینه مورد ارزیابی قرار داد. آنها نتیجه گرفتند که ارتباط مستقیمی که بین عمل هیدراسیون و میزان سیمان وجود دارد؛ به عبارت دیگر با افزایش میزان سیمان، عمل هیدراسیون که منجر به کاهش رطوبت می‌شود، نیز افزایش می‌یابد [8].

دانسته خاک به جنس خاک، انرژی تراکم و میزان شاخص ثبیت بستگی دارد. در این ارتباط الاقبaryl و همکارانش در سال ۲۰۰۹ تأثیر دو شاخص ثبیت مختلف را در منحنی تراکم خاک ماسه‌ای مورد ارزیابی قرار دادند. شاخص‌های ثبیت مورد استفاده شامل سیمان پرتلند معمولی و گرد کوره سیمان می‌شدند [9]. آنها دریافتند که با افزایش میزان سیمان دانسته خاک افزایش پیدا می‌کند. دلیل این مطلب را می‌توان به دو عامل زیر نسبت داد:

۱. از آنجایی که سیمان دارای مصالح ریزدانه‌تری نسبت به ماسه است، این مواد فضای خالی بین ذرات ماسه را پر می‌کند و باعث افزایش وزن مخصوص خشک خاک می‌شود.

۲. بالاتر بودن وزن مخصوص دانه‌های سیمان (Gs) نسبت به ماسه.

پس در حالت کلی می‌توان این طور نتیجه گرفت که افزایش سیمان باعث افزایش وزن مخصوص خشک خاک می‌شود که مقدار این افزایش به نوع و میزان سیمان بستگی خواهد داشت. نکته مهم دیگر این است که افزایش سیمان منجر به کاهش رطوبت بهینه می‌شود و این کاهش رطوبت برای درصد سیمان‌های بالا محسوس‌تر است.

میتریوس و همکاران در سال ۲۰۱۲ به بررسی اثر جایگزینی زئولیت طبیعی نوع HEU به جای ماسه در ساخت ملات سبک پرداخته‌اند. نتایج بررسی‌های آنان نشان می‌دهد که اضافه کردن زئولیت طبیعی به مخلوط ملات ماسه و سیمان پرتلند سبب کاهش تا ۱۸/۵ درصدی وزن مخصوص آن می‌شود. افزایش نسبت

## اثرات سیمان و زئولیت بر تراکم

افزودن سیمان به خاک موجب تغییر در وزن مخصوص خشک بیشینه و درصد رطوبت بهینه می‌شود، ولی محققان درمورد چگونگی و میزان این تغییرات نظرات متفاوتی را ارائه نموده‌اند. کمیته تخصصی ACI بیان می‌دارد که ثبیت با سیمان باعث تغییر در وزن مخصوص خشک بیشینه و درصد رطوبت بهینه می‌شود، اما این تغییرات قابل پیش‌بینی نیستند [5]. برای ثبیت موقت‌آمیز، تراکم کافی ضروری است ولی نکته مهمی که در تراکم می‌باشد به آن توجه داشت این است که تأخیر بین اختلاط و متراکم کردن می‌تواند حداکثر دانسته را کاهش دهد.

کایا و دوروکان در سال ۲۰۰۴ مشخصات تراکمی زئولیت و مخلوط زئولیت - بتونیت (BEZ) (Bentonite-Embedded Zeolite) را مورد ارزیابی قرار دادند. با افزایش مقدار بتونیت در مخلوط، وزن مخصوص خشک حداکثر کاهش می‌یابد و این در حالی است که درصد رطوبت بهینه افزایش یافته است. البته با افزودن مقادیر مختلف بتونیت، کاهش وزن مخصوص خشک حداکثر و افزایش درصد رطوبت بهینه چشمگیر نمی‌باشد [6].

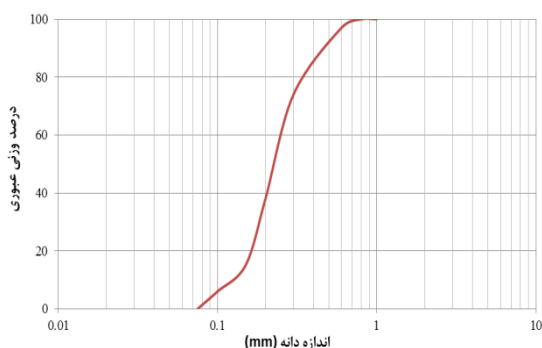
صرف زمان زیاد برای اختلاط باعث وقوع هیدراسیون جزئی سیمان می‌شود که نتیجه آن کاهش مقاومت در دانسته ثابت است. اگر عمل تراکم به تأخیر بیافتد سیمان شروع به عمل هیدراسیون می‌کند و موجب سفت شدن خاک ثبیت شده می‌گردد و درنهایت عمل تراکم را مشکل می‌نماید [5]. تأخیر بین اختلاط و تراکم به کاهش قابل ملاحظه در مقاومت فشاری محصورنشده مصالح ثبیت شده با سیمان می‌انجامد. وايت و گناندران در سال ۲۰۰۵ گزارش کردند که ۴ تا ۲۴ ساعت تأخیر بین اختلاط و عمل تراکم به ترتیب موجب ۱۰ تا ۲۰ و ۴۰ درصد کاهش در مقاومت فشاری محصورنشده می‌گردد [7].

زاپلساکا در سال ۲۰۰۸ در مطالعه‌ای تأثیر میزان

### مصالح مورد استفاده

مصالح به کارگیری شده در این تحقیق شامل خاک ماسه‌ای بابلسر، سیمان پرتلند تیپ II نکا و زئولیت سمنان می‌باشد. در انتخاب مصالح مورد آزمایش سعی شده است که مصالح برای ثبت خاک‌های نوار ساحلی شمال کشور مناسب باشد.

ماسه. با توجه به نهشته‌های ماسه‌ای فراوان در سواحل دریای خزر در این پژوهش از ماسه ساحلی بابلسر استفاده شده است. ماسه بابلسر از نوع ماسه بد دانه‌بندی شده است که اندازه متوسط دانه‌های آن حدوداً ۰/۲۴ میلی‌متر مطابق با استاندارد ASTM-C136 [13] می‌باشد (شکل ۱). وزن مخصوص خشک بیشینه و کمینه ماسه بابلسر به ترتیب مقادیر ۱/۷۷ و ۱/۴۹ تن بر مترمکعب-۴ [14,15] ASTM-D4253-4 و چگالی دانه‌های جامد آن ۲/۷۲ مطابق با استاندارد ASTM-D854-92 [16] به دست آمده است. علت بالا بودن چگالی دانه‌های جامد، وجود درصدی از مصالح اکسید آهن و سایر مصالحی چون نیکل و کالت است [۱۷].



شکل ۲ منحنی دانه بندی ماسه بابلسر

زئولیت. زئولیت مورد استفاده از نوع کلینوپیتولیت است که از معدنی واقع در ۳۰ کیلومتری شمال سمنان استخراج شده است. خواص فیزیکی و شیمیایی آن در جدول (۱) آمده است [۴]:

زئولیت طبیعی افزایش تخلخل و افزایش جذب آب ملات و در برخی موارد کاهش مقاومت فشاری تک محوری را سبب می‌شود [۱۰].

هوانگ در سال ۲۰۱۵ به بررسی خصوصیات ژئوتکنیکی اختلاط‌های ماسه و زئولیت، با درصد جرم‌های مختلف زئولیت ۲۵، ۵۰، ۷۵٪ پرداخته است. نتیجه بررسی ایشان در مورد تراکم نشان داد که با افزایش نسبت جرم زئولیت در مخلوط، درصد رطوبت بهینه تمایل به افزایش وزن مخصوص خشک ماکریم تمایل به کاهش دارد [۱۱].

یلماز و همکاران [۱۲] نیز به بررسی خواص مکانیکی و شیمیایی مخلوط‌های زئولیت و ماسه پرداخته‌اند.

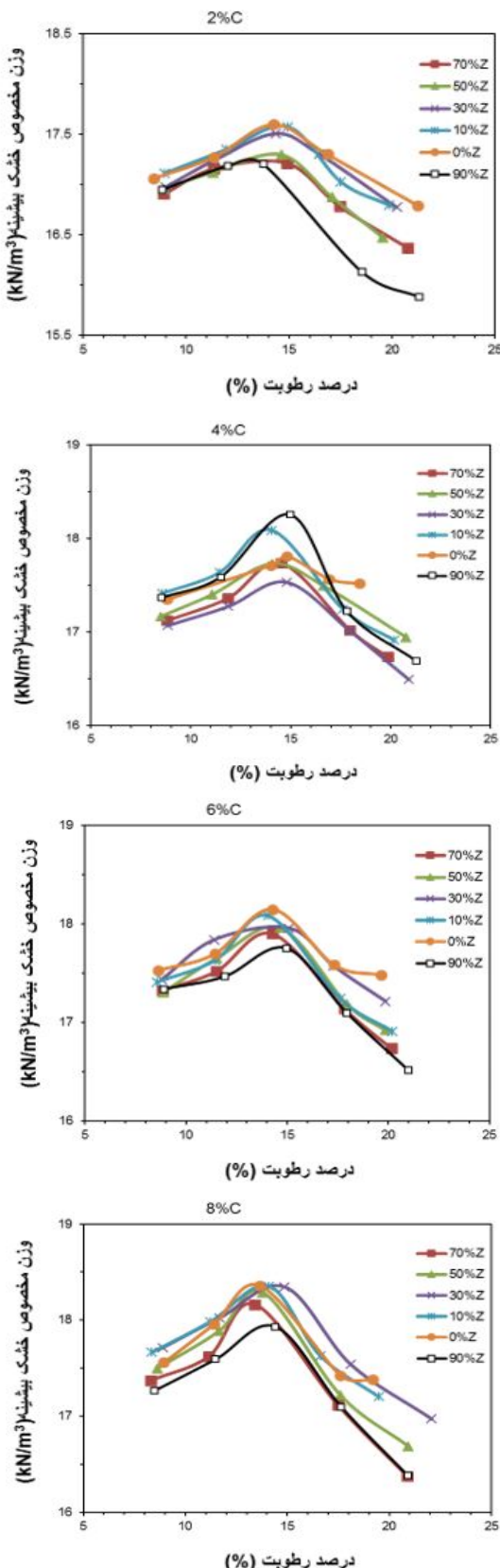
در این تحقیق به بررسی زئولیت به عنوان یک ماده پوزلان افزودنی و اثرات آن بر تراکم خاک‌های ماسه‌ای بابلسر ثبت شده با سیمان پرداخته شده است. در این بررسی یکسری آزمایش انجام شده است که در ادامه به آنها اشاره شده است.

### برنامه آزمایشگاهی

برای مطالعه اثرات زئولیت و سیمان بر تراکم ماسه بابلسر پارامترهای مقدار سیمان و جایگزینی آن با زئولیت مدنظر قرار گرفته است. در جدول (۱) متغیرهای مربوط به آزمایش تراکم استاندارد ارائه شده است.

جدول ۱ مشخصات متغیرهای ملاحظه شده

متغیرها	تعداد سطوح	توضیحات
نوع خاک پایه	۱	ماسه بد دانه بندی شده بابلسر
نوع سیمان	۱	سیمان پرتلند تیپ II نکا
مقادیر سیمان	۴	۲، ۴، ۶ و ۸ درصد وزن خشک کل
نوع زئولیت	۱	زئولیت طبیعی کلینوپیتولیت
مقادیر زئولیت	۶	۹۰، ۷۰، ۵۰، ۳۰، ۱۰ و درصد سیمان



شكل ۳ تراکم طرح‌های مختلف جایگزینی با سیمان

جدول ۲ مشخصات مکانیکی زئولیت معدنی [9]

مشخصات	زئولیت
وزن مخصوص (gr/cm³)	1/19
سطح ویژه (cm²/gr)	1000
جذب آب	۶۰ درصد حجمی
ظرفیت تبادل یونی (gr/meq)	۲/۶
چگالی دانه‌های جامد	۲/۲

سیمان. در این تحقیق از سیمان پرتلند تیپ II کارخانه سیمان نکا واقع در استان مازندران استفاده شده است. مصرف ویژه این سیمان در محلهای است که حرارت هیدراسیون متوسط برای آنها ضرورت دارد و حمله سولفات‌ها به آنها در حد متوسط می‌باشد.

### روند آزمایش تراکم

آماده‌سازی نمونه در اسرع وقت پس از اتمام مخلوط و آزمایش براساس استاندارد D 698-07<sup>E1</sup> انجام شد [18]. در هر طرح، در مجموع پنج نمونه برای به‌دست آوردن رطوبت مطلوب برای تراکم استفاده گردید. مقادیر مختلف ماسه، سیمان و زئولیت خشک‌شده در گرمخانه براساس درصدهای بیان‌شده برای هر نمونه جمعاً به میزان ۳ کیلوگرم جدا شد و با رطوبت نسبتاً کم مخلوط شد و مخلوط در قالب پروکتور استاندارد باستفاده از چکش با سقوط آزاد متراکم شد. تراکم در ۳ لایه، هر لایه با ۲۵ ضربه متراکم و سطح خاک روی قالب بدون اعمال فشار صاف شد. پایه برداشته شد و خاک و قالب وزن شدند. نمونه رطوبت از بالا، وسط و پایین از خاک گرفته شد. این روش تازمانی که وزن خاک در قالب از حداقل مقدار عبور و شروع به کاهش می‌کند تکرار شد.

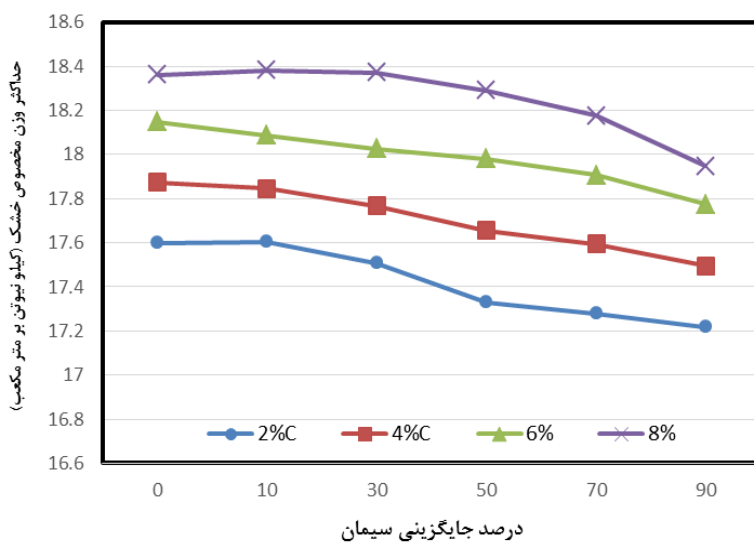
### نتایج

با انجام آزمایش‌های تراکم استاندارد برای هر ۲۴ حالت طرح اختلاط درصد رطوبت و حداقل وزن مخصوص خشک حاصل شد. نتایج به صورت شکل‌های ذیل می‌باشد.

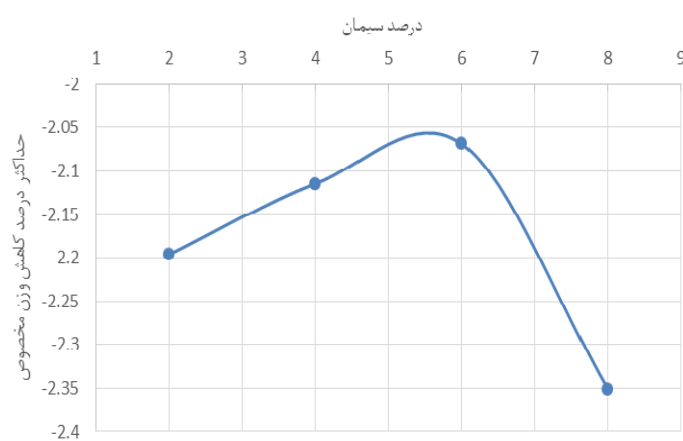
برای توجیه استفاده از زئولیت به جای سیمان، تغییرات آن به صورت درصد در شکل (۵) نشان داده شده است. همان‌طوری که در شکل (۵) دیده می‌شود حداکثر کاهش  $2/5$  درصدی وزن مخصوص خشک حداکثر برای جایگزینی سیمان با زئولیت دیده می‌شود که با توجه به قیمت و مزایای زیست محیطی زئولیت نسبت به سیمان لزوم استفاده از زئولیت را نشان می‌دهد.

به طور خلاصه نتایج حداکثر تراکم برای طرح‌های اختلط در شکل (۴) ارائه شده است.

با توجه به شکل (۴) با افزایش میزان جایگزینی زئولیت به جای سیمان، وزن مخصوص خشک حداکثر نمونه‌ها کاهش می‌یابد که میزان این کاهش در طرح  $2\%$  سیمان  $1/2$  درصد و در طرح  $8\%$  سیمان  $2$  درصد می‌باشد. این در حالی است که درصد رطوبت بهینه نمونه در کلیه اختلطات تقریباً  $14\%$  بوده است.



شکل ۴ نتایج کلی تراکم با استفاده از درصدهای مختلف جایگزینی زئولیت به جای سیمان



شکل ۵ حداکثر تغییرات تراکم بیشینه نمونه‌های مورد آزمایش

که در آنها فقط از سیمان استفاده شده است مشاهده می شود که با افزایش درصد سیمان تقریباً با ثابت بودن رطوبت بهینه در ۱۴٪، حداکثر تراکم خشک نمونه ها افزایش می یابد. دلیل این مطلب را می توان ریزتر بودن سیمان نسبت به ماسه و پر کردن فضای خالی بین ذرات ماسه دانست. از طرف دیگر بالاتر بودن وزن دانه های جامد سیمان ( $G_s$ ) نسبت به ماسه نیز مزید بر علت است. این در حالی است که با افزایش درصد های مختلف جایگزینی زئولیت مقدار تراکم نمونه ها کاهش می یابد که دلیل آن می تواند پایین بودن وزن مخصوص دانه های زئولیت نسبت به سیمان و ماسه باشد. چرا که براساس نتایج آزمایش تعیین چگالی ویژه ( $G_s$ ) انجام شده در این تحقیق، پارامتر ( $G_s$ ) در زئولیت ۲/۲۲، ماسه ۲/۷۱ و سیمان ۳/۱۱ بوده است. این در حالی است که درصد رطوبت بهینه در تمامی طرح اختلاط ها تقریباً ثابت و برابر ۱۴٪ می باشد.

سیمان در مقایسه با زئولیت دارای مسائل زیست محیطی و مسائل دیگری از جمله زمان اختلاط با توجه به گیرش سیمان و مشکل شدن عمل تراکم از کارایی کمتری برخوردار است. هم چنان درصد های سیمان کاهشی ناشی از استفاده از زئولیت به جای سیمان در مقابل اثرات زیست محیطی و ارزان بودن زئولیت نسبت به سیمان (حداقل نصف قیمت سیمان) قابل صرف نظر کردن است.

زئولیت علاوه بر کمک به کاهش مصرف سیمان و ذخیره کردن مقدار قابل توجهی انرژی در فرآیند تولید سیمان و مشارکت در توسعه پایدار، از طریق کاهش انتشار گازهای گلخانه ای خصوصاً  $CO_2$  تأثیرگذار است؛ لذا برای تثبیت بستر های ماسه ای و خاکریزهای ماسه ای استفاده از زئولیت به جای سیمان پیشنهاد می شود.

### نتیجه گیری

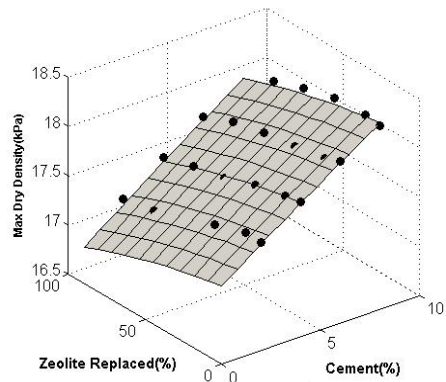
در این تحقیق زئولیت به عنوان یک ماده معدنی پوزلانتی

باتوجه به مطالب بالا و استفاده از رگرسیون خطی و سری ولترا (رابطه ۱) فرمولی برای تعیین حداکثر وزن مخصوص خشک و مقادیر سیمان و درصد های جایگزینی زئولیت به جای سیمان به صورت رابطه (۲) ارائه شده است که با استفاده از آن و داشتن وزن مخصوص خشک مورد نیاز مهندسان و شرایط خاص هر پروژه درصد های سیمان و زئولیت قابل تعیین است. سری ولترا:

$$Y = a_1 + a_2 X_1 + a_3 X_2 + a_4 X_1^2 + a_5 X_2^2 + a_6 X_1 X_2 \quad (1)$$

$$\begin{aligned} \gamma(kN/m^2) = & 17.3 + 0.144C - 0.003Z - 0.0009c^2 - \\ & 0.00002Z^2 + 0.00008CZ \end{aligned} \quad (2)$$

که در آن  $C$  و  $Z$  به ترتیب درصد سیمان و جایگزینی زئولیت به جای سیمان می باشد. در نمایی دیگر می توان شکل (۶) را ارائه داد که کفایت مدل را اثبات می کند. ضمناً فرمول به دست آمده از دقت خیلی خوبی ( $R^2=0.99$ ) برخوردار است.



شکل ۶ درون یابی حداکثر دانسیته با درصد سیمان و جایگزینی ها

### بحث و تجزیه تحلیل نتایج

زئولیت در مقایسه با سیمان در محیط های خورنده پایداری بیشتری نسبت به سیمان دارد و سبب هیدراسيون آرام سیمان با حرارت زایی کمتر می شود. در بررسی نتایج آزمون تراکم بر روی نمونه هایی

- درصد است.
۵. مدل چندجمله‌ای ارائه شده در این مقاله تخمین مناسبی از حداکثر وزن مخصوص برای نمونه‌های زئولیتی سیمانی و سیمانی را دارد.
۶. سیمان در مقایسه با زئولیت دارای مسائل زیست‌محیطی و مسائل دیگری از جمله زمان اختلاط با توجه به گیرش سیمان و سخت شدن عمل تراکم از کارایی کمتری برخوردار است. هم‌چنین درصددهای کاهشی حداکثر  $2/5$  درصد ناشی از استفاده از زئولیت به جای سیمان و با توجه به کاهش معضلات زیست‌محیطی استفاده از زئولیت به جای سیمان ضروری به نظر می‌رسد.

برای کاهش معضلات زیست‌محیطی سیمان در ماسه سیمانی معرفی شده است. در بررسی نتایج آزمون تراکم استاندارد بر روی نمونه‌های زئولیتی سیمانی مشاهده می‌شود:

۱. حداکثر وزن مخصوص خشک با افزایش درصد سیمان افزایش می‌یابد.
۲. حداکثر وزن مخصوص خشک با افزایش درصد جایگزینی زئولیت به جای سیمان کاهش می‌یابد.
۳. درصد رطوبت بهینه برای تمامی حالات درنظر گرفته شده تقریباً  $14\%$  درصد است.
۴. کاهش حداکثر وزن مخصوص خشک ناشی از استفاده از زئولیت به جای سیمان بین  $2/5$  تا  $2/5$  می‌باشد.

## مراجع

1. Gunaratne, M., "The Foundation Engineering Handbook", Taylor & Francis Group, CRC PRESS, (2006).
2. Yilmaz, B., Ucar, A., Oteyaka, B., Uz, V., "Properties of zeolitic tuff (clinoptilolite) blended portland cement", *Building and Environment*, Vol 42, pp. 3808–3815, (2007).
3. خلقی، مج، "زئولیت‌ها در ایران"، سازمان زمین‌شناسی کشور، انتشارات دانشگاه تهران، ص ۱۱۲، (۱۳۹۶).
4. Mola-Abasi H, Shooshpasha I, "Influence of zeolite and cement additions on mechanical behavior of sandy soil" *Journal of Rock Mechanics and Geotechnical Engineering*. 8 pp. 746–752, (2016)
5. ACI Committee 230., "State-of-the-Art report on soil cement", ACI. 230.1R-90. American Concrete Institute, *Farmington Hills, Michigan*, pp. 1-23, (1997).
6. Kaya, A., Durukan, S., "Utilization of Bentonite-Embedded Zeolite as Clay Liner", *Applied Clay Science*, Vol. (25), pp. 83– 91,(2004).
7. White,W. G., and Gnanendran, C. T., "The Influence of Compaction Method and Density on the Strength and Modulus of Cementitious Stabilized Pavement Material", *The International Journal of Pavement Engineering*, Vol. (6), No. (2), pp. 97-110, (2005).
8. Zabielska-Adamska, K., "Laboratory compaction of fly ash and fly ash with cement additions", *Journal of Hazardous Materials*, Vol. (151), pp. 481–489, (2008).
9. Al-Aghbari, M. Y., Mohamedzein, Y. E. A., Taha, R., "Stabilization of Desert Sands Using Cement and Cement Dust", *Proceeding of the Institution of Civil Engineers, Ground Improvement* Vol. (162), pp. 145-151, (2009).

10. Vogiatzis, D., Kantiranis, N., Filippidis, A., Tzamos, E., and Sikalidis, C., "Hellenic Natural Zeolite as a Replacement of Sand in Mortar: Mineralogy Monitoring and Evaluation of Its Influence on Mechanical Properties", *Geosciences*, Vol, 2, pp. 298-307, (2012).
11. Hong S., "Geotechnical laboratory characterization of sand zeolite mixtures", Master Thesis, Maysia University, (2015).
12. Yilmaz, E., Belem, T., & Benzaazoua, M., "Specimen size effect on strength behavior of cemented paste backfills subjected to different placement conditions", *Engineering Geology*, Vol. 185, pp. 52-62. (2015).
13. Annual Book of ASTM Standards, "Standard Test Method for Sieve Analysis of Fine and Coarse Aggregates", American Society for Testing and Materials, West Conshohocken, (2012) .
14. Annual Book of ASTM Standards., "Standard Test Me thods for Minimum Index Density and Unit Weight of Soils and Calculation of Relative Density", American Society for Testing and Materials, West Conshohocken,(2012).
15. Annual Book of ASTM Standards., "Standard Test Methods for Maximum Index Density and Unit Weight of Soils Using a Vibratory Table", American Society for Testing and Materials, West Conshohocken,(2012).
16. Annual Book of ASTM Standards., "Standard Test for Specific Gravity of Soil Solids by Water Pycnometer", American Society for Testing and Materials, West Conshohock,(2012).
۱۷. نورزاد، رضا، "مشخصات رفتاری ماسه مسلح با ژئوتکستایل"، پایاننامه دکتری، دانشگاه صنعتی شریف، (۱۳۷۹).
18. Annual Book of ASTM Standards., "Standard Test Methods for Laboratory Compaction Characteristics of Soil", American Society for Testing and Materials, West Conshohocke, (2012).



## کاربرد مدل‌های SVR و GRNN در تخمین حد اکثر عمق فرسایش در شرایط بستر متحرک در تلاقی رودخانه‌ها\*

بهنام بلوجی<sup>(۱)</sup> محمد رضا نیکو<sup>(۲)</sup> محمود شفاعی بجستان<sup>(۳)</sup> مریم دهقانی<sup>(۴)</sup>

**چکیده** تلاقی رودخانه‌ها یکی از پیچیده‌ترین مکان‌ها در سیستم رودخانه‌ها می‌باشد که درنتیجه آن، پیش‌بینی حد اکثر عمق آب‌شستگی ( $D_s$ ) با استفاده از مدل‌های هوشمند که قادر به لحاظ این پیچیدگی‌ها می‌باشد امری مهم و ضروری می‌باشد. بنابراین در تحقیق حاضر، عملکرد دو مدل هوش مصنوعی به نام‌های SVR (با لحاظ روش‌های اعتبارسنجی مختلف، شامل *K-Fold train-test* و *K-Fold leave-one-out*) و GRNN مورد بررسی قرار گرفته است. نتایج حاصل نشان دادند که اگرچه تمام مدل‌ها در پیش‌بینی  $D_s$  دقیق‌ترین خوبی دارند؛ اما مدل SVR با روش اعتبارسنجی *train-test* دقیق‌تری را نشان می‌دهد (به ترتیب با  $R^2 = 0.9566$ ،  $MAE = 0.0124$ ،  $MARE = 4.26$ ،  $RMSE = 0.0168$  و  $NSE = 0.993$ )، و بعد از آن به ترتیب مدل‌های SVR *K-Fold*، SVR *leave-one-out* (در  $K=9$ ) و مدل GRNN را می‌توان به عنوان دقیق‌ترین مدل‌ها در این تحقیق پیشنهاد نمود.

**واژه‌های کلیدی** تلاقی رودخانه‌ها، شرایط بستر متحرک، مدل SVR، روش‌های اعتبارسنجی، مدل GRNN.

## Application of SVR and GRNN Models in Estimating Maximum Scour Depth at River Confluences under Live-Bed Condition

B. Balouchi      M. R. Nikoo      M. Shafai Bajestan      M. Dehghani

**Abstract** River confluences are one of the most complex places in river systems, that it is important to predict the maximum scour depth ( $D_s$ ) at this place using intelligent systems that consider this complexity. Therefore, in this study, the performance of two artificial intelligence models, namely, SVR (considering different validation techniques including *train-test*, *K-Fold* and *leave-one-out*) and GRNN was evaluated. Results showed that, although all models show approximately good accuracy in predicting the  $D_s$ ; but, SVR with *train-test* validation method shows more accuracy (with  $R^2$ ,  $MAE$ ,  $MARE$ ,  $RMSE$  and  $NSE$  of 95.66, 0.0124, 4.26, 0.0168 and 0.993, respectively), and after that SVR *K-Fold* (at  $K=9$ ), SVR *leave-one-out*; and GRNN are the accurate models in this study, respectively.

**Key Words** River Confluences, Live-Bed Condition, SVR, Validation Methods, GRNN.

\* تاریخ دریافت مقاله ۹۳/۱۱/۱ و تاریخ پذیرش آن ۹۵/۸/۲۶ می‌باشد.

(۱) دانشجوی دکتری عمران-آب، دانشکده مهندسی، دانشگاه شیراز.

(۲) نویسنده مسئول: استادیار، بخش مهندسی عمران و محیط زیست، دانشکده مهندسی، دانشگاه شیراز.

(۳) استاد، بخش سازه‌های هیدرولیکی، دانشکده مهندسی آب، دانشگاه شهید چمران، اهواز.

(۴) استادیار، بخش مهندسی عمران و محیط زیست، دانشکده مهندسی، دانشگاه شیراز.

آزمایش بر روی یک فلوم بسیار کوچک آزمایشگاهی به شکل ۷ به بررسی عوامل مؤثر بر حداکثر عمق فرسایش در محل تلاقی پرداخت. نامبرده نشان داد بیشترین عمق آبستنگی زمانی اتفاق می‌افتد که دبی کanal‌های بالا درست تلاقی یکسان باشد. بست (۱۹۸۸) به بررسی انتقال رسوب و رابطه آن با مورفولوژی بستر در محل تلاقی رودخانه‌ها با استفاده از نتایج فلوم آزمایشگاهی و اندازه‌گیری صحرایی پرداخت [23]. ایشان به این نتیجه رسید که با افزایش زاویه اتصال تلاقی حداکثر عمق آبستنگی افزایش می‌یابد. به‌منظور بررسی تغییر اندازه کanal در محل اتصال رودخانه‌ها با بستر درشت‌دانه، روی و روی (۱۹۸۸) اندازه‌گیری‌هایی بر روی ۳۰ محل اتصال در یک حوضه آبریز انجام دادند [24]. داده‌های اندازه‌گیری شده توسط آنها همراه با داده‌های جمع‌آوری شده از تحقیقات قبلی نشان داد که ظرفیت کلی کanal (سطح مقطع عبور جریان) در پایین‌دست بیشتر اتصال‌ها کاهش می‌یابد که دلیل آن را ناشی از افزایش سرعت جریان در محل اتصال دانستند. برقی و نظری (۱۳۸۲) به‌منظور بررسی الگوی رسوب و فرسایش در تقاطع کanal‌ها و اثر متغیرهایی چون قطر متوسط مصالح بستر، نسبت عرض کanal فرعی به اصلی و نسبت دبی کanal فرعی به دبی کل بر این الگو، آزمایش‌هایی را روی یک اتصال ۹۰ درجه انجام دادند [۲۵].

نتایج آزمایش‌ها نشان داد که حداکثر عمق آبستنگی در ابتدای ناحیه جداسدگی جریان اتفاق می‌افتد و حداکثر عمق آبستنگی با کاهش قطر متوسط مصالح بستر، کاهش نسبت دبی کanal اصلی به دبی کل و هم‌چنین کاهش عرض شاخه فرعی افزایش می‌یابد. از جمله محققان دیگری که به بررسی الگوهای فرسایش و رسوب‌گذاری در محل تلاقی رودخانه‌ها با استفاده از مدل فیزیکی پرداختند، قبادیان و شفاعی بجستان (۲۰۰۷) [26] می‌باشند. ایشان با انجام آزمایش‌های مختلف، تأثیر عواملی چون نسبت دبی کanal فرعی به دبی کل، نسبت پهنای کanal فرعی به

## مقدمه

رودخانه‌ها مهم‌ترین منبع زندگی بشر می‌باشند. از این‌رو بررسی و شناخت عوامل تغییردهنده شکل و مورفولوژی رودخانه‌ها بسیار حائز اهمیت است. تلاقی رودخانه‌ها به‌دلیل شکل‌گیری جریان سه‌بعدی دارای الگوی جریان و رسوب بسیار پیچیده می‌باشد. این پیچیدگی تحت تأثیر متغیرهای هیدرولیکی و هندسی تلاقی رودخانه می‌باشد. از این‌رو در سال‌های اخیر بررسی و شناخت این متغیرها بسیار مورد توجه محققان قرار گرفته است. به‌منظور شناخت تأثیر متغیرهای مؤثر بر پیچیدگی الگوی رسوب و جریان در تلاقی رودخانه‌ها، تاکنون تحقیقات مختلفی انجام شده است. تحقیق پیرامون هیدرولیک جریان در تلاقی رودخانه‌ها، حدود هفت دهه پیش توسط تیلور (۱۹۴۴) انجام شد [1]. ایشان به بررسی تغییرات سطح آب در یک تلاقی رودخانه با دو زاویه ۴۵ و ۱۳۵ درجه پرداخت. از جمله مطالعات آزمایشگاهی انجام‌شده بر روی خصوصیات جریان و بدون حضور رسوب می‌توان به مطالعات ویراکون (۱۹۶۶) [2]، مودی و همکاران (۱۹۸۱) [3]، و گرتید (۱۹۶۶) [4]، بست (۱۹۸۴) [5]، رامامورتی و همکاران (۱۹۸۸) [6]، هاگر (۱۹۸۹) [7]، گورام و همکاران (۱۹۹۷) [8]، سو و همکاران (a و b، ۱۹۹۸) [9,10]، وب و همکاران (۲۰۰۱) [11] و برقی و همکاران (۲۰۱۴) [12]، لیوبیمووا و همکاران (۲۰۱۴) [13] و کوئلهو (۲۰۱۵) [14] اشاره نمود. مطالعات ویراکون (۱۹۹۱) [۱۵]، بربروک و همکاران (۲۰۰۱) [۱۶]، هوانگ و همکاران (۲۰۰۲) [۱۷]، شکیبانیا و همکاران (۲۰۱۰) [۱۸]، گشتینه و همکاران (۲۰۱۲) [۱۹]، بارانیا و همکاران (۲۰۱۳) [۲۰]، و شریفی‌پور و همکاران (۲۰۱۵) [۲۱] به کارایی مدل‌های ریاضی سه‌بعدی برای شبیه‌سازی جریان در محل تلاقی کanal‌های صلب و بدون حضور رسوب می‌پرداختند. از جمله تحقیقاتی که در زمینه الگوی رسوب و فرسایش در محل تلاقی رودخانه‌ها انجام شده است، می‌توان به تحقیقات موسلى (۱۹۷۶) [22] اشاره نمود. ایشان با

رسوب‌گذاری به طور قابل ملاحظه‌ای کاهش می‌یابد. به طوری که برای مثال در عدد فرود ذره ۲/۷۶ و نسبت دبی ۰/۲ مقدار عمق آبشنستگی در مقایسه با اتصال لبه تیز برای نسبت‌های شعاع ۰/۲۸، ۰/۵ و ۱ به ترتیب به مقدار ۴۰، ۶۸ و ۱۰۰ درصد کاهش داشته است. هم‌چنین ارتفاع تپه رسوب‌گذاری برای نسبت‌های شعاع فوق به ترتیب ۲۳، ۶۶ و ۱۰۰ درصد کاهش داشته است. هم‌چنین بلوچی (۱۳۹۱) به بررسی تأثیر آورد رسوب در شاخه اصلی بر حداکثر عمق آبشنستگی در تلاقی رودخانه‌ها پرداختند [۳۰]. نتایج این تحقیق نشان داد که در حالت بستر متحرک (حالته که بار بستر حرکت می‌کند و آورد رسوب ایجاد می‌شود)، حداکثر عمق آبشنستگی بعد از گذشت مدت زمانی به طور متناوب، کاهش و افزایش می‌یابد. با پر و خالی شدن متناوب چاله فرسایشی به وسیله آورد رسوب بالادست، حداکثر عمق فرسایش نهایی نسبت به شرایط بستر غیرمتحرک (بدون بار زنده یا آورد رسوب) کاهش می‌یابد. به طور کلی، با افزایش نسبت دبی رسوب به دبی شاخه اصلی، کاهش نسبت دبی شاخه فرعی به دبی کل و کاهش عدد فرود ذره پایاب، نسبت حداکثر عمق آبشنستگی به عرض کanal پایین دست تلاقی ( $D_s/B_3$ ) کاهش می‌یابد. در شرایط حداکثر آورد رسوب شاخه اصلی تلاقی رودخانه‌ها، مقدار حداکثر عمق آبشنستگی نسبت به حالت حداقل آورد رسوب (بدون تزريق رسوب)، ۳۵ درصد کاهش می‌یابد. هم‌چنین ایشان نشان داد که توپوگرافی بستر ایجاد شده در شرایط بستر متحرک، در مقایسه با شرایط بدون آورد رسوب کاملاً متفاوت می‌باشد و تپه رسوبی نیز تشکیل نمی‌شود.

امروزه به دلیل کارایی بالای مدل‌های هوش مصنوعی نظری مدل‌های ماشین بردار پشتیبان (SVM) و شبکه‌های عصبی مصنوعی برای پیش‌بینی مسائل غیرخطی و پیچیده، محققان بسیاری استفاده از این سیستم‌های هوشمند را مد نظر قرار داده‌اند. از جمله تحقیقات مرتبطی که در زمینه استفاده از مدل‌های

کanal اصلی، زاویه اتصال و عدد فرود ذره در پایین دست اتصال بر روی فرسایش و رسوب‌گذاری را مورد بررسی قرار دادند. نتایج آزمایش‌ها نشان داد که افزایش نسبت دبی، کاهش نسبت پهنا و افزایش زاویه اتصال باعث افزایش حداکثر عمق فرسایش بستر و ارتفاع نهایی تپه رسوب‌گذاری می‌شود. در حالی که افزایش عدد فرود ذره در پایاب باعث افزایش حداکثر عمق فرسایش بستر و کاهش ارتفاع تپه رسوب‌گذاری می‌شود. شفاعی بجستان و همتی (۲۰۰۸) به منظور تأثیر پارامترهایی چون نسبت اختلاف رقوم بستر دو کanal به عرض کanal اصلی، نسبت عرض کanal فرعی به کanal اصلی، نسبت دبی کanal فرعی به دبی کل در تلاقی رودخانه‌ها آزمایش‌هایی را انجام دادند [۲۷]. نتایج ایشان نشان داد که با افزایش اختلاف رقوم بستر دو کanal در نسبت دبی‌های بیشتر از ۰/۷۴ حداکثر عمق فرسایش و تپه رسوب‌گذاری افزایش و هم‌چنین با افزایش نسبت دبی حداکثر عمق فرسایش و تپه رسوب‌گذاری افزایش می‌یابد. برگعی و جباری (۲۰۱۰) به منظور بررسی فرسایش موضعی در تقاطع کanal‌ها و تأثیر متغیرهایی چون زاویه تلاقی، نسبت عرض کanal فرعی به اصلی، نسبت دبی کanal فرعی به دبی کل و نسبت سرعت متوسط پایین دست تلاقی به سرعت آستانه پایین دست آزمایش‌هایی را انجام دادند [۲۸]. نتایج آزمایش‌ها نشان داد که موقعیت حداکثر عمق فرسایشی با گذشت زمان به سمت دیواره بیرونی کanal و بالادست کanal اصلی پیش‌روی می‌کند. هم‌چنین، با کاهش عرض شاخه فرعی، افزایش نسبت دبی و افزایش زاویه تلاقی عمق چاله فرسایشی افزایش می‌یابد. محمدی (۱۳۹۰) به بررسی تأثیر شعاع گردشگی لبه پایین دست اتصال بر حداکثر عمق آبشنستگی در تلاقی رودخانه‌ها پرداخت [۲۹]. ایشان با انتخاب سه شعاع گردشگی متفاوت (R) به این نتیجه دست یافت که با افزایش شعاع گردشگی لبه پایین دست اتصال حداکثر عمق آبشنستگی و ارتفاع تپه

آبشنستگی با استفاده از مدل ماشین‌های بردار پشتیبان پرداخته خواهد شد. هم‌چنین، در این تحقیق سعی شده است تا یک نوع شبکه عصبی که بسیار کم مورد توجه محققان قرار گرفته، به نام روش شبکه عصبی رگرسیونی تعمیم داده شده یا GRNN (Generalized Regression Neural Network) نیز تدوین گردد و عملکرد مدل ماشین بردار پشتیبان با آن قیاس گردد.

## مواد و روش‌ها

در این تحقیق، از نتایج مطالعات آزمایشگاهی بلوجی (۱۳۹۱) [۳۰] به منظور آموزش و صحت‌سنجی مدل‌های هوش مصنوعی استفاده شده است. در شکل (۱) شماتیک تجهیزات مورد استفاده در این تحقیق نشان داده شده است. آب موجود در مخزن ذخیره آب به وسیله پمپی به مخزن تنظیم هد آب فرستاده می‌شود و سپس حجم آب مورد نیاز به وسیله شیرهای یک‌طرفه‌ای به سمت مخزن کanal اصلی و فرعی فرستاده می‌شود. پس از این‌که تلاطم آب در مخزن‌های اصلی و فرعی به وسیله صفحاتی مشبک گرفته شد، آب به آرامی وارد کanal‌های اصلی (با دبی Q<sub>1</sub>) و کanal فرعی (با دبی Q<sub>2</sub>) می‌گردد. طول کanal اصلی و فرعی به ترتیب ۲۶ نه و سه متر می‌باشد. پهنای کanal اصلی و فرعی ۲۶ سانتی‌متر در نظر گرفته شد. دبی کل ورودی به سیستم با استفاده از یک دستگاه دبی‌سنجد با دقت ۰/۰۱ لیتر در ثانیه اندازه‌گیری شد. علاوه بر این، سرریز مثلثی نصب شده در ابتدای کanal اصلی، وظیفه اندازه‌گیری دبی ورودی به کanal را برعهده دارد. یک دریچه کشویی در انتهای کanal اصلی نصب شد که با باز یا بسته نمودن آن می‌توان عمق پایاب را تنظیم نمود. در انتهای کanal اصلی نیز آب به وسیله لوله‌ای به مخزن ذخیره آب برمی‌گردد.

هوشمند انجام شده است می‌توان به کمبکار و دئو (۲۰۰۳) اشاره نمود که با استفاده از مدل‌های شبکه عصبی به پیش‌بینی حداکثر عمق فرسایش در اطراف شمع‌ها پرداخت [۳۱]. باطنی و همکاران (۲۰۰۷) کارایی سیستم استنتاج فازی (ANFIS) و شبکه عصبی را در پیش‌بینی عمق فرسایش در پایه پل‌ها بررسی نمودند [۳۲]. هم‌چنین عظمت الله‌ی (۲۰۰۸) [۳۳] تقریباً در تحقیقی مشابه با باطنی و همکاران (۲۰۰۷) به منظور پیش‌بینی عمق فرسایش در پایین‌دست سرریز اوجی پرداختند. عایدین (۲۰۱۰) [۳۴]، ایسماعیل و همکاران (۲۰۱۳) [۳۵] و چنگ و همکاران (۲۰۱۴) [۳۶] در بررسی‌هایی جداگانه و متفاوت به پیش‌بینی الگوی رسوب و عمق آبشنستگی اطراف پایه‌های پل پرداختند.

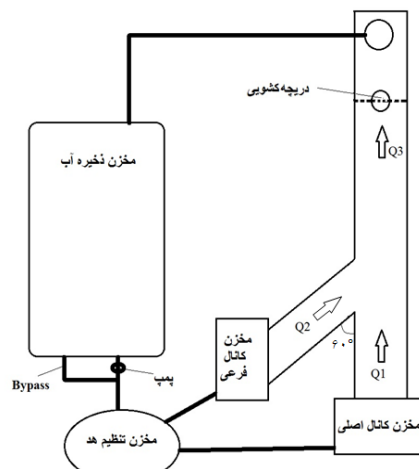
در زمینه کاربرد مدل‌های بردار پشتیبان نیز هونگ و همکاران (۲۰۱۲) [۳۷] و جهانگیرزاده و همکاران (۲۰۱۴) [۳۸]، به ترتیب به بررسی کارایی مدل ماشین پشتیبان بردار در تعیین ابعاد طوقه و عمق آبشنستگی اطراف پایه پل پرداختند. هم‌چنین پال و همکاران (۲۰۱۱) [۳۹]، و غضنفری هاشمی و اعتماد شهیدی (۱۳۹۱) در تحقیقات مختلفی به پیش‌بینی عمق آبشنستگی اطراف پایه پل با استفاده از مدل ماشین بردار پشتیبان پرداختند [۴۰]. هوشیاری پور (۱۳۹۲) با استفاده از تکنیک ماشین بردار پشتیبان به پیش‌بینی ابعاد چاله فرسایشی در پایین‌دست یک پرتتاب‌کننده جامی شکل پرداخت [۴۱].

مرور پیشینه مطالعات نشان‌دهنده این است که تاکنون بررسی کارایی مدل ماشین‌های بردار پشتیبان و شبکه‌های عصبی مصنوعی در تخمین حداکثر عمق آبشنستگی در تلاقی رودخانه‌ها در شرایط بستر متحرک انجام نشده است. از طرفی با توجه به بررسی منابع موجود این مدل‌ها نشان داده‌اند که کارایی خوبی در تخمین پارامترهای مهندسی رودخانه دارند. بنابراین در تحقیق حاضر به بررسی کارایی تخمین حداکثر عمق

در معادله (۱)  $Re$  عدد رینولدز،  $F_g$  عدد فرود ذره و  $W_e$  عدد ویر می‌باشد. سایر پارامترها نیز در بخش مقدمه توضیح داده شده‌اند. از آنجایی که در مدل کanal‌های باز ابعاد به‌گونه‌ای انتخاب می‌شوند که تأثیر نیروهای کششی سطحی و لزجت سیال بسیار کم است، بنابراین از تأثیر اعداد رینولدز و ویر صرف‌نظر شد. از طرفی، برای شرایط جریان زیر بحرانی نیز از تأثیر شیب کف بر عمق آب‌شستگی موضعی و ارتفاع رسوب‌گذاری در محل تلاقی نیز چشم‌پوشی شد (گورام و همکاران، ۱۹۹۷ [۸]). هم‌چنین، در این تحقیق زاویه تلاقی ثابت (۶۰ درجه)، عرض فلوم ثابت، اختلاف ارتفاع بین دو کف فلوم صفر، شعاع اتصال لبه پایین دست تلاقی ثابت و تیزگوش می‌باشد. درنهایت، پس از ساده‌سازی پارامترهای بی بعد رابطه زیر حاصل می‌شود:

$$\frac{D_s}{B_3} = f\left(\frac{Q_2}{Q_3}, \frac{Q_b}{Q_3}, F_g\right) \quad (2)$$

که در معادله بالا،  $D_s$  حداقل عمق آب‌شستگی و  $V_3$  عدد فرود ذره پایاب ( $V_3 = \frac{\sqrt{g(G_s - 1)d_{50}}}{\rho}$ ) سرعت جریان در پایین دست تلاقی و  $G_s$  چگالی ویژه ذرات رسوب برابر  $2/65$  می‌باشد. در مطالعاتی که تاکنون انجام شده است به‌دلیل سختی و پیچیدگی کار، شرایط به‌گونه‌ای در نظر گرفته شده بود که در کanal‌های بالادست تلاقی حرکت بار بستر صورت نگیرد. بنابراین، از تأثیر عبارت  $Q_b$  صرف‌نظر شد. بنابراین هدف تحقیق بلوچی (۱۳۹۱) [۳۰]، بررسی تأثیر آورد رسوب شاخه اصلی ( $Q_b$ )، در شرایط مختلف هیدرولیکی بر روی حداقل عمق آب‌شستگی با استفاده از دستگاه تزریق رسوب طراحی و کالیبره شده، انتخاب گردید. جدول (۱) تحلیل آماری پارامترهای بی بعد مورد استفاده در این تحقیق را نشان می‌دهد؛ که در واقع پارامترهای ورودی و خروجی مدل‌های هوشمند می‌باشند (برای اطلاعات بیشتر به مرجع [۳۰] مراجعه شود).



شکل ۱ شماتیک تجهیزات آزمایشگاهی (اقتباس از [۳۰])

سپس به منظور پیدا کردن پارامترهای بی بعد مهم در این تحقیق، آنالیز ابعادی پارامترهای مؤثر در تلاقی رودخانه‌ها به روش  $\pi$ -باکینگهام انجام گردید. این پارامترها عبارتند از:  $Q_1$  دبی کanal اصلی در بالادست تلاقی،  $Q_2$  دبی کanal فرعی و  $Q_3$  دبی کanal اصلی در پایین دست تلاقی،  $Y_3$  عمق پایاب،  $g$  شتاب ثقل،  $\mu$  ویسکوزیتۀ دینامیکی سیال،  $\rho$  جرم حجمی آب،  $s$  نیروی کشش سطحی،  $B_3$  پهنای کanal اصلی در بالادست،  $B_2$  پهنای کanal فرعی،  $B_1$  پهنای کanal اصلی در پایین دست تلاقی،  $\theta$  زاویه اتصال،  $S_0$  شیب کف کanal در محل تلاقی و  $Z$  اختلاف رقوم بستر دو کanal،  $R$  شعاع اتصال لبه پایین دست،  $d_{50}$  اندازه متوسط ذرات رسوبی،  $\rho_s$  جرم مخصوص ذرات رسوب،  $\sigma$  انحراف معیار هندسی ذرات و  $\varphi$  زاویه ایستایی ذرات رسوب می‌باشد (بلوچی، ۱۳۹۱ [۲۴]). با تجزیه تحلیل و آنالیز ابعادی پارامترهای مؤثر در تلاقی رودخانه‌ها، روابط کلی شامل پارامترهای بدون بعد استخراج شد. رابطه (۱) این پارامترهای بی بعد را نشان می‌دهد:

$$\frac{D_s}{B_3} = f\left(\frac{Q_2}{Q_3}, \frac{Q_b}{Q_3}, \frac{B_1}{B_2}, \frac{B_3}{B_{50}}, \frac{y_3}{d_{50}}, \theta, S_0, \frac{\rho_s}{\rho}, W_e, \frac{\Delta Z}{B_2}, F_g, Re\right) \quad (1)$$

جدول ۱ تحلیل آماری پارامترهای بی بعد استفاده شده در تحقیق

شاخص‌های آماری					پارامتر
انحراف از معیار	میانگین	حداکثر	حداقل		
۰/۰۸	۰/۱۹۵	۰/۳	۰/۱		نسبت دبی ( $Q_r$ )
۱/۰۷	۰/۱۸	۰/۷	۰		نسبت آورد رسوپ ( $Q_b / Q_3$ )
۰/۱۲	۶/۷۲	۸/۲۲	۵/۰۴		عدد فرود ذره ( $F_g$ )
۰/۰۸	۰/۳۱۳	۰/۴۸۵	۰/۱۹۶		نسبت حداکثر عمق آبستگی ( $\frac{D_s}{B_3}$ )

به همراه وزن‌ها، بهینه‌سازی می‌شود. علاوه بر آن SVMs می‌توانند خروجی‌های احتمالاتی نیز داشته باشند. ماشین‌های بردار پشتیبانی، یک شیوه نسبتاً جدید و قدرتمند برای خوشه‌بندی (کلاس‌بندی) و تشخیص الگو می‌باشند (نیکو و کراچیان، ۱۳۸۹ [۴۲]).

در ساده‌ترین حالت ممکن کلاس‌بندی، ماشین‌های بردار پشتیبانی یک ابرصفحه جداساز خطی با حداکثر حاشیه (Maximum Margin) را جستجو می‌کند. در مواردی که کلاس‌های داده‌شده اطلاعات، در فضای ورودی اولیه به شکل خطی جداپذیر نیستند، در ابتدا ماشین‌های بردار پشتیبان فضای ورودی اولیه را به فضای مشخص با ابعاد بالاتر تبدیل می‌کنند. این تبدیل می‌تواند توسط توابع تصویرکننده (توابع کرنل) مختلف غیرخطی مانند توابع RBF (Radial Basis Function) انجام شود. پس از مرحله تبدیل غیرخطی، ماشین‌های بردار پشتیبان در این فضای مشخص جدید یک ابرصفحه جداساز خطی بهینه (با حداکثر حاشیه) را جستجو می‌کنند. ماشین‌های بردار پشتیبان رگرسیونی (SVR) زیرمجموعه‌ای از ماشین‌های بردار پشتیبان (SVM) هستند که در آنها مسئله اولیه زیر حل می‌شود:

$$\text{Min } \frac{1}{2} \mathbf{w}^T \mathbf{w} + C \sum_{i=1}^n \xi_i \quad (3)$$

با توجه به محدودیت:

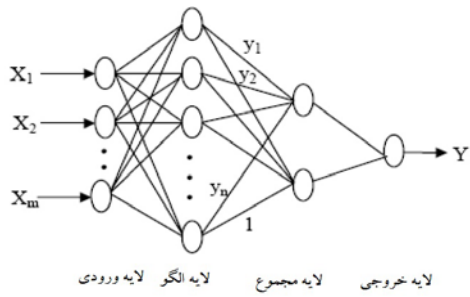
$$\mathbf{y}_i (\mathbf{w}^T \varphi(\mathbf{x}_i) + b) \geq 1 - \xi_i, \quad i = 1, \dots, n \quad (4)$$

در تحقیق حاضر با استفاده از داده‌های آزمایشگاهی تحقیق بلوجی (۱۳۹۱) [۳۰] مدل‌های ماشین‌های بردار پشتیبان و شبکه عصبی رگرسیونی تعمیم داده شده (GRNN) برای پیش‌بینی حداکثر عمق آبستگی در تلاقی رودخانه‌ها در شرایط بستر متحرک مورد ارزیابی قرار گرفتند. لازم به ذکر است که در تحقیق حاضر نسبت  $\frac{Q_2}{Q_3}$  نسبت دبی ( $Q_r$ )، نسبت آورد رسوپ و نسبت  $\frac{D_s}{B_3}$  نسبت حداکثر عمق آبستگی نامیده شده‌اند.

## مدل‌های هوشمند

**مدل ماشین بردار پشتیبان رگرسیونی (SVR)** برخلاف روش‌های نظری شبکه‌های عصبی مصنوعی که درجهت حداقل کردن خطای خطای (تجربی) طراحی شده‌اند، ماشین‌های بردار پشتیبان مبتنی بر حداقل کردن خطای ساختاری هستند. به عبارت ساده‌تر ساختار سیستم مانند شبکه‌های عصبی از ابتدا مشخص نمی‌باشد و در طول فرآیند آموزش علاوه بر حداقل سازی خطای (تجربی)، خطای ساختاری نیز حداقل می‌شود و بهینه‌ترین ساختار سیستم نیز تعیین می‌گردد. این ماشین‌ها دارای قدرت بالاتری نسبت به بقیه روش‌های یادگیری برای داده‌های غیرآموزشی (داده‌های آزمایش) می‌باشند. در مدل‌های کلاسیک مانند شبکه‌های عصبی مصنوعی، ساختار شبکه قبل از آموزش مشخص است و عملاً بهینه نمی‌شود ولی در مدل‌های SVM ساختار شبکه نیز

دارند. لایه الگو دارای  $n$  بعد است و محاسبات مربوط به تابع انتقال گوسین را انجام می‌دهد. لایه مجموع، مجموع  $n$  بعد لایه الگو می‌باشد و درنهایت نیز لایه خروجی، که خروجی مدل را می‌دهد (لی و همکاران، ۲۰۰۶). ([44]



شکل ۲ ساختار مدل GRNN

خروجی مدل شبکه عصبی رگرسیونی تعمیم یافته (y) از رابطه زیر به دست می‌آید (لی و همکاران، ۲۰۰۶): ([44]

$$y(x) = \frac{\sum_{i=1}^n y_i \exp(-D_i^2 / 2\sigma^2)}{\sum_{i=1}^n \exp(-D_i^2 / 2\sigma^2)} \quad (8)$$

$$D_i^2 = (x - x_i)^T (x - x_i) \quad (9)$$

در این روابط  $D_i$  یک تابع اسکالر می‌باشد که در رابطه (9) تعریف شده است،  $\sigma$  پارامتر پخش (spread)،  $x$  ورودی متانظر با  $y$ ،  $x_i$  ورودی متناظر با  $y_i$  می‌باشد.

### آموزش و صحت‌سنجی مدل‌ها

در این تحقیق، ابتدا با استفاده از ۷۰ درصد از داده‌های آزمایشگاهی موجود (۳۸ آزمایش)، مدل‌های شبکه عصبی رگرسیونی تعمیم یافته (GRNN) و ماشین بردار پشتیبان رگرسیونی (SVR) آموزش داده شدند. سپس، با استفاده از ۳۰ درصد دیگر داده‌ها، صحت‌سنجی مدل‌ها انجام گردید.

به دلیل وجود شرایط پیچیده در بخش آزمایشگاهی و در اختیار داشتن تعداد داده‌های آزمایشگاهی محدود؛

که مسئله دوگان آن برابر است با:

$$\text{Min } \frac{1}{2} \alpha^T Q \alpha - e^T \alpha \quad (5)$$

$$0 \leq \alpha_i \leq C, i = 1, \dots, l, \quad (6)$$

با توجه به محدودیت:

$$y^T \alpha = 0 \quad (7)$$

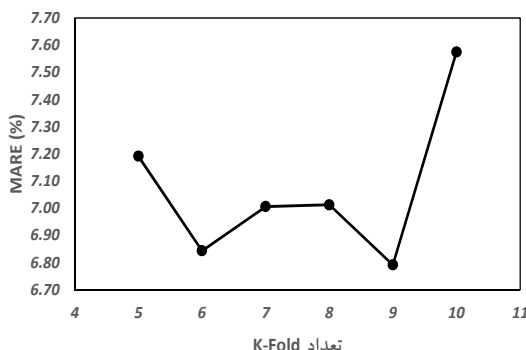
که در آن  $e$  برداری (ماتریسی) است که همه درایه‌های آن برابر ۱ هستند.  $w \in \mathbb{R}^n$  بوده و  $\alpha_i$  و  $C$  به ترتیب متغیرهای غیرمنفی کمبود (Variables Slack) و ضریب لاگرانژ می‌باشند. حد بالای  $\alpha_i$  و  $C > 0$  می‌باشد.  $Q$  یک ماتریس یک در یک مثبت نیمه‌معین می‌باشد، به طوری که  $Q_{ij} \equiv y_i y_j K(x_i, x_j)$  و  $K(x_i, x_j) \equiv \varphi(x_i)^T \varphi(x_j)$  تابع کرنل می‌باشد. در اینجا بردارهای آموزشی  $x_i$ ، توسط تابع  $\varphi$  به یک فضای داده با ابعاد بیشتر تصویر می‌شوند (نیکو و کراچیان، ۱۳۸۹ [۴۲]). در این روش مقادیر بهینه پارامترهای  $C$ ،  $\alpha_i$  با سعی و خطاب منظور نیل به بهترین نتایج تعیین می‌گردند.

**مدل شبکه عصبی رگرسیون تعمیم یافته (GRNN)** شبکه عصبی رگرسیون تعمیم یافته (GRNN)، یک نوع از شبکه عصبی می‌باشد که به وسیله دونالد اسپیچ در سال ۱۹۹۱ مطرح شده است [43]. این نوع از شبکه‌های عصبی از سری شبکه‌های پیش‌رو با ناظر در آموزش هستند. این شبکه‌ها معمولاً برای تقریب توابع به کار می‌روند، و حساسیت کم‌تری نسبت به مسائل با ورودی‌های غیرایستادارند که به دلیل رفتار پایه شعاعی یکان پنهان آن است. این شبکه‌ها نیازی به آموزش مکرر ندارند. الگوریتم GRNN براساس نظریه رگرسیون غیرخطی بنا شده است. به جز روند آموزشی لایه دوم، بقیه نکات آن همچون روش RBF است. ساختار شبکه GRNN در شکل (۲) نشان داده شده است. به صورت خلاصه، این مدل دارای ۴ لایه می‌باشد: لایه ورودی، لایه الگو، لایه مجموع و لایه خروجی. لایه ورودی شامل بردارهای ورودی می‌باشد، که بعد

و همچنین مدل GRNN نشان می‌دهد. همان‌طور که در شکل (۴) نشان داده شده است، به‌طور کلی تمام مدل‌ها دقت تقریباً خوبی را نشان می‌دهند، اما با توجه به مقادیر  $R^2$  برای مدل SVR (۰/۹۵۶۶) در مقایسه با سایر مدل‌ها به‌نظر می‌رسد که این مدل بهترین کارایی را از خود نشان می‌دهد. در ادامه با استفاده از شاخص‌های آماری، آزمون دقت‌سنجی مدل‌ها به‌طور کامل ارائه می‌شوند.

شکل (۵) مقایسه نتایج حاصل از مدل‌های هوشمند تحقیق حاضر را با نتایج داده‌های مشاهداتی در مقابل تعداد کل داده‌ها نشان می‌دهد. با توجه به این شکل نیز کاملاً مشخص است که مدل SVR عادی در قیاس با سایر مدل‌ها، هم خوانی خوبی با داده‌های مشاهداتی نشان می‌دهد.

در شکل (۵) به‌منظور قیاس هرچه بهتر دو گام آموزش و تست در دو مدل SVR و GRNN، داده‌های گام آموزش و تست نیز مشخص شده‌اند. هرچند بحث کم و بیش‌ شبیه‌سازی (بیش برازش) در خود مدل‌ها کنترل می‌شود، اما با توجه به شکل (۵) و مقایسه نتایج دو مدل SVR و GRNN با داده‌های مشاهداتی، مشخص هست که بیش‌ شبیه‌سازی و کم‌ شبیه‌سازی در مدل‌ها نیز صورت نگرفته است. در ادامه به صورت کمی، آنالیز دقت‌سنجی برای تمام مدل‌ها و همچنین گام آموزش و تست نشان داده خواهد شد.



شکل ۳ مقایسه نتایج مدل SVR با روش اعتبارسنجی K-Fold برای K های مختلف

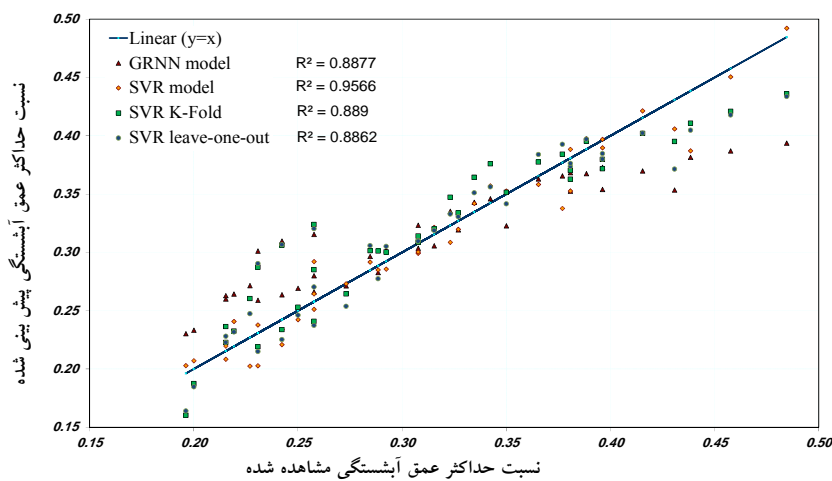
علاوه بر روش ذکرشده فوق برای مدل SVR، از روش اعتبارسنجی ضربه‌دری K-Fold cross validation (K-Fold) و روش leave-one-out نیز استفاده شده است. در روش K-Fold داده‌ها به K زیرمجموعه افزایش می‌شوند. از این K زیرمجموعه، هر بار یکی برای اعتبارسنجی و K-1 تای دیگر برای آموزش به کار می‌روند. این روال K بار تکرار می‌شود و همه داده‌ها دقیقاً یک‌بار برای آموزش و یک‌بار برای اعتبارسنجی به کار می‌روند. درنهایت، میانگین نتیجه این K بار اعتبارسنجی به عنوان یک تخمین نهایی برگزیده می‌شود. در روش leave-one-out در هر مرحله یکی از داده‌ها برای اعتبارسنجی بیرون گذاشته می‌شود و بقیه داده‌ها برای آموزش استفاده می‌شوند. این روش درواقع همان روش K-Fold است که در آن K برابر تعداد داده‌ها درنظر گرفته شده است [45].

لازم به ذکر است که در تمام روش‌ها، پارامترهای بی بعد عدد فرود ذره ( $F_g$ )، نسبت دبی ( $Q_r/Q_i$ ) و نسبت آورد رسوب ( $Q_b/Q_3$ ) به عنوان ورودی مدل‌ها؛ و پارامتر بی بعد نسبت حداکثر عمق آبستگی ( $D_s/B_3$ ) به عنوان خروجی مدل‌ها درنظر گرفته شده است.

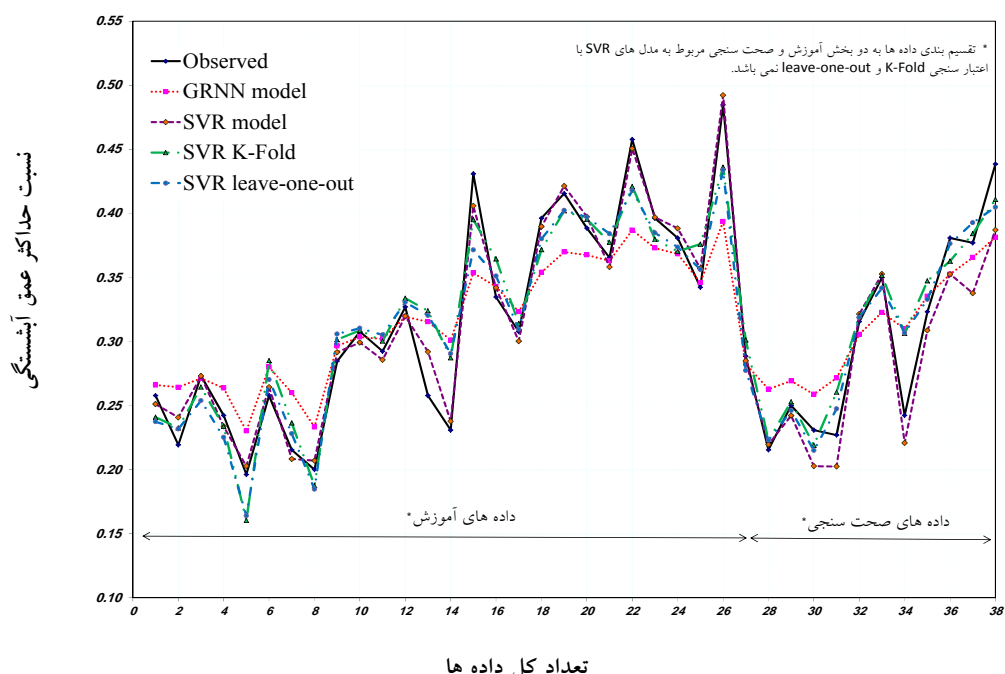
## نتایج و بحث

شکل (۳) نتایج شاخص MARE (Mean Absolute Error) را برای مدل SVR با روش اعتبارسنجی K-Fold برای K های مختلف نشان می‌دهد. با توجه به این شکل، نتایج در  $K=9$  بهترین عملکرد را نشان می‌دهند ( $MARE=6.79$ ). بنابراین می‌توان مدل آموزش داده شده به ازای  $K=9$  را به عنوان برترین مدل SVR در روش اعتبارسنجی K-Fold معرفی نمود و در ادامه نتایج آن را با سایر روش‌ها مقایسه کرد.

شکل (۴) مقایسه نسبت حداکثر عمق آبستگی مشاهده شده با پیش‌بینی شده را برای مدل‌های SVR با اعتبارسنجی عادی (train-test)، K-Fold و leave-one-



شکل ۴ مقایسه نسبت حداکثر عمق آبستینگی مشاهده شده با پیش‌بینی شده



شکل ۵ مقایسه عملکردهای مدلها در مقابل تعداد کل داده‌ها

این شاخص‌ها از آنها به دست می‌آیند در ادامه نشان داده شده است:

$$RMSE = \sqrt{\frac{1}{N} \sum_{i=1}^N (Y_i \text{ observed} - Y_i \text{ estimated})^2} \quad (10)$$

$$MAE = \frac{1}{N} \sum_{i=1}^N |Y_i \text{ observed} - Y_i \text{ estimated}| \quad (11)$$

به‌منظور بررسی دقیق‌تر عملکرد و دقت مدل‌ها، از شاخص‌های خطای آماری معروف از جمله ریشه میانگین مربع خطای RMSE (Root Mean Square)، میانگین خطای مطلق MAE (Mean Absolute Error)، میانگین خطای نسبی MARE (Mean Absolute Relative Error)، میانگین خطای نسبی NSE (Coefficient of Determination) و شاخص Nash-Sutcliffe Efficiency استفاده شده است. روابطی که

out تقریباً یکسان می‌باشد (به ترتیب برابر با ۸۸/۷۷ و ۸۸/۶۲ و ۸۸/۹) هم‌چنین با توجه به جدول (۲) مشخص است که مقادیر شاخص MAE برای دو مدل SVR leave-one-out و SVR K-Fold یکسان می‌باشد (به ترتیب برابر با ۰/۰۲۰۸ و ۰/۰۲۰۲)؛ درحالی‌که این شاخص نشان‌دهنده عملکرد ضعیف‌تری نسبت به سایر مدل‌ها برای مدل GRNN می‌باشد (با مقدار برابر با ۰/۰۳). هم‌چنین می‌توان روندی مشابه شاخص MAE برای مدل‌های GRNN، SVR leave-one-out و SVR K-Fold، SVR K-Fold، GRNN one-out، برای شاخص‌های (مبتنی بر داده‌های کل) استفاده شده در این تحقیق باستفاده از پنج شاخص آماری MARE، RMSE (به ترتیب برابر با ۰/۰۲۶۵ و ۰/۰۲۶۶ و ۰/۰۲۶۷)، NSE (به ترتیب برابر با ۰/۰۲۸۲ و ۰/۰۲۸۲ و ۰/۰۲۸۲)، train-test، به ترتیب برابر با ۰/۷۵۸، ۰/۸۸۲۸ و ۰/۸۸۲۸ می‌باشد؛ که با توجه به این شاخص و سایر شاخص‌های ذکر شده، می‌توان بعد از مدل SVR با روش اعتبارسنجی- SVR K-leave-one-out SVR test، به ترتیب مدل Fold و درنهایت مدل GRNN را به عنوان دقیق‌ترین مدل در این تحقیق به منظور تخمین حداکثر عمق فرسایش در شرایط بستر متحرک در تلاقي رودخانه‌ها پیشنهاد نمود.

$$MARE = \frac{1}{N} \sum_{i=1}^N \left| \frac{Y_i \text{ observed} - Y_i \text{ estimated}}{Y_i \text{ estimated}} \right| * 100\% \quad (12)$$

$$NSE = 1 - \frac{\sum_{i=1}^N (Y_i \text{ observed} - Y_i \text{ estimated})^2}{\sum_{i=1}^N (Y_i \text{ observed} - \mu_{\text{observed}})^2} \quad (13)$$

که در این روابط، N تعداد داده‌ها،  $Y_i$  مقادیر خروجی مدل‌ها ( $\frac{D_s}{B_3}$ ) و  $\mu_{\text{observed}}$  میانگین داده‌های مشاهداتی می‌باشد.

جدول (۲) و آنالیز دقتسنجی مدل‌های استفاده شده در این تحقیق با استفاده از پنج شاخص به منظور ساده‌تر و جامع‌تر بودن مقایسه مدل‌ها، این پنج شاخص برای کل داده‌ها، داده‌های آموزش و داده‌های صحت‌سنجی (مدل‌های SVR با روش اعتبارسنجی-K-Fold و leave-one-out دوره آموزش و تست ندارند) محاسبه شده‌اند. با توجه به جدول (۲)، مقادیر شاخص‌های MARE، RMSE، MAE،  $R^2$  و NSE برای کل داده‌ها در مدل SVR عادی به ترتیب برابر با ۰/۹۵۶۶، ۰/۰۱۶۸، ۴/۲۶ و ۰/۹۹۳ می‌باشد که این مقادیر نشان‌دهنده دقیق‌تر این مدل در قیاس با سایر مدل‌ها می‌باشد. مقادیر  $R^2$  برای کل داده‌ها در مدل‌های GRNN، SVR K-Fold و SVR leave-one-out مدل‌های SVR K-Fold، GRNN

جدول ۲ آنالیز دقتسنجی مدل‌ها با استفاده از شاخص‌های خطای آماری

شاخص‌های آماری					نام مدل
NSE	RMSE (m)	MARE (%)	MAE (m)	$R^2$ (%)	
۰/۷۶۴۴	۰/۰۳۸۷	۹/۲۴	۰/۰۲۹۳	۸۸/۸۳	داده‌های آموزش
۰/۷۳۸۹	۰/۰۳۷۰	۱۰/۵	۰/۰۳۲	۸۸/۹۵	
۰/۷۵۸	۰/۰۳۸۲	۹/۶	۰/۰۳	۸۸/۷۷	
۰/۹۹۷۶	۰/۰۱۱۴	۳	۰/۰۰۹	۹۸	داده‌های آموزش
۰/۸۷۵۷	۰/۰۲۵۵	۷/۳۷	۰/۰۲۰۷	۹۶/۴۱	
۰/۹۹۳	۰/۰۱۶۸	۴/۲۶	۰/۰۱۲۴	۹۵/۶۶	
۰/۸۸۲۸	۰/۰۲۶۶	۶/۷۹	۰/۰۲۰۸	۸۸/۹	کل داده‌ها
۰/۹۷۷۶	۰/۰۲۶۵	۷/۶۲	۰/۰۲	۸۸/۶۲	کل داده‌ها
					SVR (K-Fold)
					SVR (leave-one-out)

نوین به نام‌های مدل ماشین‌های بردار پشتیبان K-رگرسیونی (SVR) با روش اعتبارسنجی train-test و Fold leave-one-out، و مدل شبکه عصبی رگرسیون تعیین‌یافته (GRNN) مورد بررسی قرار گرفته است، که نتایج آن عبارتند از:

۱. در این تحقیق، مدل SVR K-Fold به‌ازای K-Fold برابر با ۹ بهترین نتایج را نشان می‌دهد (MARE=6.79).

۲. هرچند به‌طور کلی تمام مدل‌ها دقت نسبتاً قابل قبولی را از خود نشان می‌دهند؛ اما نتایج آنالیز SVR train-test دقت‌سنگی نشان می‌دهد که مدل دقت بسیار بهتری نسبت به سایر روش‌ها در این تحقیق دارد (به‌ترتیب با  $R^2$ , MAE, MARE و RMSE به‌ترتیب با ۰/۰۳۷، ۰/۰۳۲، ۰/۰۳۸۹ و ۰/۰۳۸۷)، و برای مدل SVR K-Fold SVR leave-one-out به‌ترتیب مدل GRNN را می‌توان به عنوان دقیق‌ترین مدل در این تحقیق به‌منظور تخمین حداقل عمق فرسایش در شرایط بستر متحرك در تلاقي رودخانه‌ها درنظر گرفت.

نتایج این تحقیق برای شرایط و محدوده پارامترهای ذکر شده در این تحقیق صادق می‌باشند. برای شرایط دیگر، پیشنهاد می‌گردد که بررسی‌های مجدد انجام شود.

به‌منظور بررسی دقت دوره آموزش و تست در مدل SVR و GRNN، آنالیز دقت‌سنگی برای این دوره‌ها نیز در جدول (۲) ارائه شده است. برای دوره آموزش مدل GRNN، شاخص‌های آماری  $R^2$ , MAE, RMSE و NSE به‌ترتیب برابر با ۰/۰۲۹۳، ۰/۰۲۸۷، ۰/۰۲۴۴ و ۰/۰۲۹۳ می‌باشد، که این اعداد نشان‌دهنده دقت بالای مدل SVR در گام آموزش نسبت به مدل GRNN می‌باشد. در دوره تست نیز شاخص‌های آماری  $R^2$ , MAE, MARE و RMSE به‌ترتیب برابر با ۰/۰۱۱۴، ۰/۰۰۹، ۰/۰۰۹ و ۰/۹۹۷۶ می‌باشد، که این اعداد نشان‌دهنده دقت بالای مدل SVR در گام تست نسبت به مدل GRNN می‌باشد. بنابراین در قیاس مدل SVR با روش اعتبارسنجی train-test، مدل SVR هم در بخش آموزش و هم در بخش تست نتایج بهتری نسبت به مدل GRNN در این تحقیق نشان می‌دهد.

### نتیجه‌گیری

با توجه به فقدان یک سیستم هوشمند در پیش‌بینی حداقل عمق آبستگی در تلاقي رودخانه‌ها در حالت بستر متحرك، در تحقیق حاضر دو مدل هوش مصنوعی

### مراجع

1. Taylor, E.H., "Flow characteristics at rectangular open channel confluence", *Transactions of ASCE*, No. 109, pp. 893–902, (1944).
2. Webber, N.B., Greated, C.A., "An investigation of flow behavior at the junction of rectangular channel", *Proceedings of the Institution of Civil Engineers.*, Thomas telford Lte., London, Vol. 34, pp. 321-334, (1966).
3. Modi, P.N; Ariel, P.D., Dandekar, M.M., "Conformal mapping for channel junction flow" , *Journal of Hydraulic Engineering.*, No. 107(12), pp. 1713-1733, (1981).
4. Best, J.L, Reid, I., "Separation zone at open channel junctions", *Journal of Hydraulic Engineering.*, ASCE, No. 100(11), pp. 1588-1594, (1984).

5. Best, J.L., "Flow dynamics at river channel confluences: Implications for sediment transport and bed morphology", Recent Devel. In Fluvial Sedimentology, SEPM Spec. Publ. 39, Etheridge, F.G; Floers, R.M., Harvey, M.D., eds., pp. 27-35, (1987).
6. Ramamurthy, A.S., Carballada, L.B., Tran, D.M., "Combining open channel flow at right angled junctions ", *Journal of Hydraulic Engineering.*, ASCE, No. 114(12), pp.1449-1460, (1988).
7. Hager, W.H., "Transition flow in channel junctions", *Journal of Hydraulic Engineering.*, ASCE, No. 115(2), pp. 243-259, (1989).
8. Gurram, S.K., Karki, K.S., Hager, W.H., "Subcritical junction flow", *Journal of Hydraulic Engineering.*, ASCE, No. 123(5), pp. 447-455, (1997).
9. Hsu, C.C., Wu, F.S., Lee, W.J., " Flow at 90 equal width open channel junction", *Journal of Hydraulic Engineering.*, ASCE, No. 124(2), pp.186-191, (1998a).
10. Hsu, C.C., Lee, W.J., Chang, C.H., "Subcritical open channel junction flow", *Journal of Hydraulic Engineering.*, ASCE, No. 124(8), pp. 847-855, (1998b).
11. Weber, L.J., Schumate, E.D., Mawer, N., "Experimentals on flow at a 90° open channel Junction", *Journal of Hydraulic Engineering.*, ASCE, No. 127, pp. 340–350, (2001).
12. برگی، س.م.، سخاچی‌فر، س.م.، دائمی، ع.، "بررسی آزمایشگاهی اتصال کانال‌ها"، مجموعه مقالات ششمین سمینار بین‌المللی مهندسی روودخانه، اهواز، صص. ۶۱۹-۶۱۱، (۱۳۸۱).
13. Lyubimova, T., Lepikhin, A., Konovalov, V., Parshakova, Y., Tiunov, A., "Formation of the density currents in the zone of confluence of two rivers", *Journal of Hydrology*, No. 508, pp. 328–342, (2014).
14. Coelho, M.M.L.P., "Experimental determination of free surface levels at open channel junctions", *Journal of Hydraulic Engineering.*, Research, No. 53(3), pp. 394-399, (2015).
15. Weerakoon, S.B., Kawahara, Y., Tamia, N., "Three dimensional flow structure in channel confluences of rectangular section", *Proceeding, 24<sup>th</sup> IAHR congress.*, pp. 373-380, (1991).
16. Bradbrook, K.F., Lane, S.N., Richards, K.S., Biron, P.M., Roy, A.G., "Role of bed discordance at asymmetrical river confluences", *Journal of Hydraulic Engineering.*, No. 127, pp. 351-368, (2001).
17. Huang, J.L., Weber, L.J., Yong, G.L., "Three Dimensional Numerical Study of Flows in Open Channel Junctions flow", *Journal of Hydraulic Engineering.*, ASCE, No. 128(3), pp. 268-280, (2002).
18. Shakibainia, A., Majdzadeh Tabatabai, M.R., Zarrati, A.R., "Three-dimensional numerical study of flow structure in channel confluences", *Canadian Journal of Civil Engineering.*, No. 37(5), pp. 772-781, (2010).

19. Ghostine, R., Vazquez, J., Terfous, A., Mose, R., Ghenaim A., "Comparative study of 1D and 2D flow simulations at open-channel junctions", *Journal of Hydraulic Research*, No. 50(2), pp. 164-170, (2012), DOI: 10.1080/00221686.2012.661563.
20. Baranya, S., Olsen, N.R.B., Józsa, J., "Flow analysis of a river confluence with field measurements and RANS model with nested grid approach", *River Research and Applications*, No. 31(1), pp. 28-41, (2013), DOI: 10.1002/rra.2718.
21. Sharifipour, M., Bonakdari, H., Zaji, A.H., Shamshirband, S., "Numerical investigation of flow field and flowmeter accuracy in open-channel junctions", *Engineering Applications of Computational Fluid Mechanics*, No. 9(1), pp. 280-290, 2015, DOI: 10.1080/19942060.2015.1008963.
22. Mosley, M.P., "An experimental study of channel confluences", *Journal of Geology*, No. 84, pp. 535-562, (1976).
23. Best, J.L., "Sediment transport and bed morphology at river channel confluences", *Journal of Association OF Sedimentologists*, No. 35, pp. 481-498, (1988).
24. Roy, G.A., Roy, R., "Changes in channel Size at river Confluences with coarse bed material", *Earth surface processes and Land forms*, No. 13, pp. 77-84, (1988).
۲۵. برگی، س. م.، نظری، ا.، "بررسی آزمایشگاهی الگوی رسوب در تقاطع کانال‌ها"، مجموعه مقالات ششمین کنفرانس بین‌المللی مهندسی عمران، اصفهان، صص. (۱۳۸۲)، ۲۴۷-۲۵۵.
26. Ghobadian, R., Shafai Bejestan, M., "Investigation of sediment patterns at river confluence", *Journal of Applied Science*, No. 7(10), pp. 1372-1380, (2007).
27. Shafai Bejestan, M., Hemmati, M., "Scour depth at river confluence of unequal bed level", *Journal of Applied Science*, No. 8(9), pp. 1766-1770, (2008).
28. Borghei, S.M., Sahebari Jabbari, A., "Local scour at open channel junctions", *Journal of Hydraulic Research*, No. 48(4), pp. 538-542, (2010).
۲۹. محمدی، ص.، "بررسی تأثیر گردشگری لب پایین دست محل اتصال بر الگوی رسوب در تلاقی رودخانه‌ها"، پایان‌نامه کارشناسی ارشد، دانشگاه شهید چمران، اهواز، (۱۳۹۰).
۳۰. بلوچی، ب.، "بررسی تأثیر آورد رسوب شاخه اصلی بر الگوی رسوب در محل تلاقی رودخانه‌ها"، پایان‌نامه کارشناسی ارشد، دانشگاه شهید چمران، اهواز، (۱۳۹۱).
31. Kambekar, A.R., Deo, M.C., "Estimation of pile group scour using neural networks", *Journal of Applied Ocean Research*, No. 25, pp. 225-234, (2003).
32. Bateni, S.M., Borghei, S.M., Jeng, D.S., "Neural network and neuro-fuzzy assessments for scour depth around bridge piers", *Journal of Engineering Applications of Artificial Intelligence*, No. 20, pp. 401-414, (2007).
33. Azamathulla, H.M.D., Deo, M.C., Deolalikar, P.B., "Alternative neural networks to estimate the scour below spillways", *Journal of Advances in Engineering Software*, No. 39, pp. 689-698, (2008).

34. Abidin, K., "Artificial neural network study of observed pattern of scour depth around bridge piers", *Journal of Computers and Geotechnics*, No. 37, pp. 413–418, (2010).
35. Ismail, A., Jeng, D.S., Zhang, L.L., Zhang, J.S., "Predictions of bridge scour: Application of a feed-forward neural network with an adaptive activation function", *Journal of Engineering Applications of Artificial Intelligence*, No. 26, pp. 1540–1549, (2013).
36. Cheng, M., Cao, M., Wu, Y., "Predicting equilibrium scour depth at bridge piers using evolutionary radial basis function neural network", *Journal of Computing in Civil Engineering*, (2014).
37. Hong, J., Goyal, M.K., Chiew, Y., Chua L.H.C., "Predicting time-dependent pier scour depth with support vector regression", *Journal of Hydrology*, pp. 241–248, (2012).
38. Jahangirzadeh, A., Shamshirband, S., Aghabozorgi, S., Akib, S., Basser, H., Anuar, N.B., Kiah, M.L.M., "A Cooperative Expert Based Support Vector Regression (Co-ESVR) System to Determine Collar Dimensions around Bridge Pier", *Neurocomputing journal*, (2014).
39. Pal, M., Singh, N.K., Tiwari, N.K., "Support vector regression based modeling of pier scour using field data", *Engineering Applications of Artificial Intelligence*, No. 24(5), pp. 911–916, (2011).
۴۰. غضنفری هاشمی، س.، اعتماد شهیدی، ا.، "پیش‌بینی عمق آبستنگی اطراف پایه پل با استفاده از ماشین‌های بردار پشتیبان"، مجله علمی-پژوهشی عمران مدرس، شماره ۱۲ (۲)، صص. ۳۶-۲۳. (۱۳۹۱).
۴۱. هوشیاری‌پور، ف.، نوری، ر.ا.، "استفاده از تکنیک ماشین بردار پشتیبان در پیش‌بینی ابعاد چاله آبستنگی پایین دست یک پرتابه جامی‌شکل"، مجله آب و مهندسی محیط زیست ایران، شماره ۱ (۱)، صص. ۴۵-۳۵. (۱۳۹۲).
۴۲. نیکو، م.ر.، کراچیان، ر.، "پنهان‌بندی کیفی منابع آب سطحی با استفاده از ماشین‌های بردار پشتیبان احتمالاتی و شبکه‌های بیزی"، چهارمین همایش تخصصی مهندسی محیط زیست، دانشگاه تهران. (۱۳۸۹).
43. Specht, D.F., "A General Regression Neural Network", *IEEE Transaction on Neural Networks*, No. 2(6), pp. 568–576, (1991).
44. Li, C.F., Zhang, J.B., Wang, S.T., "Comparative Study on Input-Expansion-Based Improved General Regression Neural Network and Levenberg-Marquardt BP Network", *Lecture Notes in Computer Science*, No. 4113, pp. 83-93, (2006).
45. Mehmani, A., Chowdhury, S., Messac, A., "Predictive quantification of surrogate model fidelity based on modal variations with sample density", *Structural and Multidisciplinary Optimization*, No. 52 (2), pp. 353–373, (2015).

## بررسی تأثیر الیاف تقویتی پلیمری کربنی CFRP در میزان باربری دال‌های بتن مسلح دوطرفه مربعی‌شکل دارای بازشو در لبه کناری و گوشه دال\*

(یادداشت پژوهشی)

مجتبی لبیب‌زاده<sup>(۱)</sup>

**چکیده** در دال‌ها به دلیل وجود داکت‌های تأسیساتی، وجود آسانسور، سیستم‌های گرمایشی و سرمایشی و غیره ایجاد بازشو اجتناب‌ناپذیر است. بازشوهای با ابعاد کوچک معمولاً تأثیر چنان‌اند در عملکرد دال نمی‌گذارند ولی رفتار دال‌های دارای بازشو با ابعاد نسبتاً بزرگ متفاوت است و معمولاً باعث تمرکز تنش در اطراف بازشوها می‌گردد. درنتیجه یک نقطه ضعف در سازه ایجاد می‌گردد و غفلت از این موضوع می‌تواند باعث ایجاد خسارت سازه‌ای در اطراف بازشوها شود. یکی از روش‌های ترمیم و مقاومت‌سازی این‌گونه دال‌ها که بعد از اجرا در آنها بازشو ایجاد می‌شود، استفاده از مصالح کامپوزیت پلیمری (Fiber Reinforced Polymer) یا به اختصار FRP می‌باشد. در این تحقیق، تأثیر بازشوها و همچنین تأثیر نحوه قرارگیری صفحات FRP روی ظرفیت خمشی دال‌ها مورد بررسی قرار گرفته است. در انتهای تحقیق مشخص شد که نتایج این پژوهش می‌تواند برای تقویت دال‌های موجود که در آنها ایجاد بازشو شده است، استفاده شود و ظرفیت بازبری آنها در مقایسه با حالت هموزن (بدون تقویت) می‌تواند افزایش یابد به طوری که براساس نتایج بدست آمده از تحلیل مقاومت نهایی نسبت به نمونه شاهد (دارای بازشو و بدون تقویت) در گروه Se (dal دارای بازشو در لبه کناری دال) از ۱۲ تا ۳۰ درصد و در گروه Sco (dal دارای بازشو در گوشه دال) از ۱ تا ۱۰ درصد بسته به نحوه قرارگیری الیاف تقویتی FRP افزایش داشته است.

**واژه‌های کلیدی** دال بتن مسلح دوطرفه، بازشوی کناری و گوشه، الیاف CFRP، ظرفیت باربری.

## Investigation of the Effects of CFRP on Load Bearing Capacity of Strengthened Two-Way RC Squared Slabs with Side and Corner Openings

M. Labibzadeh

**Abstract** Due to existence of the facility ducts, such as elevators, heating, and cooling systems in buildings, creating of the openings in the reinforced concrete slabs is inevitable. Usually, small openings have negligible effects on the slab performance whereas the large openings can affect significantly on the slab behavior and can cause the stress concentration adjacent to the openings. In some cases, ignoring this issue can cause serious problems in the integrity, stiffness and even stability of structures. One of the rehabilitation and strengthening methods of such slabs is the use of Fiber Reinforce Polymers sheets (FRPs). In this research, the influence of the lateral and corner openings as well as the impact of using a kind of FRPs known as CFRP (Carbon Fiber Reinforce Polymer sheets) for strengthening of two-way slabs were investigated. The obtained results indicate that this method can be successfully employed in remedy operations for mentioned slabs. CFRP sheets can recover the lost flexural rigidity of the slab considerably and even in some cases can improve it in comparison to that of homogeneous slab (slab with no opening). The results also show that by implementing this method the flexural rigidity of the slab can be increased between 12 to 30 percent in the case of slabs with lateral opening and between 1 to 10 percent in the case of slabs with the corner opening relative to the original weakened slab (slab with opening without strengthening).

**Key Words** Two-Way RC Squared Slabs, CFRP, Load Bearing Capacity, Side and Corner Openings.

\* تاریخ دریافت مقاله ۹۲/۲/۲۲ و تاریخ پذیرش آن ۹۴/۴/۳ می‌باشد.

Email: Labibzadeh\_m@scu.ac.ir

(۱) استادیار، گروه عمران، دانشکده مهندسی، دانشگاه شهید چمران اهواز.

خود ۸ نمونه دال را مورد آزمایش قرار دادند. نمونه‌ها دال بتن مسلح مربعی با ابعاد ۱۹۰۰ میلی‌متر و ضخامت ۱۵۰ میلی‌متر بودند که دو نمونه به عنوان شاهد بدون تقویت و شش نمونه دیگر با ورق‌ها و نوارهای CFRP و GFRP تقویت شدند. بار وارد به صورت مت مرکز به وسیله ستونی مربعی به ابعاد ۲۵۰ میلی‌متر در وسط دال اعمال می‌شد. در کنار کار آزمایشگاهی ایشان نمونه‌های یاد شده را در نرم‌افزار ABQUS شبیه‌سازی نمودند و نتایج تحلیل را با داده‌های آزمایشگاهی تطبیق دادند و در نهایت یک سطح شکست برای پیش‌بینی ظرفیت باربری دال‌های دو طرفه با تکیه گاههای ساده در چهار طرف ارائه نمودند. آنها اظهار داشتند که با استفاده از ورق‌های CFRP می‌توان تا ۴۰ درصد و با ورق‌های GFRP تا ۳۱ درصد ظرفیت خمثی دال را افزایش داد. در تحقیقی دیگر در سال ۲۰۰۴ که توسط دو تن از محققان قبلی انجام شد یعنی Marzouk و Ebead [14]؛ رفتار دال‌های دوطرفه تقویت شده با FRP از نقطه نظر شکل پذیری و جذب انرژی برسی شد و عنوان شد که به دلیل طبیعت ترد ورق‌های FRP، دال‌های دوطرفه تقویت شده با آنها نسبت به دال معمولی شکل پذیری کمتر و قدرت جذب انرژی کمتری دارند. هم‌چنین در این پژوهش ذکر شد که عامل اصلی خرابی، پاره شدن چسب اتصال دهنده ورق FRP به سطح دال است. در واقع بیان شد که هیچ‌گاه ورق FRP پاره نمی‌شود. در تحقیقی دیگر در سال ۲۰۰۳ میلادی که توسط دو تن از محققان دانشکده عمران و محیط زیست دانشگاه برکلی کالیفرنیای آمریکا صورت گرفت، ده نمونه با مقیاس اصلی (یک به یک) از دال‌های بتنی مسلح و غیر مسلح ساخته شد و اثر بازسازی و یا تعییر آنها به وسیله ورق‌های CFRP و GFRP مورد بررسی قرار گرفت. در این تحقیق دال‌هایی مربعی به ابعاد ۲/۶۴ متر و به ضخامت ۰/۷۶ متر (۷/۶ سانتی‌متر) تحت اثر فشار یکنواخت که توسط کیسه آب و روی وجه پایین دال اعمال می‌شد مورد آزمایش قرار گرفتند. در واقع وجه فوقانی دال تحت کشش قرار گرفت و در این وجه برای

## مقدمه

سیستم‌های (Fiber Reinforced Polymer) FRP یا در برگردان فارسی الیاف تقویتی پلیمری به صورت پوشش‌های بیرونی و به منظور افزایش مقاومت و بهسازی سازه‌های بتونی موجود از اواسط دهه ۱۹۸۰ تاکنون در سراسر دنیا مورد استفاده قرار می‌گیرند. این ماده می‌تواند برای تقویت تیرها، ستون‌ها و دال‌ها در ساختمان به کار رود. با استفاده از این ماده حتی می‌توان بعد از این که این اعصابی سازه‌ای در اثر بارگذاری چهار آسیب‌های جدی شدند آنها را ترمیم کرد و مورد بهره‌برداری مجدد قرار داد. برای تقویت تیرها دو روش تاکنون توسعه یافته است: اولین روش چسباندن ورق‌های FRP در لایه تحتانی تیرها یعنی در جایی که معمولاً تحت تنشی‌های کششی زیاد قرار دارد می‌باشد. این کار سبب افزایش مقاومت سازه‌ای؛ کاهش تغییر شکل خمثی تیر و FRP افزایش سختی تیر می‌شود. در روش دوم پوشش FRP به صورت U شکل در زیر و پهلوهای تیر چسبانده می‌شود و علاوه بر موارد ذکر شده روش اول مقاومت برشی تیر را نیز افزایش می‌دهد. با چسباندن الیاف FRP دور ستون‌ها می‌توان با افزایش تنش محصوری ظرفیت ستون را افزایش داد. در مورد دال‌ها نیز می‌توان پوشش FRP را زیر سطح دال چسباند. البته باید یادآور شد که میزان موفقیت کاربرد الیاف FRP در تیرها و دالها تا حدود زیادی به نوع ماده چسباننده بستگی دارد [1].

در مورد کاربرد الیاف تقویتی FRP در تقویت تیرهای بتن مسلح تحقیقات فراوانی تاکنون انجام شده است [2-12] اما در مورد دال‌های بتن مسلح به خصوص دال‌های دو طرفه تحقیقات اندکی انجام شده که در ادامه به برخی از آنها که با موضوع این مقاله سنتختی بیشتری دارند اشاره می‌شود. در سال ۲۰۰۲ میلادی WEC Lye و Marzouk؛ Ebead [13] در کنفرانس Marzouk؛ Ebead [13] در کنفرانس WEC پژوهشی ارائه نمودند و در آن به نتایج به دست آمده در تقویت دال دو طرفه بتن مسلح با استفاده از ورق‌ها و نوارهای CFRP (ورق FRP با الیاف کربن) و GFRP (ورق FRP با الیاف شیشه) اشاره داشتند. ایشان در کار

همکارانش [18] تعداد ۱۱ نمونه دال بتنی را مورد آزمایش قرار دادند. این محققان در کار خود روی تأثیر آرایش چسباندن ورق‌های CFRP در اطراف دو نمونه کوچک و بزرگ بازشو در مرکز دال مربعی به ابعاد ۲/۶ متر و به ضخامت ۱۰ سانتی‌متر متتمرکز شدند. ابعاد بازشو در نمونه کوچک  $85 \times 0.85$  متر و در بازشوی بزرگ  $1.2 \times 1.2$  متر بود. سه نمونه آرایش در اطراف بازشو در نظر گرفتند: آرایش ۹۰ درجه؛ آرایش ۴۵ درجه و ترکیب ۹۰ و ۴۵ درجه. درنهایت عنوان نمودند که حالت ترکیب ۴۵ و ۹۰ درجه بیشترین ظرفیت باربری را نشان می‌دهد. هم‌چنین بیان داشتند که وقتی بازشو بزرگ‌تر می‌شود و از CFRP به جای فولادگذاری تقویتی اضافی معمولی در گوشه‌های بازشو استفاده می‌شود رفتار دال ترد و شکننده‌تر می‌شود و عنوان کردند که شاید این مسئله به دلیل آن است که در این وضعیت دال به صورت ۴ عدد تیر متقطع عمل می‌کند.

با توجه به ادبیات موضوع بیان شده؛ مشخص می‌شود که در زمینه تقویت دال‌های دوطرفه همراه با بازشو بالاستفاده از پوشش‌های خارجی FRP تا کنون کار پژوهشی چندانی صورت نگرفته است. در همین راستا در این مطالعه سعی بر آن است تا مدلی ریاضی بر پایه روش اجزای محدود که قادر به شبیه‌سازی رفتار دال‌های بتنی دوطرفه تقویت شده با پوشش FRP باشد تهیه شود و پس از صحبت‌ستجی مدل بالاستفاده از نتایج آزمایشگاهی موجود در مقالات معتبر علمی که در پاراگراف‌های قبل بدان‌ها اشاره شد (dal دارای بازشو در مرکز) از این مدل برای پیش‌بینی رفتار دال‌های دوطرفه دارای بازشو در لبه کناری و یا گوشه استفاده شود؛ کاری که تاکنون انجام نشده است.

### تشریح مدل عددی پیشنهادی

در این مطالعه مبایی صحبت‌ستجی مدل، کار انجام شده توسط ایناکسون و همکاران [18] می‌باشد. بر این اساس، مشخصات دال‌های آزمایشگاهی به شرح ذیل است:

تقویت از ورق‌های CFRP و GFRP استفاده شد. پس از انجام آزمایش مشخص شد که این ورق‌ها قابلیت افزایش ظرفیت باربری دال را تا ۵ برابر برای دال غیرمسلح و تا ۲ برابر برای دال مسلح نسبت به ظرفیت باربری آنها در حالت تقویت‌نشده دارند. هم‌چنین مشخص شد که خرابی دال‌های تقویت‌شده با الیاف پلیمری ناشی از خرد شدن بتن دال در ناحیه فشاری است و ورق‌های FRP دچار گسیختگی نمی‌شوند. هم‌چنین این دو پژوهشگر در کنار کار آزمایشگاهی خود یک مدل ریاضی اجزای محدود برای شبیه‌سازی نتایج آزمایشگاهی و پیش‌بینی رفتار دال در شرایط بارگذاری متفاوت با شرایط آزمایش ارائه دادند [15]. در سال ۲۰۰۹ میلادی؛ آقای ولید السید و همکارانش [16] تحقیقی دیگر برروی استفاده از ورق‌های FRP در دال‌های بتن مسلح دوطرفه انجام دادند. ایشان تعداد ۹ نمونه دال بتن مسلح مریع شکل به ابعاد ۲/۶ متر و به ضخامت ۱۲ سانتی‌متر از بتنی با مقاومت مشخص ۳۵۰ کیلوگرم بر سانتی‌متر مربع ساختند. ۵ نمونه اول بدون بازشو و ۴ نمونه دیگر دارای بازشو در مرکز دال بودند. آنها در تحقیق خود برای اولین بار ورق‌های ترکیبی CFRP و GFRP را بالاستفاده از پیچ به وجه زیرین دال محکم بستند. در کنار این دال‌ها دو عدد دال دیگر را به عنوان شاهد با روش معمول چسباندن ورق به سطح تحتانی دال آماده کردند. ورق‌های FRP استفاده شده ۲ متر طول؛ ۱۰ سانتی‌متر عرض و  $3/2$  میلی‌متر ضخامت داشتند. آنها دریافتند که با روش جدید پیشنهادی خود (با پیچ بستن ورق‌ها به سطح زیرین دال) می‌توانند به ظرفیت باربری و شکل پذیری بیشتری از دال نسبت به روش معمولی چسباندن دست یابند. ایشان اعلام کردند که می‌توان با روش جدید برای دال بدون بازشو به میزان ۳۳٪ و برای دال همراه با بازشو در مرکز به میزان ۶۶٪ افزایش ظرفیت باربری نسبت به حالت معمولی چسباندن ورق‌ها دست یافت. در پژوهشی دیگر در این زمینه در کشور سوئیس در سال ۲۰۰۷ میلادی ایناکسون و

(بدون بازشو) باتوجه به خصوصیات مصالح مطابق آینه نامه بتون سوئد BBK، برای بارگذاری گسترده یکنواخت  $15 \text{ KN/m}^2$  طراحی گردیده است [18]. بازشوی مدل سازی شده به صورت مربع شکل به ابعاد  $85\text{m} \times 85\text{m}$  می باشد که به وسیله ارده متحرک آبی ایجاد شده است. برای جلوگیری از ایجاد ترک در کناره ها در هنگام آزمایش، قبل از ارده کردن یک سوراخ با ابعاد  $(\emptyset 70)$  در هر گوش به منظور دریل کردن ایجاد می شود. دال های با بازشو به وسیله ورق های CFRP با دو نوع مختلف  $200 \text{ g/m}^2$  و  $300 \text{ g/m}^2$  تقویت شده اند. مشخصات اسمی این ورق ها در جدول (۱) خلاصه شده است. طول و پهنای CFRP به کار برده شده در جدول (۲) داده شده است. نحوه کارگذاری ورق های CFRP در ۴ گروه نخست در شکل (۱) نشان داده شده است و مشخصات پرایم و چسب مورد استفاده در جدول (۳) آمده است [18]. نمونه های فوق (۴ گروه نخست) فقط شامل دال هایی هستند که دارای بازشو در وسط دال می باشند. شکل (۲) نمونه آزمایشگاهی دال مورد مطالعه در این تحقیق را نشان می دهد.

#### مشخصات ۴ گروه نخست دال های

##### مدل سازی شده (H,Sc-90,Sc-45,Sc-45,90)

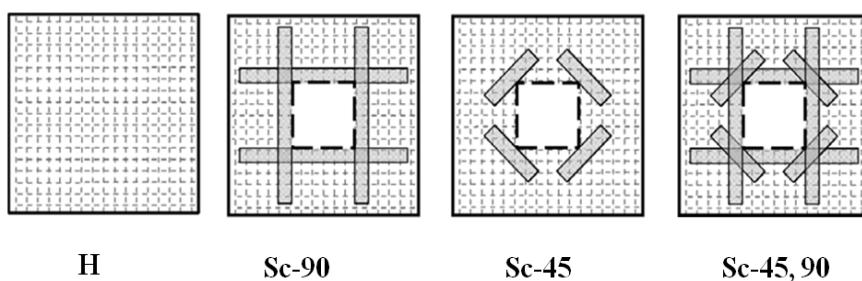
در این بخش مشخصات ۴ گروه نخست دال های مدل سازی شده در این تحقیق بیان شده است. این ۴ گروه از دال ها دارای مشخصاتی هستند که در کار ایناکسون و همکاران [18] ذکر شده است. علاوه بر این ۴ گروه، ۶ گروه دال دیگر که دارای بازشو در لبه کناری دال و گوش دال هستند نیز در این تحقیق مدل سازی شدند که در بخش بعدی شرح می شود. مدل سازی ۴ گروه نخست برای صحبت سنجی دقت مدل توسعه یافته در این مطالعه انجام گرفته است. دال های هر ۶ گروه به صورت مربعی با ضلع  $2/6$  متر و ضخامت  $100$  میلی متر می باشند. مقاومت مشخصه فشاری  $28$  روزه بتن دال براساس کار ایناکسون و همکاران [18] برابر با  $40$  مگاپاسکال در نظر گرفته شد. سطح دال های تقویت شده توسط CFRP قبل از چسباندن ورق ها توسط سند بلاست به وسیله فناور هوا کاملاً تمیز گردید. تمام دال ها به وسیله فولادهای ساختمانی S150 -  $\Phi 5$  و با پوشش  $20 \text{ mm}$  مسلح گردیدند. دال مرتع همگن

جدول ۱ مشخصات اسمی ورق های CFRP [18]

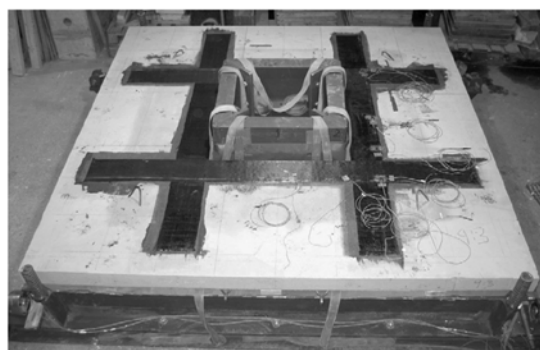
محصول	ضخامت لایه (mm)	مدول یانگ (GPa)	مقاومت کششی (MPa)	کرنش گسترشی (%)
300S	۰/۱۷	۲۲۸	۳۶۰۰	۱/۵
200S	۰/۱۱	۲۲۸	۳۶۰۰	۱/۵

جدول ۲ موقعیت، طول و پهنای ورق های CFRP مورد استفاده [18]

داد	طول بازشو (m)	نوع لایه	محل نصب لایه ها	پهنای لایه (mm)	طول لایه (m)
Sc-45	۰/۸۵	200S	در زاویه ۴۵	۱۹۵	۰/۸۵
Sc-90	۰/۸۵	300S	در زاویه ۹۰	۱۸۵	۲۰۳
Sc-45,90	۰/۸۵	200S	در زاویه ۴۵	۱۹۵	۰/۸۵
		300S	در زاویه ۹۰	۱۸۵	۲۰۳



شکل ۱ انواع تقویت بازشوها در ۴ گروه نخست دالها



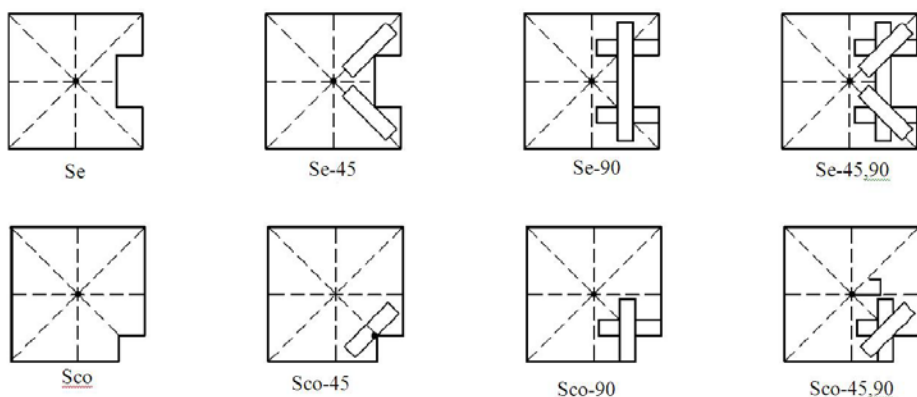
شکل ۲ نمونه آزمایشگاهی

جدول ۳ مشخصات اسمی چسب و پرایمر

محصول	چسبندگی به بتن (MPa)	مدول یانگ (GPa)	مقاومت کششی (MPa)	مقاومت برشی (MPa)
پرایمر	۱۷	-	-	-
چسب	-	۲	۵۰	۱۷/۶

جدول ۴ موقعیت، طول و پهنای ورق‌های CFRP استفاده شده

داد	طول بازشو (m)	نوع لایه	محل نصب لایه‌ها	(mm)	پهنای لایه (mm)	طول لایه (m)
Se-45	۱×۰/۵	300S	در زاویه ۴۵	۳۰۰	۱/۴	
Se-90	۱×۰/۵	300S	در زاویه ۹۰	۳۰۰	۲/۳	
			در زاویه ۹۰	۳۰۰	۱/۶	
Se-45,90	۱×۰/۵	300S	در زاویه ۴۵	۳۰۰	۱/۴	
		300S	در زاویه ۹۰	۳۰۰	۲/۳	
			در زاویه ۹۰	۳۰۰	۱/۶	
Sco-45	۰/۵×۰/۵	300S	در زاویه ۴۵	۳۵۰	۱	
Sco-90	۰/۵×۰/۵	300S	در زاویه ۹۰	۳۰۰	۱/۶	
Sco-45,90	۰/۵×۰/۵	300S	در زاویه ۴۵	۳۵۰	۱	
		300S	در زاویه ۹۰	۳۰۰	۱/۶	



شکل ۳ انواع تقویت دالها

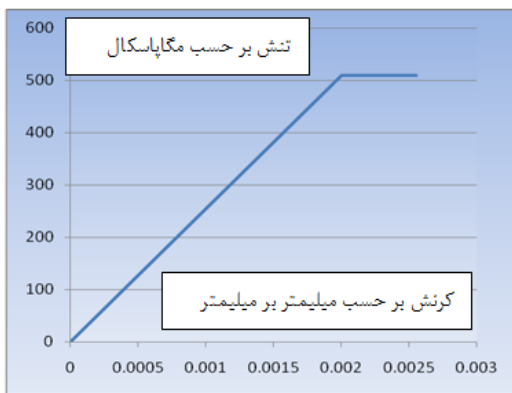
مطالعه حاضر به ترتیب برابر با  $12^\circ$  و  $0/1$  درنظر گرفته شده است. با عنایت به این موضوع که در تحقیق حاضر، بار اعمالی به آهستگی به دال وارد می‌شود و از آنجا که بتن دال در منطقه فشاری تحت اثر تنش‌های دومحوری است و لذا مقاومت فشاری بتن در عمل بالاتر از مقاومت فشاری تکمحوری است و نظر به اثر الایاف تقویتی CFRP که موجب افزایش کرنش‌های بتن در ناحیه فشاری و درنتیجه افزایش شکل‌پذیری بتن در منطقه فشاری می‌شود، لذا بر همین اساس و بر پایه مراجع [19] و [20]، بتن در ناحیه فشاری دال رفتار ترد نشان نمی‌دهد و نیازی به تعریف مدل آسیب فشاری برای بتن و کاهش ماتریس سختی دال براساس مدل آسیب نیست و می‌توان از مدل کلاسیک خمیری دراگر-پراگر برای مدل‌سازی رفتار بتن در فشار و کاهش سختی استفاده نمود. پر واضح است که در هنگام مدل‌سازی بارهای ضربه‌ای وارد به دال و یا بارهای معمولی در دال‌های بتن مسلح تقویت‌نشده با الایاف CFRP، باید اثر رفتار ترد بتن در فشار را درنظر گرفت و در این صورت استفاده از مدل‌های کلاسیک خمیری بتن مانند مدل به کار رفته در تحقیق حاضر نتایج دقیقی ارائه نخواهد داد. اما برای تعریف رفتار بتن در کشش از نظریه آسیب استفاده می‌شود. بر این اساس رفتار بتن در کشش تا هنگام بروز ترک، الاستیک خطی فرض می‌شود و پس از آن رفتار نرم‌شوندگی کرنش در

### مشخصات ۶ گروه ثانوی دال‌های مدل‌سازی شده پیشنهادی براساس محدودیت‌های آین نامه آبا ایران (Se-45, Se-90, Se-45, 90, Sco-45, 90, Sco-45, 90)

همان‌طور که پیشتر اشاره شد در مطالعه حاضر ۶ گروه دیگر از دال‌ها به منظور بررسی محدودیت‌های آین نامه‌ای کشورمان مدل‌سازی شدند. گروه Se که دارای بازشو در لبه دال ( محل تقاطع نوار ستونی و نوار میانی) و گروه Sco که دارای بازشو در گوش دال ( محل تقاطع دو نوار ستونی) می‌باشد. ابعاد این دال‌ها نیز مانند ۴ گروه اول  $2600 \times 2600 \times 100\text{mm}$  می‌باشد. مشخصات و شکل این دال‌ها در جدول (۴) و شکل (۳) دیده می‌شوند.

### مشخصات رفتاری بتن دال

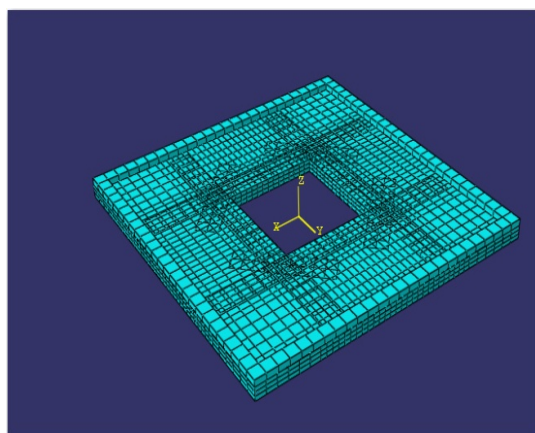
در این مطالعه رفتار بتن براساس کار ایناکسون و همکاران [18] تعریف شده است. بر این مبنای برای بیان رفتار بتن از ترکیب نظریه‌های خمیری، آسیب و مکانیک شکست استفاده شده است. به این ترتیب که رفتار بتن در فشار با فرض این‌که بتن یک ماده چسبنده-اصطکاکی است از روی نظریه کلاسیک خمیری و با استفاده از مدل دراگر-پراگر تعریف می‌شود [17]. زوایه اتساع  $\Psi$  مخروط ناقص دراگر-پراگر و مقدار خروج از محوریت  $e$  در این مدل برای



شکل ۵ رفتار میلگردهای دال

### مشخصات رفتاری میلگردهای دال

در مطالعه حاضر رفتار میلگردهای فولادی دال یک رفتار الاستوپلاستیک ایده‌آل فرض می‌شود (شکل ۶). چسبندگی کامل بین بتن و فولاد فرض می‌شود و اثر سخت‌شوندگی کششی به‌سبب میلگردها در مسئله وارد نمی‌شود. صفحات تکیه‌گاهی فولادی با رفتار الاستیک خطی در نظر گرفته می‌شوند.



شکل ۶ مدل المان‌بندی شده دال

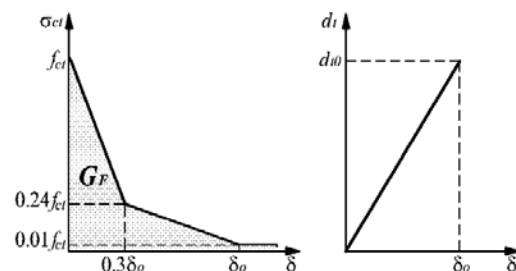
### CFRP مشخصات رفتاری

مشخصات مصالح فیبر کربن که در این مدل‌سازی مورد استفاده قرار گرفت است و به نرم‌افزار معرفی شده است، به صورت زیر در جدول (۵) خلاصه شده است.

منطقه شکست فرض می‌شود. رفتار نرم‌شوندگی کرنش در اینجا به صورت منحنی دوخطی توصیف می‌شود (شکل ۴) که در آن میان تابع آسیب کششی  $d\epsilon$  و بازشدگی ترک  $\delta$  رفتار خطی توصیف می‌شود. ماکریم مقدار تابع آسیب  $d\epsilon_0$  در این مطالعه همانند پژوهش ایناکسون و همکاران [۱۸] برابر  $0/۹$  و ماکریم بازشدن ترک‌ها  $\delta_0$  برابر  $0.115\text{mm}$  منظور شده است (شکل ۵). فاکتور انرژی  $G_F$  برای مود اول شکست طبق نظریه مکانیک شکست بتن برابر مساحت زیر منحنی نرم‌شوندگی و برابر  $100\text{N/mm}^2$  براورد می‌شود. همان‌طور که از شکل (۴) پیداست بعد از پیدایش ترک، مدل عددی براساس اندازه‌گیری بازشدگی دهانه ترک، مقاومت کششی بتن را در راستای عمود بر امتداد ترک کاهش می‌دهد و میزان پارامتر آسیب را از صفر (بدون ترک) تا حداقل مقدار  $0/۹$  (بازشدگی ترک برابر با  $0/115$  میلی‌متر) افزایش می‌دهد. سپس براساس نظریه آسیب کششی، مقدار کاهش تنش و ماتریس رفتاری الاستیک آسیب‌دیده را محاسبه می‌نماید (رابطه ۱):

$$\sigma = (1-d) D_0^{\text{el}} : (\epsilon - \epsilon^{\text{pl}}) = D^{\text{el}} : (\epsilon - \epsilon^{\text{pl}}) \quad (1)$$

در رابطه بالا،  $d$  همان  $d$  یعنی پارامتر آسیب کششی بتن است و  $D_0^{\text{el}}$  و  $D^{\text{el}}$  به ترتیب ماتریس رفتاری الاستیک اولیه و آسیب‌دیده بتن در اثر بروز ترک می‌باشند. با استفاده از تنش و ماتریس رفتاری اصلاح شده بار داخلی و ماتریس سختی محاسبه و اصلاح می‌شوند. همان‌طور که از رابطه (۱) پیداست در این نظریه، آسیب کششی بتن همسان‌گرد در نظر گرفته می‌شود.



شکل ۴ نمودار نرم‌شوندگی کششی

### صحت‌سنجی مدل عددی توسعه یافته

در اینجا با توجه به محدودیت بحث فقط به ارائه دو نمونه از نتایج صحت‌سنجی مدل اکتفا می‌کنیم. ابتدا مدلی را در نظر می‌گیریم که دارای بازشو در مرکز دال است و توسط الیاف CFRP به صورت ۹۰ درجه و موازی لبه‌های بازشو تقویت شده است. شکل (۷) دو نمودار را نشان می‌دهد که در آن منحنی توپر نشان‌دهنده منحنی شدت بار- تغییر مکان مدل و منحنی خط‌چین نمایش دهنده نتیجه شدت بار- تغییر مکان آزمایشگاهی می‌باشد. این منحنی‌ها هر دو برای یک نقطه در لبه بازشو که در شکل نشان داده شده است به دست آمده است. حداقل شدت بار قابل تحمل به دست آمده از مدل عددی ۵۱ کیلونیوتون بر مترمربع و جابه‌جایی نظیر این شدت بار برابر با ۳۸ میلی‌متر به دست آمد. این در حالی است که مقادیر نظیر برای نمونه آزمایشگاهی به ترتیب برابر با ۴۸ کیلونیوتون بر مترمربع و ۳۲ میلی‌متر می‌باشد (جدول ۶). با مقایسه آشکار شد که درصد خطای مدل برای محاسبه بار تقریباً ۶ درصد می‌باشد. شکل (۸) نمایش دهنده تغییر شکل مدل عددی در لحظه نهایی مقاومت دال نمایش داده نشان دهد. نمونه دیگر برای صحت‌سنجی مدل، مدلی می‌باشد. نمونه آزمایشگاهی به ترتیب برابر با ۴۵ درجه است که توسط الیاف CFRP نود درجه و ۴۵ درجه تقویت شده است. شکل (۹) نشان‌دهنده مقایسه نمودار شدت بار- تغییر مکان مدل عددی و نتایج تجربی و شکل (۱۰) نمایش تغییر شکل دال در لحظه گسینختگی است. شکل (۱۱) کرنش ایجاد شده در الیاف CFRP را در لحظه خرابی آنها نشان می‌دهد. حداقل شدت بار قابل تحمل به دست آمده از مدل عددی ۵۵/۴ کیلونیوتون بر مترمربع و جابه‌جایی نظیر این شدت بار برابر با ۴۰ میلی‌متر به دست آمد. این در حالیست که مقادیر نظیر برای نمونه آزمایشگاهی به ترتیب برابر با ۵۱/۵ کیلونیوتون بر مترمربع و ۳۰/۵ میلی‌متر می‌باشد (جدول ۷). با مقایسه آشکار شد که درصد خطای مدل برای محاسبه بار تقریباً ۷ درصد می‌باشد.

جدول ۵ مشخصات الیاف CFRP

E <sub>1</sub> (GPa)	۲۲۸	مقاومت کششی طولی (MPa)	۳۶۰۰
E <sub>2</sub> (GPa)	۱۸.۲	مقاومت فشاری طولی (MPa)	۲۵۰۰
v	۰.۲۸	مقاومت کششی عرضی (MPa)	۱۵۰
G <sub>12</sub> (GPa)	۱۱.۱	مقاومت فشاری عرضی (MPa)	۲۹۰
G <sub>13</sub> (GPa)	۱۱.۱	مقاومت برشی طولی (MPa)	۶۰
G <sub>23</sub> (GPa)	۷.۱	مقاومت برشی عرضی (MPa)	۸۵

### مشخصات اجزای محدود مدل

برای مدل‌سازی بتن دال از المان C3D8R نرم‌افزار آباکوس استفاده شد. این المان سه‌بعدی مکعبی است و ۸ گرهی می‌باشد و در هر گره دارای سه درجه آزادی انتقالی است و از روش انتگرال‌گیری کاهاش یافته استفاده می‌کند. برای شبیه‌سازی میلگرد‌ها از المان T3D2 استفاده شد که یک نوع المان خرپایی سه‌بعدی دارای دو گره می‌باشد. برای مدل‌سازی الیاف تقویتی CFRP از المان S4R که یک نوع المان غشاوی است استفاده شد. این المان در جهت عمود بر صفحه خود هیچ‌گونه سختی ندارد. در شکل (۶) یک نمونه مدل المان‌بندی‌شده تقویت‌شده با الیاف CFRP و دارای بازشو در مرکز دال برای مثال دیده می‌شود.

### ارائه نتایج و بحث

همان‌طور که پیشتر بحث شد در این مطالعه سعی شد تا با استفاده از نتایج آزمایشگاهی موجود در تحقیق ایناکسون و همکاران [۱۸] یک مدل اجزای محدود کارا و صحت‌سنجی شده تهیه شود و از آن برای بررسی رفتار دال دو طرفه دارای بازشو در کنار و گوشة دال و تقویت‌شده با الیاف CFRP که تاکنون در مقالات علمی به آن پرداخته نشده است، استفاده شود؛ لذا در ادامه ابتدا نتایج مربوط به صحت‌سنجی مدل ارائه و پس از آن به مطالعه نتایج مدل عددی توسعه یافته خواهیم پرداخت.

این جا به معنی دال با بازشو در لبه کناری و تقویت شده با الیاف CFRP می‌باشد.

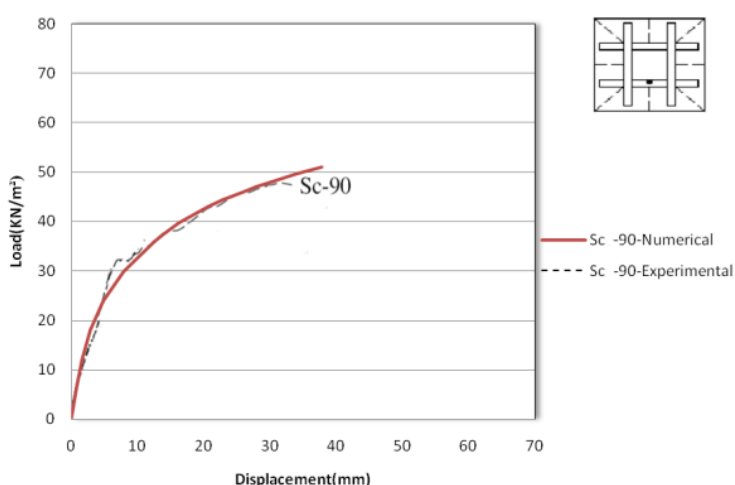
ظرفیت خمی و شکل‌پذیری. همان‌گونه که از شکل (۱۲) مشخص است، به دلیل ایجاد بازشو در دال Se ظرفیت باربری دال نسبت به حالت همگن (دال بدون بازشو H)  $23/8$  درصد کاهش یافته است. این یافته در تضاد با نتایج کار ایناکسون و همکاران [۱۸] می‌باشد.

### ارائه برخی نتایج مدل عددی توسعه یافته

در اینجا به ارائه مختصراً از نتایج به دست آمده از مدل عددی پیشنهادی صحبت‌سنجدیده برای پیش‌بینی رفتار دال‌های دوطرفه دارای بازشو در لبه کناری دال و گوش آن می‌پردازیم.

### دال‌های دارای بازشو در لبه کناری Se

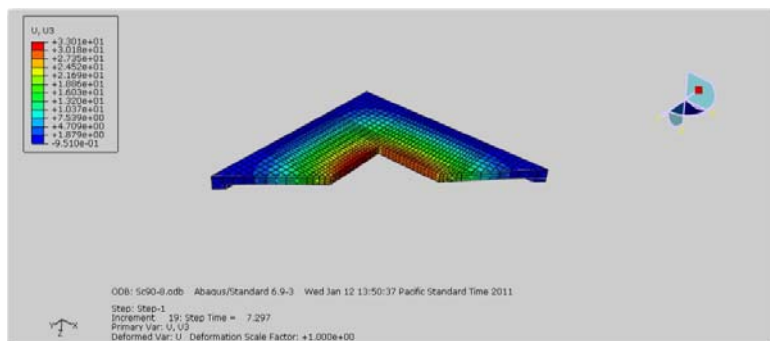
در نمونه‌ای که اینجا ارائه می‌شود ابعاد بازشوی کناری  $1 \times 0.5$  می‌باشد (ابعاد بر حسب متر). علامت Sc در



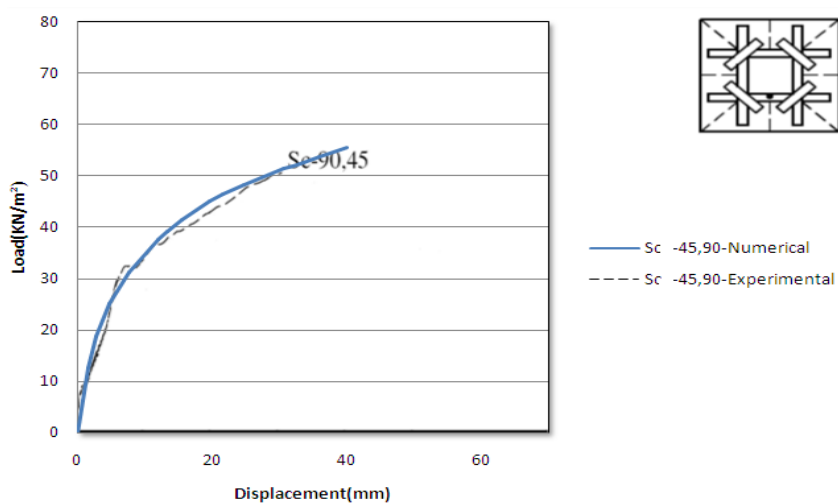
شکل ۷ نمودار شدت بار-تغییر مکان دال تقویت شده با الیاف CFRP نو درجه

جدول ۶ مقایسه نتایج آزمایشگاهی و مدل عددی

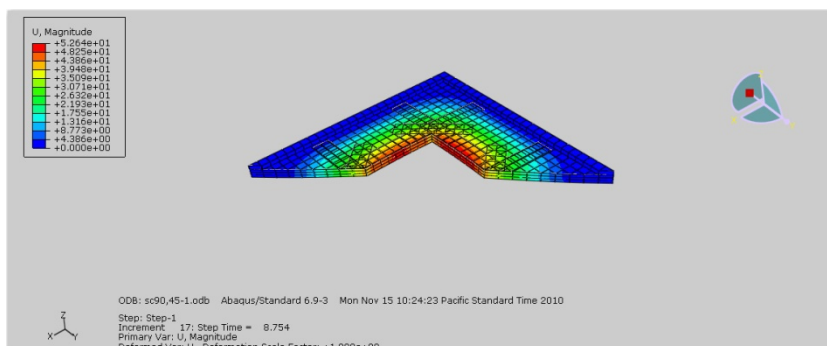
	جایه‌جایی نظیر بار نهایی (میلی‌متر)	بار نهایی (کیلونیوتن)
نمونه آزمایشگاهی [۱۸]	۵۱	۳۸
نمونه عددی	۴۸	۳۲



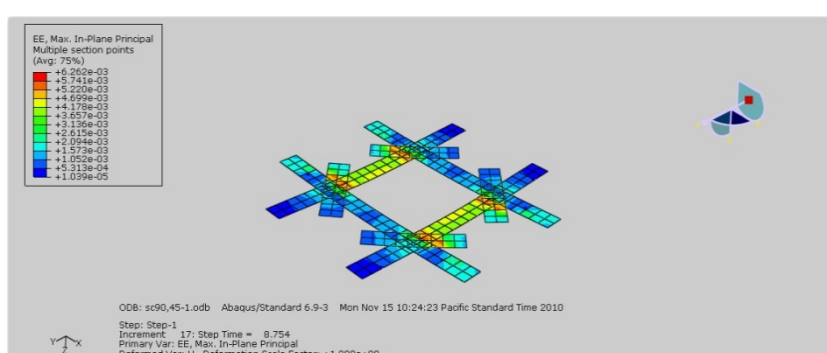
شکل ۸ نمودار تغییرشکل دال تقویت شده با الیاف CFRP نو درجه



شکل ۹ نمودار شدت بار- تغییرمکان دال تقویت شده با الایاف CFRP نod درجه و ۴۵ درجه



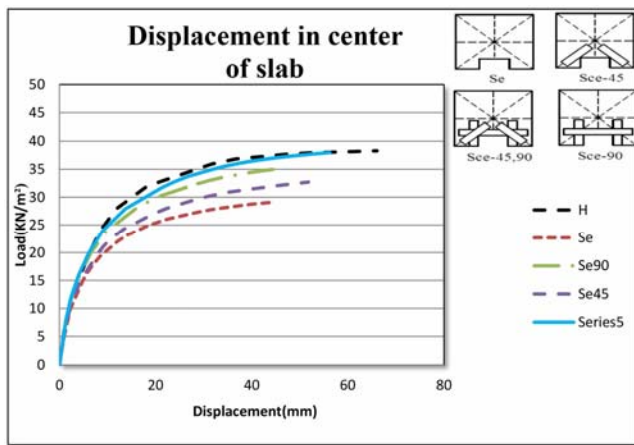
شکل ۱۰ نمودار تغییرشکل دال تقویت شده با الایاف CFRP نod درجه و ۴۵ درجه



شکل ۱۱ کرنش در الایاف CFRP

جدول ۷ مقایسه نتایج آزمایشگاهی و مدل عددی

	بار نهایی (کیلونیوتن)	جا به جایی نظری بار نهایی (میلی متر)
نمونه آزمایشگاهی [18]	۵۵/۴	۴۰
نمونه عددی	۵۱/۵	۳۰/۵



شکل ۱۲ نمودار شدت بار - تغییر مکان برای نقطه ای در مرکز دال

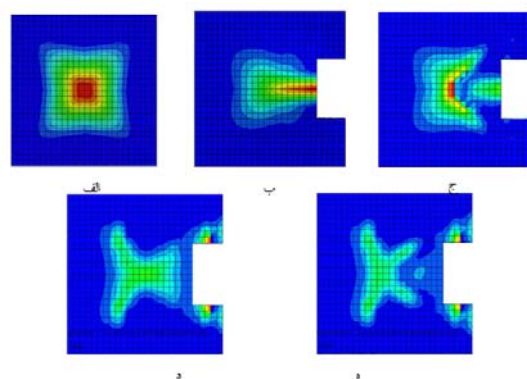
خواهد یافت. این نتیجه نشان‌دهنده ارجحیت استفاده از روش ترکیبی ۴۵ و ۹۰ درجه برای آرایش دادن الیاف CFRP است.

الگوی گسترش ترک. مدل پخش ترک در دال‌های این گروه در شکل (۱۳) نشان داده شده است. در دال Se برخلاف دال‌های S که دارای بازشو در مرکز است ترک‌ها از گوشة بازشو ایجاد نمی‌شوند بلکه از وسط لبه شروع به گسترش به طرف مرکز دال می‌کنند (به تحقیق ایناکسون و همکاران [۱۸] مراجعه شود). با مقایسه حالات مختلف دال تقویت شده (حالات ج، د، ه) و دال تقویت نشده (حالات ب) دیده می‌شود که در تمام حالات ترک‌ها گسترش بیشتری پیدا می‌کنند اما از طول آنها کاسته می‌شود (وسعت نواحی به رنگ زرد و قرمز را مقایسه کنید). همین امر سبب افزایش ظرفیت باربری دال تقویت شده با الیاف CFRP می‌شود. از سوی دیگر با مقایسه حالات مختلف تقویت دال مشخص می‌شود که در حالت ترکیبی ۹۰ و ۴۵ درجه (حالات ه) وسعت پخش ترک‌ها و تمرکز آنها نسبت به دو حالت ۹۰ درجه (حالات د) و ۴۵ درجه (حالات ج) کاهش می‌یابد و لذا ظرفیت باربری و شکل‌پذیری دال افزایش پیدا می‌کند.

در آنجا دال دارای بازشو در مرکز تقریباً ظرفیت خمثی معادل با دال همگن (دال بدون بازشو) دارد. تفسیر این تضاد شاید به دو دلیل باشد: یکی بزرگ‌تر بودن ابعاد بازشو مرکزی در مقایسه با ابعاد بازشوی کناری که سبب کاهش سطح باربری و درنتیجه جبران افت مقاومت خمثی دال ناشی از ایجاد بازشو باشد و دیگری وجود تقارن در حالت بازشوی مرکزی و عدم وجود آن در بازشوی کناری می‌باشد. وجود تقارن به افزایش ظرفیت باربری دال کمک می‌کند. اشکال مختلف تقویت دال با الیاف CFRP افزایش ظرفیت باربری بین  $\frac{1}{3}$  تا  $\frac{2}{3}$  درصد نسبت به حالت Se از خود نشان می‌دهند به طوری که در حالت Sce-45,90 (تقویت دال با الیاف ۴۵ و ۹۰ درجه)، ظرفیت خمثی دال به ظرفیت دال بدون بازشو می‌رسد و از آن فراتر هم می‌رود ( $\frac{2}{3}$  درصد بیشتر از ظرفیت خمثی دال همگن). این نتیجه با یافته‌های ایناکسون و همکاران [۱۸] که در آنها بازشو در مرکز دال می‌باشد هم خوانی دارد. نکته جالب دیگر این که با روش تقویت ۴۵ و ۹۰ درجه با الیاف CFRP هم ظرفیت خمثی دال نسبت به دال اولیه (دارای بازشو) بیشتر می‌شود، هم شکل‌پذیری دال افزایش می‌یابد. در حالی که اگر با روش ۴۵ درجه و ۹۰ درجه تقویت دال انجام شود در حالی که ظرفیت خمثی دال افزایش می‌یابد شکل‌پذیری آن کاهش

ظرفیت باربری در اثر تقویت با الیاف CFRP جزئی می‌باشد که از دلایل آن می‌توان به این مورد اشاره نمود که طول الیاف‌هایی که در این حالت استفاده می‌شوند بسیار کم است و عملاً کارایی چندانی ندارند به‌طوری که حتی با اضافه نمودن چندباره سطح مقطع این الیاف‌ها (افرایش عرض) نتیجه مطلوب‌تری به‌دست نمی‌آید.

**الگوی گسترش ترک.** مدل پخش ترک در دال‌های این گروه در شکل (۱۵) نشان داده شده است. همان‌گونه که دیده می‌شود در این گروه دال‌ها نیز همانند دو گروه قبل (S و Se) در حالت همگن ترک‌ها از وسط شروع می‌شوند و به کناره‌ها گسترش می‌یابند. اما در دال Sco، این ترک‌ها از گوشۀ دال شروع می‌شوند و به سمت مرکز دال گسترش می‌یابند (شکل ۱۵ حالت ب). در حالت Sco-45 دیده می‌شود که این ترک‌ها به‌دلیل وجود الیاف CFRP؛ در گوشۀ دال ظهرور نمی‌یابند بلکه به‌سمت مرکز دال نقل مکان می‌یابند. در دو حالت دیگر نیز ترک‌ها به‌سمت بازشو گسترش می‌یابد ولی بعد از رسیدن به الیاف‌ها به‌سمت لبه‌های خارجی دال گسترش می‌یابند. مشاهده می‌شود که در دو حالت قرارگیری ۹۰ و ترکیبی ۹۰ و ۴۵ درجه نسبت به حالت ۴۵ گسترش ترک‌ها بیشتر و بازشدگی آنها کمتر می‌شوند. همان‌طور که در شکل (۱۵) هم پیداست و تأییدی بر نمودار (۱۴) می‌باشد در حالت بازشوی گوشۀ الگوی ترک‌ها در دو حالت ۹۰ و ترکیب ۹۰ و ۴۵ درجه کاملاً مشابه است و لذا تفاوت معنی‌داری بین کاربرد این دو روش برای افزایش ظرفیت خمی دال وجود ندارد. این مسئله برخلاف نتیجه به‌دست آمده در مورد دال‌های گروه قبل (بازشو در لبه کناری دال) است که در آنجا تفاوت دو روش نامبرده کاملاً مشهود است. در شکل (۱۶) شکل شکست و الگوی گسترش ترک در نمونه‌های آزمایشگاهی برگرفته از کار ایناکسون و همکاران (۲۰۰۷) برای مقایسه با نتایج مدل حاضر ارائه شده‌اند.

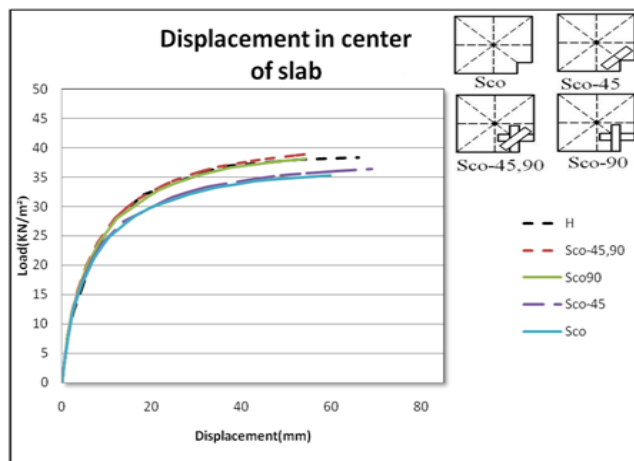


شکل ۱۳ نحوه توزیع ترک‌ها: (الف) دال هموژن، (ب) دال Se-Sce-45,90، (د) دال Sce-90، (e) دال Sco-45,90، (f) دال Sco

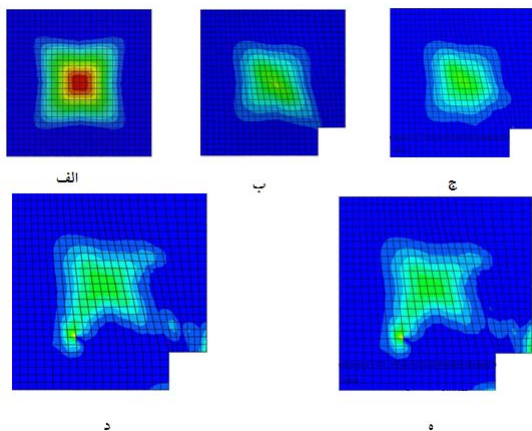
### دال‌های دارای بازشو در گوشۀ دال Sco

این دال‌ها دارای بازشو در گوشۀ می‌باشند. اندازه بازشوی این نمونه‌ها برابر  $0.05 \times 0.05$  (ابعاد به متر) است. این دال‌ها مانند دال‌های گروه Se شامل چهار نمونه می‌باشند که به تشریح و مقایسه آنها باهم و هم‌چنین با دال بدون بازشو خواهیم پرداخت.

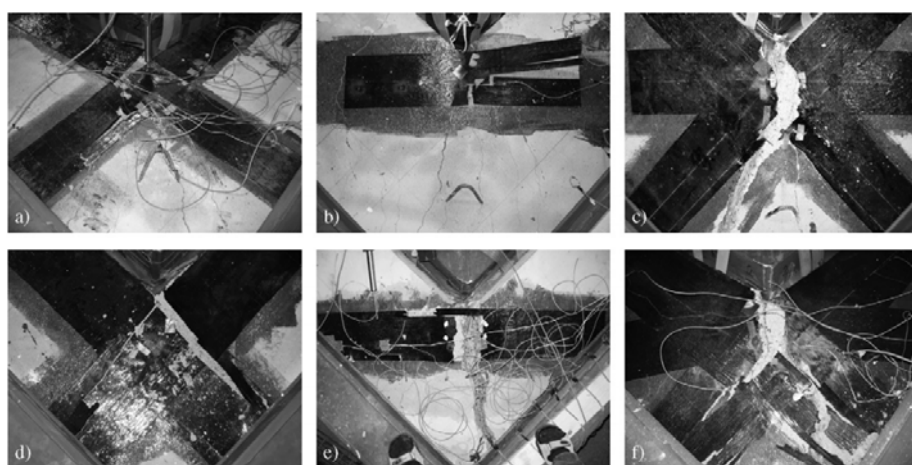
**ظرفیت خمی و شکل‌پذیری.** همان‌گونه که از نمودار (۱۴) مشخص است، به‌دلیل ایجاد بازشو در دال Sco ظرفیت باربری دال نسبت به حالت همگن  $7/5$  درصد کاهش یافته است. این نتیجه نشان می‌دهد در مقایسه با حالت بازشو در لبه کناری و با درنظر گرفتن نسبت مساحت بازشو  $0/5$  متر مربع برای لبه کناری و  $0/25$  متر مربع برای گوشۀ مشخص می‌شود که تأثیر بازشو در لبه کناری در کاهش ظرفیت باربری بیشتر از بازشوی گوشۀ با مساحت بازشوی برابر است. نمونه دال‌های مختلف با استفاده از الیاف CFRP افزایش ظرفیت باربری بین  $1/4$  تا  $10/2$  درصد نسبت به حالت Sco از خود نشان می‌دهند به‌طوری که در حالت Sco-90، ظرفیت خمی دال به ظرفیت دال بدون بازشو می‌رسد و در حالت Sco-45,90 این ظرفیت حدود ۲ درصد بیش از ظرفیت دال دارای بازشو است. البته همان‌طور که مشاهده می‌شود در این دال‌ها در مقایسه با دال‌های گروه قبل (بازشو در لبه کناری) افزایش



شکل ۱۴ نمودار شدت بار-تغییر مکان برای نقطه‌ای در مرکز دال



شکل ۱۵ نحوه توزیع ترک‌ها: (الف) دال همگن، (ب) دال Sco، (ج) دال ۴۵,۹۰، (د) دال Sco-90، (ه) دال Sco-45، (ه) دال Sco-45,90



شکل ۱۶ الگوی گسترش ترک‌ها در آزمایشگاه در گوش ۹۰° دال با بازشوی مرکزی در نمونه‌های مختلف تقویت شده با الیاف CFRP (a) دال با بازشوی کوچک در مرکز تقویت شده با الیاف، (b) ترک در گوش‌های بازشوی کوچک در مرکز دال تقویت شده با الیاف ۴۵ درجه، (c) ترک در امتداد اصلاح بازشو، (d) ترک در گوش‌های بازشوی کوچک در مرکز دال تقویت شده با الیاف ۹۰ درجه، (e) ترک در امتداد اصلاح بازشو، (f) ترک در گوش‌های بازشوی بزرگ در مرکز دال تقویت شده با الیاف ۴۵ درجه، در گوش ۹۰ درجه ترک در امتداد اصلاح و در گوش‌های بازشوی بزرگ در دال تقویت شده با الیاف ترکیبی ۹۰ و ۴۵ درجه [18]

در گوشه و لبه تا حدود زیادی کمتر می‌گردد. شاید دلیل آن باشد که در هنگامی که بازشو در مرکز دال است عملکرد دوطرفه دال مختل می‌شود و به خصوص هنگامی که ابعاد بازشو بزرگ می‌شود عملکرد دال به صورت عملکرد چهار تیر محیطی در می‌آید. در حالی که زمانی که بازشو در لبه کناری یا گوشه است دال رفتار دوطرفه خود را هم‌چنان حفظ می‌کند.

۴. طریقۀ نصب الیاف‌های CFRP تأثیر به سزایی در افزایش ظرفیت باربری دال‌ها دارد. به طوری که دیده شد نصب الیاف‌های CFRP به صورت موازی با لبه‌های بازشو حالت مناسب‌تری نسبت به حالت نصب آنها به صورت مورب، و نصب الیاف‌ها به صورت ترکیبی (موازی و مورب با لبه بازشو) نتایج مناسب‌تری نسبت به حالت موازی با بازشو دارد. در حالت ترکیبی حتی رفتار دال به جای سخت‌تر شدن نسبت به حالت همگن شکل‌پذیرتر می‌شود (در مورد دال‌های دارای بازشو کناری).

۵. استفاده از الیاف‌های CFRP در دال‌ها باعث تغییر الگوی ترک‌خوردگی در سطح زیرین دال‌ها می‌شود به گونه‌ای که سطح گسترش این ترک‌ها نسبت به حالت بدون بازشو که در لبه‌ها متتمرکز هستند افزایش می‌یابد و به سمت قسمت میانی و تکیه‌گاه‌ها گسترده می‌شوند. همچنین با استفاده از این الیاف‌ها اندازه بازشدگی ترک‌ها کوچک‌تر می‌شود.

۶. در هیچ‌کدام از نمونه‌ها، الیاف CFRP به ظرفیت نهایی خود نمی‌رسند که این مطلب به سطح مقطع الیاف مورد استفاده مربوط می‌گردد. میزان کرنش در الیاف‌های CFRP در نمونه‌ها بین ۲۴ تا ۸۰ درصد کرنش گسیختگی می‌باشد.

## جمع‌بندی نتایج

همان‌طور که ملاحظه شد در این مطالعه سعی بر آن بود تا با استفاده از یک مدل اجزای محدود بتوان اثر چسباندن الیاف پلیمری کربنی را در ظرفیت باربری نهایی دال‌های بتون مسلح دارای بازشو در کنار و گوشه‌ها بررسی نمود. در ادامه برخی از نتایج مهم به دست آمده به شکل خلاصه ارائه می‌شود:

۱. نتایج آزمایشگاهی و مدل عددی پیشنهادی به روشنی نشان می‌دهد که نتایج این پژوهش در مورد سیستم مقاوم سازی می‌تواند برای دال‌های موجود که در آن ایجاد بازشو شده است، استفاده شود و ظرفیت باربری آنها در مقایسه با حالت همگن می‌تواند افزایش یابد به طوری که براساس نتایج به دست آمده از روش اجزای محدود مقاومت نهایی نسبت به نمونه شاهد (دارای بازشو و بدون تقویت) در گروه (Dال با بازشو در مرکز دال) از ۷۱ تا ۴۱ درصد، در گروه Se (Dال با بازشو در لبه کناری) از ۱۲ تا ۳۰ درصد و در گروه Sco (Dال با بازشو در گوشۀ دال) از ۱۰ تا ۱۰ درصد افزایش داشته است.

۲. کارایی الیاف CFRP در افزایش ظرفیت باربری دال‌های دوطرفه به این ترتیب است: ۱) Dال با بازشو در مرکز، ۲) Dال با بازشو در لبه کناری و ۳) Dال با بازشو در گوشۀ. یعنی بیشترین تأثیر در مورد بازشوندی وسط دال و کمترین تأثیر در مورد بازشوندی گوشۀ دال به دست می‌آید.

۳. دال‌های تقویت‌شده با CFRP رفتار سخت‌تری در مقایسه با دال‌های مرتع به خصوص بعد از نقطه‌ای که گسیختگی اتفاق می‌افتد، نشان می‌دهند. این رفتار در دال‌های دارای بازشو در وسط به‌وضوح دیده می‌شود اما در دال‌های دارای بازشو

## مراجع

1. Erhard, G. "Designing with Plastics", Hanser Gardner Publication, Inc., (2006).
2. Arduini, M., D'Amrisi, A., and Tommaso, A. D. "Shear failure of concrete beams reinforced with

- FRP plates", In proceedings, infrastructures: A new materials and methods of repair, *proceedings of the third materials engineering conference*, San Diago, CA, USA, pp. 123-130, (1991).
3. GangaRao, H. V. S. and Vijay, P. V. "Bending behavior of concrete beams wrapped with carbon fabric", *Journal of structural engineering*, Vol. 124(1), pp. 3-10, (1998).
  4. Triantafillou, T. C. "Shear strengthening of reinforced concrete beams using epoxy-bonded FRP composites", *ACI Structural Journal*, Vol. 95(2), pp.107-115, (1998).
  5. Nitereka, C. and Neale, K. "Analysis of reinforced concrete beams strengthened in flexure with composite laminates", *Canadian journal for civil engineering*, Vol. 26, pp. 646-654, (1999).
  6. Julio, F. D., and Pizhong, Q. "A computational approach for analysis and optimal design of FRP beams", *Computers and Structures*, Vol. 70(2), pp. 169-183, (1999).
  7. Wu, Y., Zhu, Y., Lai, Y., and Pan, W., "Analysis of shear lags and shear deformation effects in laminated composite box beams under bending loads", *Composite Structures*, Vol. 55(2), pp. 147-156, (2002).
  8. Zheng, Z., and Taheri, F., "Numerical studies on dynamic pulse buckling of FRP composite laminated beams subject to an axial impact", *Composite Structures*, Vol. 56(3), pp. 269-277, (2002).
  9. Håkan, N., and Täljsten, B., "Testing of hybrid FRP composite beams in bending", *Composites Part B: Engineering*, Vol. 35(1), pp. 27-33, (2004).
  10. Wegian, F. M., and Abdalla, H. A. "Shear capacity of concrete beams reinforced with fiber reinforced polymers", *Composite Structures*, Vol. 71(1), pp. 130-138, (2005).
  11. Jae, H. L., Lopez, M., and C., Bakis, Bakis, "Slip effects in reinforced concrete beams with mechanically fastened FRP strip", *Cement and Concrete Composites*, Vol. 31(7), pp. 496-504, (2009).
  12. Naghipour, M., Nematzadeh, M., and Yahyazadeh, Q., "Analytical and experimental study on flexural performance of WPC-FRP beams", *Construction and Building Materials*, Vol. 25(2), pp. 829-837, (2011).
  13. Ebead, U., Marzouk, H. and Lye. M., "Strengthening of two-way slabs using FRP materials: a simplified analysis based on response surface methodology", *2<sup>nd</sup> World Engineering Congress*, Sarawak, Malaysia, 22-25 July, (2002).
  14. Ebead, U., and Marzouk. H., "Tension-stiffening model for FRP-strengthened RC concrete two-way slabs", *Materials and Structures*, Vol. 38, pp. 193-200, (2004).
  15. Mosallam, A. S., and Mosalam, K. M., "Strengthening of two-way concrete slabs with FRP composite laminates", *Construction and building materials*, Vol. 17, pp. 43-54, (2003).
  16. El-sayed, W. E., Ebead, U. A., and Neale, K. W., "Mechanically Fastened FRP-Strengthened Two-Way Concrete Slabs with and without Cutouts", *Journal of Composites for Construction*, ASCE, Vol.

- 13(3), pp. 198-207, (2009).
17. Lubliner, J., Oliver, J., Oller, S. and Onate, E. "A plastic-damage model for concrete", *International Journal of Solids and Structures*, Vol. 25(3), pp. 229–326, (1989).
18. Enochsson, O., Lundqvist, J., Täljsten, B., Rusinowski, P. and Olofsson, T., "CFRP strengthened openings in two-way concrete slabs –An experimental and numerical study", *Construction and Building Materials*, Vol. 21, pp. 810-826, (2007).

## تحلیل قابلیت اعتماد سازه‌ها براساس روش ترکیبی کوچک‌ترین مربعات دستگاه بردارهای پشتیبان و شبیه‌سازی مونت کارلوی پیشرفته\*

(باداشه پژوهشی)

بهروز احمدی ندوشن<sup>(۱)</sup>محمد مهدی مجاهد<sup>(۲)</sup>

**چکیده** با توجه به کوچک بودن احتمال خرابی سازه‌ها، تحلیل قابلیت اعتماد سازه‌ها هزینه زمانی بالایی را به همراه خواهد داشت. در این مقاله، به منظور کاهش زمان محاسبات، الگوریتمی براساس ترکیب روش رگرسیونی کوچک‌ترین مربعات دستگاه بردارهای پشتیبان و دو روش شبیه‌سازی مونت کارلوی پیشرفته: نمونه‌برداری باهمیت و ابرمکعب لاتینی، ارائه شده است. با ارائه دو مثال قاب و یک مثال خرپا کارایی الگوریتم‌های پیشنهادی مورد ارزیابی قرار گرفته است. نتایج حاصل نشان می‌دهد که روش پیشنهادی می‌تواند احتمال خرابی را به خوبی تخمین زند و زمان محاسبات در مقایسه با دیگر روش‌های ارائه شده در سال‌های اخیر بسیار کمتر می‌باشد.

**واژه‌های کلیدی** قابلیت اعتماد سازه‌ها، روش‌های پیشرفته شبیه‌سازی مونت کارلو، دستگاه بردارهای پشتیبان، احتمال خرابی.

## Least Squares Support Vector Machine-based Advance Monte Carlo Methods for Reliability Analysis of Structures

M. Mojahed

B. Ahmadi-Nedushan

**Abstract** The failure probability of structures are rather small and therefore calculation of structural reliability generally has a high computational cost. In order to reduce computational costs, this articles proposes a hybrid approach based on combination of the least squares support vector regression and two advanced Monte Carlo methods: importance sampling and Latin hypercube sampling. Two frames and one truss example are used to evaluate the performance of the proposed algorithm. Results demonstrate that proposed method provides an accurate estimation of failure probability and that the computational costs are lower than those of other methods.

**Key Words** Structural Reliability, Advanced Monte Carlo Methods, Support Vector Machine, Failure Probability.

\* تاریخ دریافت مقاله ۹۱/۱۲/۳ و تاریخ پذیرش آن ۹۲/۱۱/۹ می‌باشد.

(۱) نویسنده مسئول، دانشجوی کارشناسی ارشد سازه، دانشکده عمران، پردیس فنی و مهندسی، دانشگاه یزد.

Email: mahdimojahed@gmail.com

(۲) دانشیار دانشکده عمران، پردیس فنی و مهندسی، دانشگاه یزد.

متغیرهای زیادی هستند، کمتر می‌شود و هزینه زمانی زیادی را برای آموزش مدل صرف می‌کند. برای رفع مشکلات ناشی از این روش، بای گانچن در سال ۲۰۰۹ به بررسی کاربردهای روش رگرسیونی کوچک‌ترین Least Squares مربعات دستگاه بردارهای پشتیبان (Support Vector Machine) (LSSVM) و ترکیب آن با روش نمونه‌برداری مونت‌کارلوی معمولی پرداخت و با ارائه مثال‌های عددی نشان داد که این روش در مقایسه با روش SVM از کارایی بالاتری از لحاظ کاهش هزینه زمانی برخوردار است [10].

باتوجه به اینکه کاربرد روش LSSVM اخیراً به عنوان نسخه بهبودیافته‌ای از SVM در سایر رشته‌های علوم و مهندسی بسیار مورد توجه قرار گرفته است [13-13]، در تعیین قابلیت اعتماد سازه‌ها بسیار محدود است و هم‌چنین باتوجه به مشکلات روش‌های نوین دیگر برای کاهش زمان محاسبات؛ لذا در این مقاله از این روش استفاده شده است. زمان ناشی از تعداد تحلیل براساس روش شبیه‌سازی مونت‌کارلوی معمولی زیاد می‌باشد لذا در این مقاله با استفاده از روش‌های نمونه‌برداری بالهمیت و ابرمکعب لاتینی و براساس اطلاعات اضافی مسئله، نواحی انتخابی نمونه‌ها در قسمت‌های مهم و موثر فضای متغیرها محدود شده و بدین ترتیب تعداد تحلیل‌های مورد نیاز و درنتیجه زمان کل محاسبات نسبت به روش شبیه‌سازی مونت‌کارلوی معمولی کاهش داده می‌شود.

در ادامه باتوجه به اصولی که هر کدام از روش‌های پیشنهادی در کاهش زمان محاسبات دارند، به بررسی روش‌های نمونه‌برداری بالهمیت و ابرمکعب لاتینی درجهت تولید نمونه‌ها برای تحلیل سازه‌ها و سپس به فرمول‌بندی LSSVM پرداخته می‌شود. درنهایت با ارائه نمونه‌هایی از سازه‌های اسکلتی (دو قاب و یک خرپا)، کارایی بالای الگوریتم‌های پیشنهادی در مقایسه با سایر روش‌های نوین ارائه شده در سالیان اخیر جهت تحلیل قابلیت اعتماد این سازه‌ها نشان داده شده

## مقدمه

قابلیت اعتماد، موضوعی بالهمیت در تحلیل و طراحی سازه‌ها می‌باشد. بحث اصلی تحلیل قابلیت اعتماد سازه‌ها، محاسبه تخمین احتمال خرابی ناشی از عدم قطعیت پارامترها خواهد بود. بهدلیل ماهیت غیرقطعی پارامترهای سازه و در دسترس نبودنتابع حالت حدی به فرم ریاضی، محاسبه اینمی مطلق غیرممکن می‌باشد [1].

باتوجه به مشکلات روش‌های تحلیلی و شبیه‌سازی، از اوایل دهه ۸۰ میلادی روش‌های سطح پاسخ به منظور کاهش حجم محاسبات و درنتیجه کاهش هزینه زمانی ناشی از روش‌های المان محدود به کار گرفته شدند. ایده اساسی این روش‌ها، جایگزینی توابع حالت حدی با توابع سطح پاسخ ساده‌تر می‌باشد. با تخمین تابع عملکرد مناسب، می‌توان تحلیل قابلیت اعتماد سازه‌ها را به درستی انجام داد [2-4].

در دو دهه اخیر با پیشرفت تحقیقات در زمینه هوش مصنوعی، روش شبکه عصبی مصنوعی به منظور تقریب تابع عملکرد به سرعت جایگزین روش‌های پیشین شد. کاربرد و جوانب مختلف روش شبکه عصبی در بسیاری از مقالات مطرح شده است [5-7]. شبکه عصبی با تمام مزیت‌هایی که نسبت به روش‌های کلاسیک دارد، در بسیاری از مسائل سازه‌ای با تعداد متغیرهای زیاد می‌تواند هزینه زمانی نسبتاً زیادی، برای محاسبات دربرداشته باشد [8].

در همین راستا برای رفع مشکلات شبکه عصبی، روش رگرسیونی دستگاه بردار پشتیبان (Support Vector Machine) (SVM) به عنوان یک روش یادگیری هوشمند برای به دست آوردن مدل رگرسیونی مناسب، به کار گرفته شده است. و اینکه، برای اولین بار در سال ۱۹۹۸، این روش را براساس تئوری بهینه‌یابی پیشنهاد داد [9]. روش SVM برای تقریب تابع عملکرد با افزایش تعداد داده‌های آموزشی، کارایی مناسبی از خود نشان نمی‌دهد لذا کارایی آن برای سازه‌هایی که دارای

خرابی واقعند برابر ۱ و در غیر این صورت برابر صفر درنظر گرفته می شود. تابع  $h_v(v)$  نیز به عنوان تابع چگالی بالاهمیت مناسب می باشد. یک تخمین ناریب از احتمال خرابی به صورت رابطه (۴) بیان می شود.

$$p_f = \frac{1}{N} \sum_{j=1}^N \left( I(V_j) \frac{f_x(V_j)}{h_v(V_j)} \right) \quad (4)$$

در رابطه (۴) نمونه تصادفی  $V_i$  با استفاده از تابع توزیع بالاهمیت  $h_v(v)$  تولید شده و  $f_x(v)$  نیز تابع توزیع احتمال اصلی متغیرها است [۱۵].

### روش نمونه برداری ابرمکعب لاتینی [۱۶] (Latin Hypercube Sampling (LHS))

روش نمونه برداری ابرمکعب لاتینی برای اولین بار توسط «مکی» در سال ۱۹۷۹ ارائه شد [۱۶]. این روش براساس روش لایه لایه شده (The Layered Method) به تقسیم محدوده تغییرات هر متغیر به صورت احتمال مساوی می پردازد. بدین ترتیب فضای متغیرها عملاً به صورت ابرمکعب هایی تقسیم می شود. سپس نمونه گیری از محدوده هر یک از این ابرمکعب ها به عمل می آید و براساس قضیه احتمال کل،  $P_f$  به دست می آید. در این روش تعدادی از مقادیر ممکن هر متغیر که به لایه هایی جزء بندی شده است، انتخاب می شود و یک مقدار از هر لایه به طور تصادفی به عنوان مقدار نماینده انتخاب می گردد. تابع حالت حدی  $Y$  با  $K$  متغیر تصادفی به صورت رابطه (۵) می باشد.

$$Y = f(x_1, x_2, \dots, x_k) \quad (5)$$

برای به دست آوردن اولین ترکیب، از هر متغیر تصادفی  $K$ ، یک نماینده به طور تصادفی انتخاب می شود. برای به دست آوردن دومین ترکیب، یک نماینده به طور تصادفی از  $N-1$  مقدار باقی مانده هر متغیر تصادفی  $K$  انتخاب می شود و این مراحل تا به دست آوردن  $N$  ترکیب از متغیرهای تصادفی ادامه داده می شود و درنهایت  $N$  مقدار نماینده برای هر کدام از  $K$  متغیر تصادفی به دست می آید. در کل،  $N^K$  ترکیب محتمل از

است.

### روش نمونه برداری بالاهمیت

#### (Importance Sampling Method (ISM))

روش نمونه گیری بالاهمیت یکی از روش های پیشرفته مونت کارلو می باشد که برای تخمین میزان احتمال خرابی و هم چنین تعیین محدوده های خرابی، مورد استفاده قرار می گیرد. اگر ناحیه خرابی به دست آمده از تحلیل سازه ها  $D$  باشد، آنگاه در حالت کلی احتمال خرابی هر سازه براساس تحلیل قابلیت اعتماد در این ناحیه، براساس رابطه (۱) بیان می شود [۱۴].

$$p_f = \int_{D} \dots \int f_x(x) dx \quad (1)$$

در رابطه (۱)،  $f_x(x)$  تابع چگالی احتمال مشترک متغیرها،  $D$  ناحیه خرابی معین شده به وسیله یک یا چند تابع حالت حدی و  $P_f$  میزان احتمال خرابی سازه می باشد. با تعریف تابع نشانگر  $I(x)$  به گونه ای که به ازای نمونه های واقع در ناحیه خرابی  $I(x) = 1$  و در سایر موارد  $I(x) = 0$  باشد، می توان رابطه (۱) را برای همه متغیرها به صورت رابطه (۲) بیان نمود [۳].

$$p_f = \int_{D} \dots \int I(x) f_x(x) dx \quad (2)$$

برای تولید و شبیه سازی نمونه ها، به جای استفاده از تابع توزیع احتمالی اصلی متغیرها،  $f_x(x)$ ، از یک تابع چگالی احتمال جدید  $h_v(v)$  با عنوان تابع چگالی نمونه گیری بالاهمیت استفاده می شود. بنابراین نتایج شبیه سازی باید به صورت توابع وزنی برای تخمین تابع چگالی بالاهمیت، به کار گرفته شوند. با توجه به موارد ذکر شده، احتمال خرابی رابطه (۲) به صورت رابطه (۳) تصحیح می شود.

$$p_f = \int_{D} \dots \int \left\{ I(V) \frac{f_x(V)}{h_v(V)} \right\} h_v(V) dx \quad (3)$$

در رابطه (۳)، تابع  $I(V)$  به عنوان یک تابع نشانگر می باشد. مقدار این تابع برای نقاطی که در محدوده

نمونه اصلی تبدیل می‌کند.

$$f(x, w) = W \cdot \Phi(x) + b \quad (8)$$

بنابراین الگوریتم LSSVM قادر به تعیینتابع رگرسیونی براساس یک مسئله بهینه‌سازی برمنای برنامه‌ریزی غیرخطی ( $\|w\|^2$ ) طبق رابطه (۹) و با قید تساوی (۱۰) می‌باشد.

$$\min j(w, e) = \frac{1}{2} w^T w + \gamma \sum_{i=1}^l e_i^2 \quad (9)$$

$$y_i = w^T \Phi(x_i) + b + e_i \quad (10)$$

$i = 1, \dots, l$

تابع لاغرانژ به صورت رابطه (۱۱) به دست می‌آید و با مشتق‌گیری از تابع لاغرانژ جمله‌ای قیود بهینه‌یابی نیز به صورت روابط (۱۲) به دست می‌آیند.

$$L(w, b, e, a) = j(w, e) - \sum_{i=1}^l a_i (w^T \Phi(x_i) + b + e_i - y_i) \quad (11)$$

$$\begin{aligned} \frac{\partial L}{\partial b} &= 0 \rightarrow -\sum_{i=1}^l a_i = 0 \\ \frac{\partial L}{\partial w} &= 0 \rightarrow w = \sum_{i=1}^l a_i \Phi(x_i) \\ \frac{\partial L}{\partial e_i} &= 0 \rightarrow a_i = \gamma e_i \\ \frac{\partial L}{\partial a_i} &= 0 \rightarrow w^T \Phi(x_i) + b + e_i - y_i = 0 \end{aligned} \quad (12)$$

روابط (۱۲) را برای سادگی می‌توان به صورت ماتریسی به شکل رابطه (۱۳) نمایش داد.

$$\begin{bmatrix} I & 0 & 0 & -Z^T \\ 0 & 0 & 0 & -1^T \\ 0 & 0 & \gamma I & -I \\ Z & 1 & I & 0 \end{bmatrix} \begin{bmatrix} w \\ b \\ e \\ a \end{bmatrix} = \begin{bmatrix} 0 \\ 0 \\ 0 \\ y \end{bmatrix} \quad (13)$$

در رابطه ماتریسی (۱۳)، پارامترها براساس روابط (۱۴) به دست می‌آیند.

$$y = [y_1 \ y_2 \ \dots \ y_l]^T \quad (14)$$

این مقادیر می‌تواند وجود داشته باشد. هدف روش ابرمکعب لاتینی این است که با انتخاب  $N$  ترکیب از این مقادیر نماینده، یکی و تنها یک مقدار از  $N$  ترکیب را به دست آورد.

### فرمول‌بندی روش رگرسیونی کوچک‌ترین مربعات دستگاه بردارهای پشتیبان (LSSVM) [10-11]

تابع توزیع معین  $P(x, y)$  که در آن  $x \in R^n$ ,  $y \in R$  است، را در نظر بگیرید، درنتیجه می‌توان نقاط نمونه‌برداری را براساس رابطه (۶) به صورت نگاشت نقاط در فضای  $R^d$  به  $R$  تولید نمود.

$$D : \{(x_1, y_1), (x_2, y_2), \dots, (x_l, y_l)\} \subset R^d \times R \quad (6)$$

در رابطه (۱۱)،  $x_t$  بردارهای ورودی،  $y_t$  مقدار تابع حالت حدی،  $t = 1, 2, \dots, l$ ،  $d$  ابعاد بردار و  $l$  تعداد مشاهدات ورودی‌ها و خروجی می‌باشد. می‌توان رابطه بین بردارهای ورودی  $x$  و خروجی  $y$  را به صورت  $y = f(x)$  در نظر گرفت. اگر رابطه خطی بین نقاط نمونه‌برداری، فرض شود، آنگاه تابع رگرسیونی به صورت  $f(x) = W^T(X) + b$  به دست می‌آید. در این تابع  $W$  و  $b$  به ترتیب بردار وزن و عرض مدل به دست آمده می‌باشد. خطای آموزشی تابع براساس کمترین ریسک به صورت رابطه (۷) به دست می‌آید.

$$\min j(w, e) = \frac{1}{2} w^T w + \gamma \sum_{i=1}^l e_i^2 \quad (7)$$

در رابطه (۷)،  $0 < \gamma < \infty$  و تابع  $f$  براساس روابطی که در ادامه ذکر می‌شود به دست می‌آید؛ اما در اغلب موارد، ارتباط غیرخطی بین بردارهای ورودی و خروجی برقرار می‌باشد. درنتیجه تابع رگرسیونی براساس تابع غیرخطی  $\Phi$  به فضایی با ابعاد بزرگ‌تر تبدیل می‌شود و درنتیجه رگرسیون خطی به رگرسیونی با ابعاد بالاتر تبدیل می‌شود. درنتیجه اگر بین نقاط نمونه‌برداری ورودی و خروجی رابطه غیرخطی (۸) فرض شود، آنگاه روش LSSVM به وسیله تابع غیرخطی  $\Phi$ ، تابع رگرسیون خطی را به یک تابع غیرخطی در فضای

تخمین دقت مناسب برای داده‌های آزمایشی می‌باشد. برای ایجاد چنین مدلی، باید براساس میزان‌سازی بین مدل آموزش‌دیده و مقادیر تابع حالت حدی واقعی، تابع پاسخ مناسبی را به دست آورد، این در حالی است که مدل‌های دیگر با توجه به عدم میزان‌سازی ممکن است توابع نامناسبی را به دست آورند. با توجه به این که حل انتگرال مونت‌کارلوی معمولی رابطه (۲) در سازه‌های خرپایی و قاب‌های فولادی که دارای توابع حالت حدی با متغیرهای زیادی هستند، نیاز به زمان بسیار زیادی خواهد داشت. بنابراین برای تسهیل در انتگرال‌گیری، از روش‌های نمونه‌برداری بالاهمیت و ابرمکعب لاتینی استفاده شده است. با توجه به این که واریانس مقدار  $P_f$  با  $\sigma_{\epsilon(x)}^2$  (واریانس متغیرها) رابطه مستقیم و با تعداد نمونه‌های تولید شده رابطه عکس دارد درنتیجه انحراف معیار مقدار  $P_f$  و حاصل تخمین مونت‌کارلو با نسبت  $\frac{1}{N^2}$  کاهش می‌یابد و این حکایت از همگرایی کند روشن مونت‌کارلو دارد. همگرایی کند روشن مونت‌کارلو با روش‌های LHS و ISM که برمبنای کاهش واریانس هستند جبران خواهد شد. با توجه به این که روش نمونه‌برداری بالاهمیت برای افزایش تعداد نقاط نمونه‌گیری در ناحیه خرابی، از یک تابع چگالی احتمال که تأیید آن بر روی ناحیه خرابی است، استفاده می‌نماید، روش مناسبی برای نمونه‌برداری داده‌ها می‌باشد. برای انجام نمونه‌گیری و پخش نمونه‌ها در نمونه‌برداری ابرمکعب لاتینی نیز برای تحلیل قابلیت اعتماد سازه‌های پیچیده‌ای که زمان محاسبه فقط یک نمونه شبیه‌سازی آن ممکن است بسیار زیاد باشد، به منظور کاهش تعداد نمونه‌های مورد نیاز مناسب است. با توجه به مطلب ارائه شده، براساس روش‌های پیشرفتة مونت‌کارلو تعداد تحلیل سازه نسبت به روش مونت‌کارلوی معمولی به طور قابل توجهی کاهش می‌یابد اما هم‌چنان تحلیل المان محدود امری ضروری می‌باشد.

$$\begin{aligned} Z &= [\Phi(x_1) \quad \Phi(x_2) \quad \dots \quad \Phi(x_n)]^T \\ e &= [e_1 \quad e_2 \quad \dots \quad e_n]^T \\ a &= [a_1 \quad a_2 \quad \dots \quad a_n]^T \\ 1 &= [1 \quad 1 \quad \dots \quad 1]^T \end{aligned}$$

باتوجه به این که در مسائل بهینه‌یابی محاسبه ضرب داخلی  $\Phi(x_i) \cdot \Phi(x_j)$  مشکل می‌باشد، بنابراین به منظور تسهیل در محاسبات می‌توان تابع کرنل  $\Psi(x_i, x_j)$  را در روابط (۱۴) به جای ضرب داخلی نمود.

$$\Omega_{kj} = (\Phi(x_i))^T \Phi(x_j) = \Psi(x_i, x_j) \quad (15)$$

(k,j=1,2,...,n)

برای تعیین پارامترهای تابع رگرسیونی انتخابی (a و b) می‌توان با حذف e و w در رابطه (۱۴) و با استفاده از رابطه (۱۵)، رابطه (۱۶) را به دست آورد.

$$\begin{bmatrix} 0 & 1^T \\ 1 & \Omega + \gamma^{-1}I \end{bmatrix} \begin{bmatrix} b \\ a \end{bmatrix} = \begin{bmatrix} 0 \\ y \end{bmatrix} \quad (16)$$

در رابطه (۱۶) بافرض  $I = \Omega + \gamma^{-1}I$  و باتوجه به معین بودن ماتریس فرض شده، می‌توان پارامترهای تابع رگرسیونی را براساس روابط (۱۷) به دست آورد.

$$a = A^{-1}(y - bI) \quad (17)$$

$$b = \frac{1^T A^{-1} y}{1^T A^{-1} 1}$$

با استفاده از اولین رابطه از روابط (۱۲) و جایگزینی آن با رابطه (۱۵)، تابع رگرسیونی انتخابی به صورت رابطه (۱۸) به دست می‌آید.

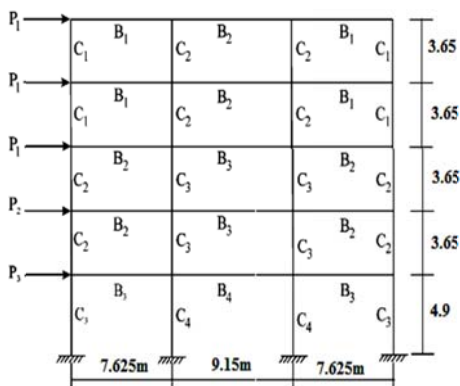
$$f(x) = \sum_{i=1}^n a_i \Psi(x, x_i) + b \quad (18)$$

**الگوریتم‌های پیشنهادی براساس ترکیب LSSVM با روش‌های نمونه‌برداری بالاهمیت و ابرمکعب لاتینی (LSSVM-ISM, LSSVM-LHS)**

ایدهٔ روش‌های پیشنهادی، به دست آوردن مدلی کارا و مناسب برای توصیف مجموعه داده‌های آموزشی و

در انتگرال‌گیری عددی به کار می‌رود. در ادامه به بررسی تحلیل قابلیت اعتماد سازه با توابع حالت حدی و تعداد متغیرهای مختلف پرداخته و کارایی بالای الگوریتم‌های پیشنهادی نسبت به دیگر روش‌های نوین نشان داده می‌شود. تعداد داده‌های آزمایش برابر ۲۵ و تعداد تحلیل‌ها برابر ۵۰ درنظر گرفته شده است. نتایج نشان‌دهنده کارایی بالای روش‌های پیشنهادی نسبت به دیگر روش‌ها می‌باشد. بهمنظور تشکیل مدل کارا، برای هر سازه، تحلیل حساسیت بر روی مجموعه داده‌های آموزشی انجام شده و مناسب‌ترین تعداد داده برای آموزش به‌دست آمده است.

**مثال ۱: قاب پرتال فولادی با ۳ دهانه و ۵ طبقه.**  
تحلیل این قاب برای اولین بار توسط آقایان بوچر و بورگاند ارائه شد [15]. شمای این قاب در شکل (۱) نشان داده شده است.



شکل ۱ شمای قاب پرتال خطی ۳ دهانه ۵ طبقه

این قاب پرتال شامل ۲۱ متغیر تصادفی می‌باشد. این متغیرها شامل مدول یانگ، ممان اینرسی، سطح مقطع اعضا با توزیع نرمال و همچنین بارهای جانبی با تابع توزیع رایلی می‌باشد. خصوصیات و پارامترهای آماری این متغیرها براساس جداول (۱) و (۲) می‌باشند. اگر جابه‌جایی مجاز این طبقه برابر با ۱۰ سانتی‌متر باشد، آن‌گاه معیار خرابی براساس تحلیل المان محدود به صورت تابع حالت حدی رابطه (۱۹) می‌باشد.

همان‌طور که در قسمت‌های قبل ذکر شد، روش‌هایی از قبیل شبکه عصبی بر پایه اصل مینیمم‌سازی ریسک تجربی و براساس توپولوژی مناسب تنها می‌توانند خطای آموزش را کاهش دهند و تعمیم‌دهنده کل داده‌ها نمی‌باشند و درنتیجه روش تحلیلی مناسبی برای پیش‌بینی رفتار سازه نمی‌باشند، این در حالی است که روش LSSVM بر پایه اصل مینیمم‌سازی ریسک سازه‌ای و بدون نیاز به توپولوژی با ایجاد مدلی مناسب و تعمیم آن به کل داده‌ها، روش تحلیلی مناسبی برای پیش‌بینی رفتار سازه ارائه می‌دهد و علاوه بر به‌دست آوردن خطای مناسب، زمان محاسبات را نیز به‌مقدار قابل توجهی کاهش خواهد داد.

در این مقاله الگوریتمی براساس ترکیب روش رگرسیونی LSSVM با روش‌های نمونه‌برداری بالهمیت و ابرمکعب لاتینی ارائه شده است. اصول کلی این الگوریتم بدین صورت است که ابتدا مجموعه‌ای از داده‌ها که براساس روش‌های نمونه‌برداری بالهمیت و ابرمکعب لاتینی ایجاد شده‌اند، به دو گروه داده‌های آموزشی و آزمایشی تقسیم می‌شوند و پارامترهای مدل باستفاده از آموزش مجموعه داده‌های آموزشی (آموزش مدل LSSVM) و براساس توابع مختلف کرnel، به‌دست می‌آیند. براساس مدل آموزش یافته، تابع رگرسیونی جدیدی محاسبه می‌شود و درنهایت مقادیر تابع رگرسیونی به‌ازای داده‌های نمونه‌برداری شده محاسبه می‌شود و میزان احتمال خرابی تخمین زده می‌شود. الگوریتم‌های ترکیبی براساس اصولی که هر کدام از روش‌ها دارند، برتری‌های خاصی نسبت به تک‌تک آنها دارد. یکی از این مزیت‌ها، کاهش تعداد نمونه‌ها توسط روش‌های نمونه‌برداری پیشنهادی و کاهش تعداد تحلیل‌های المان محدود برای تعیین احتمال خرابی است که در صورت استفاده از مدل رگرسیونی LSSVM به صورت قابل توجهی کاهش می‌یابد. روش‌های نمونه‌برداری برای تعیین نمونه‌ها و مدل LSSVM برای تقریب محدوده خرابی به‌منظور تسهیل

$$G(X) = 10 - U_x \quad (19)$$

جدول ۱ خصوصیات اعضاي قاب ۳ دهانه ۵ طبقه

اعضا	مدول یانگ	ممان اینرسی	سطح مقطع
B1	E1	I5	A5
B2	E1	I6	A6
B3	E1	I7	A7
B4	E1	I8	A8
C1	E2	I1	A1
C2	E2	I2	A2
C3	E2	I3	A3
C4	E2	I4	A4

در رابطه (۱۹)،  $U_x$  جابه‌جایی افقی واقعی بر حسب تابعی از متغیرهای تصادفی می‌باشد. نتایج به دست آمده براساس الگوریتم‌های پیشنهادی همچنین نتایج روش‌های مراجع دیگر در جدول (۳) ارائه شده است (مقدار احتمال خرابی دقیق براساس روش شبیه‌سازی مونت‌کارلوی معمولی و با ۵۰۰۰۰۰ نمونه بعد از ۱۰ بار تحلیل پیاپی در زمان ۹۵۱۲ ثانیه برابر با ۰/۰۰۰۲۸۹ به دست آمده است). نتایج به دست آمده در جدول (۳) نشان‌دهنده کارایی بالای روش‌های پیشنهادی از لحاظ دقت محاسبات و کاهش هزینه محاسبات نسبت به دیگر روش‌های تحلیل این قاب

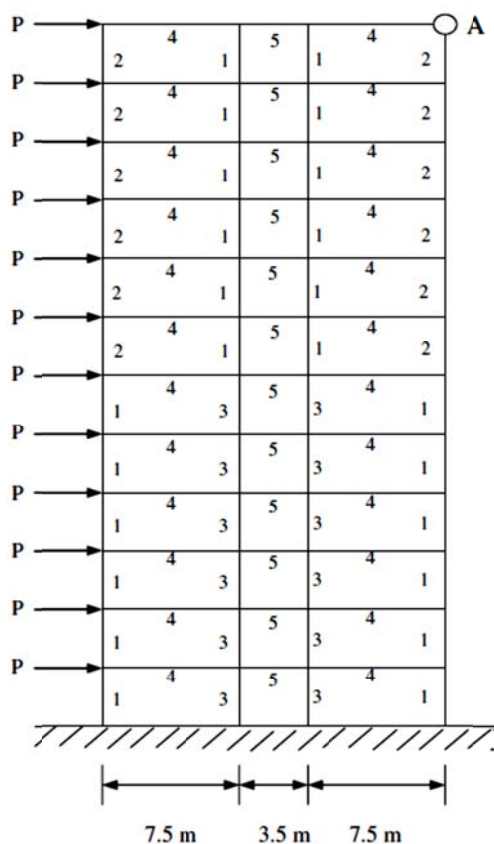
جدول ۲ پارامترهای آماری قاب ۳ دهانه ۵ طبقه

متغیر تصادفی	تابع توزیع	میانگین	انحراف معیار	واحد
P1	Rayleigh	30	9	KN
P2	Rayleigh	20	8	KN
P3	Rayleigh	16	6.4	KN
E1	Normal	45400	4000	KN/m <sup>2</sup>
E2	Normal	49700	4000	KN/m <sup>2</sup>
I1	Normal	107.47	13.72057	m <sup>4</sup>
I2	Normal	152.06	17.15071	m <sup>4</sup>
I3	Normal	282.415	34.3014	m <sup>4</sup>
I4	Normal	343.014	40.018	m <sup>4</sup>
I5	Normal	142.92	34.3014	m <sup>4</sup>
I6	Normal	186.3711	45.7352	m <sup>4</sup>
I7	Normal	307.569	74.319	m <sup>4</sup>
I8	Normal	343.014	85.753	m <sup>4</sup>
A1	Normal	35.9281	6.4157	m <sup>2</sup>
A2	Normal	42.7716	8.5543	m <sup>2</sup>
A3	Normal	58.1693	10.692	m <sup>2</sup>
A4	Normal	64.1574	12.8314	m <sup>2</sup>
A5	Normal	29.084	10.69	m <sup>2</sup>
A6	Normal	33.468	11.762	m <sup>2</sup>
A7	Normal	42.878	13.900	m <sup>2</sup>
A8	Normal	48.11805	15.504	m <sup>2</sup>

جدول ۳ نتایج روش‌های پیشنهادی و مرجع در مثال ۱

روش	تعداد نمونه	تعداد آموزشی	احتمال خرابی	زمان (ثانیه)	خطای نسبی (%)
LSSVM-MCS	500000	150	0.00029	44.62	0.34482
LSSVM-ISM	3000	50	0.000291	24.67	0.82361
LSSVM-LHS	3500	200	0.000292	44.11	1.027397
FORM [8]	-	-	0.000291	-	0.6872852
KRIGING [8]	-	-	0.00022	-	-31.36363
روش سطح پاسخ کلاسیک [8]	-	-	0.000312	-	7.494838

پیشنهادی هزینه زمانی را به نحو مؤثری کاهش می‌دهند و برآورده احتمال خرابی را با دقت مناسب ارائه می‌دهند (مقدار احتمال خرابی دقیق با  $100000$  نمونه مونت‌کارلو و با  $10$  بار تحلیل پیاپی در زمان  $5246$  ثانیه برابر با  $0.0751$  به دست آمده است، این میزان برابر مقدار دقیق ارائه شده در مرجع ۷ می‌باشد).



شکل ۲ شماتی قاب ۳ دهانه ۱۲ طبقه

## مثال ۲: قاب پرتال فولادی با ۳ دهانه و ۱۲ طبقه.

قاب مفروض شامل یک قاب پرتال الاستیک خطی با ۳ دهانه و ۱۲ طبقه می‌باشد [7,13]. شکل (۲) این قاب را به همراه تیپ‌بندی تیر و ستون‌های آن نشان می‌دهد (ارتفاع هر طبقه ۴ متر می‌باشد). سطح مقطع تیر و ستون‌ها و همچنین بار افقی وارد به قاب به عنوان متغیرهای تصادفی مستقل درنظر گرفته شده‌اند. مدول یانگ به عنوان پارامتر قطعی برابر با  $2 \times 10^7$  می‌باشد. ممان اینرسی اعضای این قاب نیز به عنوان متغیری وابسته به سطح مقطع‌ها، براساس رابطه (۲۰) بیان می‌شود.

$$I_i = a_i A_i^2 \quad (20)$$

با فرض این که ماقزیم جابه‌جایی افقی گره برابر با  $0.096$  متر باشد، آنگاه تابع حالت حدی براساس پارامترهای تصادفی فرض شده، به صورت رابطه (۲۱) درنظر گرفته می‌شود.

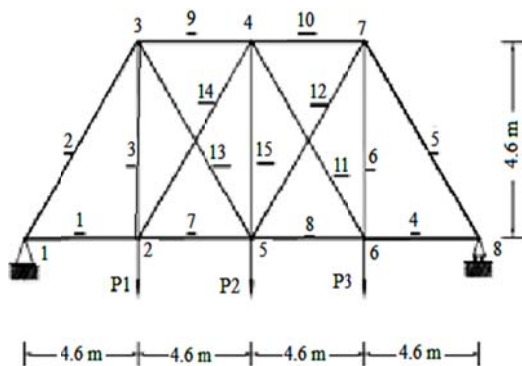
$$G(x) = 0.096 - u_A(A_1, A_2, A_3, A_4, A_5, P) \quad (21)$$

پارامترهای آماری نمونه‌های تصادفی اصلی و ضرایب ممان اینرسی این قاب نیز مطابق جدول (۴) می‌باشد. نتایج به دست آمده از روش‌های پیشنهادی براساس تعداد نمونه‌های آموزشی که براساس تحلیل حساسیت به دست آمده‌اند، به همراه نتایج روش‌های پیشنهادی مرجع اصلی به صورت جدول (۵) می‌باشد. نتایج به دست آمده نشان می‌دهند که روش‌های

با  $7/5$  سانتی متر به دست آمده است. پارامترهای آماری متغیرها، در جدول (۶)، ارائه شده است. همچنین نتایج به دست آمده از روش های پیشنهادی براساس تعداد نمونه های آموزشی که براساس تحلیل حساسیت به دست آمده اند، به همراه نتایج روش پیشنهادی مرجع اصلی به صورت جدول (۷)، می باشد. میزان احتمال خرابی دقیق در مرجع ۳ برابر  $۰/۰۱۴$  به دست آمده است.

جدول ۴ پارامترهای آماری قاب ۳ دهانه ۱۲

متغیر	میانگین	انحراف معیار	واحد	توزیع	ضرایب $a_i$
$A_1$	0.25	0.025	$m^2$	Lognormal	0.0833
$A_2$	0.16	0.016	$m^2$	Lognormal	0.0833
$A_3$	0.36	0.036	$m^2$	Lognormal	0.0833
$A_4$	0.2	0.02	$m^2$	Lognormal	0.2667
$A_5$	0.15	0.015	$m^2$	Lognormal	0.2
P	30	7.5	KN	Type I Largest	-



شکل ۳ هندسه خرپای ۱۵ عضوی

مثال ۳: خرپای ۱۵ عضوی با تابع حالت حدی جابه جایی. مثال آخر یک خرپای ۱۵ عضوی است که از مرجع ۳ برگرفته شده است. هندسه این خرپا در شکل (۳) نشان داده شده است. سطح مقطع همه ۱۵ عضو و ۳ بار متتمرکز که بر گره های ۲، ۵ و ۶ وارد شده است، به عنوان متغیرهای تصادفی مستقل از هم می باشند. مدل یانگ نیز به عنوان پارامتر قطعی برابر با  $200 \text{ GPA}$  فرض می شود. براساس تحلیل الاستیک خطی، میزان جابه جایی مجاز گرۀ میانی (گره ۵) برابر

جدول ۵ نتایج روش های پیشنهادی و مرجع در مثال ۲

روش	تعداد نمونه	تعداد داده	احتمال خرابی	زمان (ثانیه)	خطای نسبی
LSSVM-MCS	100000	100	0.07515	17.09	0.0665
LSSVM-ISM	1000	60	0.07517	8.7	0.0931
LSSVM-LHS	1000	50	0.07515	5.75	0.0665
GA-ANN [7]	-	-	0.0718	491.7	-4.596
GA-ANN-MCSIS [7]	-	160	0.0777	80.7	3.346
RBF-MCS [14]	-	257	0.07405	-	-1.417

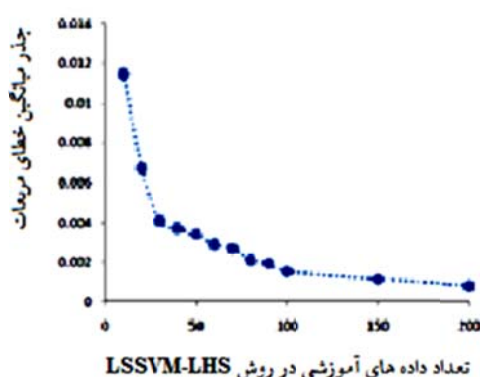
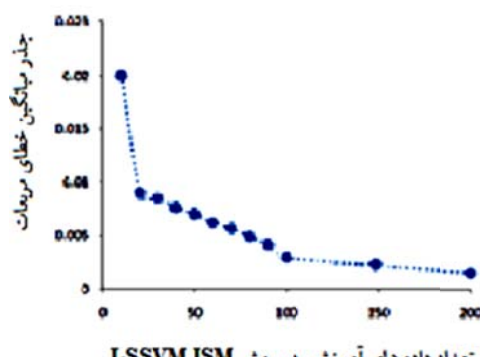
جدول ۶ پارامترهای آماری خرپای ۱۵ عضوی

متغیر	میانگین	انحراف معیار	واحد	تابع توزیع
A1-A6	10.32	0.516	$\text{cm}^2$	Normal
A7-A15	6.45	0.323	$\text{cm}^2$	Normal
Ln P1	4.483	0.09975	KN	Lognormal
Ln P2	5.582	0.09975	KN	Lognormal
Ln P3	4.483	0.09975	KN	Lognormal

جدول ۷ نتایج روش‌های پیشنهادی در مثال ۳

خطای نسبی (%)	زمان (ثانیه)	احتمال خرابی	تعداد داده‌های آموزشی	تعداد نمونه‌ها	روش‌های پیشنهادی
-0.8645	15.36	0.001388	50	1000000	LSSVR-MCS
-0.3584	3.892	0.001395	50	3500	LSSVR-LHS
-0.7194	8.375	0.00139	60	1000	LSSVR-ISM

خطای نسبی مقادیر احتمال خرابی کاهش می‌یابد. با توجه به این‌که مقادیر ضریب تغییرات و درصد خطای احتمال خرابی به‌دست آمده براساس تعداد ۵۰ و ۶۰ داده به‌ترتیب برای روش‌های LSSVM-LHS و LSSVM-ISM در بازه مناسبی قرار دارد، درنتیجه می‌توان براساس تحلیل حساسیت داده‌های آموزشی، این تعداد را به عنوان تعداد داده‌های آموزشی مناسب درنظر گرفت.



شکل ۴ نمودارهای جذر میانگین خطای مربعات براساس تعداد داده‌های آموزشی مختلف

تحلیل حساسیت برروی داده‌های آموزشی و تعیین میزان خطای داده‌های تست در مثال ۲. تحلیل حساسیت بر روی مدل، براساس تعداد مختلفی از داده‌های آموزشی و با ثابت درنظر گرفتن تعداد داده‌های تست (تعداد داده‌های تست برابر با ۲۵ درنظر گرفته شده است)، انجام می‌شود. براساس این تحلیل حساسیت، محدوده مناسبی از داده‌های آموزشی به‌دست می‌آید. همان‌طور که در شکل (۴) قبل مشاهده است، در هر دو روش پیشنهادی LSSVM-ISM و LSSVM-LHS، میزان جذر میانگین خطای مربعات (RMSE) ناشی از مقادیر تابع حالت حدی مدل ایجاد شده برای داده‌های تست، با افزایش تعداد داده‌های آموزشی، کاهش می‌یابد.

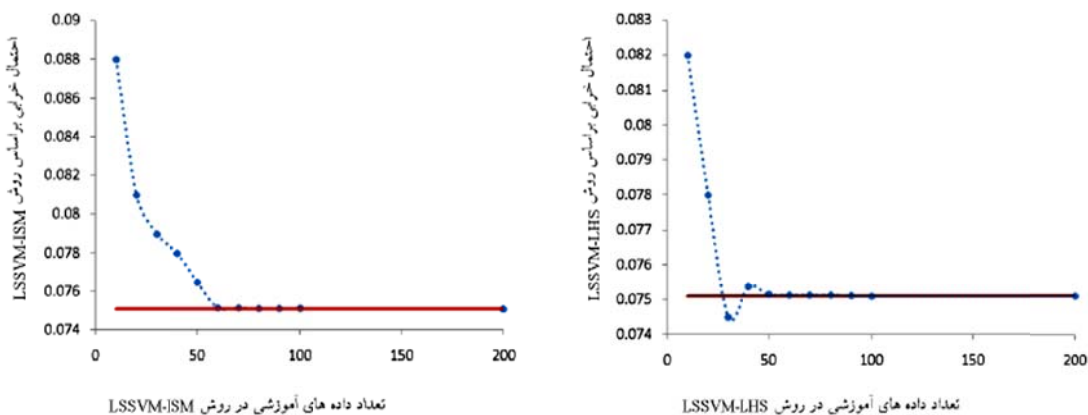
تحلیل حساسیت برروی داده‌های آموزشی و تعیین میزان احتمال خرابی در مثال ۲. در این قسمت، تحلیل حساسیت برای یافتن بهترین مجموعه از داده‌های آموزشی، براساس میزان احتمال خرابی به‌دست آمده انجام شده است. این تحلیل بدین صورت است که در هر کدام از روش‌های پیشنهادی، با درنظر گرفتن تعداد مختلفی از داده‌های آموزشی، میزان احتمال خرابی سازه براساس ۱۰۰ بار تحلیل به‌دست می‌آید. نتایج به‌دست آمده در جداول (۸) و (۹) نشان داده شده است. شکل (۵) نیز مقادیر احتمال خرابی را برای تعداد داده‌های آموزشی مختلف برای هر دو روش نشان می‌دهد. مقدار ضریب تغییرات کمتر از ۰/۱ و درصد خطای کمتر از یک درصد به عنوان مقادیر مناسب درنظر گرفته می‌شوند. نتایج به‌دست آمده نشان می‌دهد که با افزایش تعداد داده‌های آموزشی، میزان ضریب تغییرات و درصد

جدول ۸ تحلیل حساسیت بر روی داده‌های آموزشی و تعیین احتمال خرابی در روش LSSVM-LHS

روش	تعداد نمونه	تعداد داده های آموزشی	احتمال خرابی	انحراف معیار خرابی	ضریب تغییرات	خطای نسبی	زمان
LSSVR-LHS	1000	10	0.082	0.077	0.93902	8.414	1.45
		20	0.078	0.0277	0.355128	3.717	2.05
		30	0.0745	0.0161	0.21610	-0.805	3.18
		40	0.0754	0.0077	0.102122	0.3978	4.42
		50	0.07515	0.0027	0.035928	0.0665	5.75
		60	0.075145	0.00265	0.03526	0.0598	7.15
		90	0.07512	0.0015	0.019968	0.0266	12.1
		100	0.07511	0.000756	0.010065	0.0133	14.95
		200	0.075105	0.000452	0.006018	0.0066	50.8

جدول ۹ تحلیل حساسیت بر روی داده‌های آموزشی و تعیین احتمال خرابی در روش LSSVM-ISM

روش	تعداد نمونه	تعداد داده های آموزشی	احتمال خرابی	انحراف معیار خرابی	ضریب تغییرات	خطای نسبی	زمان
LSSVR-ISM	1000	10	0.088	0.02523	0.2867045	14.659	2.04
		20	0.081	0.0232	0.2864197	7.2839	3.05
		30	0.079	0.0223	0.2822784	4.936	4.076
		40	0.078	0.01812	0.2323076	3.717	6.23
		50	0.0765	0.0104	0.1359477	1.830	7.51
		60	0.07517	0.0074	0.098443	0.0931	8.7
		90	0.07514	0.0045	0.0598882	0.05323	12.05
		100	0.07512	0.00211	0.02808	0.0266	15.74
		200	0.075108	0.000463	0.0061	0.0106	54.14



شکل ۵ نمودارهای میزان احتمال خرابی براساس تعداد مختلفی از داده‌های آموزشی

هستند که دارای فرم ریاضی نیستند و جهت تحلیل قابلیت اعتماد نیاز به زمان زیادی جهت تحلیل المان محدود خواهد داشت. هزینه زمانی صرف شده از طریق روش‌های پیشنهادی به طور قابل توجهی از روش‌های دیگر کمتر می‌باشد. در ضمن، دقت محاسبات نیز در حد معقول و حتی بهتر از روش‌های دیگر خواهد بود.

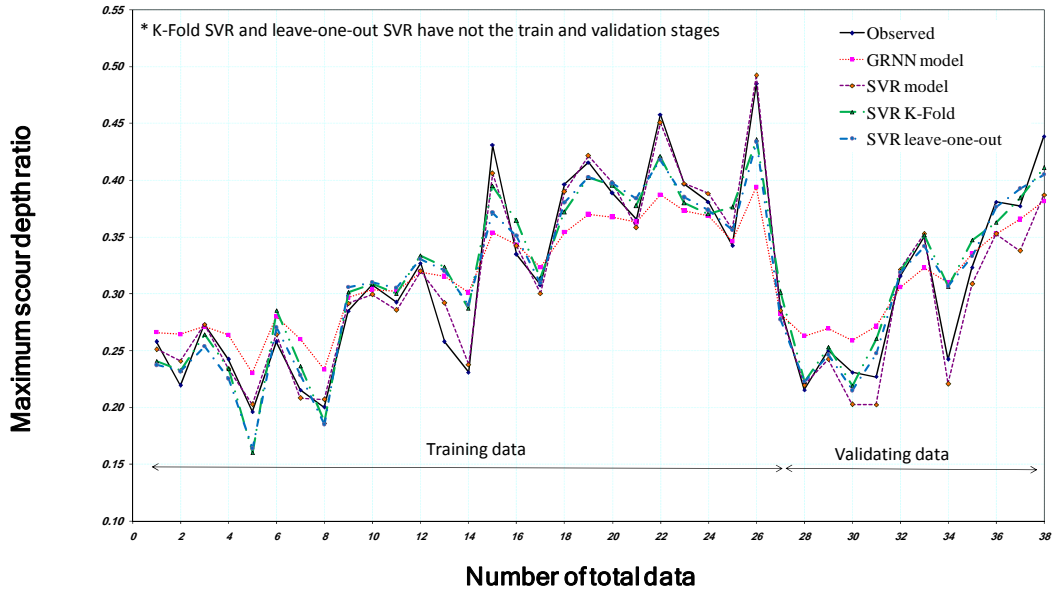
### جمع‌بندی

در این مقاله به بررسی کارایی روش‌های LSSVR-LHS و LSSVM-ISM پرداخته شد. براساس این روش‌ها و باستفاده از داده‌های آموزشی، مدل مربوط ایجاد شد و درنهایت براساس روش‌های پیشنهادی، میزان احتمال خرابی تخمین زده شد. با ارائه ۲ مثال از قاب و یک مثال خرپایی، نشان داده شد که روش‌های پیشنهادی جهت تقریبتابع رگرسیونی، برای توابعی بسیار مفید

### مراجع

- Nowak, A.S., Collins, K.R., "Reliability of Structures", *McGraw-Hill, Boston*, pp. 1-6, (2000).
- Hurtado, J.E., "An Examination of Methods for Approximating Implicit Limit State Functions From the Viewpoint of Statistical Learning Theory", *Structural Safety*, Vol. 26, pp. 271-293, (2004).
- Zhang, H., Robert, L., Muhanna, R., and Almgren, R., " Interval Monte Carlo Methods for Structural Reliability", *Structural Safety*, Vol. 32, pp. 183–190, (2010).
- Rackwitz, R., "Response Surfaces in Structural Reliability", Berichte Zur Zuverl Assign Keits Theorie der Bauwerke, Heft 67 Munchen, (1982).
- Deng, J., Gu, D., Li, X. and Yue, Z.Q., "Structural Reliability Analysis for Implicit Performance Functions Using Artificial Neural Network", *Structural Safety*, Vol. 27, pp. 25–48, (2005).
- Gomes, H.M., Awruch, A.M., "Comparison of Response Surface and Neural Network With Other Methods for Structural Reliability Analysis", *Structural Safety*, Vol. 26, pp. 49–67, (2004).
- Cheng, J., "Hybrid Genetic Algorithms for Structural Reliability Analysis", *Computers and Structures*, Vol. 85, pp. 1524–1533, (2007).
- Kaymaz, I., "Application of Kriging Method to Structural Reliability Problems", *Structural Safety*, Vol. 27, pp. 133–151, (2005).
- Vapnik V. "Statistical Learning Theory", John, Wiley and Sons., New York, (1998).
- Zhiwei, G., Guangchen, B., "Application of Least Squares Support Vector Machine for Regression to Reliability Analysis", *Chinese Journal of Aeronautics*, Vol. 22, pp. 160-166, (2009).
- Li, H.S. And Lu, Z.Z., "Support Vector Regression for Structural Reliability Analysis", *Applied Mathematics and Mechanics*, Vol. 27(10), pp. 1295–1303, (2006).
- Zhao, W., Qiu, Z., "An efficient response surface method and its application to structural reliability and reliability-based optimization", *Finite Elements in Analysis and Design*, Vol. 67, pp. 34–42, (2013).
- Deng, J. "Structural Reliability Analysis for Implicit Performance Function using Radial Basis

- Function Network", *International Journal of Solids and Structures*, Vol. 43, pp. 3255-3291 (2006).
14. Tang, C.X., Jin, W.L. and Chen, J., "Importance Sampling Method based on SVM", *J Yangtze River Scientific Res Inst*, Vol. 24(6), pp. 62–5, (2007).
15. Bucher, C.G., Bourgund, U., "A fast and Efficient Response Surface Approach for Structural Reliability Problems", *Structural Safety*, Vol. 7(1), pp. 57–66, (1990).
16. McKay, M.D., Beckman, R.J., "A comparison of Three Methods for Selecting Values of Input Variables in the Analysis of Output from a Computer Code", *Technometrics*, Vol. 42(1), pp. 239–45, (2000).



**Fig. 1 Comparison of efficiency of SVR and GRNN models**

**Table 1. Accuracy assessment of artificial intelligent models using statistical error indices**

Model		Statistical error indices				
		R <sup>2</sup> (%)	MAE (m)	MARE (%)	RMSE (m)	NSE
<b>GRNN</b>	Training data	88.83	0.0293	9.24	0.0387	0.7644
	Validating data	88.95	0.032	10.5	0.0370	0.7389
	Total data	88.77	0.03	9.6	0.0382	0.758
<b>SVR (train-test)</b>	Training data	98	0.009	3	0.0114	0.9976
	Validating data	94.41	0.0207	7.37	0.0255	0.8757
	Total data	95.66	0.0124	4.26	0.0168	0.993
<b>SVR (K-Fold)</b>	Total data	88.9	0.0208	6.79	0.0266	0.8828
<b>SVR (leave-one-out)</b>	Total data	88.62	0.02	6.62	0.0265	0.9776

#### 4- Conclusion

Based on the results obtained from the developed SVR and GRNN artificial intelligent models, the following conclusions are drawn:

- In this study, the K-Fold SVR model is more accurate while k=9 (MARE=6.79). It should be noted that k represent the number of folds in the SVR model.
- Although all models show approximately good results, the accuracy assessment shows that the train-test SVR can be introduced as the best model of this study. Moreover, after train-test SVR model, the leave-one-out SVR, K-Fold SVR and GRNN models are respectively more accurate to estimate the maximum scour depth under river confluence under live bed conditions.

## Application of SVR and GRNN Models in Estimating Scour Depth at River Confluences under Live-Bed Conditions

B. Balouchi<sup>1</sup> M. R. Nikoo<sup>2\*</sup>  
M. Shafai Bajestan<sup>3</sup> M. Dehghani<sup>4</sup>

### 1. Introduction

River confluences have a complex flow and sedimentation pattern due to the three dimensional flow structure. Hence, researchers have become interested in evaluating these complex patterns in recent years.

A review of the literature on the subject under study here showed that there is a lack among the previous studies of work done for estimating the maximum scour depth at river confluences under live bed conditions using support vector regression (SVR) and Generalized Regression Neural Networks (GRNN). On the other hand, these artificial intelligent models show a very good efficiency for estimating the river engineering parameters in the literature. Therefore, the main goal of the current study is to evaluate the application of two well-known models named SVR and GRNN for estimating the scour depth at river confluence under live bed conditions, and compare the results of the models with each other.

### 2. Materials and methods

In the present study, the experimental data from Balouchi (2012) [30] are used for training and validating the artificial intelligent models. Besides, dimensional analysis is done by using the Buckingham theorem in order to find the important dimensionless parameters of this study. Finally, by doing some simplifications, one can reach the following dimensionless parameters:

$$\frac{D_s}{B_3} = f_2 \left( \frac{Q_2}{Q_3}, \frac{Q_b}{Q_3}, F_g \right) \quad (1)$$

In which,  $Q_2$  is the flow discharge of the lateral channel,  $Q_3$  is the flow discharge of the main

channel (downstream of confluence),  $g$  is the gravity,  $B_3$  is the width of the main channel,  $Q_b$  is the sediment load from the lateral channel,  $D_s$  is the maximum scour depth and  $F_g$  is the densimetric Froude number of the downstream channel. It should be noted that the three dimensionless parameters on the right side of Eq. 1 are the inputs and the one on the left side is the output of the SVR and GRNN artificial intelligent models in this study.

### 3. Results

In order to reach the goals of this study, 3 kinds of SVR model and a GRNN model are developed. Figure 1 shows the results of artificial intelligent models used in this study named: train-test SVR (this model used train-test method for training stage), K-Fold SVR, leave-one-out SVR and GRNN, versus the observed maximum scour depth ratio for the total number of data. It is obvious from Figure 1 that the train-test SVR model shows better results when compared with other models.

In addition, Table 1 shows the results of accuracy assessment of models based on five well-known statistical error indices ( $R^2$ , MAE, MARE, RMSE and NSE). In order to compare the results better, these five statistical error indices were computed for the total data, train and validation data sets (It should be noted that the K-Fold SVR and leave-one-out SVR models do not have the train and validation stages).

According to Table 1, the values of  $R^2$ , MAE, MARE, RMSE and NSE for the total data of train-test SVR model are 95.66, 0.0124, 4.26, 0.0168 and 0.993, respectively. These values show that the train-test SVR model is more accurate among the models used in this study. The values of  $R^2$  for other models (GRNN, K-Fold SVR and leave-one-out SVR) are approximately similar to each other (88.77, 88.9 and 88.62, respectively). Besides, the values of MAE for both K-Fold SVR and leave-one-out SVR are near to each other (0.0208 and 0.02, respectively). However, this statistical index (MAE) with the value of 0.03 shows a weak efficiency for GRNN compared with the other models. Moreover, there is the same trend as MAE of GRNN, K-Fold SVR and leave-one-out SVR models for MARE (9.6, 6.79 and 6.62, respectively), and RMSE (0.0382, 0.0266 and 0.0265, respectively).

The values of the NSE index for GRNN, K-Fold SVR and leave-one-out SVR models are 0.758, 0.8828 and 0.9776, respectively. It can be concluded from the values of all statistical indices used in this study that after the train-test SVR model, the leave-one-out SVR, K-Fold SVR and GRNN models are respectively more accurate to estimate the maximum scour depth at river confluence under live bed conditions.

<sup>1</sup> PhD candidate, Dept. of Civil and Environmental Engineering, College of Engineering, Shiraz University, Shiraz, IRAN.

<sup>2\*</sup> Corresponding Author, Assistant Professor, Dept. of Civil and Environmental Engineering, College of Engineering, Shiraz University, Shiraz, IRAN.  
Email: nikoo@shirazu.ac.ir.

<sup>3</sup> Professor, Dept. of Hydraulic structure, College of Water Engineering, Shahid Chamran University, Ahvaz, IRAN.

<sup>4</sup> Assistant Professor, Dept. of Civil and Environmental Engineering, College of Engineering, Shiraz University, Shiraz, IRAN.

**3- Conclusion**

In this study, zeolite has been introduced as a pozzolanic mineral to reduce environmental problems of cement in cement sand. According to standard density test results on samples of cement zeolite it was observed that:

1. The maximum dry density increases with increasing the amount of cement.
2. The maximum dry density decreases with increasing cement replacement percent of zeolite.
3. The optimal moisture content for all scenarios is approximately 14%.
4. The maximum reduction of dry density resulting from the use of zeolite instead of cement is between 2 and 2.5 percent.

## The effect of zeolite and cement on Babolsar sandy soil compression

I. Shooshpasha<sup>1\*</sup> M. Abbasi<sup>2</sup>

H. Molla Abbasi<sup>3</sup>

### 1- Introduction:

The major features of loose sandy soil are the weak resistance and volume instability. Using the technique of adding cement is one of the most frequently used options for engineers to stabilize the soil type. Cement has attracted special attention since on the one hand, it requires a high amount of energy to produce and on the other hand it produces about 8% of carbon dioxide of the world. Therefore, optimization of its composition is considered to be the main objective such that the least amount of energy is used to produce it and the least harm is done to natural resources and finally, it yields the best possible performance.

Hence, finding a suitable replacement for cement in construction projects can be viewed as one of the best ways to protect the environment. Pozzolan which has long been used as a substitute for cement in construction can reduce the problems related to cement production and its environmental impact. Zeolite is one form of pozzolan.

Extensive use of zeolite in the world, especially in the industrial and developed countries has started many years ago. Moreover, in terms of cost and access, preparation of these minerals in Iran is very cheap and easily available. For this reason, their use is very effective in economic terms in addition to reducing environmental problems. Accordingly, the effects of zeolite as a cement replacement on sandy soil compression are discussed in this study.

### Materials used

Materials used in this study consist of sandy soil of Babolsar, Portland cement type II of Neka and zeolite of Semnan. In choosing materials to be tested, we tried to prepare suitable materials for stabilizing soils of the coastal strip of north of the country.

### 2-The compression testing

Sample preparation was done as soon as possible after the completion of mixing and testing was performed according to standard D 698 -07E1. Standard compression tests on mixing designs of 24

cement and zeolite states including different percentages of 2, 4, 6 and 8 percent of dry weight of the sample and the replacement percentage of 0, 10, 30, 50, 70 and 90 zeolite was done with cement. In each design, a total of five samples were used to obtain the optimum moisture for compression. Different amounts of sand, cement and zeolite dried in the oven were isolated based on percentages stated for each sample (a total of 3 kg) and they were mixed with a relatively low moisture and the mixture was compressed in a standard proctor cast using a hammer with free fall. This method was repeated until the weight of the soil in the cast passes the maximum value and it starts to decline.

### Results:

The results showed that, with increasing replacement of zeolite instead of cement, maximum dry density of the samples compared to samples with only cement is reduced. The amount of this reduction in the design of 2% cement is, 1.2% and in the cement 8% is 2 percent. However, the optimum moisture content in all mixtures has been approximately 14%.

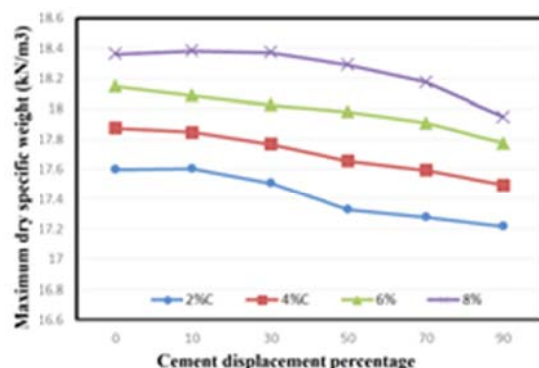


Fig. 1: Overall results of compression using different percentages of zeolite replacement for cement

According to density test results on samples in which cement is used it can be observed that with the increased percentage of cement, with almost constant optimal moisture at 14%, the maximum dry density of the samples increases. The reason for this issue is the finer cement compared to sand and filling the empty space between the sand particles. On the other hand, the higher weight of cement (GS) solid grains compared to sand also contributes. However, the density of the samples decreases with increasing zeolite replacement percent, because of the low density of zeolite grains compared to the cement and sand. Because according to the test results to (GS) density test performed in this study, the parameter (GS) was 2.22 in zeolite, 2.71 in sand and 3.11 in cement. However, the optimum moisture content in all mixing designs is almost constant and equal to 14%.

<sup>1</sup>\*Corresponding Author, Associate Professor, Faculty of Civil Engineering of Babol Nooshirvani University of Technology.

Email: shooshpasha@nit.ac.ir.

<sup>2</sup> M. S. Engineering Mazandaran Institute of Technology

<sup>3</sup> PhD candidate, Babol Nooshirvani University of Technology

#### **4-Conclusions**

In this study, for the first time, the factors affecting the performance of the tubes as the main parts of the umbrella (pin-hole) drainage system are investigated using the 3 monitored outputs, i.e., maximum effective principle strain, hydraulic gradient and pore water pressure. The following conclusions are made based on the presented results:

1. There is only one optimum pattern (out of many patterns assumed for various numbers of the drains) that produces the least maximum effective principle strain. The pattern does not necessarily the same optimum pattern for the least hydraulic gradient.
2. There is a need for adverse drainage system in the tunnels with different patterns assumed for various numbers of the drains.
3. If we assuming an even number of tubes in the umbrella drainage system, then there is an effective reduction in the hydraulic gradient.
4. The behavior of the hydraulic parameters (hydraulic gradient and pore water pressure) is very similar for the different values of the tubes parameters. This indicates that hydraulic parameters are dominant as compared to mechanical parameters in tunnels under seepage.
5. The three monitored parameters (maximum effective principle strain, hydraulic gradient and pore water pressure) are reduced with increase in number, length, angle of the drains and with decrease in distance.
6. The length, number and distance are the most important parameters in the design of the drain tubes.
7. The optimum pattern for the tubes in the umbrella drainage system includes number ( $n=10$ ), length ( $l=4$  m), distance ( $d=8$  m) and angle ( $a=90^\circ$ ) of the drains. The optimum pattern is applicable for the tunnels excavated in the materials with properties assumed in the current paper.

# Numerical Statical Analysis of Umbrella Drain Performance in Deep Circular Unlined Tunnel for Steady-State Seepage

A. Hosseinbalam<sup>1</sup> M. Hashemi<sup>2\*</sup>

## 1-Introduction

One of the major issues in tunnels is seepage which has been modeled by an extra force which is generated by pore water pressure and applied on the tunnel walls. Since this extra seepage force may lead to instability in soils and weak rocks with low permeability, the need for drainage in such tunnels is obvious. There are different types of drainage systems in tunnels. The most common ones are peripheral filter and pin-hole drainage systems. Despite their importance, very limited studies have been conducted on these systems (especially pin-hole type) and the factors that affect their performance. In this study, the new umbrella drainage system is introduced. The arrangement of the system is a combination of pin-hole drainage and forepoling support systems (Fig. 1).

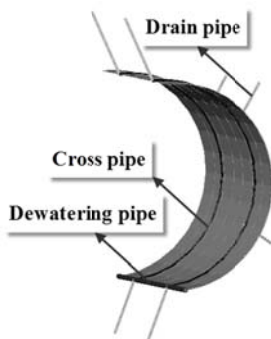


Fig.1 Umbrella drain system

## 2- Simulation in the Software

The factors affecting the system performance include number (n), length (l), distance (d) and angle (a) of the drains. Therefore, an abbreviation is introduced as NnLIDdAa (Fig. 2). Also a basic primary model for the drains is assumed based on the research by Shin and coworkers. The model includes 6 4m-length drains having a distance of 4 m and an angle of 45 degrees with the tunnel axis (N6L4D4A45).

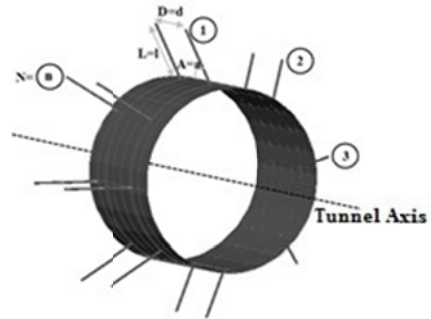


Fig.2 NnLIDdAa model

In this study, the performance of the drainage system is investigated through numerical statical analysis in deep circular unlined tunnels subjected to steady-state seepage by using the ABAQUS finite element software.

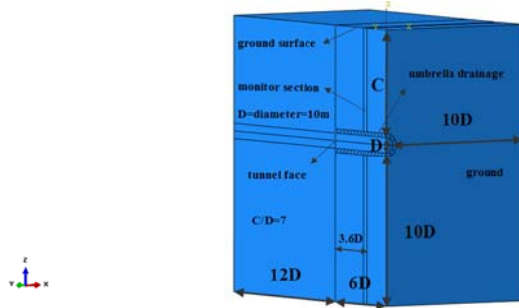


Fig. 3 The domain

The domain dimension is a very important parameter in any numerical analysis. A domain with optimum dimensions is assumed based on the results of stabilization of various analyses for variation of important parameters (Fig. 3). A monitoring section for extracting stabilized outputs is assumed at 3.6D distance from the tunnel face in-between the drains. Also, based on the sensitivity analysis of the model, the need for 3D modeling of the issue is underlined.

### 1-The effect of drains' parameters

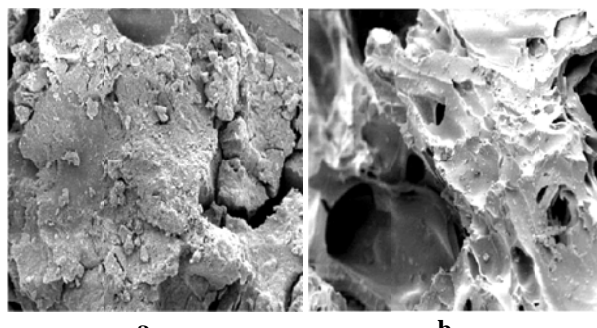
In this study, a series of parametric studies were conducted using the basic model, i.e., by changing one of the effective parameters while the others were held constant. The parameters values included number (1-14), length (1-7 m), distance (1-9 m) and angle (5, 25, 45, 70, 90) of the drains.

The factors affecting the performance of the tubes as the main parts of the umbrella (pin-hole) drainage system are investigated by choosing the maximum effective principle strain as the monitoring parameter. Moreover an optimum arrangement for the drainage tubes of the system is presented. Also, the effects of changes of the tubes' parameters on the hydraulic outputs such as hydraulic gradient and pore water pressure are studied.

<sup>1</sup> MSc Geotechnical Engineering, Department of Civil Engineering, Faculty of Engineering, University of Isfahan.

<sup>2</sup>\* Corresponding Author :Associate Professor, Department of Civil Engineering, Faculty of Engineering, University of Isfahan.  
Email: M.hashemi@eng.ui.ac.ir

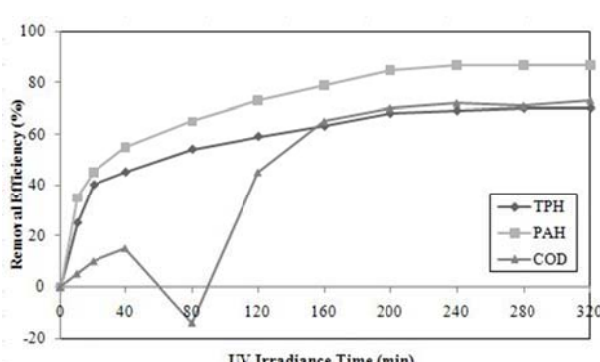
furnace to enhance the stability of the coatings against mechanical attrition and washed to eliminate the excess Titani. The photo-reactor was oriented southward at an angle of 37° with respect to the horizontal. The experimental set-up was located on the rooftop of the school of engineering of the Tarbiat Modares University. The data were registered every 30 minutes from 9 a.m. to 5 p.m. for 6 months. The operating parameters affecting the photocatalytic degradation include pH, mass loading of  $\text{TiO}_2$  per unit area,  $\text{H}_2\text{O}_2$  dosage, initial concentration and exposure time. Each of these factors was examined at different exposure times to reach optimal conditions. To ensure proper coating of  $\text{TiO}_2$  on the plates, SEM images of the original and coated concrete (Figure 2) were taken and they showed that  $\text{TiO}_2$  loading of  $60 \text{ gm}^{-2}$  provides sufficient coating. Finally, the reactor was run under optimum conditions that are pH of 5,  $\text{TiO}_2$  mass loading of  $60 \text{ gm}^{-2}$ , UV equivalent irradiation time of 200 min, initial concentration of  $100 \text{ mgL}^{-1}$  and  $\text{H}_2\text{O}_2$  dosage of  $2000 \text{ mgL}^{-1}$ .



**Fig. 2 SEM images of a) original b) coated concrete**

### 3- Conclusions

The results demonstrated that under optimal conditions the removal efficiency total petroleum hydrocarbons (TPH) and poly aromatic hydrocarbons (PAHs) of chemical oxygen demand (COD) were 67.63, 84.75 and 70.48 percent, respectively (Figure 3).

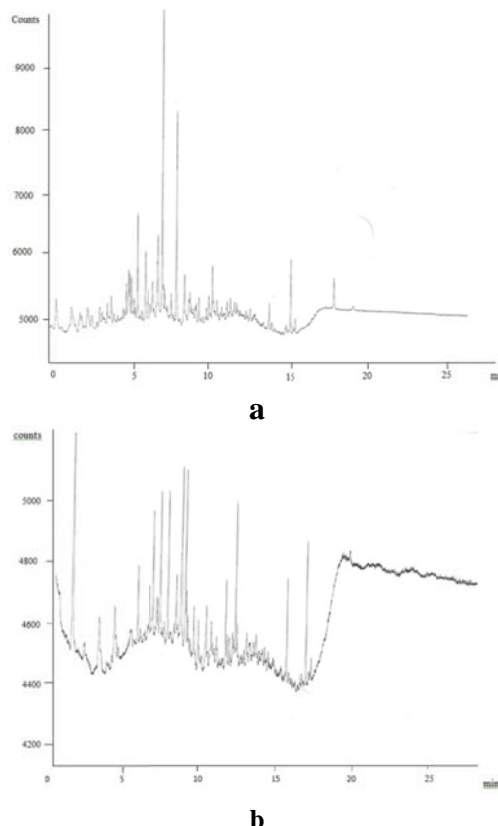


**Fig. 3 Variation of TPH, PAH & COD removal efficiency at optimal conditions**

The results of GC/FID analysis of wastewater

before and after the photo-degradation under optimum conditions showed that a majority of the aromatic compounds have been eliminated at relatively high efficiencies (Figure 4), and the aliphatic compounds that had remained have no toxicity.

The results showed that at low concentrations and exposure time of 200 min (solar reactor operation of 5 day) discharge standards of treated effluent can be met. Therefore, we can expect that the use of the solar photocatalytic system for treatment of wastewater of refineries and oil fields at industrial scale would be economically effective, especially in the southern region. In addition, the immobilization of the photocatalyst on the concrete surface, which is a main element of WWTPs structures will double the efficiency of this method.



**Fig. 4 The results of GC/FID analysis of wastewater a) before and b) after the photo-degradation under optimum conditions**

## Removal of petroleum hydrocarbons from contaminated waters using a solar photocatalytic process

F. Soroush<sup>1</sup> H. Ganjidoust<sup>2\*</sup> B. Ayati<sup>3</sup>

### 1- Introduction

Petroleum compounds include aromatic and aliphatic hydrocarbon components. The aromatics are forms of stable, hard-biodegradable, toxic and carcinogenic complexes. Sources of oil pollution in the aquatic environment, including oil spill, refinery wastewater, the water produced in the oilfields, fuel leaks from storage tanks or pipelines balance water of oil tankers, and runoff dispersed in the surface of the gas stations. In Iran where we have 10% of the world's oil reserves, storage facilities with a capacity of 8.8 billion liters, more than 2,300 fueling stations, more than 8000 oil tankers carrying petroleum products, 82 crude oil storages, and daily distribution of over 233 million liters of petroleum products, there are always hazards of pollution to oil compounds to our water resources. Treatment of contaminated water with petroleum compounds may be done by applying absorption, filtration, membrane, coagulation, advanced oxidation, stabilization pond and anaerobic methods. Physical methods such as adsorption only transfer pollution from one phase to another phase. The efficiency of biological processes is low, but they are inexpensive whereas the efficiency of chemical methods is high while they are expensive. Among the AOPs, the heterogeneous photocatalysis process has been used extensively.

### 2- Experimental Program

In this method, immobilized titanium dioxide through the generation of a hydroxyl radical ( $\bullet\text{OH}$ ) in the presence of UV light, can potentially destroy a wide range of organic complex. According to the activity of  $\text{TiO}_2$  in the near ultraviolet region ( $\lambda=400\text{-}300\text{ nm}$ ), this process was commonly carried out with UV-A lamps using which is costly. In addition, 5% of the solar radiation on the earth's surface is UV light 98% of which is UV-A and the radiation intensity is about  $30\text{-}20\text{ Wm}^{-2}$  near the surface at noon of a sunny day. So far, the photocatalytic treatment process has been used for wastewater

treatment of paper, textile, paint industries and power plants. In a recent study, nano  $\text{TiO}_2$  was immobilized on a light-weight concrete plate by concrete paste. Generally, the purpose is the use of UV solar light instead of UV lamps in photocatalytic process for the removal of petroleum hydrocarbons with the aim of saving energy saving and using clean energy. Removal of hydrocarbons from water contaminated synthetically with petroleum hydrocarbons was performed by  $\text{TiO}_2$  nanoparticles coated on light-weighted concrete plates in the reactor.

The solar reactor (Figure 1) consisted of five concrete rectangular plates  $24 \times 12 \times 4\text{ cm}$  at a slope of 2.50%. The weir of 5 L that has been located at the upstream of the plates distributed the flow uniformly. The reactors are covered with a 3-mm glass in order to prevent evaporation of the compounds and to ensure that the reactors remains waterproof. A storage tank with a volume of 60 L along with a floating pump circulated the flow at the rate of  $200\text{ L}\cdot\text{hr}^{-1}$ . An aerated pump at the rate of  $270\text{ L}\cdot\text{hr}^{-1}$  supplied sufficient oxygen. The slurry method was used for stabilizing the nanoparticles.



Fig. 1 The studied solar reactor

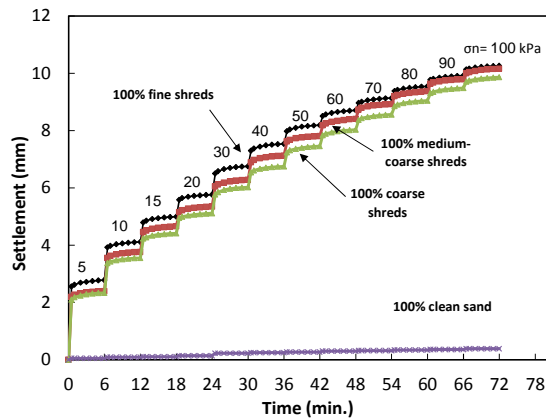
Mixing of 100 mL of two-component epoxy paste was done in 1000 mL of deionized water. After 5 min of stirring, the concrete surface was polished by applying a paint brush. The concrete plates were impregnated with a suspension of  $\text{TiO}_2$  (12 gr  $\text{TiO}_2$  in water-ethanol solution), then dried under ambient conditions, heated at  $450^\circ\text{C}$  for 120 min in a muffle

<sup>1</sup> M.Sc. Student, Tarbiat Modares Univ., Civil & Env. Engineering Faculty, Tehran, Iran.

<sup>2</sup> Corresponding Author, Professor., Tarbiat Modares University Civil & Env. Engineering Faculty, Tehran, Iran.

Email: h-ganji@modares.ac.ir.

<sup>3</sup> Associate Professor, Tarbiat Modares University, Civil & Env. Engineering Faculty, Tehran, Iran.

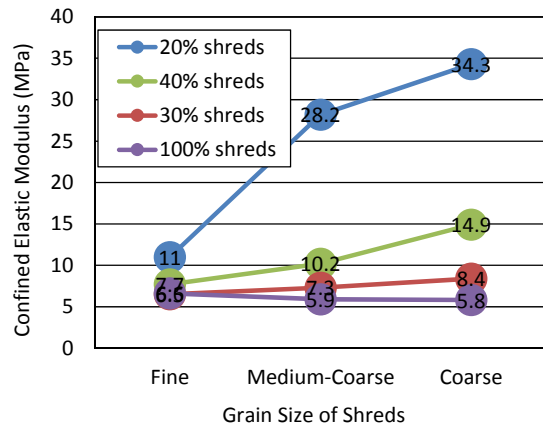


**Fig. 2. Variation of settlement of the samples with time for different levels of vertical loading**

#### 4. Concluding Remarks

Based on the experimental results, the following conclusions were drawn:

- The rate of loading (displacement) did not influence the mechanical behavior of sand and sand-rubber mixtures.
- According to the first stage of loading (vertical loading), the compressibility of the shredded tires are 20 times bigger than the sand alone. The bigger the grain size of the shredded tire, the more is the settlement of the mixture.
- As expected, the settlement of the mixtures increases with the increase in the shredded tire content. In addition, the density of the mixtures decreases with the increase in the rubber content.
- The equivalent friction angle of the mixture decreases as the rubber content is increased. The samples with coarser shredded tires have larger friction angles.
- The equivalent friction angle increases as the deformation in the samples augments.
- Although the sand alone shows a dilative behavior, the mixtures only behave contractively. The grain size does not have much influence on the deformational regime.
- According to the elastic theory, the confined elastic modulus was determined. For the mixtures, the samples with the rubber content of 30% have stiffness similar to the content of 100%.as shown in Fig.3. The samples with 20% content have the highest stiffness.
- The size of shredded rubber has an increasing effect on stiffness. This effect is small when it is mixed with sand, while the increase in stiffness with grain size is more obvious in pure samples.



**Fig. 3. Confined elastic modulus of the mixtures**

# A Study of the Effect of Shredded Tire Size on the Mechanical Behavior of Sand and Shredded Tire Mixtures Using Direct Shear Test

A. Rezapour<sup>1</sup> E. Seyedi Hosseiniinia<sup>2\*</sup>

## 1- Introduction

In the recent times of industrialization era, the consumption of rubber is growing. For instance, almost 26 million tons of rings of vehicle cars have been spoiled in the year 2003 in Europe. The same problem exists in Iran. It is expected that in the next 10 years, about 930 thousand tons of consumed tires would be produced. So far, attempts were made to use these materials for various purposes in order to get rid of the environmental problems of burying these worn out tires. Almost half of the materials are used as fuel for burning furnaces of cement production facilities. Other applications are for pavement covers or seismic elastomer absorbers. In the domain of civil engineering problems, these materials have been used in the form of shred (powders) or bigger sizes named as rubber chips with a mixture of soil as for the backfill of retaining walls. The soil-rubber mixture facilitates the role of water drainage from the back of the retaining walls. In geotechnical engineering practice, the main question regards the mechanical behavior of these materials including the shear strength and deformational properties.

In the literature review, there are some works that studied different types of rubber chips. The works were mostly focused on the shear strength parameters and the deformational properties were paid less attention. In the laboratory, the mixtures have been tested with the help of triaxial compression as well as direct shear test apparatus.

## 2- The aim of this study

In this paper, the effect of grain size of shredded tire on the mechanical behavior of the sand-shredded tire mixture is studied experimentally. To this aim, one type of sand as well as three different sizes of shredded rubbers were considered for the materials. In order to study the mechanical behavior, the direct shear test apparatus was implemented for the test programs. The effect of the admixture of the rubber shreds was investigated by virtue of the variations of friction angle as well as the stiffness of the mixtures.

## 3- Methodology

The study is based on experimental tests in the laboratory. The mixture of sand-rubber shred with different weight percentage values were mixed and the samples were sheared by Direct Shear Test (DST) apparatus. Three different sizes of shredded tires (fine, medium-coarse and coarse) were added to the sand with different percentages. For all types of rubber shreds, the weight percentage of zero, 0, 40, 70, 100 were used.

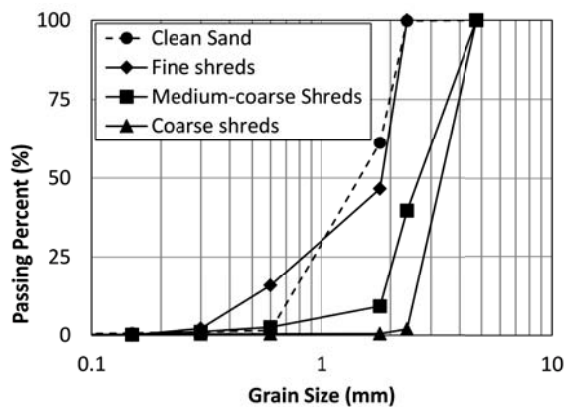


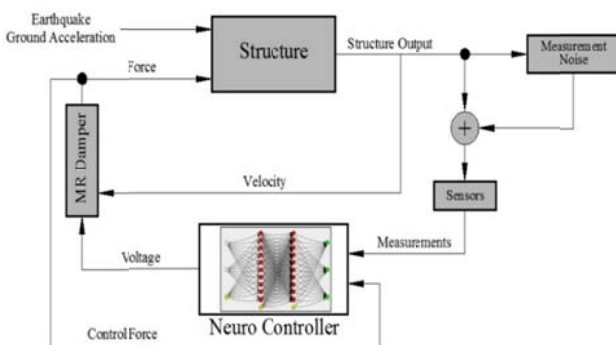
Fig. 1. Grain size distribution of the materials

The size and distribution of sand and the shredded tires are depicted in Fig. 1. The specific gravity ( $G_s$ ) of the materials was determined according to ASTM D854-02. In all series of the tests, the mixtures of the soil-rubber were tested at the relative density of  $75\pm5\%$ . The maximum and minimum densities were measured according to ASTM D4253-93 and ASTM D4254-93, respectively.

The dimension of the direct shear box was 100\*100 mm and the rate of displacement was considered to be 2 mm/min. It is also noted that the effect of displacement rate on the mechanical behavior was examined by using three different rates of 0.2, one and two m/min and it was found that it has no influence on the behavior. All the samples were tested in dry conditions. Each test includes two stages. At first, the samples were loaded with vertical loads that impose vertical stresses of 25, 50, and 100 kPa and then, the samples were loaded by lateral movement which causes the sample to be sheared. According to Fig. 2, the vertical loading was imposed with different steps in order to see the compressibility behavior of the mixtures. Totally, 45 direct shear tests were performed.

<sup>1</sup> Graduate, Civil engineering Department, Ferdowsi University of Mashhad

<sup>2\*</sup> Corresponding Author: Associate Professor, Civil Engineering, Ferdowsi University of Mashhad.  
Email: [eseyedi@um.ac.ir](mailto:eseyedi@um.ac.ir)



**Fig. 3. Control System**

In these equations  $q$  is the displacement of the device and  $z$  is an evolutionary variable that accounts for the history dependence of the response. By adjusting the parameters of the model  $\alpha$ ,  $\beta$ ,  $n$ , and  $A$ , one can control the linearity in the unloading and the smoothness of the transition from the pre yield to the post yield region. The functional dependence of the device parameters on the effective voltage  $u$  is modeled by eqs. 3 and 4. The parameters of the MR damper were selected so that the device has a capacity of 1,000 kN.

### 3. Neuro-GA controller

A neuro-GA controller is a neuro controller that is trained by a genetic algorithm. In this study, the structure of the neural network is selected by trial and error and the connection weights of the layers are defined by the GA. The connection weights are so defined that the Park & Ang damage index of the structures can be minimized. Two scales of the El Centro Earthquake have been used to train the controller. The fitness function is the ratio of the controlled damage index to the uncontrolled damage index. The best fitness function after 50 populations is gained to be 0.517. This means that the damage index of the controlled structure is reduced by %48.3.

### 4. Evaluation and results

To evaluate the efficiency of the controller 11 evaluation criteria are defined. The first criterion,  $J_1$ , is the ratio of maximum story drifts of the controlled to the uncontrolled structure. The second,  $J_2$ , is the ratio of maximum story acceleration of the controlled to the uncontrolled structure. The third criterion,  $J_3$ , is defined as ratio of the maximum base shear of the controlled to the uncontrolled structure. The next three criteria,  $J_4$ ,  $J_5$  and  $J_6$  are the ratio of mean root square of story drifts, accelerations and base shear of the controlled to the uncontrolled building.  $J_7$  is the ratio of the largest ductility of members in the

controlled to the uncontrolled structure.  $J_8$  is defined as the ratio of dissipated energy in the controlled to the uncontrolled structure. The ninth criterion,  $J_9$ , is the ratio of plastic hinges of the controlled to the uncontrolled building.  $J_{10}$  is defined as the ratio of mean root square of ductility of members in the controlled to the uncontrolled structure. Finally  $J_{11}$  is the ratio of damage index of the controlled to the uncontrolled building.

These criteria are evaluated for four earthquakes with different intensities. These are 0.5, 1.0 and 1.5 scales of Hachinohe and El Centro earthquakes with 0.5 and 1.0 scales of Northridge and Kobe earthquakes.

The results show that the average value of  $J_{11}$  for different earthquakes is 0.238. This means that the damage to the controlled structure is reduced by %76.2. The average values of other criteria are shown in Table 1.

**Table 1. The average values of evaluation criteria**

Criteria	J1	J2	J3	J4	J5
Average	0.516	1.265	0.436	0.803	7.437
Criteria	J6	J7	J8	J9	J10
Average	1.304	0.442	0.007	0.289	0.498

### 5. Conclusions

- 1- The results show that Neuro-GA controller has reduced the damage to the structure %76.2.
- 2- The controller has performed well in reduction of story drifts ( $J_1$ , %48.4), base shear ( $J_3$ , %56.4), ductility ( $J_7$ , %55.8), dissipated energy ( $J_8$ , %99.9) and number of plastic hinges ( $J_9$ , %71.1). However the performance of the controller in the reduction of maximum and root mean square of accelerations is not favorable.

## Damage Control of Structures Using Neuro-Genetic Algorithm

A. Karamodin<sup>1\*</sup> S. Khajekaramodin<sup>2</sup>

Structural engineering researchers have always been searching for new methods to control and limit structural and nonstructural damages due to earthquakes. Structural control concept has been considered as a new method of protection of structures from sixty years ago. Many researchers have been attracted to this concept and very research studies have been conducted in this field in recent decades. At early years, classical control methods have been used as an algorithm for control of structures. Introducing intelligent systems such as neural networks, fuzzy logic and genetic algorithms has led to more efficient control algorithms. These control systems are more efficient for structural control research due to several of their capabilities such as no need for mathematical modeling, plus ability to conduct nonlinearity and uncertainties. Many researchers have dealt with intelligent control systems in recent years.

In many neural network control systems two networks have been used. One network is used as the controller and the other one is used as an emulator for training the control network. This method is time consuming. So, many researchers such as Kim et al. have eliminated the emulator network and introduced a sensitivity algorithm and a cost function for training the controller network.

In this paper, a semi-active nonlinear neuro control system has been used to control a 3 story benchmark building (as shown in Figure 1). Magnetoreological fluid (MR) dampers have been selected as semi-active control devices in each story. The neuro controller has been trained by a genetic algorithm. The genetic algorithm defines the optimum values of the connection weights between layers. The Pak & Ang damage index of the structure, has been used as a fitness function for the genetic algorithm.

### 1. Control System

The control system is shown in Figure 3. The earthquake acceleration is loaded to the nonlinear structural model. The structural responses are measured by sensors and together with the forces of control devices at the previous step are input to the neuro controller at each time step. The controller is

trained to predict the MR input voltage needed that can produce control forces that can minimize the damage index of the structure. The input voltages and story relative velocities are input to the MR dampers and the optimum control forces of the dampers are loaded to the structure. The structure is modeled as two dimensional beam and column frame elements. The nonlinear behavior of the structure is considered as plastic hinges at the end of the beam and columns. This model is proposed by Ohtori et al. for nonlinear benchmark buildings.

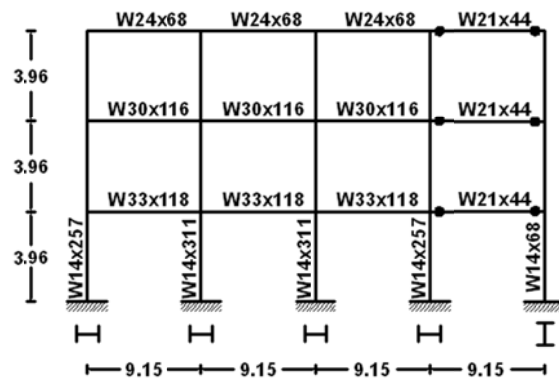


Fig. 1. 3story benchmark Building

### 2. MR model

The mechanical model of the MR damper is shown in Figure 2.

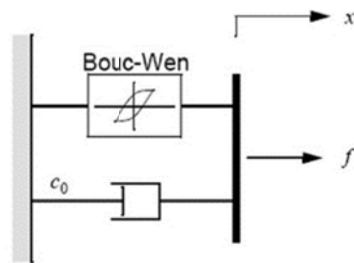


Fig. 2 MR model

The governing equations for this model are as follows:

$$f = C_0 \dot{q} + \alpha z \quad (1)$$

$$\dot{z} = \gamma |\dot{q}|^n |z|^{n-1} - \beta \dot{q} |z|^n + A \dot{q} \quad (2)$$

$$\alpha = \alpha(u) = \alpha_a + \alpha_b u \quad (3)$$

$$C_0 = C_0(u) = C_{0a} + C_{0b} u \quad (4)$$

$$\dot{u} = -\eta(u - v) \quad (5)$$

<sup>1\*</sup> Corresponding Author: Assistant Professor, Department of Civil Engineering, Ferdowsi University of Mashhad.

Email: akaramodin@yahoo.com

<sup>2</sup> M. S. Department of Civil Engineering, Ferdowsi University of Mashhad.

## CONTENTS

<b>Structural Damage Control Using Neuro-Ga Algorithm</b>	A. Karamodin - S. Khajekaramodin	1
<b>A Study on the Effect of Shredded Tire Size on the Mechanical Behavior of Sand and Shredded Tire Mixtures Using Direct Shear Test</b>	A. Rezapour - E. Seyedi Hosseiniinia	17
<b>Removal of Petroleum Hydrocarbons from Contaminated Waters Using a Solar Photocatalytic Process</b>	F. Soroush - H. Ganjidoust - B. Ayati	37
<b>Numerical Statical Analysis of Umbrella Drain Performance in Deep Circular Not-lined Tunnel for Steady-State Seepage</b>	A. Hosseinbalam - M. Hashemi	49
<b>Investigation of Zeolite and Cement on Compaction of Babolsar Sand</b>	I. Shooshpasha - M. Abbasi H. MolaAbasi	69
<b>Application of SVR and GRNN Models in Estimating Maximum Scour Depth at River Confluences under Live-Bed Condition</b>	B. Balouchi - M. R. Nikoo M. Shafai Bajestan - M. Dehghani	79
<b>Investigation of the Effects of CFRP on Load Bearing Capacity of Strengthened Two-Way RC Squared Slabs with Side and Corner Openings</b>	M. Labibzadeh	93
<b>Least Squares Support Vector Machine-based Advance Monte Carlo Methods for Reliability Analysis of Structures</b>	M. Mojahed - B. Ahmadi-Nedushan	109



**JOURNAL OF  
CIVIL ENGINEERING  
FERDOWSI UNIVERSITY OF MASHHAD**

Ferdowsi University of Mashhad

ISSN 2008-7454

**General Director:** F. Irani

**Editor-Chief:** M. R. Esfahani

**Published:** Ferdowsi University of Mashhad

**Editorial Board:**

<b>M. Azhari</b>	Professor	Isfahan University of Technology
<b>J. Bolouri Bazaz</b>	Associate Professor	Ferdowsi University of Mashhad
<b>M. Reza Esfahani</b>	Professor	Ferdowsi University of Mashhad
<b>F. Irani</b>	Professor	Ferdowsi University of Mashhad
<b>S. M. Hosseini</b>	Professor	Ferdowsi University of Mashhad
<b>A. A. Kheirodin</b>	Professor	Semnan University
<b>A. Soroush</b>	Associate Professor	AmirKabir University of Technology
<b>F. Shahabian Moghadam</b>	Professor	Ferdowsi University of Mashhad
<b>R. Attarnejad</b>	Professor	University of Tehran
<b>M. Ghafoori</b>	Professor	Ferdowsi University of Mashhad
<b>M. Faghfour Maghrebi</b>	Professor	Ferdowsi University of Mashhad
<b>Gh. R. Ghodrati Amiri</b>	Professor	Iran University of Science & Technology
<b>D. Mostofinejad</b>	Professor	Isfahan University of Technology

**Text Editor:** A. Dehghn

**Administrative Director:** T. Hooshmand

**Typist:** A. Noie

Journal of Civil Engineering

Department of Civil Engineering, Ferdowsi University of Mashhad.

P. O. Box. 91775-1111, Mashhad, I.R.IRAN

Tel: +98 51 38806024; Fax: +98 51 38807384; Email: ejour@um.ac.ir

Web site: <http://civil-ferdowsi.um.ac.ir>



**Ferdowsi University  
of Mashhad**

# **Journal of Ferdowsi Civil Engineering**

(Journal of School of Engineering)

Serial No. 17

- Structural Damage Control Using Neuro-Ga Algorithm** 1  
A. Karamodin - S. Khajekaramodin

- A Study on the Effect of Shredded Tire Size on the Mechanical Behavior of Sand and Shredded Tire Mixtures Using Direct Shear Test** 17  
A. Rezapour - E. Seyed Hosseini

- Removal of Petroleum Hydrocarbons from Contaminated Waters Using a Solar Photocatalytic Process** 37  
F. Soroush - H. Ganjidoust - B. Ayati

- Numerical Statical Analysis of Umbrella Drain Performance in Deep Circular Not-lined Tunnel for Steady-State Seepage** 49  
A. Hosseinalam - M. Hashemi

- Investigation of Zeolite and Cement on Compaction of Babolsar Sand** 69  
I. Shooshpasha - M. Abbasi - H. MolaAbasi

- Application of SVR and GRNN Models in Estimating Maximum Scour Depth at River Confluences under Live-Bed Condition** 79  
B. Balouchi - M. R. Nikoo - M. Shafai Bajestan  
M. Dehghani

- Investigation of the Effects of CFRP on Load Bearing Capacity of Strengthened Two-Way RC Squared Slabs with Side and Corner Openings** 93  
M. Labibzadeh

- Least Squares Support Vector Machine-based Advance Monte Carlo Methods for Reliability Analysis of Structures** 109  
M. Mojahed - B. Ahmadi-Nedushan

Vol. 29, No. 1  
Spring, 2017